

**ՀՀ ԿՐԹՈՒԹՅԱՆ ԵՎ ԳԻՏՈՒԹՅԱՆ ՆԱԽԱՐԱՐՈՒԹՅՈՒՆ  
ՀԱՅԱՍՏԱՆԻ ԱԶԳԱՅԻՆ ՊՈԼԻՏԵԿՆԻԿԱԿԱՆ ՀԱՄԱԼՍԱՐԱՆ**

**ՌԱՖՅԱՆ ՈՈԲԵՐՏ ԱՐԹՈՒՐԻ**

**ՇՈԳԵԳԱԶԱՏՈՒՐԲԻՆԱՅԻՆ ՏԵՂԱԿԱՅԱՆՔԻ ԱՇԽԱՏԱՆՔԱՅԻՆ  
ՌԵԺԻՄՆԵՐԻ ՀԵՏԱԶՈՏՈՒԹՅՈՒՆԸ ԵՎ ԼԱՎԱՐԿՈՒՄԸ (ԵՐՁԵԿ-Ի ՕՐԻՆԱԿԻ  
ՎՐԱ)**

**ԱՏԵՆԱԽՈՍՈՒԹՅՈՒՆ**

**Ե.14.03 - «ԶԵՐՄԱԷՆԵՐԳԵՏԻԿԱ» մասնագիտությամբ տեխնիկական  
գիտությունների թեկնածուի գիտական աստիճանի հայցման**

**Գիտական ղեկավար  
Տեխնիկական գիտությունների թեկնածու,  
պրոֆեսոր Ռ.Զ. ՄԱՐՈՒՅՅԱՆ**

**ԵՐԵՎԱՆ – 2015**

# ԲՈՎԱՆԴԱԿՈՒԹՅՈՒՆ

ՆԵՐԱԾՈՒԹՅՈՒՆ.....	5
ԳԼՈՒԽ 1. ԳՐԱԿԱՆՈՒԹՅԱՆ ԱԿՆԱՐԿ.....	8
1.1 Մթնոլորտային պայմանների ազդեցությունը գազատուրբինային և համակցված տեղակայանքների ցիկլերի աշխատանքի վրա...	8
1.2 ԳՏՏ կոմպրեսոր մատուցվող օդի հովացման եղանակների և սխեմաների վերլուծություն.....	15
1.3 Մշուշապատման տեխնոլոգիան ԳՏՏ տեխնիկական հնարավորությունների ընդլայնման համար.....	29
1.3.1 ԳՏՏ մատուցվող օդի մշուշային հովացման կլիմայական և փսիխիոմետրիկ գործոնները.....	29
1.4 ԳՏՏ օդի մատուցման համակարգի կոնֆիգուրացիայի և փողորակի հատկությունների ազդեցությունը մշուշապատման վրա.....	32
1.4.1 Փողորակների դիրքը.....	33
1.5 Խոնավ սեղմում.....	39
1.6 Մշուշապատում օգտագործողների գործնական նկատառումներ.....	43
1.6.1 Զրի քանակական պահանջները.....	43
1.6.2 Զրի որակական պահանջներ.....	44
1.6.3 Օտար մարմնի հասցրած վնաս.....	44
1.6.4 ԳՏՏ կոմպրեսորի մուտքի սառցակալում.....	45
1.6.5 Տրակտի ջրահեռացման համակարգ.....	45
1.6.6 Կոմպրեսորի խզում.....	46
1.6.7 Կոմպրեսորի մուտքում ջերմաստիճանային անհամաչափություն.....	47
1.6.8 Օդի մատուցման տրակտի դիտարկումներ.....	48
1.6.9 Առանցքային կոմպրեսորի խափանում.....	49
1.6.10 Կոմպրեսորի թիակների էռողիա.....	49
1.6.11 ԳՏՏ օդի մատուցման տրակտի կոռոզիա.....	50

1.6.12	Կոմպրեսորի թիակների և ծածկույթի վնասում.....	51
1.6.13	Գերսնուցմանբ մշուշային հովացման համակարգի կիրառությամբ ԳՏՏ-ների թիակների հովացնող օդի հետ կապված դիտարկումներ.....	52
1.7	Հովացման համակարգեր օգտագործողների տեսակետներ և վիորձ .....	54
1.7.1	Մուտքի օդի գոլորշարար մշուշապատում 80 ՄՎտ հզորությամբ կոգեներացիոն ցիկլով աշխատող ԳՏՏ-ի վրա.....	55
1.7.2	Գերսնուցմանբ մշուշային հովացման համակարգի կիրառումը Frame 5 ԳՏՏ-ներով կոգեներատիվ տեղակայանքի վրա.....	55
<b>ԳԼՈՒԽ 2.</b>	<b>ՀԳՏ-ՆԵՐԻ ԱՇԽԱՏԱՆՔՎՅԻՆ ՈԵԺԻՄՆԵՐԸ &lt;&lt; ԷՆԵՐԳԱԿԱՍՏԱԿԱՐԳԻ ԱՐԿԱ ՊԱՅՄԱՆՆԵՐԻ ՏԵՍԱՆԿՅՈՒՆԻՑ:</b>	
	ԵՐՉԵԿ-Ի ՀԱՍՏԱԿՎԱԾ ՑԻԿԼԿ ՆՈՐ ԷՆԵՐԳԱԲԻԼԿԸ.....	57
2.1	ՀՀ Էներգահամակարգը.....	57
2.2	ՀԳՏ-ների աշխատանքային ռեժիմները.....	64
2.3	Երևանի ԶԵԿ-ի նոր կառուցված Էներգաբլոկի նկարագրությունը.....	69
2.4	ԳՏՏ ջերմային հաշվարկի մեթոդների ուսումնասիրություն.....	72
<b>ԳԼՈՒԽ 3.</b>	<b>ԳԱԶԱՏՈՒՐԲԻՆԱՅԻՆ ՏԵՂԱԿԱՅԱՆՔՆԵՐԻ ԷՆԵՐԳԵՏԻԿԱԿԱՆ ՑՈՒՑԱՆԻԾՆԵՐԻ ԿԱԽՎԱԾՈՒԹՅՈՒՆՆԵՐԸ ՇՐՋԱԿԱ ՄԻՋԱՎԱՅՐԻ ՊԱՅՄԱՆՆԵՐԻՑ.....</b>	88
3.1	ԳՏՏ-ի էներգետիկական ցուցանիշների հաշվարկի մեթոդոդիկայի մշակում.....	88
3.2	ԳՏՏ-ի էներգետիկական ցուցանիշների կախվածությունը կոմպրեսոր ներծծվող օդի հարաբերական խոնավությունից.....	103
3.3	ԳՏՏ-ի էներգետիկական ցուցանիշների կախվածությունը մթնոլորտային օդի ջերմաստիճանից.....	109
3.4	ԳՏՏ էներգետիկական ցուցանիշների հաշվարկի մշակված մեթոդի ստուգում՝ “Հրազդան-5” էներգաբլոկի ԳՏՏ-ի օրինակի	

Վրա.....	115
<b>ԳԼՈՒԽ 4. ԳԱԶԱՏՈՒՐԻՆԱՅԻՆ ՏԵՂԱԿԱՅԱՆՔԻ ԿՈՄՊՐԵՍՈՐ ՆԵՐԾԾՈՂԻ ՕԴԻ ԶԵՐՍԱՍԻԴԱՆԻ ՓՈՓՈԽՈՒԹՅԱՆ ԱԶԴԵՑՈՒԹՅՈՒՆԸ ԾՈԳԵԳԱԶԱՅԻՆ ՏԵՂԱԿԱՅԱՆՔԻ ԱՇԽԱՏԱՆՔԻ ՎՐԱ.....</b>	<b>118</b>
4.1 ԳՏՏ կոմպրեսոր ներծծվող օդի ջերմաստիճանի ազդեցությունը օգտահանիչ կաթսայով ՀԳՏ աշխատանքի վրա.....	118
4.2 ԳՏՏ կոմպրեսոր ներծծվող օդի ջերմաստիճանով պայմանավորված ՀԳՏ հզորության թերարտադրությունը և դրա փոխսիատուցումը ջրային մշուշապատման համակարգի կիրառմանը (ԵրԶԷԿ-ի օրինակի վրա).....	122
4.3 ԳՏՏ կոմպրեսոր ներծծվող օդի ջրային մշուշապատման համակարգի կիրառման տեխնիկատնտեսական հաշվարկը (ԵրԶԷԿ-ի օրինակի վրա).....	128
<b>ԵԶՐԱԿԱՑՈՒԹՅՈՒՆՆԵՐ.....</b>	<b>133</b>
<b>ՕԳՏԱԳՈՐԾՎԱԾ ԳՐԱԿԱՆՈՒԹՅԱՆ ՑԱՆԿ.....</b>	<b>134</b>
<b>ՀԱՎԵԼՎԱԾ.....</b>	<b>142</b>

## **Ներածություն**

**Թեմայի արդիականությունը:** Էլեկտրական էներգիայի արտադրության ոլորտում գազատուրբինային տեղակայանքները (ԳՏՏ) և դրանցով կահավորված համակցված շոգեգազային ցիկլով աշխատող էներգաբլոկները հանդիսանում են բնական ռեսուրսներով էլեկտրական էներգիայի արտադրության զարգացման հիմնական ուղղությունը։ Ինչը պայմանավորված է նմանատիպ էներգաբլոկների բարձր շահավետությամբ, մասնարայնությամբ ինչպես նաև շրջակա միջավայրի վրա՝ տրադիցիոն էներգաբլոկների համեմատ ավելի փոքր վնասակար ազդեցությամբ։

Հարկ է նշել, որ գազատուրբինային տեղակայանքների արտադրողականությունը և աշխատանքի արդյունավետությունը խիստ կախվածության մեջ են մթնոլորտային օդի պարամետրերից, մասնավորապես՝ ջերմաստիճանից։ Զաշվի առնելով այն հանգանանքը, որ էլեկտրական էներգիայի պահանջարկի պիկը ամառային ամիսներին պայմանավորված է օդի հովացման համակարգերի գրեթե զանգվածային կիրառմամբ և համընկնում է ԳՏՏ-ի արտադրողականության նվազման հետ, արտադրողներն ու շահագործողները ստիպված են փնտրել հզորության անկման փոխհատուցման նոր մեթոդներ։ ՀՀ էներգահամակարգը բացառություն չի, և նույնպես տուժում է նկարագրված հիմնախնդրից։

Ակնհայտորեն, ցանկացած տեխնոլոգիա, որը ունակ է կանխել կամ վերականգնել ոչ բարենպաստ կլիմայական պայմաններից բխող ԳՏՏ արտադրողականության և արդյունավետության անկումը, դառնում է թանկարժեք ռեսուրս։ Այդ առումով, վերջին ժամանակներս, լայն տարածում են ստացել ԳՏՏ կոմպրեսոր մատուցվող օդի հովացման տարբեր համակարգեր, որոնք ԳՏՏ մատուցվող օդը հովացնելով, ապահովում են վերջինիս էներգետիկական և արդյունավետության ցուցանիշների մոտեցումը նախագծային արժեքներին։ Շոգեգազային համակցված տեղակայանքների էներգետիկական պարամետրերի վրա ԳՏՏ կոմպրեսոր մատուցվող օդի պարամետրերի փոփոխության ազդեցության ճշգրիտ հաշվարկը հանդիսանում է այդ ազդեցության չեզոքացման համապատասխան մեթոդի ընտրության հիմքը, և իրենից ներկայացնում է ժամանակակից էներգետիկայի խիստ կարևոր նշանակություն ունեցող խնդիրներից մեկը։

**Աշխատանքի նպատակը և հետազոտության հիմնական խնդիրները:** Հետազոտության նպատակն է գազատուրբինային և համակցված ցիկլով աշխատող շոգեգազատուրբինային տեղակայանքների աշխատանքային ռեժիմների

հետազոտումը և դրանց արդյունավետության և էներգետիկական ցուցանիշների լավարկման մեթոդների մշակումը:

Աշխատանքի հիմնական խնդիրներն են՝

1. Մշակել ԳՏՏ էներգետիկական ցուցանիշների հաշվարկի այնպիսի մեթոդիկա, որի միջոցով հնարավոր կլինի գնահատել կոմպրեսոր մատուցվող օդի ջերմաստիճանից կախված ԳՏՏ հզորության փոփոխությունը, ՕԳԳ-ն և վառելիքի ժախսը:

2. Ուսումնասիրել ԳՏՏ կոմպրեսոր մատուցվող օդի հովացման համակարգերի տարատեսակները և ընտրել լավարկային տարբերակը:

3. Ուսումնասիրել ԳՏՏ կոմպրեսոր մատուցվող օդի ջերմաստիճանի ազդեցությունը կոմպրեսորի ճնշման բարձրացման աստիճանի փոփոխության վրա:

4. Ուսումնասիրել ԳՏՏ կոմպրեսոր մատուցվող օդի պարամետրերի փոփոխությամբ պայմանավորված ԳՏՏ աշխատանքային ռեժիմի փոփոխության ազդեցությունը գոլորշային ցիկլի վրա համակցված տեղակայանքների համար:

Աշխատանքի արդյունքում հիմնական խնդիր է դրված Երևանի ՁԵԿ-ի համակցված ցիկլով էներգաբլոկի համար ուսումնասիրել մթնոլորտային պայմաններից՝ ԳՏՏ մատուցվող օդի ջերմաստիճանի ազդեցությունը տարեկան կտրվածքով, և ընտրված հովացման համակարգի միջոցով ստացվող լավարկումը, ինչպես նաև դիտարկել այդպիսի համակարգի տեղակայման տնտեսական շահավետության հարցերը:

### Հետազոտության գիտական նորույթը:

1. Մշակել է ԳՏՏ ջերմային հաշվարկի մեթոդիկա, որը հնարավորություն է տալիս հաշվարկել ԳՏՏ էներգետիկական և արդյունավետության ցուցանիշները ԳՏՏ կոմպրեսոր մատուցվող օդի ջերմաստիճանի, ճնշման և հարաբերական խոնավության արժեքների լայն տիրույթում:
2. Առաջարկել է ԳՏՏ կոմպրեսոր մատուցվող օդի ջերմաստիճանի փոփոխության ազդեցությունը ԳՏՏ կոմպրեսորի ճնշման բարձրացման աստիճանի վրա գնահատող բանաձև,
3. Առաջարկել է մեթոդիկա, որը հնարավորություն է տալիս գնահատել ԳՏՏ կոմպրեսոր ներծծվող օդի պարամետրերի փոփոխության ազդեցությունն օգտահանիչ կաթսայով շոգետուրբինի հզորության վրա:

**Յետազոտության կիրառական նշանակությունը:** Մշակված մեթոդիկաները և ծրագրային ապահովման փաթեթը կարող են կիրառվել գաղատութինային և համակցված տեղակայանքների էներգետիկական և արդյունավետության ցուցանիշների հաշվարկման և դրանց լավարկման մեթոդների ուսումնասիրության նպատակով գործող կայաններում: Ինչպես նաև՝ նշված տեղակայանքների կարգաբերման, փորձարկման և նախագծային աշխատանքների ժամանակ:

Մշակված մեթոդիկայի և ծրագրային ապահովման փաթեթի միջոցով հաշվարկվել է ԵրԶԵԿ-ի համակցված էներգաբլոկի վրա մթնոլորտային օդի ջերմաստիճանի ազդեցությունը տարեկան կտրվածքով, ինչպես նաև ջրային մշուշապատման հովացման համակարգի տեղակայմամբ էներգաբլոկի աշխատանքային ռեժիմի լավարկման չափը: Կատարվել է նաև ջրային մշուշապատման համակարգի տեխնիկատնտեսական հաշվարկ նշված էներգաբլոկի համար:

**Աշխատանքի վերաբերյալ իրապարակումները:** Իրականացված հետազոտությունների հիմնական դրույթների ու արդյունքների մասին գեկուցվել է «Զերնաէներգետիկա և շրջակա միջավայրի պաշտպանություն» ամբիոնի գիտական սեմինարներում և ՀՊԵՆ-ի ամենամյա տարեկան գիտաժողովներում (2010-2014թթ.): Ատենախոսության դրույթներն ու արդյունքներն արտացոլված են 6 գիտական աշխատություններում, որոնց ցանկը բերված է սեղմագրի վերջում:

**Աշխատանքի ծավալը և կառուցվածքը:** Ատենախոսությունը բաղկացած է ներածությունից, չորս գլուխներից, եզրակացություններից, 97 անուն օգտագործված գրականության ցանկից և 3 հավելվածներից: Ատենախոսական աշխատանքի ընդհանուր ծավալը կազմում է 161 էջ:

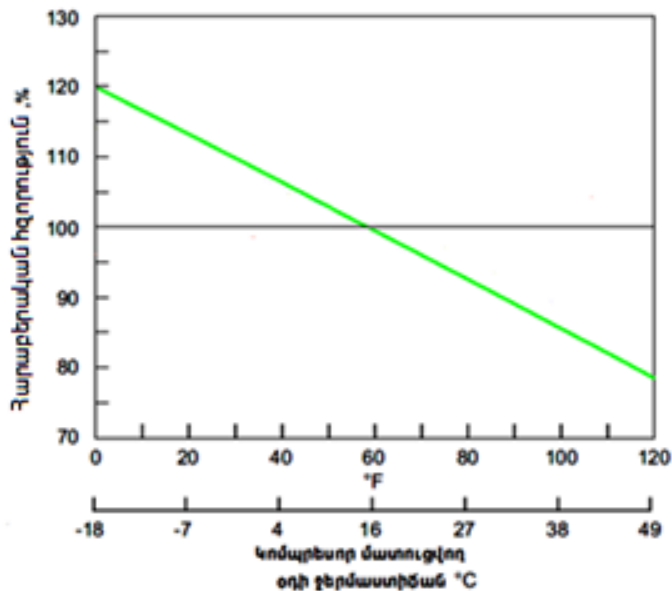
#### **Պաշտպանության ներկայացվող հիմնական դրույթները**

1. ԳՏՏ էներգետիկական և արդյունավետության ցուցանիշների կոմպրեսոր ներծծվող օդի պարամետրերից կախվածության հաշվարկի մեթոդիկա:
2. ԳՏՏ կոմպրեսորի ճնշման բարձրացման աստիճանի ներծծվող օդի ջերմաստիճանից կախվածության գնահատման փորձնական բանաձև:
3. Օգտահանիչ կաթսայով համակցված տեղակայանքի շոգետուրբինի հզորության վրա ԳՏՏ կոմպրեսոր ներծծվող օդի պարամետրերի ազդեցությունը գնահատելու մեթոդիկա:

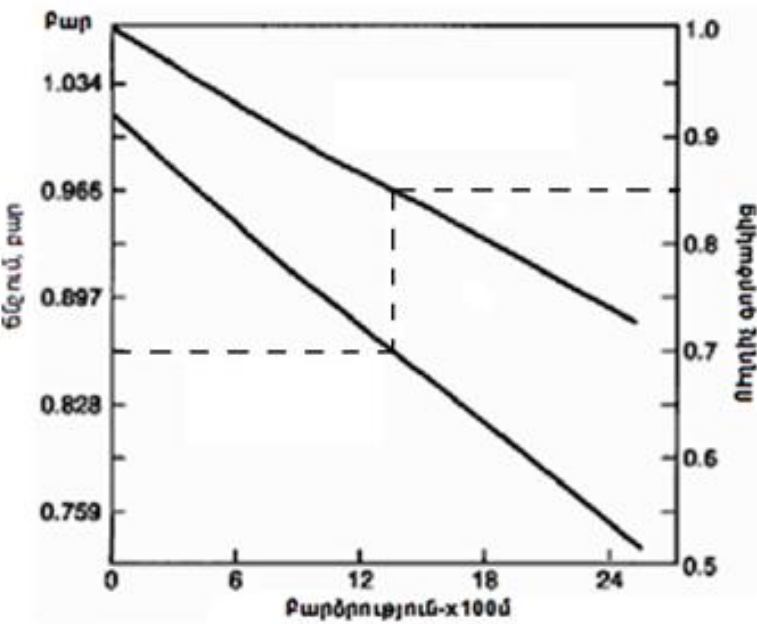
## ԳԼՈՒԽ 1. ԳՐԱԿԱՆՈՒԹՅԱՆ ԱԿՆԱՐԿ

### 1.1 Մթնոլորտային օդի պարամետրերի ազդեցությունը գազատուրբինային և համակցված տեղակայանքների ցիկլերի աշխատանքի վրա

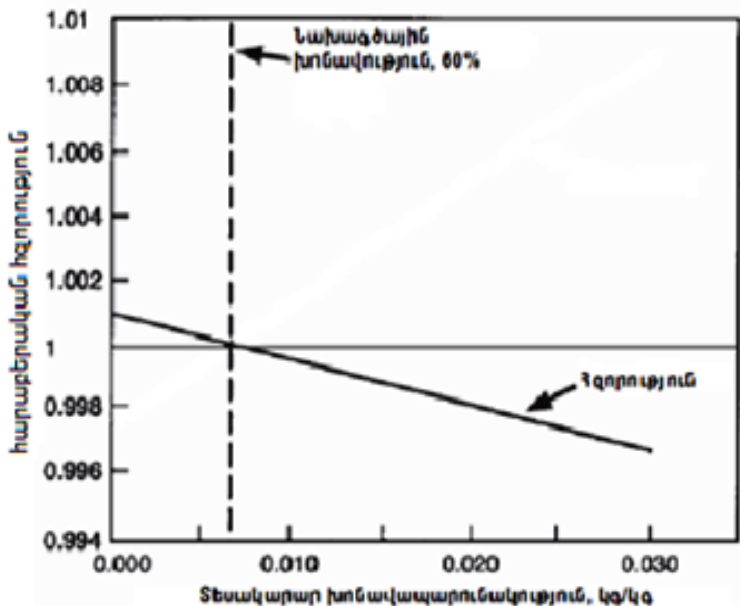
Մթնոլորտային օդի ջերմաստիճանի, ձնշման և հարաբերական խոնավության փոփոխությունները ունեն տարբեր մեծության ազդեցություն գազատուրբինային տեղակայանքների (QSS) և հետևաբար նաև դրանց հիման վրա կառուցված համակցված ցիկլերով աշխատող տեղակայանքների արդյունավետության և արտադրողականության վրա [1]: QSS-ի և համակցված տեղակայանքի արտադրողականության վրա հիմնական ազդեցություն ունի կոմպրեսոր ներծծվող օդի ջերմաստիճանը, իսկ ձնշման ազդեցությունը կարող է համարվել ավելի քիչ կարևոր: Կոմպրեսոր ներծծվող օդի հարաբերական խոնավության փոփոխության ազդեցությունը գրեթե աննշան է: Այսպես, 1 °C-ով օդի ջերմաստիճանի բարձրացումը հանգեցնում է հզորության  $0,50\ldots0,90\%$  անկման [2], մինչդեռ հաշվարկային արժեքից ձնշման 1 մբար նվազումը բերում է հզորության  $0,10\%$  անկման: Ինչ վերաբերվում է օդի հարաբերական խոնավությանը, ապա դրա 1 % փոփոխությունը հանգեցնում է հզորության  $0,01\%$  և ավելի պակաս փոփոխության [3]:



Նկ.1.1 Մթնոլորտային օդի ջերմաստիճանի ազդեցությունը QSS հզորության վրա



Նկ.1.2 Մթնոլորտային ճնշման ազդեցությունը ԳSS հղորության վրա



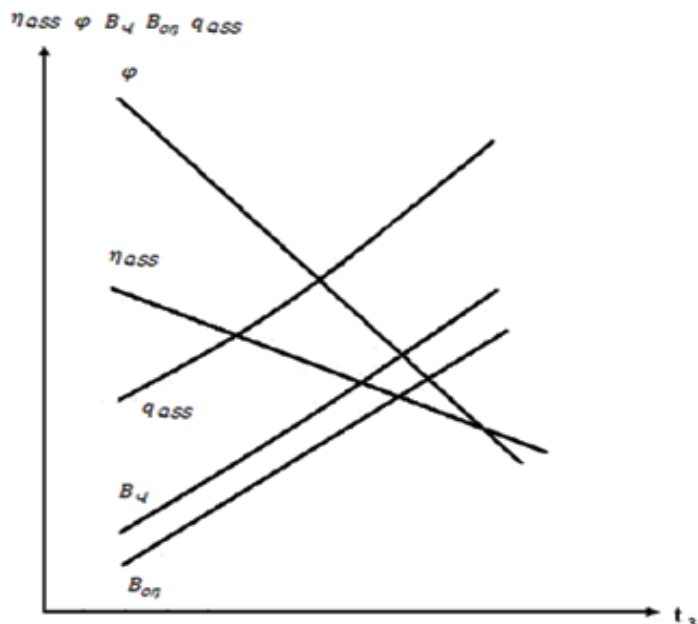
Նկ.1.3 Մթնոլորտային խոնավության ազդեցությունը ԳSS հղորության վրա

Նկ.1.1-1.3-ում պատկերված գրաֆիկները ցույց են տալիս ԳSS-ի հղորության և դրա կոնդիսոր մատուցվող օդի՝ ջերմաստիճանի, ճնշման և հարաբերական խոնավության փոփոխությունների միջև կապը, ԶԵՆԵՐԱԼ ԷԼԵՔԹՐԻՔԸ (ԶԷ) ընկերության արտադրության MS7001 գազատուրբինային տեղակայանքի համար[4]:

Հաշվի առնելով, որ ԳSS-ի կոնդիսոր մատուցվող օդի հարաբերական խոնավության և ճնշման փոփոխությունների ազդեցությունները տեղակայանքի

հզորության վրա զգալիորեն փոքր են, ինչպես նաև այն փաստը, որ մթնոլորտային ճնշումը տարվա ընթացքում խիստ փոփոխությունների չի ենթարկվում, դրանց ազդեցությունները տեղակայանքի վրա կարելի է արհամարհել:

QSS արդյունավետության ցուցանիշների վրա կոմպրեսոր ներծծվող օդի ջերմաստիճանի ազդեցությունը բերված է նկ.1.4-ում պատկերված գրաֆիկում, որից երևում է, որ մթնոլորտային օդի ջերմաստիճանի ( $t_3$ ) բարձրացումը հանգեցնում է QSS օգտակար գործողության գործակցի (ՕԳԳ) ( $\eta_{T_3}$ ) և օգտակար հզորության գործակցի ( $\varphi$ ) նվազման, իետևաբար նաև վառելիքի, օդի և ջերմության տեսակարար ծախսերի ( $B_i, B_{\dot{m}}, q_{T_3}$ ) մեծացման [5]:



Նկ. 1.4 Կոմպրեսոր ներծծվող օդի ջերմաստիճանի ազդեցությունը QSS հիմնական էներգետիկական ցուցանիշների վրա

Կոմպրեսոր մատուցվող օդի ջերմաստիճանի ազդեցությունը QSS-ի հզորության վրա ավելի խորը ուսումնասիրելու համար, դիտարկենք դրա ազդեցությունը օդի սեղմնան պրոցեսի վրա: Քանի որ QSS-ի կոմպրեսորը ծախսում է տուրբինի ստեղծած հզորության մինչև 60 %-ը, ուստի ցանկացած միջոցառում, որը միտված է կոմպրեսորում օդի սեղմնան վրա ծախսվող աշխատանքի նվազեցմանը, հանգեցնում է ամբողջ տեղակայանքի օգտակար հզորության ավելացման [6]:

Կոմպրեսորի աշխատանքը կարելի է ներկայացնել իետևալ բանաձևով՝

$$L_i = C_p(T_2 - T_1) = C_p T_1 (\beta^{\frac{k-1}{k} \cdot \frac{1}{\eta_{i,\lambda}}} - 1); \quad (1.1)$$

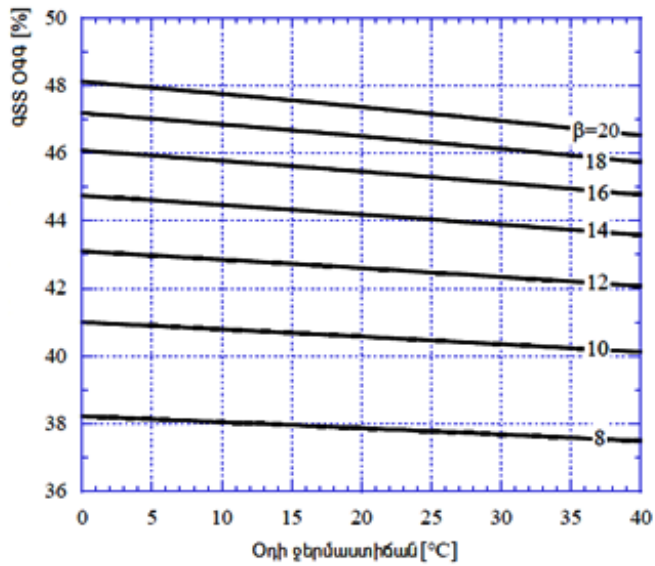
(1.1)-ից ակնհայտ է, որ  $T_1$ -ի բարձրացումը հանգեցնում է սեղմման պրոցեսի վրա ծախսվող աշխատանքի ավելացման:

Եթե ցիկլում հաշվի չառնվեն ճնշման անկումները կոմպրեսորի մուտքում, կոմպրեսորը այրման կամերային միացնող տրակտում և տուրբինի ելքում, իսկ աշխատող մարմինների ջերմունակությունները ընդունվեն հաստատուն, ապա QSS-ի թերմոդինամիկական արդյունավետությունը կարելի է ներկայացնել հետևյալ բանաձևով՝

$$\eta_A = \frac{L_i - L_f}{C_p(T_3 - T_2)} = \frac{T_3 \left[ 1 - \frac{1}{\beta^{\frac{k-1}{k} \cdot \frac{1}{\eta_{i,\lambda}}}} \right] - T_1 \left[ \beta^{\frac{k-1}{k} \cdot \frac{1}{\eta_{i,\lambda}}} - 1 \right]}{(T_3 - T_1 * \beta^{\frac{k-1}{k} \cdot \frac{1}{\eta_{i,\lambda}}})}, \quad (1.2)$$

որտեղ  $\beta$ -ն կոմպրեսորում ճնշման բարձրացման աստիճանն է,  $k = \frac{C_p}{C_v}$ -ն ադիաբատի ցուցիչն է,  $\eta_{i,\lambda}$  –ն տուրբինի պոլիտրոպ ՕԳԳ-ն է,  $\eta_{i,\lambda}$  –ն կոմպրեսորի պոլիտրոպ ՕԳԳ-ն է,  $T_3$  –ը ծխագագերի ջերմաստիճանն է տուրբինի մուտքում,  $T_2$ -ն օդի ջերմաստիճանն է կոմպրեսորի ելքում,  $T_1$  –ն օդի ջերմաստիճանն է կոմպրեսորի մուտքում,  $L_i$ -ը տուրբինի տեսակարար աշխատանքն է,  $E_f$ -ն կոմպրեսորի տեսակարար աշխատանքն է:

Ինչպես երևում է (1.2)-ից QSS կոմպրեսոր ներծծվող օդի ջերմաստիճանի բարձրացումը հանգեցնում է QSS-ի թերմոդինամիկական ՕԳԳ-ի նվազման, օդի սեղմման վրա ծախսվող տեսակարար աշխատանքի մեծացման հետևանքով: Կոմպրեսոր մատուցվող օդի ջերմաստիճանից QSS-ի ՕԳԳ-ի կախվածության միտումը հաշվարկված (1.2) բանաձևով, ներկայացված է նկ.1.5-ում պատկերված գրաֆիկում: Այստեղ  $T_3 = 1400$  °C,  $\eta_i = \eta_{i,\lambda} = 0,9$  և  $k = 1,4$  պայմանների համար հաշվարկված է օդի ջերմաստիճանի ազդեցությունը QSS-ի ՕԳԳ-ի վրա կոմպրեսորում ճնշման բարձրացման աստիճանի 8...20 միջակայքում:



Նկ.1.5 ԳՏՏ թերմոդինամիկական ՕԳԳ-ի կախվածությունը մթնոլորտային օդի ջերմաստիճանից կոմպրեսորի ձնշման բարձրացման տարրեր աստիճանների դեպքում

ԳՏՏ կոմպրեսոր ներծծվող օդի ջերմաստիճանի բարձրացման հաջորդ հիմնական ազդեցությունը օդի գանգվածային ծախսի նվազումն է: ԳՏՏ-ն, որը աշխատում է հաստատուն պտտման արագությամբ, հանդիսանում է հաստատուն ծավալային մեքենա: Օդի գանգվածային ծախսը կոմպրեսորի մուտքում կարելի է ներկայացնել հետևյալ բանաձևով՝

$$m_{\hat{u}^1} = \rho_{\hat{u}^1} V, \quad (1.3)$$

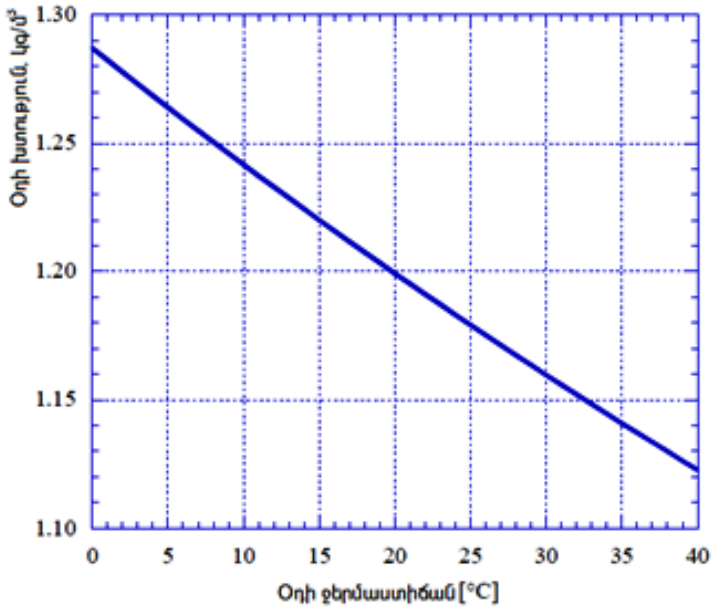
որտեղ  $V$ -ն օդի ծավալային ծախսն է կոմպրեսորի մուտքում:

Օդի խտությունը կոմպրեսորի մուտքում ( $\rho_{\hat{u}^1}$ ) կարելի է ներկայացնել՝

$$\rho_{\hat{u}^1} = \frac{P_1}{R T_1}, \quad (1.4)$$

որտեղ  $P_1$ -ը ձնշումն է կոմպրեսորի մուտքում,  $R$ -ն ունիվերսալ գազային հաստատունն է,  $T_1$ -ը կոմպրեսորի մուտքում օդի ջերմաստիճանն է,  $\rho_{\hat{u}^1}$ -ն օդի խտությունն է կոմպրեսորի մուտքում:

Նկ.1.6-ում պատկերված գրաֆիկը ցույց է տալիս օդի խտության կախվածությունը ջերմաստիճանից, եթե ձնշումը հավասար է  $1,013$  բար, իսկ հարաբերական խոնավությունը՝  $60\%$ :



Նկ.1.6 Մթնոլորտային օդի խտությունը որպես ֆունկցիա ջերմաստիճանից (1,013 բար ճնշման և 60 % հարաբերական խոնավության պայմաններում)

Գազատուրբինի հզորությունը կարելի է ներկայացնել հետևյալ բանաձևով՝

$$P_{\text{TR}} = m_{\dot{v}}(L_i - L_f) \quad (1.5)$$

(1.3), (1.4) և (1.5) բանաձևերի համատեղումից գազատուրբինի աշխատանքի համար կարող ենք գրել՝

$$P_{\text{TR}} = \frac{P_1}{RT_1} V (L_i - L_f) = \frac{P_1}{RT_1} V \left[ T_3 \left( 1 - \frac{1}{\beta^{\frac{k-1}{k} \eta_{\text{TR}}}} \right) - T_1 \left( \beta^{\frac{k-1}{k} \eta_{\text{TR}}} - 1 \right) \right] : \quad (1.6)$$

(1.6)-ը ցույց է տալիս, որ գազատուրբինի հզորության նվազումը պայմանավորված է օդի սեղմման տեսակարար աշխատանքի մեծացմամբ, տուրբինի տեսակարար աշխատանքի նվազմամբ և  $\frac{P_1}{RT_1}$  անդամով, որը ցույց է տալիս կոմպրեսորի մուտքում գանգվածային ծախսը:

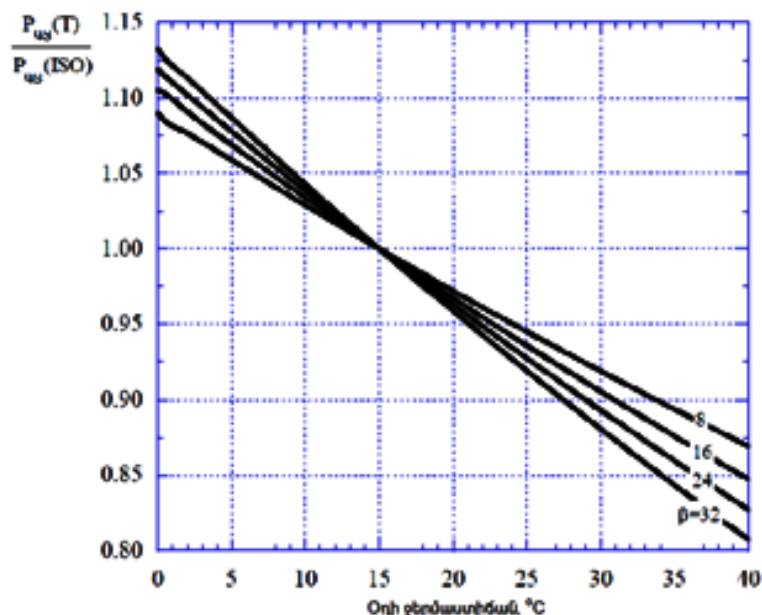
Եթե  $T_3$ -ը,  $\eta_{\text{TR}}$  – ն ենթադրվեն հաստատուն, նաև ընդունվի, որ կոմպրեսորի ճնշման բարձրացման աստիճանը չի փոփոխվում մատուցվող օդի ջերմաստիճանից կախված, ապա որևէ տրված ջերմաստիճանի դեպքում  $\text{GSS}$ -ի հզորության հարաբերությունը հաշվարկային հզորությանը կարելի է ներկայացնել հետևյալ կերպ՝

$$\frac{P_{\text{TR}}(T_1)}{P_{\text{TR}}(\text{ISO})} = \frac{1 - T_1 C}{T_{1D}}, \quad (1.7)$$

$$\text{որտեղ } C = \frac{\beta^{\frac{k-1}{k} \cdot \frac{1}{\eta_{\text{IS}}} - 1}}{T_3 \left(1 - \frac{1}{\beta^{\frac{k-1}{k} \cdot \frac{1}{\eta_{\text{IS}}}}}\right)}, \quad \text{և} \quad D = \frac{1}{T_{ISO}} - C:$$

(1.7)-ը ցույց է տալիս կոմպրեսոր ներծծվող օդի ջերմաստիճանի ազդեցությունը QSS հզորության վրա, հաստատում թափանցիկ դեպքում:

Նկ.1.7-ում պատկերված գրաֆիկում բերված են հզորության գործակի  $\left(\frac{P_{\text{IS}}(T_1)}{P_{\text{IS}}(\text{ISO})}\right)$  արժեքները ըստ (1.7)-ի, եթե  $T_3=1400$  °C,  $\eta_{\text{IS}}=\eta_{\text{i}}=0,9$  և  $k=1,4$ , կոմպրեսորում ձնշման բարձրացման տարբեր աստիճանների դեպքում:



Նկ.1.7 QSS հզորության գործակիցը որպես ֆունկցիա կոմպրեսորի սեղմնան աստիճանից և մթնոլորտային օդի ջերմաստիճանից

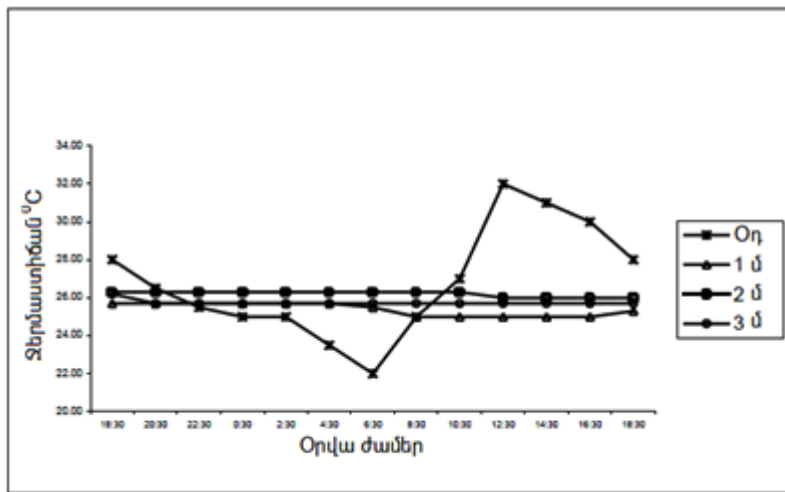
Նկ.1.7-ից կարելի է նկատել, որ մնացած բոլոր հավասար պայմանների դեպքում, ինչքան մեծ է կոմպրեսորում ձնշման բարձրացման աստիճանը, այնքան ավելի մեծ է ներծծվող օդի ջերմաստիճանի բարձրացումից կամ հզորության անկումը:

Համակցված ցիկլերի դեպքում QSS կոմպրեսոր մատուցվող օդի ջերմաստիճանի փոփոխության ազդեցությունը նկատվում է նաև ստորին՝ շոգեջրային ցիկլի վրա: Մասնավորապես, նվազում է QSS-ից շոգու ռեգեներատոր տրվող ջերմային էներգիայի քանակը: Այս անկումը պայմանավորված է QSS-ից հեռացող

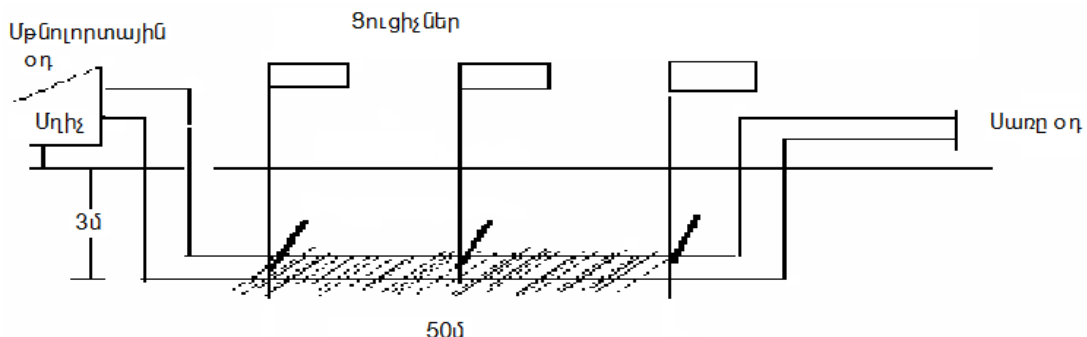
Ժխագագերի քանակի նվազմամբ, և միայն փոքր-ինչ փոխհատուցվում է հեռացող Ժխագագերի ջերմաստիճանի բարձրացման ազդեցությամբ: Որպես հետևանք, ավելի քիչ գոլորշի է արտադրվում, որը նշանակում է շոգետուրբինի հզորության նվազում: Ավելին, մթնոլորտային օդի ջերմաստիճանի բարձրացումը ազդում է նաև գոլորշային ցիկլի հովացման համակարգի աշխատանքի վրա և բերում է շոգետուրբինի արտածման ջերմաստիճանի բարձրացման:

## **1.2. ԳՏՏ կոմպրեսոր մատուցվող օդի հովացման եղանակների և սխեմաների վերլուծություն**

Դիտարկենք մի շարք եղանակներ, որոնք նպատակառուղյած են շրջակա միջավայրի ջերմաստիճանի բարձրացման պարագայում ԳՏՏ հզորության անկման վերականգնմանը, տեղակայանքի կոմպրեսոր մատուցվող օդի հովացման միջոցով [7,8,9,10,11] : Դրանց մեջ յուրահատուկ տեղ է գրավում հովացման փորձնական տեղակայանքը, որում ԳՏՏ կոմպրեսոր մատուցվող օդի հովացումը իրականացվում է օդի ջերմությունը հաղորդելով հողածածկույթի որոշակի խորության շերտերին: Այս մեթոդը հիմնված է այն երևույթի վրա, որ չնայած, որ օրվա ընթացքում մթնոլորտային օդի ջերմաստիճանը տատանվում է բավականին մեծ շրջանակներում, մոտ 2մ խորության վրա՝ հողաշերտի ջերմաստիճանը գործնականում մնում է հաստատուն: Նկ.1.8-ում պատկերված գրաֆիկը, որպես օրինակ ցույց է տալիս Հնդկաստանի Ահմադեբաղ քաղաքի օդի և տարբեր խորություններում հողաշերտի ջերմաստիճանների տատանումները ամառային որևէ օրվա ընթացքում: Ինչպես երևում է բերված գրաֆիկից, մինչ օդի ջերմաստիճանի փոփոխությունը օրվա ընթացքում կազմում է  $10^{\circ}\text{C}$ , բարձրանալով մինչև  $32^{\circ}\text{C}$ , երբ առավոտյան ժամերին այն  $22^{\circ}\text{C}$  էր, 3մ խորության հողաշերտի ջերմաստիճանը գործնականում մնում է հաստատուն՝  $25,7^{\circ}\text{C}$  ջերմաստիճանով: Նման հովացման համակարգերը կիրառվում են Եվրոպայում և Հյուսիսային Ամերիկայում ջերմոցների, թռչնաբուծական համալիրների և խոզաբուծարանների օդորակման համակարգերում:



Նկ.1.8.Հողածածկույթի ջերմաստիճանը տարբեր խորությունների վրա և օդի ջերմաստիճանը Ահմադեբաղում, 19...20 օգոստոսի, 1999թ.

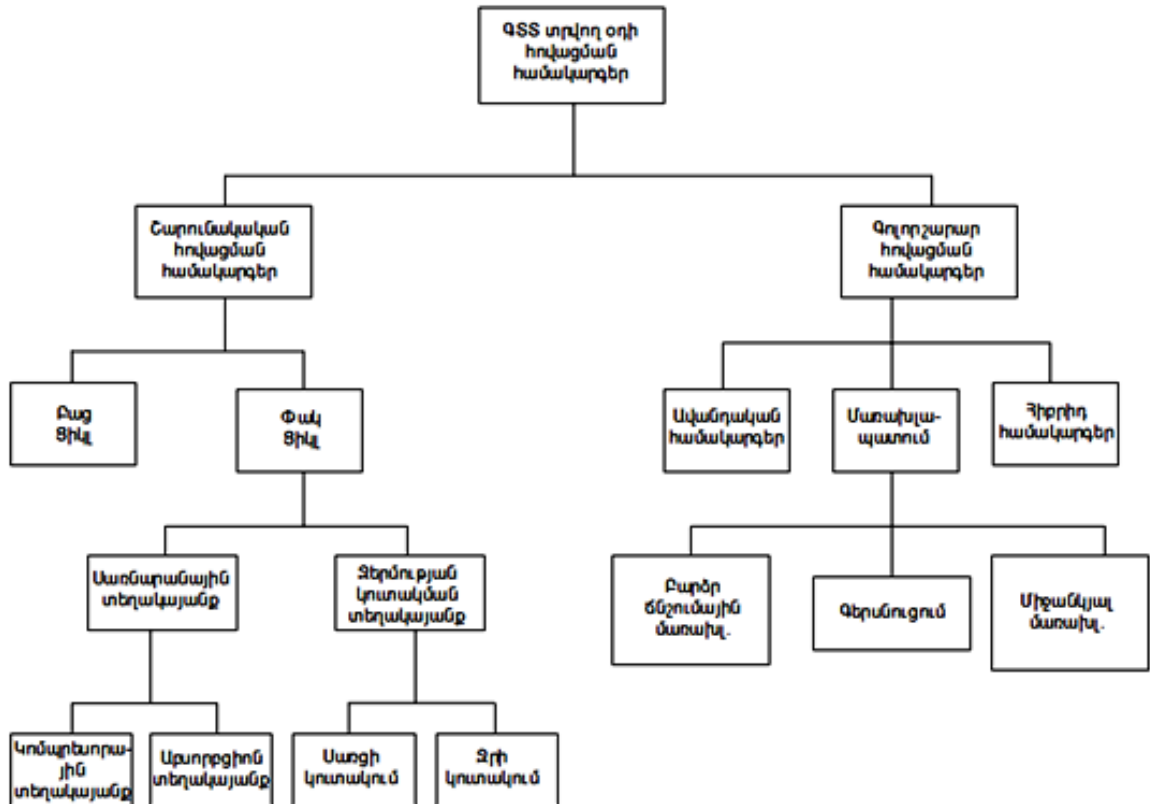


Նկ.1.9. QSS մատուցվող օդի հողածածկույթի միջոցով հովացման տեղակայանք

QSS մատուցվող օդի վերը նշված հովացման համակարգի փորձնական տեղակայանքը, որը տեղակայված է Հնդկաստանի Ահմադեբաղ քաղաքում, կազմված է 50 մ երկարությամբ 10 սմ տրամագծով կողավորված խողովակից, որը գտնվում է 3 մ խորության վրա: Հավելյալ օդանուղը մղում է մթնոլորտային տաք օդը այդ խողովակի միջով, որի մյուս կողմից դուրս եկող օդը ունի գրեթե հողաշերտի ջերմաստիճանին հավասար ջերմաստիճան, և արդեն մատուցվում է QSS կոմպրեսոր (Նկ.1.9): ABB STAL GT10B մոդելի QSS-ի համար կատարված հաշվարկների արդյունքները փաստում են, որ նշված համակարգի կիրառումը նշված քաղաքում կրերի QSS օգտակար հզորության 1055 կՎտ ավելացման [12]:

Նկ.1.10-ում պատկերված են QSS մատուցվող օդի հովացման հիմնական եղանակները, որոնք բաժանվում են երկու հիմնական տեսակների՝ “շարունակական

հովացման համակարգեր”, երբ չկա անմիջական կոնտակտ հովացվող օդի և հովացնող միջավայրի միջև, և “գոլորշարարար հովացման համակարգեր”, որոնցում հովացումը իրականացվում է հովացվող միջավայրի և հովացնող ագենտի խառնման միջոցով [7...11]:



Նկ.1.10. QSS կոմպրեսոր մատուցվող օդի հովացման մեթոդներ

Ստորև ներկայացվում են դրանց աշխատանքի հիմնական սկզբունքները:

Հովացման շարունակական համակարգեր՝ օդի հովացումը իրականացվում է QSS կոմպրեսոր օդի մատուցման համակարգի օդատարի (տրակտի) մեջ, կոմպրեսորից առաջ, ջերմափոխակիչ ապարատի տեղադրմամբ: Զուրը, կամ որևէ այլ սառնարանային ագենտ կարող է հանդիսանալ ցրտի աղբյուր: Վերջին դեպքում անհրաժեշտ է նաև սառնարանային տեղակայանք: Այս տիպի տեղակայանքներից ամենատարածվածները ունեն կոմպրեսորային կամ արտորդին սառնարանային տեղակայանքներ, կամ ջերմային էներգիայի կուտակման հնարավորություն:

Գոլորշարար հովացման համակարգեր՝ այս համակարգերի աշխատանքի հիմքում ընկած է ջրի գոլորշիացման միջոցով օդի հովացման իրականացումը: Գոլորշարար հովացման համակարգերի համար գոյություն ունեն օդը և ջուրը կոնտակտի մեջ դնելու երկու հիմնական եղանակներ՝ ավանդական եղանակ, որի

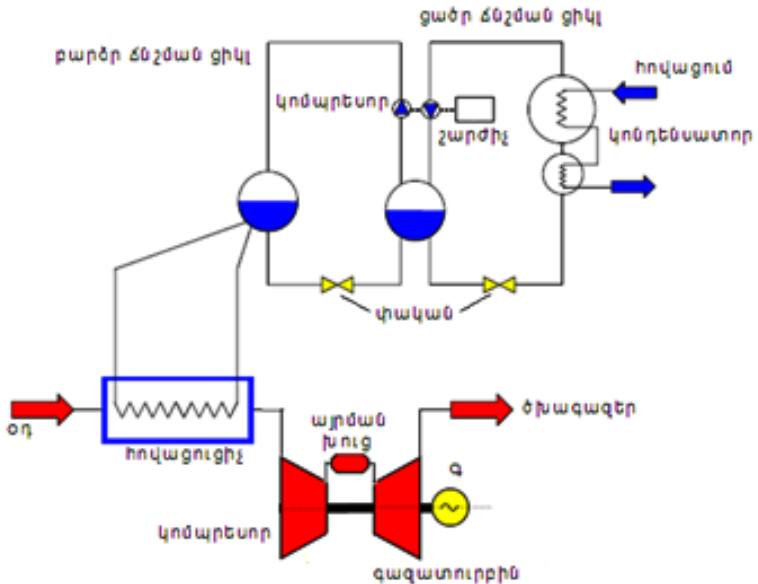
դեպքում, օդը ստիպողաբար ուղղվում է կոմպրեսոր օդի մատուցման համակարգի օդատարի մեջ տեղակայված թրջված բջիջներ, և ջրային մշուշապատումը (մշուշապատում՝ խոնավ օդային միջավայրի ստեղծում), որի դեպքում կիրառվում են ջրի փոշիացուցիչ փողորակներ: Հիբրիդային համակարգերում, գոլորշիացման հովացման ազդեցությունը համակցվում է որևէ այլ տիպի ջերմափոխանակիչի հետ, որպես կանոն՝ պտտվող ջերմափոխանակիչ: Շարունակական համակարգերը իրենց հերթին բաժանվում են 2 խմբի՝

- Բաց ցիկլով շարունակական հովացում,
- Փակ ցիկլով շարունակական հովացում:

Բաց ցիկլով շարունակական հովացում այս համակարգում, օդի հովացման համար անհրաժեշտ ջուրը վերցվում է որևէ արտաքին աղբյուրից(գետ, լիձ կամ ծով) և օգտագործվում է կոմպրեսորից առաջ տեղադրված ջերմափոխանակիչ ապարատում որպես սառնարանային ագենտ: Այս համակարգի հիմնական առավելությունը նրանում է, որ այն շատ պարզ իրականացում ունի, բայց պետք է նշել, որ դրա հովացման պոտենցիալը կախված է ջրի աղբյուրի ջերմաստիճանից և տեղանքի կլիմայական պայմաններից: Նաև ջերմափոխանակիչ ապարատի կիրառությունը բերում է օդի մատուցման տրակտում ճնշման անկման մեծացման:

Փակ ցիկլով կոմպրեսորային սառնարանային տեղակայանքով շարունակական հովացում Այս մեթոդի դեպքում օգտագործվում է օդի մատուցման տրակտում տեղադրված ջերմափոխանակիչ ապարատ, որով շրջանառվում է սառնարանային որևէ ագենտ, որը իր հերթին հովացվում է սառնարանային տեղակայանքում: Ամենաարդյունավետ համակարգը ամոնիակի գերսնուցմամբ համակարգն է, որում կիրառվում են պտուտակային կոմպրեսոր(ներ) և մակերևութային կոնդենսատոր(ներ): Հեղուկի գերսնումը իրականացվում է ջերմափոխանցման գործակիցը 25...30 %-ով մեծացնելու նպատակով: Կարելի է կիրառել մի քանի ճնշման ամոնիակ մի քանի աստիճանային ցիկլերով, սառնարանի կոմպրեսորի ծախսած էներգիան նվազեցնելու համար: Սառնարանայի տեղակայանքի կոմպրեսորը կարող է ունենալ էլեկտրական կամ վառելիքային հաղորդակ: Վառելիքային հաղորդակով կոմպրեսորի կիրառման դեպքում տեղի է ունենում “մաքուր” էլեկտրական հզորության բարձրացման ավելացում, սակայն այնուամենայնիվ էլեկտրաէներգիա է պահանջվում յուղի պոմպերի և այլ օժանդակ սարքավորումների համար: Համակարգը պահանջում է համեմատաբար մեծ կապիտալ ներդրումներ, մեծ տեղակայման տարածք և բարդ է

շահագործման մեջ: Վառելիքով աշխատող կոմպրեսորներ կիրառվում են, երբ կա էլ. էներգիայի վերականգնման ծայրահեղ անհրաժեշտություն: Տեղադրվում է նաև պաշտպանության համակարգ, սառնարանային ագենտի արտահոսքերից խուսափելու համար (Ակ.1.11):



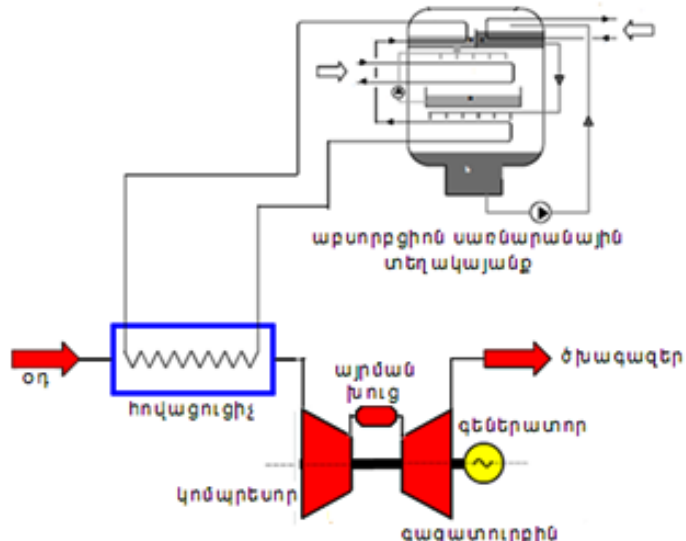
**Ակ.1.11. Կոմպրեսորային սառնարանային տեղակայանքով շարունակական հովացման տեղակայանք**

**Փակ ցիկլով աբսորբցիոն սառնարանային տեղակայանքով շարունակական հովացում** այս համակարգը պահանջում է ջերմության աղբյուր՝ ռեզեներատորի համար: Որպես ջերմության աղբյուր սովորաբար կիրառում են գազատուրիֆինից հեռացող ծխագագերը, կամ գոլորշի, եթե հնարավոր է: Աբսորբցիոն սառնարանային մեքենաները, մասնավորապես նրանք, որոնք որպես սառնարանային ագենտ օգտագործում են լիթիումի բրոմիդը, տարիների ընթացքում լայն կիրառություն են ստացել ավիացիոն գազատուրիֆինների հովացման համար: Դրանք կարող են հովացնել օդը մինչև  $10^{\circ}\text{C}$ : Որպես ռեզեներատորի ջերմության աղբյուր կարող է կիրառվել նաև գազ կամ տաք ջուր: Չնայած որ այս դեպքում ջերմության աղբյուրը էլ. էներգիա չի ծախսում, սակայն էլ. էներգիա անհրաժեշտ է պոմպերի, կոնդենսատորի օդամուղների և այլ օժանդակ սարքավորումների համար:

Աբսորբցիոն տեղակայանքը (Ակ.1.12) կարող է լինել մեկ կամ կրկնակի ազդեցության: Մեկ ազդեցության տեղակայանքը ունի էներգիայի  $0,7...0,9$  վերափոխման գործակից, կրկնակի ազդեցության տեղակայանքներում այն հասնում է  $1,15$ -ի: Մեկ ազդեցության գոլորշու աբսորբցիոն համակարգը պահանջում է  $1...1,4$  բար

Ճնշման գոլորշի, իսկ կրկնակի ազդեցության տեղակայանքը՝ 7,9...8,3 բար. Կրկնակի ազդեցության համակարգերում կարելի է կիրառել ավելի ցածր ճնշման գոլորշի, սակայն դա բերում է արդյունավետության անկման: Օրինակ, շոգու ճնշման մինչև 4,8 բար իջեցումը բերում է հովացուցչի արտադրողականության 20 % անկման: Կրկնակի ազդեցության աբսորբցիոն համակարգերի շոգու ծախսը մոտ 2 անգամ ավելի քիչ է համեմատած մեկ ազդեցության համակարգերի հետ:

Պարզ ցիկլով աշխատող ԳՏՏ-ների դեպքում, բավական էներգիա է արտանետվում շրջակա միջավայր՝ հեռացող ծխագագերի հետ: Այդ էներգիան կարող է օգտագործվել որևէ օգտակար նպատակով: Օրինակ, ԳՏՏ հեռացող ծխագագերը կարող են անմիջապես օգտագործվել որպես ջերմության աղբյուր՝ ռեգեներատորում, կամ կարող են օգտագործվել տաք ջուր կամ գոլորշի արտադրելու համար՝ ԳՏՏ-ից հետո ջերմափոխանակիչի տեղադրմամբ:

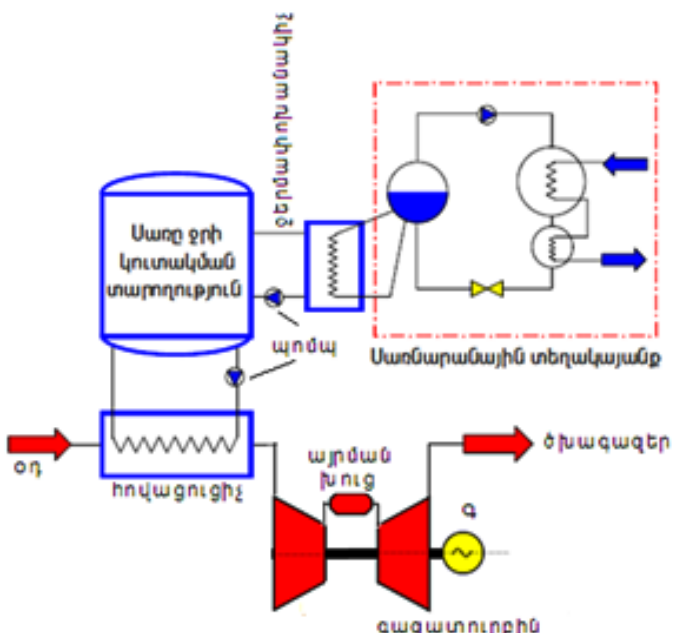


Նկ.1.12. Աբսորբցիոն սառնարանային տեղակայանքով շարունակական հովացման տեղակայանք

Սակայն պետք է նկատի ունենալ որ, եթե տաք ջրի կամ գոլորշու արտադրության համար պահանջվում է նոր ջերմափոխանակիչ մակերևույթների տեղակայում օգտահանիչ կաթսայում, ապա դրանք հանգեցնում են ճնշման անկման մեծացման, մանավանդ եթե այդ նոր մակերևույթները ավելացվում են որպես վերնակառուցվածք և դրանք հաշվի չեն առնված նախագծման ժամանակ:

Փակ ցիկլով շարունակական հովացում ջերմային էներգիայի կուտակմամբ՝ այս հովացման համակարգը ոչ պիկային ժամերին ստեղծում և կուտակում է ցուրտ (սառույց կամ սառը ջուր), որը պիկային ժամերին օգտագործվում է կոմպրեսոր

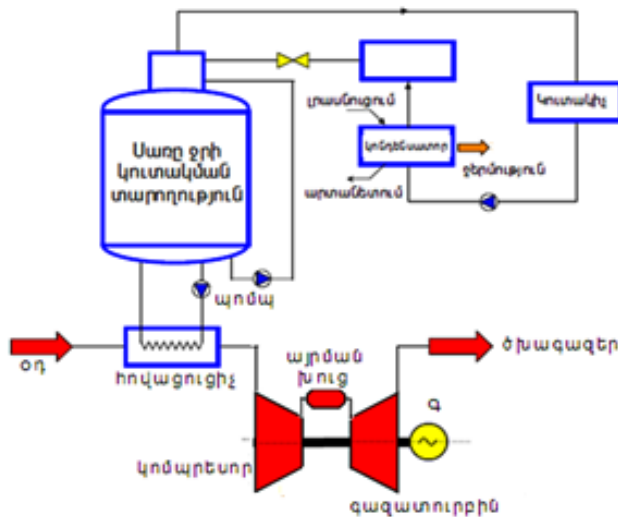
մատուցվող օդի հովացման և հզորությունը ավելացնելու համար: Այսպիսի բնութագրերով հովացման համակարգը տնտեսապես օգտակար է միայն օրվա մի քանի ժամերին, հատկապես եթե գազաթափանակը և սովորական ժամերին էլ. էներգիաների արժեքների միջև տարբերությունը մեծ է: Չնայած, որ այս համակարգերը բավականաչափ երկար ժամանակահատվածում կարող են առաջացնել ջերմաստիճանի նշանակալի իջեցում, սրանց կիրառմամբ հզորության միջին ավելացումը ամենափոքրն է մնացած բոլոր համակարգերի համեմատ: Հարկ է նշել նաև, որ կապիտալ ներդրումները և կայանի շահագործման բարդեցումը շատ ավելի մեծ են մշուշապատճամբ հովացման համակարգի համեմատ:



Նկ.1.13. Ջերմային էներգիայի կուտակում սառը ջրի տեսքով

Նկ.1.13 և 1.14-ում ներկայացված են ջերմային էներգիայի կուտակմամբ հովացման համակարգի սխեմաներ, ջերմային էներգիայի կուտակման՝ սառը ջրի և սառցի տեսքով համապատասխանաբար: Սառուցը ամենաարդյունավետ կուտակման եղանակն է, քանի որ դրա ցրտի պահպանման ծավալը մի քանի անգամ ավելի մեծ է այս տիպի համակարգերում կիրառվող մնացած հեղուկների համեմատ:

Սառը ջուրը կամ այլ հեղուկները կարող են նույնական դիտարկվել, սակայն այդ դեպքում կարող են պահանջվել մինչև 7 անգամ ավելի մեծ կուտակման ծավալներ սառցի կուտակման համեմատ, որը բերում է դրանց կիրառման սահմանափակումների, եթե պահանջվում է կոմպրեսոր մատուցվող օդի խորը հովացում:

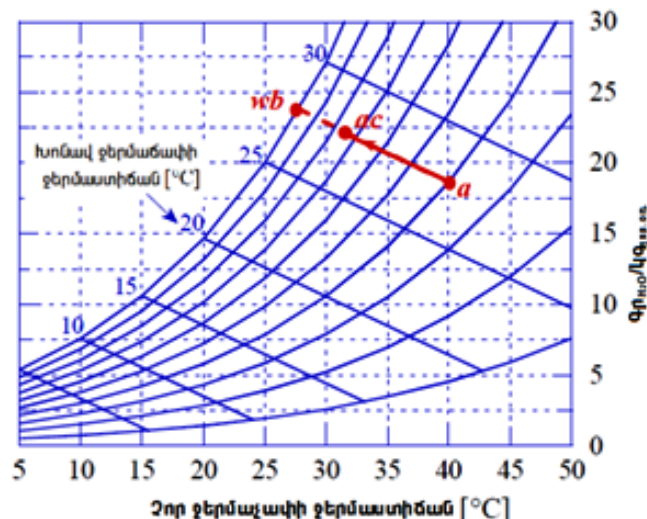


Նկ.1.14.Չերմային էներգիայի կուտակում սառի տեսքով

Հովացման ավանդական գոյորդարար համակարգեր՝ այս համակարգերը ջրի գոլորշիացման համար օգտագործում են խոնավացված ցելյուլոզային նրբաթելերից կազմված բջիջներ, որոնք տեղադրվում են ԳՏՏ կոմպրեսոր օդի մատուցման տրակտում: Հնարավոր իրացվելիք ջերմաստիճանի իջեցումը մի կողմից ֆունկցիա է տեղակայանքի կառուցվածքից, և մյուս կողմից շրջակա միջավայրի պայմաններից: Հովացուցչի արդյունավետությունը (E) կարելի է ներկայացնել (1.8) բանաձևով (Ակ.1.15.)

$$E = \frac{T_a - T_{ac}}{T_a - T_{wb}} \cdot 100 \%, \quad (1.8)$$

որտեղ  $T_a$ -ն մթնոլորտային օդի ջերմաստիճանն է,  $T_{ac}$ -ն հովացված օդի ջերմաստիճանն է,  $T_{wb}$ -ն խոնավ ջերմաչափի ջերմաստիճանն է,



**Նկ.1.15. Պսիխիոմետրիկ դիագրամ ավանդական գոլորշարար հովացման համակարգի համար**

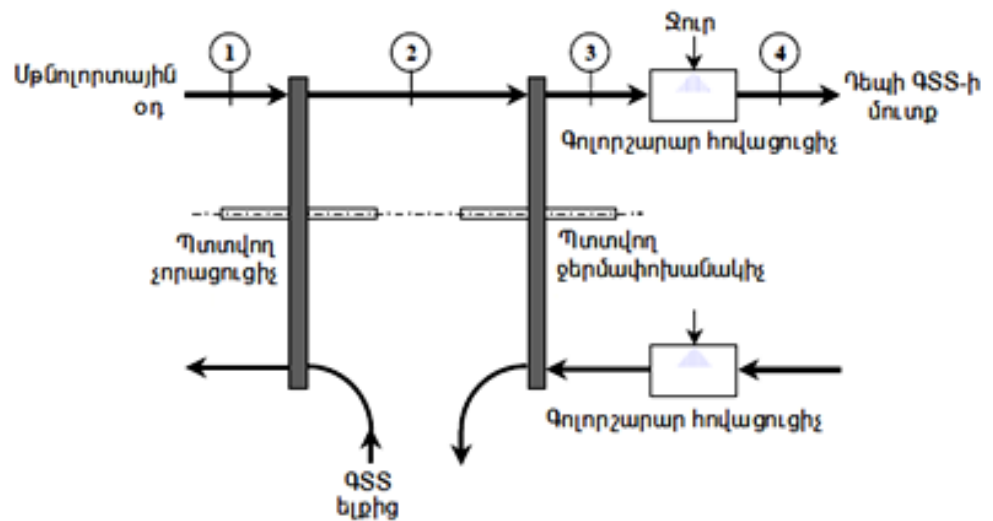
Ե-ի տիպիկ արժեքը ընկած է 85...90 % սահմաններում: Սա նշանակում է, որ հովացման հետևանքով օդի ջերմաստիճանը հնարավոր չէ հավասարեցնել խոնավ ջերմաչափի ջերմաստիճանին: Հովացման արժեքը կախված է օդի և ջրի շփան մակերևույթի մակերեսից և շփման տևողությունից և արագությունից:

Ենթադրենք  $E=85\%$ , ( $\Delta T$ ) ջերմաստիճանի անկումը կարելի է ներկայացնել՝

$$\Delta T = T_1 - T_2 = E(T_1 - T_{1WB}) = 0,85(T_1 - T_{1WB}) \quad (1.9)$$

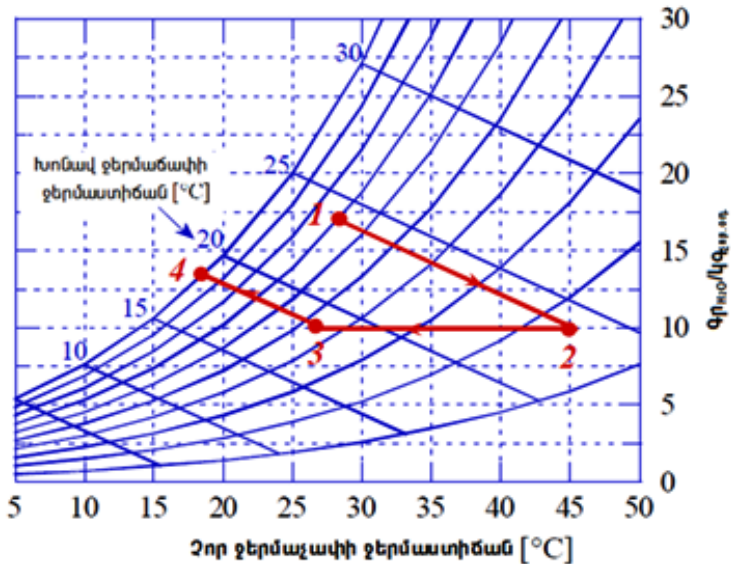
Դիտարկելով որպես օրինակ, միջավայրի  $40^{\circ}\text{C}$  ջերմաստիճան և  $40\%$  հարաբերական խոնավության պայմաններ, արդյունքում համապատասխան խոնավ ջերմաչափի ջերմաստիճան՝  $28^{\circ}\text{C}$ , կունենանք առավելագույն հնարավոր ջերմաստիճանի  $12^{\circ}\text{C}$  անկում: Վերևում բերված նկատառումներից ելնելով, կարելի է ասել, որ նշված պայմաններում ավանդական գոլորշարար հովացման համակարգով կարելի է ԳՏՏ կոնդիրեսոր մատուցվող օդի ջերմաստիճանը իջեցնել  $0,85 \times 12 = 10,2^{\circ}\text{C}$ -ով:

**Գոլորշարար հիբրիդ համակարգեր՝** Այս համակարգերը կիրառում են օդի կոնդիցիոնացման տիպիկ տեղակայանքի գործողությունները: Նկ.1.15-ում պատկերված է գոլորշարար հիբրիդային հովացուցչային տեղակայանքի սխեման, և Նկ.1.16-ում՝ դրա գործունեության վուլերին համապատասխան ձևափոխումները վսիխիոմետրիկ դիագրամի վրա:



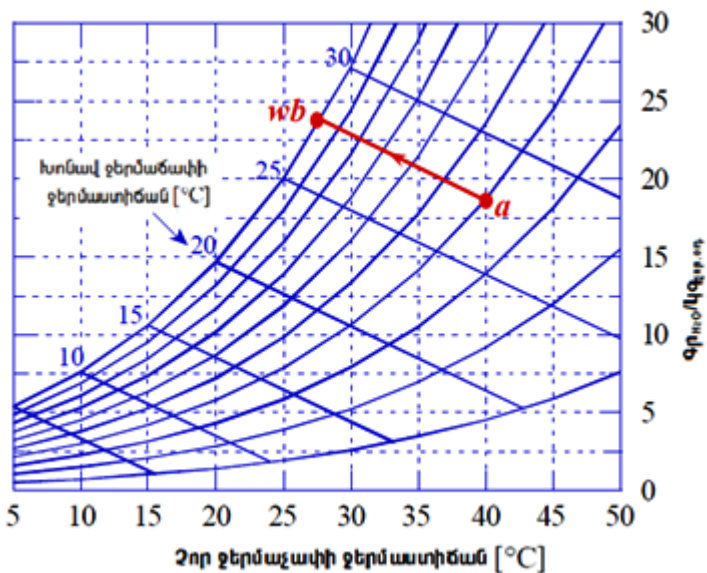
**Նկ.1.16. Գոլորշարար հիբրիդ համակարգի սխեմա**

Ինչպես կարելի է տեսնել այդ նկարներից, աղիաբատ գոլորշիացման միջոցով օդի հովացման ազդեցությունը ավելացնելու համար, նախ պտտվող չորացուցչի միջոցով իրականացվում է աղիաբատ խոնավագրկում (1-2 նկ.1.16), որը ռեգեներացվում է տուրբինի հեռացող ծխագագերի հաշվին, հետո իրականացվում է օդի հովացում առանց նրա խոնավացման (2-3 նկ.1.16) և ապա իրականացվում է օդի աղիաբատ հագեցում (3-4 նկ.1.16):



Նկ.1.17.Գոլորշաբար հիբրիդ հովացման համակարգի փսիխիոմետրիկ դիագրամ

Զրային մշուշապատում (Մարախյապատում) սա ԳՏՏ մատուցվող օդի հովացման մի մեթոդ է, որում աղագրկված ջուրը բարձր ճնշմանը(70...200 բար) աշխատող հատուկ փողորակների միջոցով վերածվում է մշուշի: Հովացման երևոյթը ապահովվում է ջրի գոլորշիացման միջոցով: Սա նշանակում է, որ օդի մատուցման տրակտում տեղի է ունենում օդի հոսքի աղիաբատ հագեցում:



Նկ.1.18. Փսիլիոմետրիկ դիագրամ ( $p=1,01325$  բար)

Նկ.1.18-ում փսիլիոմետրիկ դիագրամի վրա պատկերված է մշուշապատճան միջոցով տեղի ունեցող պրոցեսը: Օդի աղիաբատ հագեցման երևոյթի միջոցով օդի հովացման արդյունավետությունը կայանում է դրա ջերմաստիճանը չոր ջերմաչափի ջերմաստիճանից խոնավ ջերմաչափի ջերմաստիճանին հասնելու մեջ (a-wb):

Կախված ներարկվող ջրի քանակից և տեղամասից, մշուշապատճան 3 տարբեր տեսակներ կարող են իրականացվել՝

- բարձր ճնշումային մշուշապատճում (գոլորշարար հովացում) այս դեպքում օդի մատուցման տրակտ ներարկվող ջրի քանակը բացառապես հավասար է օդի հագեցման համար անհրաժեշտ քանակությանը: Այս մեթոդի դեպքում, կոմպրեսորի մուտքի մոտ ջրի ամբողջ քանակը գոլորշիացած է լինում:
- գերսնուցմամբ մշուշապատճում ներարկված ջրի քանակությունը ավել է, քան անհրաժեշտ է օդի հագեցման համար: Ուստի, ջրի որոշ քանակություն հեղուկ վիճակում(սովորաբար ոչ ավել քան օդի մասսայական ծախսի 2 %), մուտք է գործում կոմպրեսոր, որտեղ գոլորշիացումը շարունակվում է մինչև վերջ:
- Միջանկյալ մշուշապատճում այս մեթոդի դեպքում, ջրի ներարկումը կատարվում է (միայնակ կամ նախորդ մեթոդների հետ համատեղ) կոմպրեսորի ստատորի ուղղիչ թիակների միջով: Արդյունքը բավականին նման և մոտ է ավանդական բազմաստիճան սեղմամբ-հովացմամբ կոմպրեսորի աշխատանքին [13]:

ԳՏՏ մատուցվող օդի հովացման գոյություն ունեցող մեթոդներից ընտրելը հեշտ չէ, քանի որ պետք է հաշվի առնել շատ պարամետրեր, ինչպես օրինակ օդի ջերմաստիճանը, հարաբերական խոնավությունը, օդի հոսքի և գազատուրբինի արադրանքի հարաբերակցությունը, կամ օրվա ընթացքում հզորության վերականգնման անհրաժեշտ ժամանակահատվածի տևողությունը [14, 15]:

Հովացման տեխնոլոգիաների վերաբերյալ հիմնական գրականության [10,11,14-25] հիման վրա կազմվել է աղ.1.1-ը, որը ամբողջացնում է բոլոր հովացման տեխնոլոգիաների առավելությունները և թերությունները:

#### Այլուսակ 1.1

ԳՏՏ կոմպրեսոր մատուցվող օդի հովացման մեթոդների հիմնական հատկանիշները

Մեթոդ	Առավելություն	Թերություն
<b>Շարունակական հովացում բաց ցիկլով</b>	- համեմատաբար հեշտ է իրագործել	- պահանջվում է ջրի աղբյուր - հավելյալ ձնշման անկում - հովացման պոտենցիալը կախված է կլիմայական պայմաններից
<b>Կոմպրեսորային սարնարանային տեղակայանքով շարունակական հովացում</b>	- ապահովում է ակնթարթային հովացում - կարելի է հովացնել օդը խոնավ ջերմաչափի ջերմաստիճանից էլ ցածր - արդյունավետ է երբ պահանջվում է հզորության ավելացում երկար ժամանակով(ավելի քան 6...8 ժամ/օր) - չի պահանջում մեծ տարածք	- պահանջվում է սարնարանային ագենտ - ունի էլ. էներգիայի մեծ սպառում - կոմպրեսորի մուտքում ձնշման հավելյալ անկում - սարնարանային ագենտի արտահոսքի հետ կապված վտանգներ

Այլուսակ 1.1 -ի շարունակություն

Մեթոդ	Առավելություն	Թերություն
<b>Աբսորբցիոն սարնարանային տեղակայանքով շարունակական հովացում</b>	<ul style="list-style-type: none"> <li>- ապահովում է ակնթարթային հովացում</li> <li>- կարելի է խովացնել օդը խոնավ ջերմաչափի ջերմաստիճանից էլ ցածր</li> <li>- արդյունավետ է երբ պահանջվում է հղորության ավելացում երկար ժամանակով(ավելի քան 6...8 ժամ/օր)</li> </ul>	<ul style="list-style-type: none"> <li>- պահանջվում է ջերմության աղբյուր</li> <li>- հաջող իրագործման համար պետք է շատ բարձր ջերմաստիճանի զագ, մոտ 650 °C</li> <li>- պահանջվում է գոլորշային ցիկլ</li> <li>- էլ. էներգիայի սպառում</li> <li>- կոմպրեսորի մուտքում ձնշման հավելյալ անկում</li> </ul>
<b>Ջերմային էներգիայի կուտակմամբ շարունակական հովացում</b>	<ul style="list-style-type: none"> <li>- արդյունավետ է երբ պահանջվում է հղորության ավելացում օրեկան մի քանի ժամ</li> <li>- ջերմաստիճանի նշանակալի իջեցում</li> <li>- արդյունավետ է, երբ էլ. էներգիայի զնի տարրերությունը պիկային և ոչ պիկային ժամերին մեծ է</li> </ul>	<ul style="list-style-type: none"> <li>- բարդ տեղակայանք է</li> <li>- ցրտի աղբյուրի համար պահանջվում է էներգիայի սպառում</li> <li>- կոմպրեսորի մուտքում ձնշման հավելյալ անկում</li> </ul>
<b>Հովացման ավանդական համակարգ</b>	<ul style="list-style-type: none"> <li>- հարաբերականորեն փոքր կապիտալ ներդրումներ</li> <li>- ինչտ կառավարվող</li> </ul>	<ul style="list-style-type: none"> <li>- անհնար է հասնել 100 % հարաբերական խոնավության</li> <li>- բարձր խոնավությամբ տեղանքներում անհմաստ է</li> <li>- աղագրկված ջրի ծախս</li> <li>- կոմպրեսորի մուտքում ձնշման հավելյալ անկում</li> </ul>
<b>Հիբրիդ համակարգ</b>	- հավելյալ հովացում, որը հանգեցնում է խոնավ ջերմաչափի ջերմաստիճանի	<ul style="list-style-type: none"> <li>- ծայրահեղ բարդ</li> <li>- պահանջվում է ջուր, կամ այլ սարնարանային ագենտ</li> <li>- բավականին թանկ</li> </ul>
<b>Բարձր ձնշունային մշուշապատում</b>	<ul style="list-style-type: none"> <li>- բավականին էժան</li> <li>- պահանջվում է կայանի նվազագույն ձևափոխություն</li> <li>- կոմպրեսորի մուտքում ձնշման հավելյալ նվազագույն անկում</li> </ul>	<ul style="list-style-type: none"> <li>- աղագրկված ջրի ծախս</li> <li>- անհնար է հովացնել օդը խոնավ ջերմաչափի ջերմաստիճանից ցածր</li> <li>- ոչ այնքան արդյունավետ բարձր խոնավությամբ գոտիներում</li> </ul>
<b>Գերսնուցմամբ մշուշապատում</b>	<ul style="list-style-type: none"> <li>- բավականին էժան</li> <li>- պահանջվում է կայանի նվազագույն ձևափոխություն</li> <li>- կոմպրեսորի մուտքում ձնշման հավելյալ նվազագույն անկում</li> <li>- մշուշային հովացման համեմատ հավելյալ հղորության ավելացում</li> </ul>	<ul style="list-style-type: none"> <li>- աղագրկված ջրի ծախս</li> <li>- անհնար է հովացնել օդը խոնավ ջերմաչափի ջերմաստիճանից ցածր</li> <li>- ոչ այնքան արդյունավետ է բարձր խոնավությամբ գոտիներում</li> <li>- հնարավոր է կոմպրեսորի թիակների էռողիա</li> </ul>
<b>Միջանկյալ</b>	- կոմպրեսորի մաքրություն և արդյունավետություն	- պահանջվում է կոմպրեսորի ձևափոխություն

## Իովացում

- դժվար է իրականացնել չնախատեսված տեղակայանքի վրա
- հնարավոր է կոմպրեսորի թիակների էռոգիա

Առկա բոլոր իովացման տեխնոլոգիաներից, ջրային մշուշապատումը (և բարձր ճնշումային և ավելցուկային), վերջին մի քանի տարիներին արձանագրել են ներդրման լայնամասշտաբ աճ, շնորհիվ նախնական ներդրումների փոքրության ի տարբերություն մնացած համակարգերի, այդ թվում նաև ավանդական գոլորշարար տեղակայանքների և սառնարանային տեղակայանքների:

Արտադրողականության կարգավորման պահանջին զուգակցված է նվազագույն կապիտալ ներդրումներով արտադրանքի ավելացման աստիճանաբար աճող պահանջներին հասնելու նպատակը: Կոմպրեսոր մատուցվող օդի բարձր ճնշումային մշուշային իովացումը շատ լավ տեղավորվում է հզորության կարգավորման և վերականգնման ցածր արժեքով և բարձր արդյունավետությամբ տեխնոլոգիաների շարքում:

Մասնավորապես, մշուշապատման մոտեցումը ունի նախագծման, ծեռք բերման և ներդրման ծախսերի նվազագույն արժեքը: Ավելին, այն միակ մոտեցումն է, որը բերում է վառելիքի տեսակարար ծախսի փոքր աճի, մինչ մնացած բոլոր տեխնոլոգիաները ավելացնում են այն նշանակալի չափով: Կապիտալ ներդրումների ամենաարագ ետքնումը ապահովում է մշուշապատումը օգտահանիչ կաթսայում հավելյալ այրում կազմակերպելու զուգակցմանը: Վերջին տարիներին, մի քանի համակցված ցիկլերով աշխատող էլեկտրակայաններ, որոնք ունեն առաջատար տեխնոլոգիաներով աշխատող գազատուրբինային տեղակայանքներ և պիկային տեղակայանքներ ներդրել են մշուշապատումը որպես հզորության վերականգնման տեխնոլոգիա: Հաշվարկված է, որ ավելի քան 1000 ԳՏՏ օգտագործում են բարձր ճնշումային կամ ավելցուկային մշուշապատումը:

Երկու GE PG7241(FA) ԳՏՏ-ներից, երկու առանց հավելյալ այրման օգտահանիչ կաթսաներից և մեկ GE D11 շոգետուրբինից բաղկացած համակցված ցիկլի համար կատարված վերլուծությունները ցույց են տվել, որ իովացման բոլոր տարբերակների համեմատ ջրային մշուշապատումը կրում է ամենաքիչ ազդեցությունը տնտեսական պարամետրերի փոփոխության կողմից, հաշվի առնելով դրա աննշան ազդեցությունը կայանի ոչ պիկային աշխատանքի վրա, միջին ազդեցությունը պիկային բեռնվածքի դեպքում համակցված փոքր կապիտալ ներդրումների հետ [26]:

## **1.3 Մշուշապատման տեխնոլոգիան ԳՏՏ տեխնիկական հնարավորությունների ընդլայնման համար**

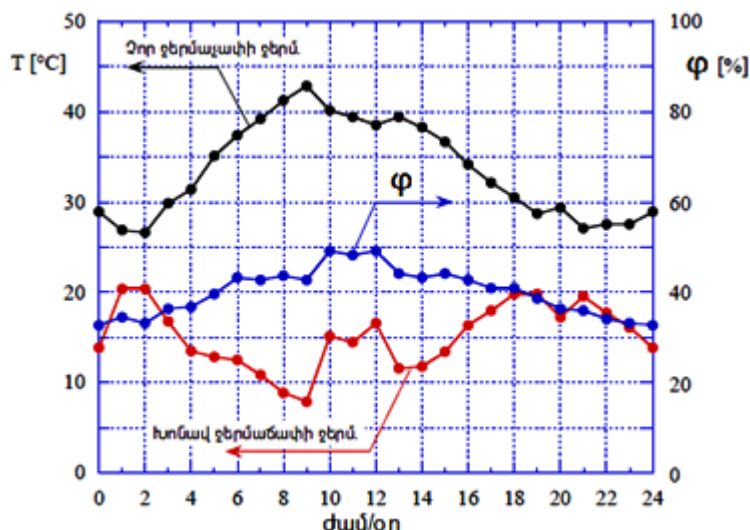
Կոմպրեսոր մատուցվող օդի մշուշապատումը օդի հովացման մեթոդ է, որի դեպքում աղազրկված ջուրը բարձր ճնշմամբ (սովորաբար 70...200 բար) աշխատող հատուկ նախագծված փոշիացուցիչ փողոցով վերածվում է մշուշի: Այս մշուշը հանգեցնում է օդի հովացման, երբ այն գոլորշիանում է ԳՏՏ օդի մատուցման տրակտի մեջ: Այս տեխնոլոգիան հնարավորություն է տալիս ձեռք բերել գոլորշիացմամբ հովացման գրեթե 100 % արդյունավետություն, կոմպրեսորի մուտքում օդի ջերմաստիճանը խոնավ ջերմաչափի ջերմաստիճանին հասցնելու տեսանկյունից:

Տիպիկ բարձր ճնշումային մշուշային հովացման համակարգը բաղկացած է մի քանի միացային պոմպերից, որոնք բարձր ճնշմամբ աղազրկված ջուր են մատակարարում փոշիացման փողորակների շարքերին, որոնք սովորաբար տեղադրված են օդի մատուցման համակարգում՝ զտող տարրերից հետո: Փոշիացուցիչներին անհրաժեշտ է բարձր ճնշման ջուր, քանի որ փոշու կաթիլի չափը, մինչև որոշակի սահման, համեմատական է գործածված ճնշման աստիճանին, որտեղ ա էքսպոնենտը տատանվում է  $-0,5...-0,2$  սահմաններում, կախված փողորակի տեսակից, երկրաչափական չափերից, հեղուկի բնութագրերից [27]: Այս փողորակները ստեղծում են մեծ քանակությամբ տարրեր չափի մանր կաթիլներ (50 մկմ-ից փոքր տրամագծով), որոնք գոլորշիանում են, երբ հոսում են ԳՏՏ օդի մատուցման համակարգի միջով: Հզոր գազատուրբինային տեղակայանքը կարող է ունենալ մի քանի հարյուր փողորակներից բաղկացած փոշիացման փողորակատախտակ: Բարձր ճնշումային մշուշային հովացման համար անհրաժեշտ է աղազրկված ջուր, կոմպրեսորի թիակների վնասման և բարձր ջերմաստիճանային գոտու կոռոզիոն երևույթներից խուսափելու համար:

### **1.3.1 ԳՏՏ մատուցվող օդի մշուշային հովացման կլիմայական և փսիխիոմետրիկ գործոնները**

Օդի խոնավությունը պարունակելու ընդունակությունը կախված է նրա ջերմաստիճանից: Տաք օդը կարող է ավելի շատ խոնավություն կլանել քան սառը օդը: Հետևաբար, հարաբերական խոնավությունը ամենաբարձրն է առավոտյան և երեկոյան սառը ժամերին, և ամենացածրը ցերեկվա ամենաշող ժամանակահատվածում: Տեղանքից վերցրած իրական տվյալները, ինչպես ցույց է տրված նկ.1.19-ում, պարզորոշ ցուցադրում են թաց և չոր ջերմաչափերի ջերմաստիճանների տարբերությունները, որը վերհանում է գոլորշային հովացուցիչների պոտենցիալը:

Աշխարհի տարբեր տեղանքներ ներառող, կլիմայական պայմանների մանրամասն վերլուծությունները ցույց են տալիս, որ գոլորշարար հովացման համակարգերը ունեն նշանակալի պոտենցիալ, նույնիսկ բարձր հարաբերական խոնավություն ունեցող այնպիսի տեղանքներում, որտեղ ավանդաբար չեր դիտարկվում դրանց կիրառությունը (Բանկոկ, Մայամի և այլն) [28,29]:



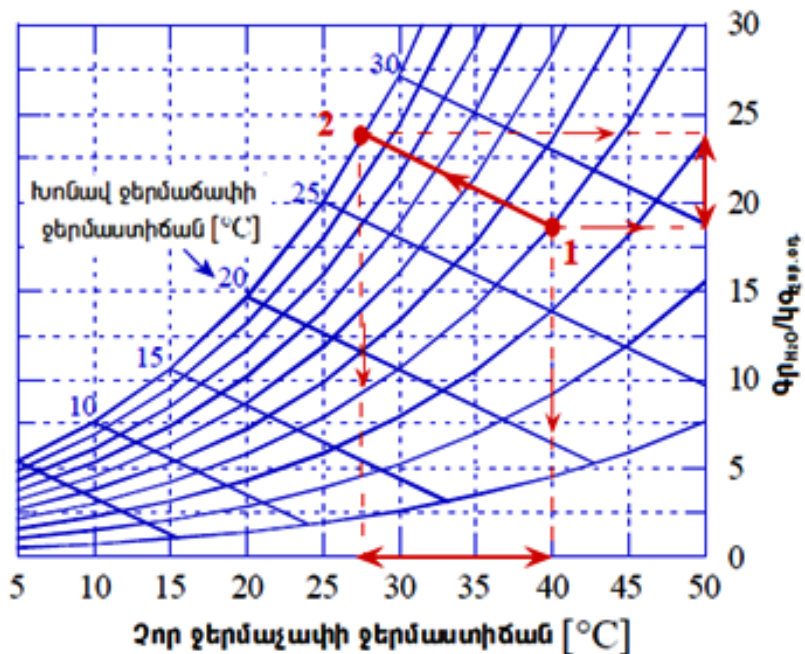
Նկ.1.19. Մթնոլորտային պայմանների օրեկան տատանումների օրինակ

Ջերմաստիճանի հաստատուն անկումը կոմպրեսորի մուտքում կարելի է հաշվարկել հետևյալ բանաձևով՝  $\Delta T = \frac{V^2}{2C_p}$ , որտեղ  $V$ -ն օդի հոսքի արագությունն է, իսկ  $C_p$ -ն օդի տեսակարար ջերմունակությունն է, և կարող է վերցվել 1004 Ֆ/կգԿ-ի հավասար:

Որոշ գազատուրբինային տեղակայանքների մոտ, այնպիսիք ինչպիսիք են ավիացիոն և որոշ առաջատար տեխնոլոգիաներով արտադրված տեղակայանքներ, կոմպրեսորի մուտքում օդի հոսքի արագությունը որոշ մասերում կարող է հասնել մինչև 175 մ/վ-ի, որը բերում է ջերմաստիճանի հաստատուն 15 °C անկման: Սակայն, ԳՏՏ-ների մեջամասնության մոտ, կոմպրեսորի մուտքում օդի հոսքի առավելագույն

արագությունը քիչ է 100 մ/վ-ից, որի դեպքում հաստատուն ջերմաստիճանային անկումը կարող է լինել մինչև 5 °C:

Մշուշային հովացման փսիխիոմետրիան: Նկ.1.20-ում պատկերված փսիխիոմետրիկ դիագրամը օգտագործվել է 200 կգ/վ օդի ծախս ունեցող գՏ մատուցվող օդի հովացման համար անհրաժեշտ ջրի քանակությունը գնահատելու մի մեթոդ ցուցադրելու համար: Հետևյալ մթնոլորտային պայմաններն են օգտագործված՝ 40 °C չոր ջերմաչափի ջերմաստիճան և 40 % հարաբերական խոնավություն (Կետ 1, Նկ.20): Այս պայմաններում խոնավության պարունակությունը օդում հավասար է  $18,5 \times 10^{-3}$  կգ H<sub>2</sub>O 1 կգ չոր օդում: Ենթադրվում է, որ օդը կիովացվի մինչև տվյալ պայմաններին համապատասխան խոնավ ջերմաչափի ջերմաստիճան, և վերջնական կետում օդի հարաբերական խոնավությունը կլինի 100 %: 2` հովացաց կետում օդում խոնավության պարունակությունը կլինի՝  $24,0 \times 10^{-3}$  կգ H<sub>2</sub>O 1 կգ չոր օդում: Հետևաբար, խոնավության այն քանակությունը, որը անհրաժեշտ է ավելացնել օդի հոսքին, նրա ջերմաստիճանը խոնավ ջերմաչափի ջերմաստիճանին հասցնելու համար կլինի  $5,5 \times 10^{-3}$  կգ H<sub>2</sub>O 1 կգ չոր օդին: Հետևաբար, պահանջվող ջրի քանակությունը կլինի 1,1 կգ/վ: Սա ջրի այն քանակությունն է, որը անհրաժեշտ է 200 կգ/վ օդի ջերմաստիճանը 12 °C-ով իջեցնելու համար:



Նկ.1.20. Կոմպրեսոր մատուցվող օդի մշուշային հովացման փսիխիոմետրիան

## 1.4 ԳՏՏ օդի մատուցման համակարգի կոնֆիգուրացիայի և փողորակի հատկությունների ազդեցությունը մշուշապատճան վրա

ԳՏՏ օդի մատուցման համակարգերը լինում են տարբեր ձևերի և հարմարադասման: Հովացման համակարգերի տեղադրման հետ կապված օդի մատուցման համակարգերի բարդությունները հետևյալն են՝

- Օդի ներծծման բազմակողմանի հարմարադասում (2 կամ 3 կողմից օդի մուտք), որտեղ փոշիացման փողորակները պետք է այնպես դասավորվեն, որպեսզի ապահովեն հավասարաչափ հովացում (նկ.1.21):
- Չափազանց կտրուկ անկյուն ունեցող տանիքով հարմարադասում, որոնք պահանջում են փողորակների դասավորության աճող փոփոխություն, տանիքի թրջումից խուսափելու համար:
- Կարճ տրակտով հարմարադասում, որտեղ կաթիլի գտնվելու տևողությունը նվազագույնն է, պետք է կիրառվի փողորակների հատուկ դասավորվածություն՝ հոսքը օպտիմալացնելու համար: Հիմնական դեպքերում, փողորակների հորիզոնական դասավորվածությունն է կիրառվում:
- Բարդություններ կապված տրակտի անսվոր խճողումների հետ կամ հարվածային դրների առկայությամբ:



Նկ.1.21. V-ձև օդի մատուցման տրակտ

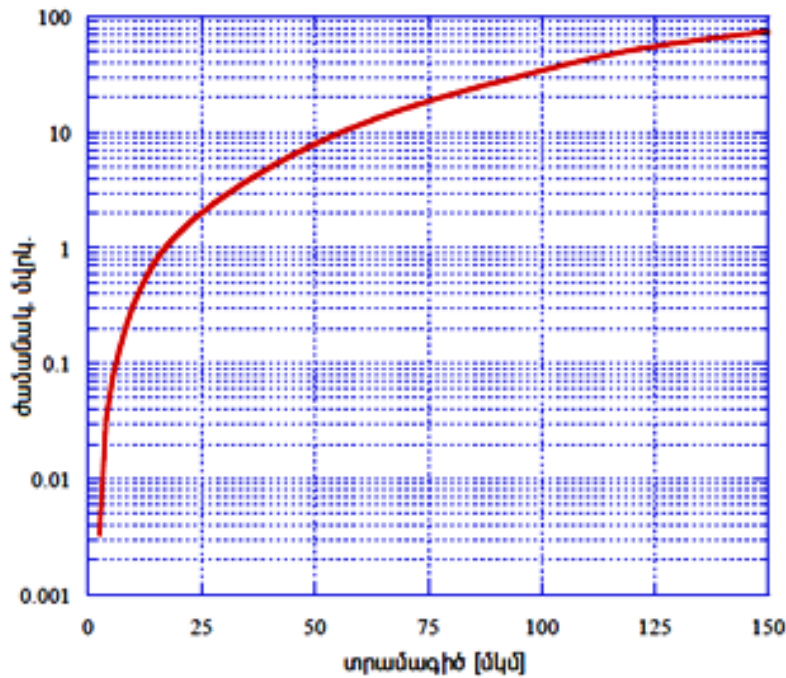
Օդի մատուցման տրակտերի մեծաքանակ տարատեսակների գոյությամբ պայմանավորված, փողոակների դասավորվածության, ուղղության և ջրահեռացման համակարգի օպտիմալացման համար հաճախ հիմնվում են և մոդելավորման և փորձի վրա [30]:

#### 1.4.1 Փողոակների դիրքը

Փողոակների տեղակայման տարբեր հնարավորություններ կան, օրինակ օդի մաքրման համակարգից հետո և խլացուցիչների և կեղտից պաշտպանության վահանի միջև: Փողոակների տեղակայման վայրի որոշումը կախված է մի քանի գործոններից, ներառյալ տեղադրման հետ կապված կանգառի տևողականությունը, գերսնուցման կիրառման ցանկությունը, գոյություն ունեցող օդի մատուցման տրակտի հարմարադասումը, ամբողջ համակարգի արժեքը և կաթիլների մինչև կոմպրեսոր հասնելու տևողականությունը: Առկա տարբեր տարբերակներից, փողոակների տեղակայումը խլացուցչից առաջ ապահովում է կաթիլի կոմպրեսոր հասնելու առավելագույն տևողականություն ինչպես նաև շահավետ է, և սովորական և գերսնուցմանք մշուշապատճան համար [31]:

Օտար մարմնի հասցրած վնասի հնարավորությունից խուսափելու համար, փողոակները միշտ պետք է տեղակայվեն կեղտից պաշտպանության վահանից առաջ: Որոշ հզոր ԳՏՏ-ների դեպքում, կարող է պահանջվել երկու փողոակատախտակի տեղադրում, մեկը՝ ֆիլտրող էլեմենտներից հետո՝ գոլորշարար մշուշապատճան համար, և մյուսը՝ կեղտից պաշտպանության վահանից առաջ՝ մշուշային գերսնուցմանք հովացման համար:

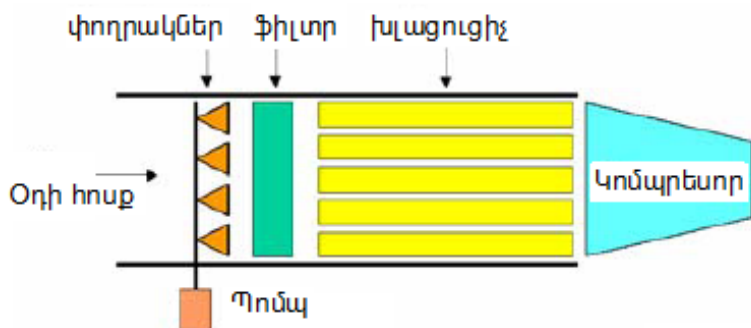
Կաթիլի մինչև կոմպրեսոր հասնելը օդում գտնվելու տևողականությունը կարևոր ցուցանիշ է, և այն պետք է զգուշորեն հաշվի առնվի: Սովորաբար, մշուշի կաթիլները ստանում են օդի հոսքի արագությունը մի քանի միլիվայրկյանների ընթացում՝ մեծ քարշի ուժերի հետևանքով: Ինչպես պատկերված է նկ.1.29-ում բերված գրաֆիկում, կաթիլի, օդի հոսքի արագությունը ընդունելու ժամանակամիջոցը ֆունկցիա է կաթիլի չափից [32]:



Նկ.1.22. Զրի կաթիլի օդի հոսքի արագությունը ընկալելու ժամանակամիջոցը  
որպես ֆունկցիա կաթիլի չափից [32]

Մշուշապատման փողորակներ ֆիլտրերից և խացուցից առաջ: Ակ. 1.23, Ակ. 1.24:

Այսպիսի հարմարադասման առավելությունը կայանում է նրանում, որ փողորակների տեղադրումը կարելի է իրականացնել առանց QSS-ի կանգարի: Այս դեպքում անհրաժեշտ է տեղադրել ևս մեկ ֆիլտր, մառախուղի կաթիլների ֆիլտր՝ փողորակներից հետո: Այն նախատեսված է չգոլորշիացած ջրի կաթիլները հեռացնելու համար: Սովորաբար, ենթադրվում է, որ ներարկված ջրի կեսը հեռացվում է այդ ֆիլտրի միջոցով: Այս համակարգը ներկայում օգտագործվում է միայն հին տեղակայանքների վրա, և նոր QSS-ների վրա շատ հազվադեպ է տեղադրվում: Այս համակարգը, մյուս տեսակների համեմատ, պահանջում է ավելի մեծ քանակի փողորկներ և շատ ջուր և ունի շահագործման ավելի մեծ ծախսեր: Սակայն գրականությունում այս համակարգի համար նշված են առավելություններ, հատկապես ֆիլտրերի մեջ բեռնվածքների դեպքում այս համակարգը առաջացնում է օդի որոշակի նախնական խոնավ մաքրում, որը հանգեցնում է գտող տարրերի շահագործման ժամանակամիջոցի ավելացման:

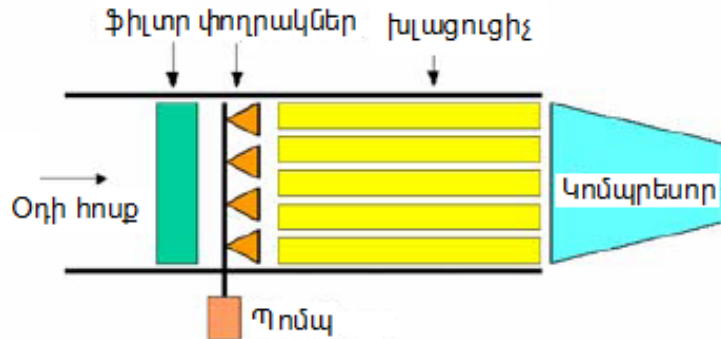


Նկ.1.23. Ֆիլտրից և խլացուցչից առաջ փողորակների տեղադրում



Նկ.1.24. Ֆիլտրից և խլացուցչից առաջ տեղադրված փողորակների աշխատանքը

Մշուշապատճան փողորակներ ֆիլտրող էլեմենտների և խլացուցչի միջև: Սա բարձր ճնշումային մշուշային հովագման համակարգերում ամենահաճախ կիրառվող տեղակայման դիրքն է: Այս տիպի տեղակայումը (Նկ.1.25) պահանջում է մեկ կամ երկու օր ԳSS կանգառում, և օդի մատուցման համակարգի շատ քիչ փոփոխություններ: Տեղակայման այս տիպը պարտադիր է գերսնուցմամբ մշուշային հովագման համար: Տեղադրել փողորակները խլցուցչից առաջ նշանակում է կաթիլներին տալ ավելի շատ ժամանակ գոլորշիանալու համար մինչև կոմպրեսոր հասնելը: Այս տեսակի հիմնական թերությունը կայանում է նրանում, որ խլացուցիչի վահանների վրա հավաքվող կեղտը մեծացնում է կոմպրեսորի խզման հավանականությունը, քանի որ այն ջրի հետ մաքրվում է և անցնում կոմպրեսոր, նատելով թիակների վրա:

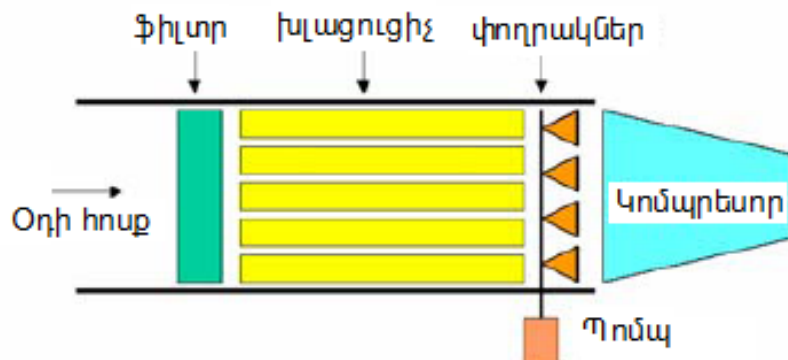


Նկ.1.25. Վիզուալ տեղադրում ֆիլտրից հետո՝ խլացուցչից առաջ

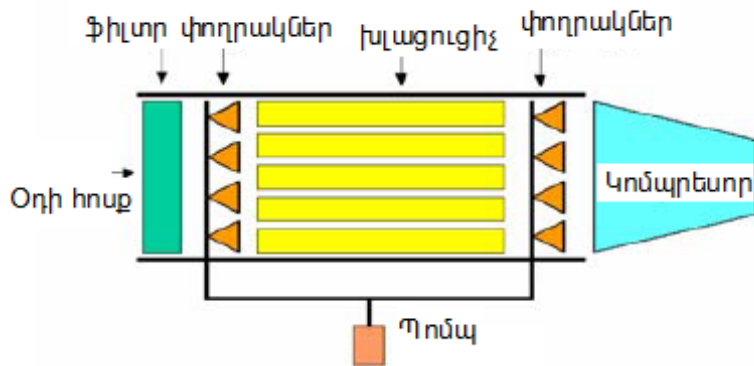
Մշուշային վիզուալներ ֆիլտրող էլեմենտներից և խլացուցչից հետո:

Հատկապես գերսնուցմամբ հովացման համար, այս դիրքը՝ անմիջապես աղբից պաշտպանող էկրաններից առաջ, ամենալավ հնարավորությունն է: Այս հարմարադասումը պահանջվում է խլացուցչի և տրակտի խոնավացումից խուսափելու համար (նկ.1.26): Ներդրման համար կանգառի ժամանակամիջոցը և օդի մատուցման համակարգի անհրաժեշտ վիզուալները հիմնականում նման են նախորդ տիպին: Այս դեպքում չի առաջանում խնդիր խլացուցչների վիշտու կոմպրեսորի թիակներին նստեցման հետ, բայց կրծատվում է կաթիլների գոլորշիացման համար օդում գտնվելու ժամանակամիջոցը:

Մշուշային վիզուալներ ֆիլտրից հետո և խլացուցչից հետո: Որոշ տեղակայումներ, հատկապես հզոր գազատուրբինային տեղակայանքների համար, ներկայացնում են ջրի ներարկման երկու դիրքեր՝ առաջինը՝ անմիջապես զտող տարրերից հետո, մինչև խլացուցչը, և երկրորդը՝ խլացուցչից հետո՝ գերսնուցման համար (նկ.1.27):



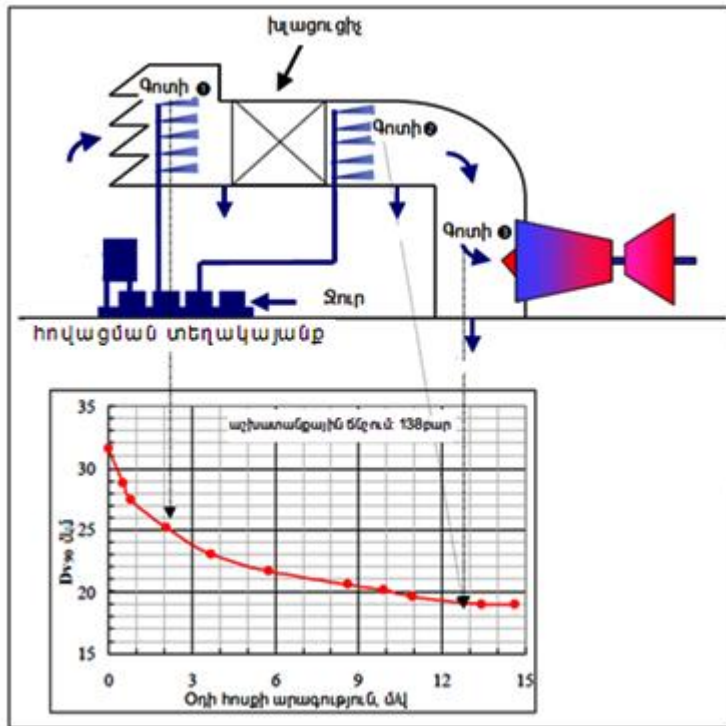
Նկ.1.26. Փոլրակների տեղադրում խլացուցչից հետո



Նկ.1.27. Վիդրակների տեղադրում խլացուցչից առաջ և հետո

Նկ.1.28-ում բերված է վիօշիացնող վիդրակատախտակի դիրքի օպտիմիզացիայի օրինակ, որը հիմնված է կաթիլների չափի վրա, որպես օղի հոսքի արագության ֆունկցիա և գոլորշիացման արդյունավետության վրա, որպես կաթիլի օդում գտնվելու ժամանակամիջոցից ֆունկցիա: Այս դեպքում դիտարկվել են վիդրակատախտակի երեք տարրեր դիրքեր՝

- **Առաջին գոտի:** Օղի մատուցման համակարգի գտող տարրերին մոտ, որտեղ օղի հոսքի արագությունը մոտ 2,5 մ/վ է, և կաթիլի օդում գտնվելու ժամանակամիջոցը կազմում է մոտ 1 վրկ: Այս դիրքը հիմնականում կիրառվում է գոլորշարար հովացուցիչների համար:
- **Երկրորդ գոտի:** Խլացուցչից հետո, որտեղ օղի արագությունը կազմում է մոտ 12,7 մ/վ: Այս դիրքը նույնպես կիրառվում է գոլորշարար հովացման համար և նաև համակցված՝ գոլորշարար և գերսնուցմամբ հովացումների համար: Կաթիլի օդում գտնվելու ժամանակամիջոցը կազմում է մոտ 0,4 մվրկ:.
- **Երրորդ գոտի:** Կոմպրեսորի օղի ներծծման մանիֆոլդին անմիջապես մոտ: Այս դիրքը տիպային է գերսնուցմամբ հովացման համար, և կաթիլի օդում գտնվելու ժամանակամիջոցը կազմում է 0,2 մվրկ-ի կարգի, իսկ օղի արագությունը հավասար է 12,7 մ/վ:



Նկ.1.28. Փողորակատախտակի դիրքի օպտիմալացումը հիմնված կաթիլների մեջության վրա, որպես ֆունկցիա օդի հոսքի արագությունից, և գոլորշիացման արդյունավետությունից, որպես ֆունկցիա կաթիլի մինչև կոմպրեսոր հասնելը օդի հոսքում գտնվելու ժամանակամիջոցից

Ինչպես վերևում ներկայացվել է, նկ.1.28-ը հաստատում է, որ փողորակատախտակի դիրքը օդի մատուցման համակարգում պետք է ընտրվի զգուշորեն: Գոլորշիացման երկար ժամանակի մեջ կաթիլների վրա ունեցած պարագությալ ազդեցության և կաթիլի մինչև կոմպրեսոր հասնելը օդի հոսքում գտնվելու ժամանակամիջոցի միջև պետք է հաշվարկվի օպտիմալ հարաբերակցություն: Փոշիացման փողորակատախտակի տեղադրումը գտող տարրերին մոտ (առաջին գոտի), որտեղ օդի հոսքի արագությունը փոքր է, բերում է կաթիլի օդում գտնվելու ժամանակամիջոցի մեծացման, հետևաբար ավելի լավ գոլորշիացման հովացման արդյունավետության: Սակայն փոշու ամառ պոլիէտիլենու է, և փողորակի վրա առաջացած մեծ կաթիլի ծակման արագությունը ավելի մեծ է, քան փոքրերինը, հետևաբար տեղի են ունենում կաթիլների բախումներ և վերամիավորումներ:

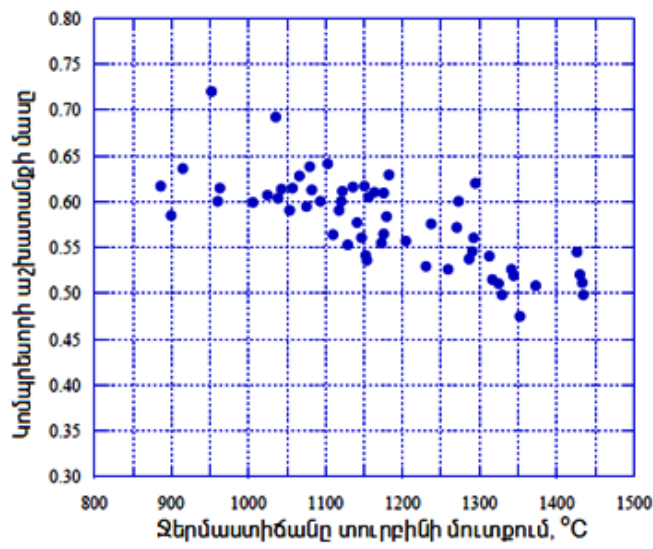
Խլացուցչից հետո փողորակատախտակի տեղակայմամբ (երկրորդ գոտի), վերամիավորման երևոյթը նշանակալիորեն նվազեցվում է, պայմանավորված

փողորակի շրթին մոտ օդի հոսքի մեծ արագությամբ առաջացող կտրող պայմաններով, որը բերում է կաթիլների կոտրման արագության մեծացման և փոքր կաթիլների օդի հոսքի արագությունը ընդունելու ժամանակամիջոցի փոքրացման: Մեծ և փոքր կաթիլները տարածվում են տարբեր ուղղություններով հոսքերի և բախումները բավականին քչանում են:

## 1.5 Խոնավ սեղմում

Խոնավ սեղմումը (Երկու դեպքերում էլ՝ գերսնուցում և կոմպրեսորի միջանկյալ հովացում ջրի ներարկմամբ) տեղի է ունենում ԳՏՏ կոմպրեսոր կաթիլների մատուցման միջոցով: ԳՏՏ կոմպրեսորը, ինչպես հայտնի է, ծախսում է գազատուրբինի արտադրած հզորության նշանակալի մասը, որը նաև երևում է նկ.1.29-ից, որը ցույց է տալիս իին և նոր տեղակայանքների շարքի համար կոմպրեսորի ծախսած աշխատանքի մեծությունը գազատուրբինի հզորության համեմատ: Գերսնուցմամբ հովացման հիմնական առավելությունը կայանում է սեղմման վրա ծախսվող աշխատանքի նվազեցման մեջ, որը տեղի է ունենում կոմպրեսորի մեջ ջրի շարունակական գոլորշիցման հետևանքով: Մյուս գործոնները որոնք բերում են հզորության ավելացման հետևյալն են՝ 1) գազատուրբինով աշխատող մարմնի ծախսի ավելացում և 2) գազատուրբինում աշխատող խառնուրդի ջերմունակության մեծացում: Տիպային գերսնուցման քանակը ընկած է 0,5...2 % սահմաներում՝ կոմպրեսորի մուտքում օդի ծախսի նկատմամբ:

Խոնավ սեղմման կիրառման գաղափարը այնքան իին է ինչքան որ ԳՏՏ-ների ստեղծումը: Այս մեթոդը ունի ավելի լավ արդյունք ԳՏՏ ցիկլի վրա, քան միջանկյալ հովցմամբ կոմպրեսորը, քանի որ օդից վերցված ջերմության քանակությունը այս դեպքում վերադարձվում է ցիկլ գոլորշու տեսքով: Խոնավ սեղմումը ոչ միայն մեծացնում է արդյունավետությունը տրված սեղմման աստիճանի դեպքում, այլ նաև մածացնում է ցիկլի սեղմման այն աստիճանը, որի դեպքում արդյունավետությունը հասնում է առավելագույնին, տուրբինի մուտքում տրված ջերմաստիճանի համար [32]: Գրականությունում բերված են մեծ քանակի վերլուծություններ և փորձնական հետազոտությունների արդյունքներ խանավ սեղմման վերաբերյալ [33-49]:



Նկ.1.29. Կոմպրեսորի ծախսած աշխատանքի կախվածությունը տուրբինի մուտքում ջերմաստիճանից տարբեր ԳՏՏ-ների համար

Սկզբնական աշխատությունները կապված են օդանավերի շարժիչների ջրի ներարկմամբ քարշի մեծացման ուսումնասիրությունների հետ, որոնցում ցույց է տրված բարձրության, Մախի թվի և մթնոլորտային ճնշման ազդեցությունները ջրի ներարկմամբ քարշի կարգավորման վրա [34,35]: Գոլորշիացման պարամետրի ( $\omega/\theta$ ) տրված արժեքի համար ջրի ներարկմամբ աշխատանքի նվազման չափը կախված չէ կոմպրեսորի սեղմման աստիճանից: Ավելին, կոմպրեսորի ներսում գոլորշիացումը ազդում է աշխատանքի ըստ աստիճանների բաշխման վրա, և միջին աստիճանները ավելի են բեռնվում: Խառնման և գոլորշիացման պրոցեսը մեծ ազդեցության տակ է կոմպրեսորի երկրաչափական չափերից և արագությունից [36]:

Ժամանակակից հետազոտությունները ցույց են տալիս, որ իրական խոնավ սեղմման պոլիտրոպի ցուցիչը ավելի փոքր է, քան չոր սեղմման պրոցեսինը, որը բերում է սեղմման աշխատանքի նվազեցման և կոմպրեսորի ելքում ջերմաստիճանի նվազեցման և սեղմման արդյունավետության ավելացման: Խոնավ սեղմումը ավելի արդյունավետ է մեծ սեղմման աստիճանների դեպքում, և սեղմման աստիճանի և գոլորշիացման գործակցի տրված արժեքների դեպքում, սեղմման աշխատանքը կարող է նվազել և դառնալ չոր օդի իզոէնտրոպ սեղմման համար պահանջվող աշխատանքից էլ քիչ: Ավելի լավ գոլորշիացման ազդեցության կարելի է հասնել կաթիլների չափերի փոքրացման միջոցով [37]:

Խոնավ սեղմում օգտագործող 115 ՄՎԸ ԳՏՏ-ի (Hitachi Frame 9E) մանրամասն անալիտիկ և փորձնական հետազոտությունը ցույց է տալիս հզորության 10 % և արդյունավետության 3 % աճ, 1 % գերսնուցման դեպքում: Պարզեցված մոդելը ցույց է տալիս որ տեղի ունի ոչ լրիվ գոլորշիացում կոմպրեսորի 17 աստիճաններից հետո, եթե կաթիլի տրամագիծը մեծ է 30 մկմ-ից: Սակայն 20 մկմ-ից փոքր կաթիլների համար գոլորշիացումը լրիվ է կոմպրեսորի ներսում [38]:

Կոմպրեսորի գծային միաչափ վերլուծությունը, որը իրականացվել է ընդունելով գազային հաստատունի, պոլիտրոպ արդյունավետության և թիակների արագության հաստատունությունը կոմպրեսորի ամբողջ երկայնքով գերսնուցման դեպքում, ցույց է տվել, որ հաստատուն ձնշման ջերմունակությունը և պոլիտրոպի ցուցիչը ունենում են առաջին կարգի փոփոխություն կոմպրեսորի երկայնքով գոլորշիացման հետևանքով [39]:

Կատարվել է ավելի մանրամասն ուսումնասիրություն, որը օգտագործում էր երկու անալիտիկ մոդելներ գերսնուցմամբ հովացման համար, դիտարկելով սեղման աստիճանի, կաթիլի մեծության և պոլիտրոպ արդյունավետության ազդեցությունները կոմպրեսորի աշխատանքի վրա: Առաջին մոդելում, որը կոչվել է իդեալական, կոմպրեսորի երկայնքով օդա-ջրային խառնուրդը դիտարկվել է թերմոդինամիկական հավասարակշռվածության մեջ: Սա նշանակում է, որ կաթիլները շատ փոքր են և սեղման պրոցեսը չի բերում թերմոդինամիկական փոփոխությունների: Երկրորդ մոդելում, որը կոչվում է կաթիլային մոդել, իդեալական մոդելի սահմանափակումներն են դիտարկվել: Վերլուծությունները ցույց են տալիս, որ առավելագույն հոսքը, որի դեպքում տրված սեղման աստիճանի դեպքում, կոմպրեսորի ելքում չեն լինի կաթիլներ, կախված է սեղման աստիճանից և պոլիտրոպ արդյունավետությունից և դրա արժեքը ավելի մեծ է փոքր արդյունավետությամբ կոմպրեսորների մոտ: Նաև պոլիտրոպ արդյունավետության փոփոխությամբ պայմանավորված տեսակարար աշխատանքի նվազման փոփոխությունը աննշան է 2 %-ից փոքր ջրի հոսքի դեպքում [40]:

Կոմպրեսորի աստիճան առ աստիճան ուսումնասիրությունը ցույց է տալիս, որ ներարկվող ջրի քանակի ավելացման հետ կոմպրեսորի աշխատանքային պարամետրերը շարժվում են դեպի ավելի բարձր ծախս և սեղման աստիճան: Խոնավ սեղման դեպքում օդի ծախսի ավելացումը պայմանավորված է գոլորշիացման հովացման հետ և այն ավելին է քան ներարկվող ջրի քանակությունը [41]:

Կատարվել են հետազոտություններ կոմպրեսոր ջրի ներարկմամբ տարբեր աստիճաններում և կոմպրեսորից առաջ: Արդյունքում պարզվել է, որ ներարկման աստիճանը ևս նշանակություն ունի արդյունավետության վրա, քանի որ փորձնական կոմպրեսորի համար ամենաարդյունավետ աստիճան ստացվել է 3-րդը, որը նաև ցույց է տալիս, որ բուն կոմպրեսորի մեջ ներարկումը ավելի արդյունավետ է կոմպրեսորից առաջ ներարկումից [50,51]:

GE Frame 7EA գազատուրբինի աշխատանքի վրա հիմնված աէերոթերմոդինամիկական մոդելի ուսումնասիրությունը, կոմպրեսորի աստիճաններ ջրի ներարկման հետևանքները ուսումնասիրելու համար, ցույց է տալիս, որ տարբեր աստիճաններ հայտնվում են ոչ նախագծային կետերում, առաջին աստիճանները թերբեռնվում են, իսկ վերջինները գերբեռնվում: Տվյալ տուրբինի համար ուսումնասիրությունը ցույց է տալիս որ ջրի քանակի ավելացումը բերում է 17-րդ աստիճանի խզման սահմանին մոտեցման, որը ցույց է տալիս, որ ներաստիճանային ներարկման դեպքում ջրի քանակը պետք է զգուշորեն ընտրվի [52]:

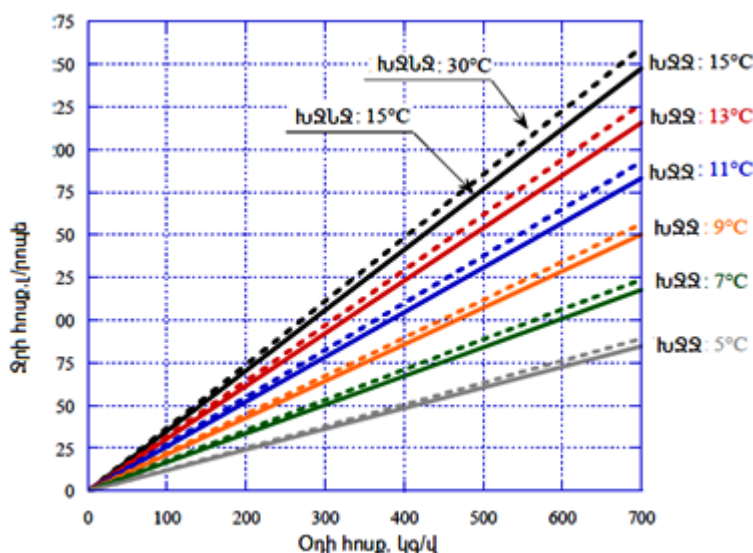
Թիակների մակերևույթի վրա կաթիլների հնարավոր ազդեցությունը բերում է շատ փոքր չափի կաթիլների անհրաժեշտության՝ 1...5 մկմ [53]: մրրկային-բռնկում տեխնոլոգիայի կիրառումը, որտեղ բարձր ճնշման տաք ջուրը փոշիացվում է մրրկային փողորակի միջոցով առաջացնում է 2,2 մկմ կաթիլներ լաբորատոր պայմաններում: Այս տեխնոլոգիան կիրառվել է մի շարք ԳՏՏ-ների համար այդ թվում՝ GE Frame 6, Siemens V94.2, և ABB 9D [54-57]: Վերջինիս համար 2 % գերսնուցման դեպքում ստացվում է 14 % հզորության ավելացում: Սովորական մրրկային փողորակի կիրառումը զուգակցված տաք ջրի հետ բերում է մոտ 10 անգամ ավելի փոքր տրամագծի և 1000 անգամ փոքր ծավալի կաթիլների առաջացման [56]:

Գերսնուցումը, համեմատած գոլորշարար մշուշապատման հետ ունի առավելություն քանի որ այն թույլ է տալիս օդը հասցնել հագեցման, մթնոլորտային բարձր հարաբերական խոնավության և ցածր չոր ջերմաչափի ջերմաստիճանի պայմաններում, պայմանավորված փոքր կաթիլների մեջ քանակով, որը բերում է արագ գոլորշիացման:

## 1.6 Մշուշապատում օգտագործողների գործնական նկատառումներ

### 1.6.1 Զրի քանակական պահանջները

Գոլորշարար մշուշապատման համակարգի համար անհրաժեշտ զրի քանակը ֆունկցիա է կլիմայական պայմաններից և հնարավոր հասանելի ջերմասիճանային անկումից: Տրված մթնոլորտային փսիխոմետրիկ պայմանների դեպքում պահանջվող զրի քանակը գնահատելու համար կարելի է օգտվել Ակ.1.30-ում պատկերված գրաֆիկից, որտեղ ցույց է տրված զրի այն քանակությունը, որը անհրաժեշտ է օդի ջերմաստիճանը խոնավ ջերմաչափի նվազագույն ջերմաստիճանի (ԽՆՁՆ)  $15^{\circ}\text{C}$  և  $30^{\circ}\text{C}$  արժեքների հովացնելու, չոր և խոնավ ջերմաչափերի ջերմաստիճանների (ԽՁՁ) տարբերության  $2\dots15^{\circ}\text{C}$  արժեքների համար: Այս գրաֆիկից երևում է, որ օդինակ օդի ջերմաստիճանը  $45$ -ից  $30^{\circ}\text{C}$  իջեցնելու համար պահանջվում է մոտավորապես  $5\%$  ավել ջուր քան  $30$ -ից  $15^{\circ}\text{C}$  իջեցնելու համար: Եթե նաև դիտարկվում է գերսնուցում, զրի ծախսը նշանակալիորեն ավելանում է: Սովորաբար գերսնուցման դեպքում զրի ծախս/օդի ծախս հարաբերակցությունը չի անցնում  $2\%$ -ից:



Ակ.1.30. Ջերմաստիճանի իջեցման  $5\dots15^{\circ}\text{C}$  միջակայքում տարբեր օդի ծախս ունեցող գSS-ների գոլորշարար հովացման համար պահանջվող զրի քանակության կոպիտ գնահատում

## 1.6.2 Զրի որակական պահանջներ

Մշուշապատման տեղակայանքների զրի համար պահանջվող հիմնական որակական ցուցանիշները բերված են աղ.1.2-ում: Եթե զրի որակը պահանջներին չի համապատասխանում, առաջանում է նշանակալի վնաս կոմպրեսորի վթարների և բարձր ջերմաստիճանային հատվածի կոռոզիայի տեսքով: Չնայած որ աղ.1.2-ը տալիս է զրի որակի հիմնական պահանջները, բայց ամենալավ տարբերակում պետք է վերցնել ԳSS արտադրողի կոմպրեսորի առանց անջատման լվացման զրի համար պահանջվող պահանջները: Աղազրկված ջուրը սովորաբար ընդունելի է: Սակայն պարտադիր պայման է, որ հովացման համակարգի բոլոր խողովակները և դրանց միացումները լինեն չժամգուտվող պողպատից:

Աղյուսակ 1.2

ԳSS օդի հովացման համակարգերում կիրառվող զրի որակական պահանջներ

Զրի որակի ցուցանիշ	Արժեք
Զրի pH	6,5 ... 7,5
Գումարային պինդ մարմիններ (լուծված և չլուծված)	5 մգ/լ
Գումարային ալկալային մետաղներ և այլ մետաղներ, որոնք նպաստում են բարձր ջերմաստիճանային կոռոզիային	0,5 մգ/լ
Հաղորդունակություն	0,5 ... 1 մOhm/սմ

## 1.6.3 Օտար մարմնի հասցրած վնաս

Քանի որ փողորակները տեղադրված են օդի հոսքի մեջ, փողորակի կամ փողորակատախտակի կոմպոնենտի միջոցով օտար մարմնի հասցրած վտանգից խուսափելու համար պետք է միջոցներ ձեռնարկվեն: Սովորաբար փողորակները տեղադրվում են հոսքի ցածր արագությունների գոտում՝ ֆիլտրերից հետո: Փորձարկումներ օդի և զրի հոսքի առաջացրած վիքրացիայի և դրանից փողորակային համակարգի պաշտպանության միջոցառումներ պետք է ձեռք առնվեն, համոզվելու համար որ համակարգը կդիմանա: Գերսնուցմամբ հովացման համակարգի դեպքում, փողորակներ են տեղադրվում անմիջապես կոմպրեսոր օդի մատուցման մանիֆոլդի մեջ սովորաբար հորիզոնական հարթությունում: Փորձը ցույց է տալիս, որ ձիշտ

նախագծման միջոցով օտար մարմնի հասցրած վնասից կարելի է հեշտորեն խուսափել:

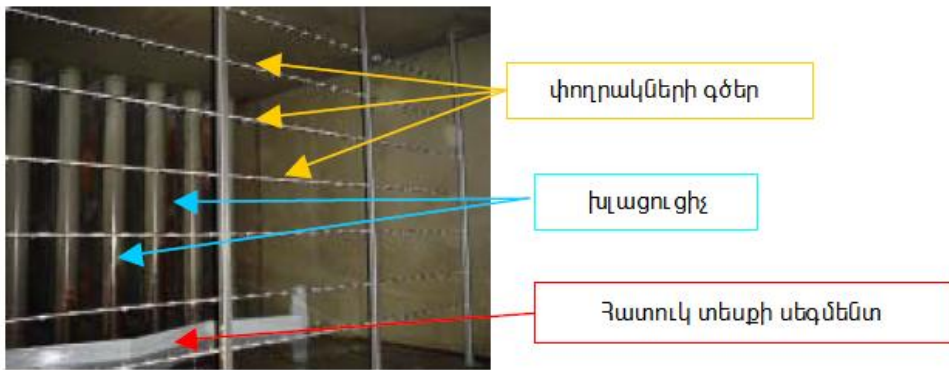
#### 1.6.4 QSS կոմպրեսորի մուտքի սառցակալում

Հովացման համակարգի կառավարման համակարգը պետք է ավտոմատ կերպով անջատի համակարգը, եթե կա սառցակալման վտանգ, կապված ջերմաստիճանի ստատիկ անկման հետ կոմպրեսորի մուտքում օդի արագացման հետ, որը հզոր QSS-ների մոտ հասնում է Մախի թվի 0,5 արժեքի: Որոշ համակարգեր անջատվում են 15 °C-ից, չնայած որ որպես նվազագույն ջերմաստիճան կարելի է ունենալ 13 °C-ը: Որոշ արտադրողներ հրապարակում են հակասառցապատման համակարգերի գործի դրույթը ջերմաստիճան-հարաբերական խոնավություն հարաբերակցությունների աղյուսակներ: Եթե մշուշապատման համակարգը կոմպրեսորի մուտքում ունենում է 100 % հարաբերական խոնավություն մինչև 10 °C կարելի է իջեցնել ջերմաստիճանը: Սակայն ավելի անվտանգ գոտում լինելու համար, 13 °C-ի մոտ ջերմաստիճաններն են սովորաբար օգտագործվում որպես թույլատրելի նվազագույն, քանի որ այդ դեպքում կարելի է վստահ լինել սառցակալման վտանգի բացակայության մեջ:

#### 1.6.5 Տրակտի ջրահեռացման համակարգ

Ջրահեռացման համակարգը պետք է տեղադրված լինի խլացուցչին մոտ և նաև կոմպրեսորի ներածման հարմարանքի մոտ: Այն պետք է նախատեսված լինի շարունակական ջրահեռացման համար: Դրենաժման կետերը կարող են ընտրվել նաև փորձից ելնելով, հիմնվելով նաև տրակտի կառուցվածքային առանձնահատուկթյունների վրա, որը կարող է ունենալ այնպիսի տեղանքներ, որտեղ կարող է հավաքվել ջուրը: Հատուկ տեսքի սեգմենտներ կարող են տեղադրվել հատակին, ջուրը դեպի ջրահեռացման համակարգ ուղղորդելու համար նկ.1.31:

Հատուկ ուշադրություն պետք է դարձվի կոմպրեսոր օդի մատուցման մանիֆոլդի հատակի դրենաժմանը: Որոշ դեպքերում, այնտեղ հավաքված ջուրը կարող է անցնել կոմպրեսոր (նկ.1.32): Այդ դեպքերում հատուկ միջոցառումներ պետք է կիրառվեն նորմալ ջրահեռացում ապահովելու համար:



Նկ.1.31. Հատուկ սեզմենտային համակարգ ջրի դրենաժման համակարգի համար

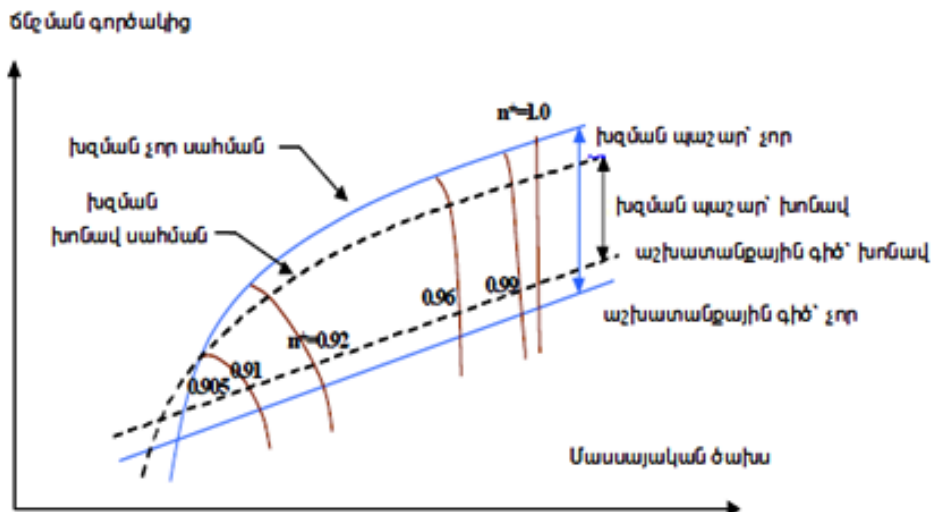


Նկ.1.32. Կոմպրեսորի մանիֆոլդում հավաքված ջուր

### 1.6.6 Կոմպրեսորի խզում

Կոմպրեսորի խզումը ավելի շատ խնդիր է գերսնուցմանք հովացման համակարգերի համար: Հիմնական դեպքերում, գերսնուցման ջրի քանակը մի փոքր ավել է աշխատանքի ընթացքում կոմպրեսորի լվացման համար թույլատրելի ջրի քանակից: Գերսնուցման ազդեցությունը լինում է այն, որ կոմպրեսորի դիագրամի վրա աշխատանքային կետերը մոտենում են խզման գծին: Չորս GE Frame 7EA գազատուրբինային տեղակայանքներ, որոնք աշխատում են գերսնուցմանք հովացման համակարգերով 4 տարվա ընթացքում չեն ունեցել կոմպրեսորի խզման որևէ դեպք, հատկապես երբ գերսնուցման աստիճանը ընկած է 0,5...1 %-ի սահմաններում: Սովորաբար աշխատանքի ընթացքում կոմպրեսորի լվացման համակարգի ջրի թույլատրելի քանակը ընկած է լինում 0,4...0,5 % միջակայքում հիմնական հզոր տեղակայանքների համար: Նույնիսկ մշուշային հովացման համար կոմպրեսորի մուտքում ջերմաստիճանի բաշխվածությունը և փոփոխության աստիճանը պետք է

հատուկ ուսումնասիրվի կառավարման համակարգի նախագծման համար: Գերսնուցման դեպքում, տեղի է ունենում տեղակայանքի աշխատանքային սահմանի փոփոխություն, ինչպես երևում է նկ.1.33-ից [58]:



Նկ.1.33. Կոմպրեսորի խզման սահմանի փոփոխություն կապված գերսնուցմանը մշուշային հովացման հետ [58]

### 1.6.7 Կոմպրեսորի մուտքում ջերմաստիճանային անհամաչափություն

Առանցքային կոմպրեսորները ունեն մուտքի ջերմաստիճանի և ձնշման անհամաչափության հստակ չափորոշիչ: Խնդիրներ կապված թիակների թրթօնման հետ, որոնք կարող են առաջանալ լայնածավալ աղավաղումների պատճառով: Մշուշապատման համակարգերը նախատեսվում են տարբեր աստիճանների համար, և յուրաքանչյուր աստիճան ունի փողորակատախտակի վրա փողորակների այնպիսի դասավորվածություն, որը ապահովում է ջրի համեմատաբար հավասարաչափ բաշխում: Սա կարևոր դիտարկում է, քանի որ կոմպրեսորի խզման զգայունությունը կարող է ազդեցնել ջերմաստիճանային խիստ անհամաչափությունից: Կա նաև չափորոշիչ կապված կումպրեսորի մուտքում ջերմաստիճանի կտրուկ փոփոխության հետ, սակայն մշուշապատումը երբեք չի կարող բերել այս չափորոշի գերազանցման, նույնիսկ հովացման համակարգի վթարային անջատման դեպքում:

QSS կոմպրեսորի մանիֆոլդի մեջ ջերմաստիճանային տվյալները սովորաբար չեն տեղադրվում այնպես, որ ցույց տան ջերմաստիճանային դաշտի անհավասարաչափությունը: Որոշ տեղակայանքների մոտ, որոնք ունեն բարդ տրակտ,

Ճնշման և ջերմաստիճանի զգալի անհամաչափություններ առանց հովացման էլ արդեն գոյություն ունեն, և անսովոր չեն ջերմաստիճանի տվյալների միջև 2 °C տարբերությունները: Որոշ տեղակայանքների մոտ տվյալները կարող են տեղադրված լինել հոսքից հեռու գոտիներում: Այս տիպի բնական անհամաչափությունները կարող են ավելի ակնհայտ դառնալ մշուշապատճան համակարգի կիրառման արդյունքում: Երբ ջերմասիճանային տվյալները խոնավանում են, դրանք սկսում են տալ իրականից ավելի ցածր չափումներ, այդ պրոբլեմից խուսափելու համար հարկավոր է կիրառել հատուկ պաշտպանիչ վահաններով կահավորված տվյալներ:

#### 1.6.8 Օդի մատուցման տրակտի դիտարկումներ [59]

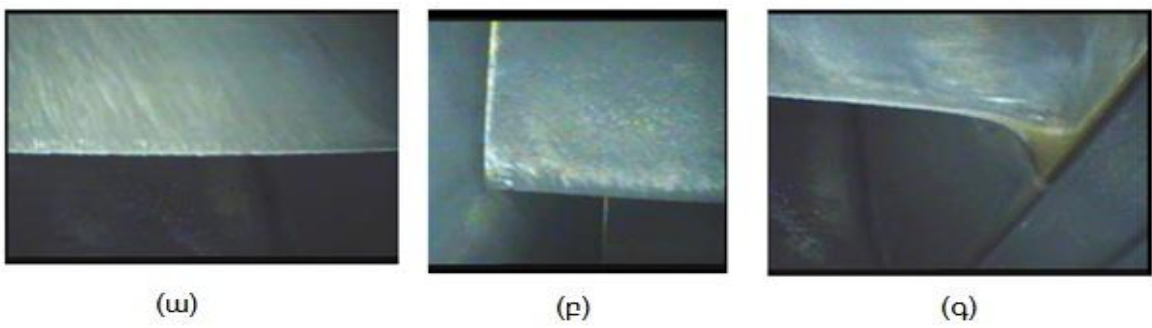
Օդի մատուցման տրակտին հենց վերաբերվող մի քանի հարցեր կան մշուշային հովացման դեպքում, որոնք պետք է դիտարկվեն: Վերակառուցվող տեղակայանքների դեպքում, կարող է իդեալական իրավիճակ չլինի “իդեալական” պայմաններ ստանալու համար, ուստի հաշվենկատ փոխզիջումներ են պետք: Օրինակ, կարող է անհնար լինել գտնել տրակտի ամբողջ ազատ լայնություն առանց որևէ կառուցվածքի և կարող են լինել այնպիսի խանգարող հանգամանքներ, ինչպիսին է տուրբինից առումով տաքացման խողովակները (սովորաբար առկա են այն տեղակայանքներում, որոնք որոշ աշխատանքային ռեժիմներում այրման խցի պայմանները կարգավորում են օդի առումներով): Ավելին, որոշ տեղակայանքներում կիրավում են աղբից պաշտպանության վահաններ, որոնք այս դեպքում կաշխատեն որպես կուտակիչներ առաջացնելով ջրի մեջ կաթիլներ: Որոշ տեղակայանքների կոմպրեսորի մուտքում օդի մատուցման տրակտը ունի կոնաձև կառուցվածք, որի վրա հավաքվող կաթիլները կարող են հոսել դեպի կոմպրեսոր: Սակայն վեբերի թվի ազդեցության պատճառով, մեծ արագությունները հաճախ բերում են կաթիլների կոտրման և հետևաբար այդ պրոբլեմի աստիճանը նվազագույնն է: Մշուշային հովացման համակարգի մատակարարը պետք է տեղյակ լինի այս պրոբլեմներից և համակարգը նախագծի դրանք նվազագույնի հասցնելու նկատառումներով:

### **1.6.9 Առանցքային կոմպրեսորի խափանում [60,61]**

Կարևոր է տարբերել բնական մառախուղի և մշուշապատման համակարգի առաջացրած բարդությունները: Բնական բարձր խոնավությունը և կլիմայական մառախուղը սովորաբար առաջանում են գիշերները և վաղ առավոտյան, կարող են առաջացնել ֆիլտրերի դիֆերենցիալ ճնշման տարբերության հետ կապված անջատումներ և որոշ դեպքերում ուժեղ աղտոտված ֆիլտրերը թեքվում են և առաջանում է դրանց խզում, հետևաբար և կոմպրեսորի խափանում: Սակայն եթե օդի ֆիլտրման համակարգը աշխատում է նորմալ, մշուշապատման համակարգի առաջացրած խոնավության բարձրացումը չի ավելացնում կոմպրեսորի խափանումը: Կոմպրեսորի խափանումը այնքան յուրօրինակ է յուրաքանչյուր տեղակայանքի համար, որ անհնար է կանխատեսել դրա վարքագիծը: Այն դեպքում երբ համար 1 առանցքակալը ունի յուղի արտահոսք, սա համատեղած բարձր խոնավության հետ կարող է բերել կոմպրեսորի խափանման: Մինչև հովացման համակարգի թողարկումը կարևոր է խլացուցիչների լավ լվանալը, որպեսզի կանխվի մշուշապատման համակարգի միացումից հետո այդ կեղտի կոմպրեսոր ներթափանցումը:

### **1.6.10 Կոմպրեսորի թիակների էռոգիա [62]**

Մաքուր գոլորշաբար հովացման համակարգերում, համակարգի պարամետրերը կարելի է կարգավորել այնպես, որ մառախուղը մինչև կոմպրեսորի մուտքին հասնելը հաստատապես գոլորշիացած լինի: Սակայն հնարավոր է, որ որոշ կաթիլներ մուտք գործեն կոմպրեսոր: Համեմատաբար փոքր չափի (15...20 մկմ-ից փոքր) կաթիլի համար, ուսումնասիրությունները ցույց են տվել, որ այն ձգտում է հետևել օդի հոսքին: Կա նաև մեծ կաթիլների առաջացման հետ կապված խնդիր՝ աղբի դեմ պայքարի վահանների և կոմպրեսորի մուտքի կոնաձև մասի վրա, բայց ձիշտ նախագծման և լավ ջրահեռացման համակարգի միջոցով կարելի է խուսափել այդ խնդիրներից: Կարևոր է նշել, որ գերսնուցմամբ հովացման համակարգերով աշխատանքի փորձը ցույց է տալիս, որ ուժեղ էռոգիա չի առաջանում (նկ.1.34, նկ.1.35), և որոշ արտադրողներ ներկայումս առաջարկում են հովացման այդ տեխնոլոգիան իրենց ԳՏՏ-ների համար:



Նկ.1.

34. GE Frame 6B խոնավ սեղմնամբ ԳՏՏ-ի կոմպրեսորի թիակների էռոգիայի աստիճան: (ա)- առաջին աստիճանի թիակի ծայր, (բ)- առաջին աստիճանի թիակի միջնամաս, (ց)- առաջին աստիճանի թիակի հիմք



Նկ.1.35. Ալստոմ GT24 ԳՏՏ-ի կոմպրեսորի առաջին աստիճանի թիակի վիճակ

### 1.6.11 ԳՏՏ օդի մատուցման տրակտի կոռոզիա

Աղազրկված ջրի օգտագործումը կարող է դեգրադացնել օդի մատուցման տրակտի արդեն իսկ դեգրադացված, մաշված հատվածները, մեծ խոնավությունը հաստատապես կոռոզիոն գործոն է: Բավարար նորոգումների և ներկման միջոցով այս պրոբլեմը կարելի է վերացնել: SS316L չժանգոտվող պողպատի կիրառությունը օդի մատուցման համակարգում գնալով ավելանում է, քանի որ չնայած ավելի մեծ կապիտալ ներդրումներին, այս դեպքում շահագործման-նորոգման ծախսերը զգալիորեն կրճատվում են: Պետք է նշել, որ շատ տրակտեր աշխատում են արդեն իսկ վատ վիճակում, ինչպես օրինակ պատկերված է նկ.1.36-ում, և կարևոր է այդպիսի իրավիճակների շտկումը մինչև գոլորշարար հովացում իրականացնելը:



Նկ.1.36. ԳՏՏ օդի մատուցման տրակտի կոռոգիայի ենթարկված հատվածի տեսք

### 1.6.12 Կոմպրեսորի թիակների և ծածկույթի վնասում [63]

Որոշ ԳՏՏ-ներ, որոնք ունեցել են գերսնուցմամբ հովացման համակարգ, ունեցել են կոմպրեսորի ծածկույթի վնասումներ մի քանի առաջին աստիճաններում: Հիմնական դեպքերում, սա կարելի է հասցնել նվազագույնի փողորակների ճիշտ դասավորության, տրակտի և օդի մատուցման մանիֆոլդի մեջ ջրի հավաքումներից խուսափելուն ուղղված և մի քանի այլ միջոցառումների միջոցով:

Կոռոգիոն շրջակա պայմանները, ինչպես օրինակ քլորիդները կամ HCl-ի հետքերը կարող են առաջացնել թթվային միջավայր և հետևաբար ծածկույթի վնասվածքներ: Օդի մեջ պարունակվող աղտոտիչների նույնիսկ շատ փոքր քանակությունը հաճախ կարող է բերել շատ թթվային միջավայրի կոմպրեսորի թիակների համար: Սա խնդիր է, որը պետք է լուծվի օդի ֆիլտրման համակարգի կողմից, հատկապես ագրեսիվ արդյունաբերական միջավայրերում: Գերսնուցման հովացման դեպքերում, իրավիճակը պետք է հաշվարկվի դեպք առ դեպք գնահատելով թիակների և դրանց ծածկույթի առկա տեխնոլոգիաները:

Վնասներ հասցնելու հնարավոր գործոնները ներառում են՝

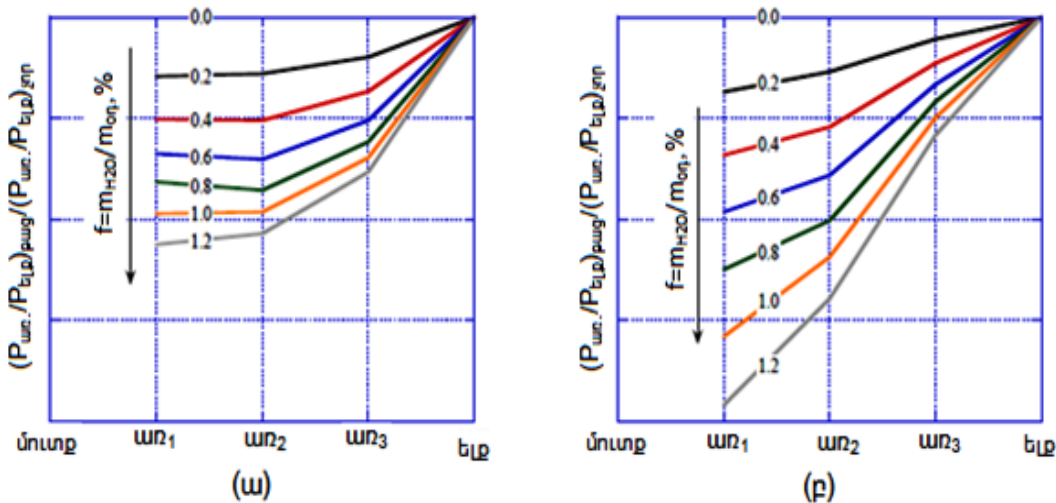
- գերսնուցման չափից ավել կամ ոչ համապատասխան կիրառություն
- փոշիացնող փողորակների ոչ ճիշտ դասավորվածություն,
- ջրահեռացման համակարգի անկատարություն,

- Կոռոգիոն ակտիվ մթնոլորտային պայմաններ, որոնք կբերեն թթվայնության հետևաբար և ծածկույթի վնասների:

Որոշ դեպքերում, եթե թիակի սկզբնամասի ծածկույթի վնասվածքներ արդեն առկա են մշուշապատման հետևանքով, ապա դրանք կարող են զարգանալ վերևում նկարագրված գործոնների առկայության դեպքում:

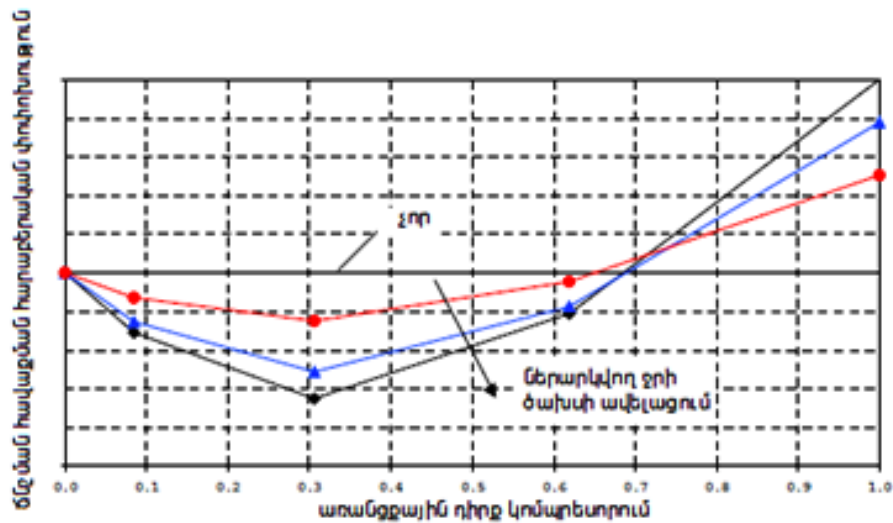
#### **1.6.13 Գերսնուցմամբ մշուշային հովացման համակարգի կիրառությամբ ԳՏՏ-ներում թիակների հովացման օդի հետ կապված դիտարկումներ**

Կատարվել են մանրամասն ուսումնասիրություններ ԳՏՏ-ի և կոմպրեսորի աշխատանքի երկրորդային օդի համակարգում հաստատուն կամ փոփոխական պարամետրերի օդի օգտագործման դեպքերում, որոնք հստակորեն ցույց են տալիս, երկրորդային օդի համակարգի ազդեցությունը ճնշման հավաքման վրա (նկ.1.37): Նկ.1.37-ում նկատելի առ<sub>1</sub>, առ<sub>2</sub> և առ<sub>3</sub> կետերը, որոնք ներկայացնում են օդի առման տեղերը, մինչդեռ “մուտք” և “ելք” –ը ներկայացնում են կոմպրեսորի մուտքի և ելքի կտրվածքները համապատասխանաբար: Ճնշման բարձրացման գործակիցը տարբեր տեղամասերում նորմալացված է իր չոր սեղմնան արժեքներով: Ակնհայտ է, որ չոր սեղմնան համար նախատեսված տեղակայնքներում, ներարկվող ջրի քանակը սահմանափակվում է կապված երկրորդային օդի համակարգում հոսքի փոփոխությամբ, կոմպրեսորի ճնշման հավաքման հատվածների փոփոխմամբ, խզման սահմանի փոփոխմամբ և այլն: Գերսնուցմամբ հովացման դեպքում, ճնշման և ջերմաստիճանի հավաքման պրոցեսը կոմպրեսորի աստիճաններում փոփոխվում է և որոշ դեպքերում կարող է պահանջվել առումների թողունակությունը ապահովող փողորակների ձևափոխություն [64]:



Նկ.1.37. Ճնշման փոփոխությունը կոմպրեսորում, մուտքի օդի կարգավորիչ թիակներով  
(ա) և առանց (բ) տուրբիններում

Նկ.1.38-ում պատկերված է կոմպրեսորում ճնշման հավաքումը աստիճան առ աստիճան գերսնուցմամբ հովացման և առանց դրա դեպքերում [64]: Հորիզոնական առանցքում պատկերված է ճնշման հավաքման հարաբերական փոփոխությունը կոմպրեսորում և գերսնուցման քանակի աճի ազդեցությունը դրա վրա, և երևում է առաջին և միջին աստիճանների բեռնաթափումն ու վերջին աստիճանների գերբեռնումը:



Նկ.1.38. գերսնուցմամբ հովացման դեպքում կոմպրեսորում ճնշման ավելացման փոփոխությունը [58]

## 1.7 Հովացման համակարգեր օգտագործողների տեսակետներ և փորձ

Ընդհանուր առմամբ, մշուշային հովացման պրակտիկ իրականացումների փորձը բավականին դրական է, ինչպես ապացուցվում է վերջին տարիների մի շարք ԳՏՏ-ներով (1000-ից ավել), որոնք կահավորված են այդ համակարգերով: ԳՏՏ-ների մոդելների ցուցակը, որոնք ունեն հովացման մշուշային համակարգ ներդրված երրորդ կողմի միջոցով, պարզորոշ ցույց է տալիս մուտքի օդի մշուշային հովացման իրականացումը ԳՏՏ արտադրող բոլոր հզոր ընկերությունների կողմից (աղ.1.3): Պետք է նշել, որ երկու մշուշային հովացման և գերսնուցմամբ մշուշային հովացման համակարգերը իրականացվել են լայն աշխատանքային տիրույթի ԳՏՏ-ների վրա (բազիսային, պիկային, պարզ ցիկլով, կոգեներացիոն կամ համակցված ցիկլերով և այլն): Ավելին աղ.1.3-ը չի ներառում ԳՏՏ արտադրողների կողմից ներդրված հովացման համակարգերը:

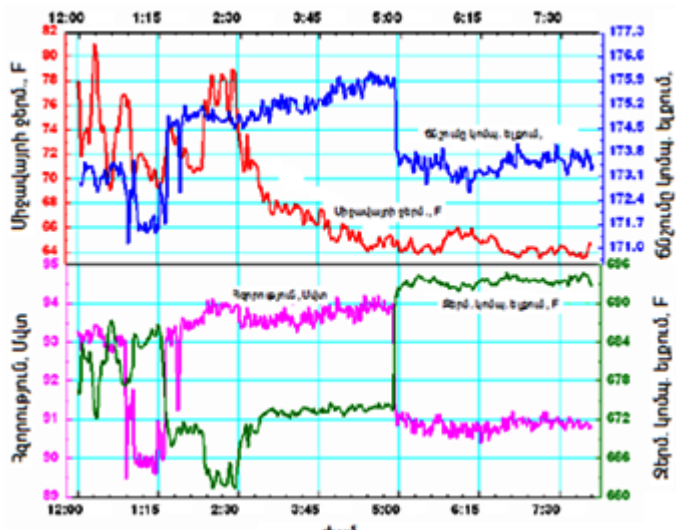
### Աղյուսակ 1.3

Երրորդ կողմի միջոցով ներդրված մշուշային հովացման համակարգեր  
ունեցող ԳՏՏ-ների ցանկ

ԳՏՏ արտադրող	ԳՏՏ մոդել	Մառախչապատում ունեցող տեղակայանքների թիվ
Alstom	GT26, 13D2, 13E, 13E2, GT-11N, GT-10B, Tornado, 9D, GT24	26
GE-Frame 5	5271, 5361, 5371, MS5001, 5001P, GT11	62
GE-Frame 6	6001, 6531B, 6541, 6541B, 6551B, 6561B, 6F, 6101FA	59
GE-Frame 7	7001, 7001E, 7001B, 7001C, 7121EA, 7061EC, 7191F, 7121FA, 7221FA, 7231FA, 7241FA, 7661, 7821	347
GE-Frame 9	9161E, 0171E, 9FA++	18
GE- ավիացիոն և այլն	LM2500, LM5000, LM6000, LM6000PD, LM2500PE, PGT10	28
Միթսուբիշի	M701-F, M501G, MF111AB, MW-701D	6
Պուտս և Ուիտնեյ	FT4, FT4 TwinPac, GG4/FT4, FT4-A5, FT8 TwinPac, GG4A9 Twin, TP4-2C1	51
Ռուլս-Ռոյս	501KB7, AVON, SK30, RB211	7
ՍոլարՏուրբինզ	Mars, Mars100, Centaur 50, Taurus 60, Taurus 70	10
Միմենս- Վեստինգհաուզ	V64.3, V64.3A, V84.2, V94.2, V94.3, W501F	31
Միմենս- Վեստինգհաուզ	W191G, W251B11, W251E, W501AA, W501B4, WH E4-2, W501 D5A	37

### 1.7.1 Մուտքի օդի գոլորշարար մշուշապատում 80 ՄՎտ հզորությամբ կոգեներացիոն ցիկլով աշխատող ԳՏՏ-ի վրա

8-ժամյա աշխատանքային պարամետրերի կտրվածքը, որը պատկերված է նկ.1.39-ում, ցույց է տալիս այս 80 ՄՎտ հզորությամբ ԳՏՏ-ի կարևոր աշխատանքային պարամետրերի փոփոխությունը ISO պայմանների համեմատ առանց հովացման մշուշային համակարգի և դրանով: Հովացման համակարգով աշխատելիս կարելի է տեսնել միջինում 2,5...3 ՄՎտ հզորության ավելացում: Նաև տեսանելի են կոմպրեսորի ելքում ջերմաստիճանի և դրա հետ կապված ճնշման անկումը հովացման համակարգի կիրառման հետևանքով: Երբ հովացման համակարգը անջատվում է (ժ 5-ին մոտ), ԳՏՏ-ն ձեռք է բերում իր չոր հզորությունը: Այս տվյալները վերցվել են այս ԳՏՏ-ի վերջերս տեղի ունեցած հիմնական նորոգումից հետո:



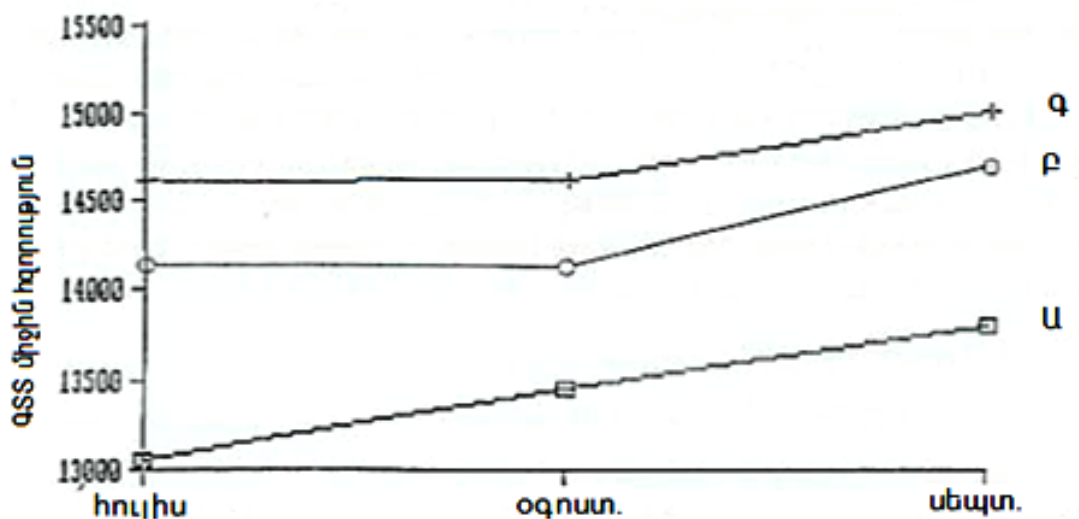
Նկ.1.39. Մուտքի օդի գոլորշարար հովացման ազդեցությունը 80 ՄՎտ ԳՏՏ-ի վրա

### 1.7.2 Գերսնուցմամբ մշուշային հովացման համակարգի կիրառումը Frame 5 ԳՏՏ-ներով կոգեներացման տեղակայանքի վրա

Խոնավ սեղմման կամ գերսնուցմամբ մշուշային հովացման տեղակայանքի առաջին կիրառությունը եղել է 3 Frame 5 ԳՏՏ-ների (մոտ 73 կգ/վ օդի ծախս) վրա [65]: Այս կոգեներացիոն բլոկը տեղակայված է Ոիֆլ քաղաքում, Կոլորադո, ԱՄՆ, որը ունի երկար և չոր ամառներ: Դիտարկվել էր նաև ավանդական գոլորշարար հովացուցիչ տեղակայանքը, բայց որոշում էր կայացվել տեղադրել ուղղակի գերսնուցմամբ

հովացման մշուշային համակարգ, հաշվի առնելով ցածր կապիտալ ներդրումները: Հովացման համակարգը բաղկացած է 540 փողոակներից, որոնք թույլ են տալիս գումարային մոտ 1 կգ/Վ ջրի հոսք 40 բար ճնշմամբ, որը տալիս են 3 մխոցային պոմպերը:

Արդյունավետ կերպով հասանելի (այսինքն 100 % գոլորշիացման արդյունավետությամբ) խոնավ ջերմաչափի ջերմաստիճանները տատանվում են 21...37 °C տիրույթում: Նկ.1.40-ը ցույց է տալիս ԳՏՏ միջին արտադրանքը Հովացման ամսաների ընթացքում: Այս գրաֆիկում, ներքեւ կորը (Ա), ցույց է տալիս բոլոր 3 տեղակայանքների միջին արտադրանքը առանց հովացման համակարգի աշխատանքի: Միջին (Բ) կորը ցույց է տալիս կանխատեսված արտադրանքը, եթե հովացման համակարգը ապահովի խոնավ ջերմաչափի միջին ջերմաստիճանները: Եվ, վերջապես (Գ) կորը այս տեղակայանքների իրական աշխատանքի կորն է հովացման համակարգերով: (Բ) և (Գ) կորերի միջև տարբերությունը պայմանավորված է մշուշի սեղման պրոցեսին մասնակցելու (խոնավ սեղմում) ազդեցությամբ: Այս համակարգի ներդրման տնտեսական վերլուծությունը ցույց է տվել գնի ետ բերման 3,2 ամիս տևողություն [65]:



Նկ.1.40. Frame 5 ԳՏՏ-ի վրա առաջին գերսնուցմամբ հովացման համակարգի կիրառությունը [65]

## **2. ՇԳՏ-ՆԵՐԻ ԱՇԽԱՏԱՆՔԱՅԻՆ ՌԵԺԻՄՆԵՐԸ ՀՅ ԷՆԵՐԳԱՐԱՄԱԿԱՐԳԻ ԱՌԿԱ ՊԱՅՄԱՆՆԵՐԻ ՏԵՍԱՆԿԵՌՈՒՆԻՑ: ԵՐՁԵԿԻ ՐԱՄԱԿՑՎԱԾ ՑԻԿԼՈՎ ՆՈՐ ԷՆԵՐԳԱԲԼՈԿԸ**

### **2.1 ՀՅ ԷՆԵՐԳԱՀԱՄԱԿԱՐԳԸ**

Յայաստանի Յանրապետության էներգահամակարգը նախագծվել և շահագործվել է որպես ավելի մեծ էներգահամակարգի՝ Խորհրդային Միության Տրանս-Կովկասյան էներգահամակարգի մաս: Տեղակայված հզորություները և բաշխիչ ցանցը մշակվել և գործել են մեկ միացյալ էներգահամակարգի կազմում: Յայկական էներգահամակարգի առանձնահատկությունն այն է, որ Յայաստանում գործնականում չկան էներգետիկ հանածոներ, դրանք մշտապես ներմուծվել են: Որպես այդպիսին, արտադրող հզորությունները կառուցվել են ներկրվող վառելիքներով աշխատելու նկատառմանը [66,67,68]:

Սակայն, Յանրապետության էլեկտրակայաններում տեղակայված հզորությունները գերազանցում էին ներքին սպառումը և արտադրված էլեկտրաէներգիայի մի մասը (20-25%) արտահանվում էր հարևան հանրապետություններ [67]:

Լինելով շրջապատված ածխաջրածնային հանածոների հարուստ պաշարներ ունեցող երկրներով, Յայաստանի տարածքում կատարված երկրաբանական հետազոտությունները ցույց են տվել հանածո վառելիքների փոքրաթիվ պաշարներ, որոնք չունեն նշանակալի տնտեսական արժեք, ունեն ցածր կալորիականություն և կարող են կիրառվել սահմանափակ պահանջարկ բավարարելու համար: Յետևաբար, դրանք տնտեսապես շահավետ չեն արդյունահանելու համար [67]:

Այսօր, Յայաստանի Յանրապետությունը, ներքին ռեսուրսների հաշվին, կարող է բավարարել ներքին ընդհանուր պահանջարկի միայն 35 %-ը, հետևաբար նա մեծապես կախված է ներկրվող էներգակիրներից: Յարկ է նաև նշել, որ էներգախնայողությունը Յայաստանի տնտեսությունում շատ ավելի ցածր զարգացման աստիճան ունի զարգացած երկրների ցուցանիշների համեմատ:

Խորհրդային Միության փլուզմանը հետևեց ՀՅ էներգահամակարգի ճգնաժամը՝ պայմանավորված էներգակիրների ներմուծման դժվարություններով և արդյունաբերական ձեռնարկությունների կողմից էլեկտրական էներգիայի սպառման կտրուկ կրծատումով:

Այսօր, նպատակառուղղված բարեփոխումներից հետո, ՀՅ էներգետիկայի բնագավառը տնտեսության լիովին և արդյունավետ գործող բնագավառներից մեկն է:

ՀՀ-ն լիովին ծածկում է ներքին շուկայի պահանջարկը և արտահանում էլեկտրական էներգիա Վրաստան, ինչպես նաև իրականացնում է փոխանակում ԻԻՀ-ի հետ փոխահավետ հիմունքներով:

Այնուամենայնիվ, տեղակայված հզորությունների մեջ մասը իին է, և պահանջում է արդիականացում կամ փոխարինում: Տեղակայված հզորությունների 38 %-ը աշխատանքի մեջ է ավելի քան 30 տարի: Զերմային էլեկտրակայաններում առաջնային տեղակայանքները հասել են 200000 շահագործման ժամաքանակի և չեն համապատասխանում համաշխարհային ընդունված տեխնիկական և բնապահպանական նորմերին: Յիդրոէլեկտրակայանների տեղակայանքների 70 %-ը աշխատանքի մեջ է ավելի քան 30 տարի, (50%-ը՝ ավելի քան 40 տարի): ՀՀ-ի էլեկտրական էներգիայի փոխանցման տեղակայանքների միջին տարիքը 45 տարին է: 220 կՎ լարման էլեկտրահաղորդման գծերի 90 %-ը պահանջում են վերակառուցում: Կոպիտ հաշվարկով, ցածր լարման ենթակայանների 42 %-ը գտնվում են անբավարար տեխնիկական վիճակում, մոտ 14000 ավտոտրամսֆորմատորներ գտնվում են գերբեռնված կամ թերբեռնված աշխատանքային վիճակում: Որոշ տվյալների համաձայն 2006-2011 թթ.-ի դրությամբ, ՀՀ էլեկտրակայանների աշխատունակ տեղակայված հզորությունը կազմում է 2120-2420 ՄՎտ, մինչդեռ տեղակայված գումարային հզորությունը կազմել է 3091 ՄՎտ (աղ. 2.1.) [67,69, 70]:

#### Աղյուսակ 2.1.

##### ՀՀ էներգահամակարգի տեղակայված հզորություններ [71]

Տեղակայված հզորություններ , ՄՎտ	
Զերմային	1610
Միջուկային	415
Յիդրո	1066
Ընդհանուր	3091

Վերը նկարագրված պատճառներից հետևում է ՀՀ արտադրող հզորությունների արդիականացման, վերակռուցման կամ փոխարինման խիստ անհրաժեշտությունը:

Այդ անհրաժեշտությունից ելնելով, ՀՀ-ում կառուցվել և շահագործման են հանձնվել երկու նոր շոգեգազային էներգաբլոկներ Երևանում և Նրազդանում:

ՀՀ էներգահամակարգի իրական պատկերը տեսնելու համար դիտարկենք ՀՀ Շանրային Ծառայությունները Կարգավորող Շանձնաժողովի հրապարակած տվյալները 2012թ.-ին ՀՀ-ում արտադրված և առաքված էլեկտրական էներգիայի մասով [72]: Ըստ

այդ տվյալների կազմված 2.2 աղյուսակը ցուցադրում է ՀՀ էներգահամակարգում 2012թ.-ին առկա հզորությունները:

## Աղյուսակ 2.2

ՀՀ էներգահամակարգում առկա հզորությունները 2012թ.-ին

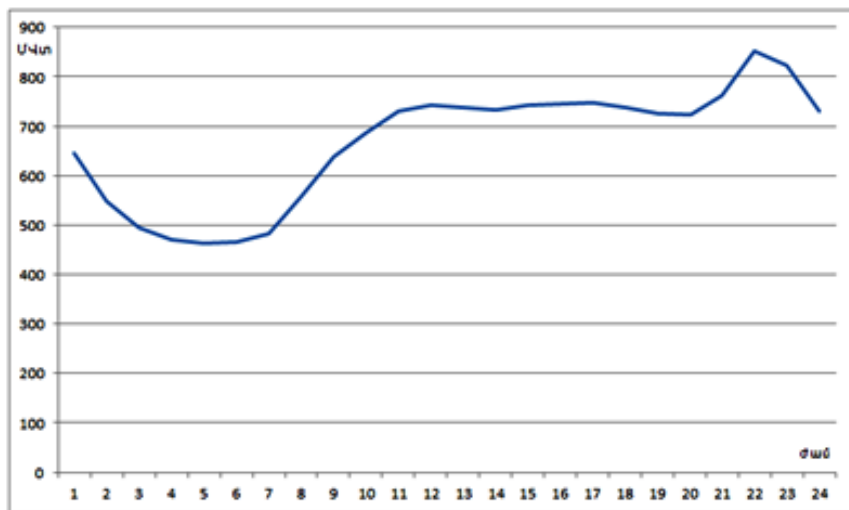
Տիպ	Կայան	Աշխատունակ տեղակայված Հզորություն, ՄՎտ	Ընդհանուր, ՄՎտ
Զերմային	“Դրագ ՋԷԿ” ԲԲԸ	400	1060
	“Երևանի ՋԷԿ” ՓԲԸ (շոգեգագ. ցիկլով աշխ. էներգաբլոկ)	220	
	“Դրագդան-5” “Դայնուսգազարդ” ՓԲԸ	440	
Միջուկային	“Դայկական ԱԷԿ” ՓԲԸ	385	385
Ջիղոր	«Միջազգային էներգետիկ կորպորացիա» ՓԲԸ	360*	740
	«Որոտանի ՋԷԿ» ՓԲԸ	380*	

\*<sup>1</sup> Ջիղորէլեկտրակայանների հզորությունները անվանականներից տարբերվում են, քանի որ տարվա կտրվածքով, ՋԷԿ-ի անվանական բեռնվածքը փոփոխվում է կապված ջրային ռեսուլտանների սեզոնայնության հետ:

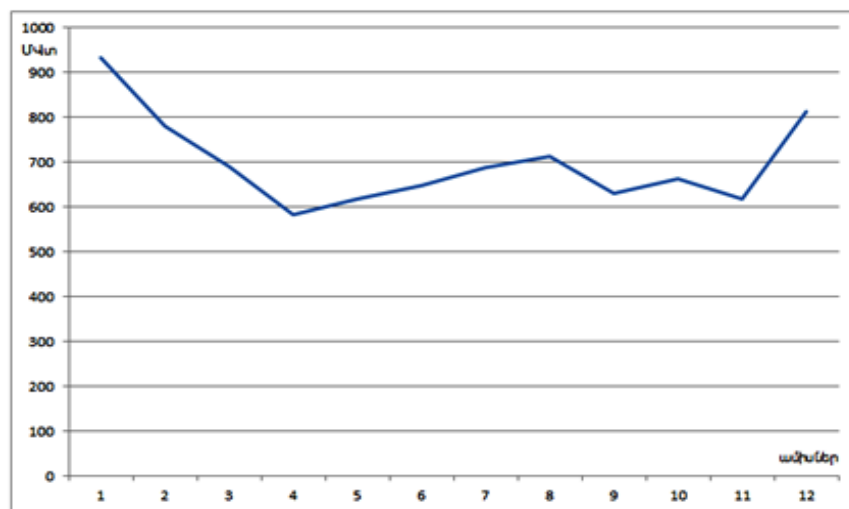
Այսպիսով, 2012թ.-ի դրությամբ, կարելի է փաստել, որ ՀՀ էլեկտրակայանների աշխատունակ տեղակայված հզորությունը կազմում է 2185 ՄՎտ:

Դիտարկենք, թե ինչպես է տեղի ունենում էլեկտրական էներգիայի արտադրության բաշխումը ՀՀ էներգահամակարգում՝ տարբեր տեսակի էլեկտրակայանների միջև:

Ընդհանուր առմամբ, էլեկտրական էներգիայի պահանջարկը տատանվում է կախված տարվա եղանակից, շաբաթվա օրից և օրվա ժամից: Այն ավելի բարձր է ցերեկային ժամերին, քան գիշերը, և ավելի ցածր է շաբաթվա վերջին օրերին, քան շաբաթվա աշխատանքային օրերին: Ամռան և ձմռան էլեկտրապահանջարկները իրարից ավելի խիստ են տարբերվում, կախված ջեռուցման և հովացման համակարգերի կիրառությունից:

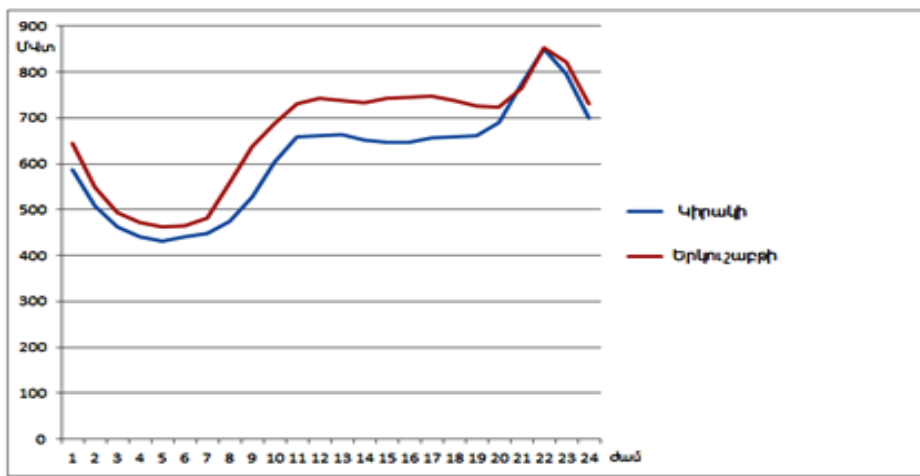


Նկ. 2.1. ՀՀ էներգահամակարգում էլեկտրական էներգիայի սպառման ժամային գրաֆիկ



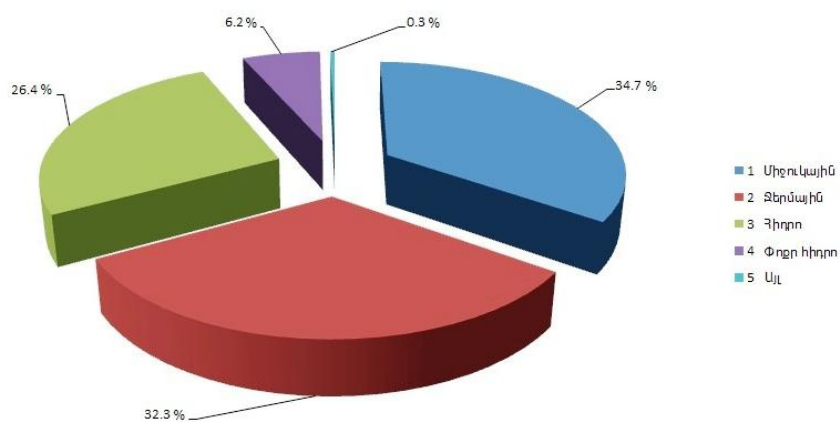
Նկ.2.2. ՀՀ էներգահամակարգում էլեկտրական էներգիայի սպառման տարեկան գրաֆիկ

2.1 և 2.2 նկարներում պատկերված գրաֆիկներում բերված են էլեկտրական էներգիայի սպառման ժամային և սեզոնային տատանումները ՀՀ էներգահամակարգում 2008թ.-ի տվյալներով: Նկ. 2.3-ում ներկայացված է 2008թ.-ին ՀՀ էներգահամակարգի էլեկտրական էներգիայի պահանջարկները երկուշաբթի և կիրակի օրերին պատկերող գրաֆիկը:



Նկ. 2.3. ՀՀ էներգահամակարգի էլեկտրական էներգիայի պահանջարկների գրաֆիկները Երկուշաբերի և կիրակի օրերին

Տարբեր տեսակի էլեկտրակայանների կողմից տարվա կտրվածքով էլեկտրաէներգիայի արտադրության տեսանկյունից պատկերը 2011թ.-ի համար ներկայացված է Նկ.2.4-ում:

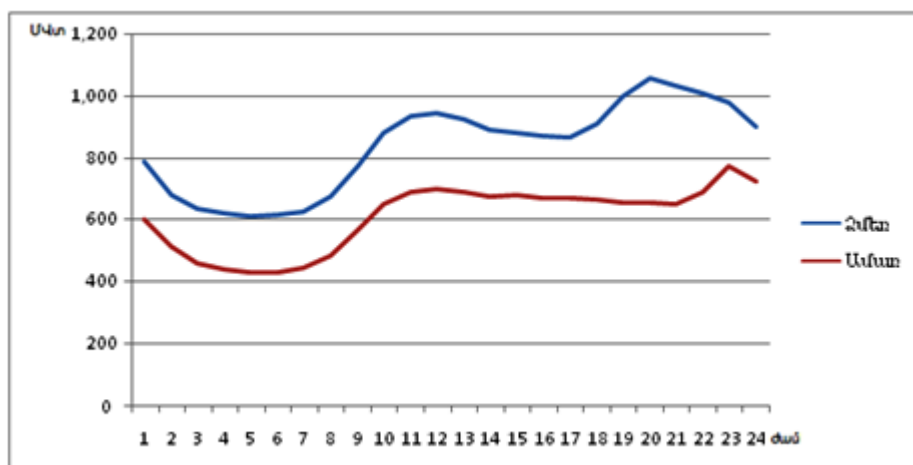


Նկ. 2.4. 2011թ.-ին ՀՀ-ում արտադրված էլեկտրական էներգիայի բաշխումը

Նկ.2.4-ում ներկայացված գրաֆիկից երևում է, որ 2011թ.-ին ՀՀ-ում արտադրված էլեկտրական էներգիայի 34,7 %-ը արտադրվել է ատոմային էլեկտրակայանում: 32,3 % և 26,4 % արտադրվել է ջերմային և խոշոր հիդրոէլեկտրակայաններում համապատասխանաբար: Փոքր ՀԵԿ-երին բաժին է ընկնում տարեկան արտադրանքի 6,2 %-ը: Նկարագրված տոկասային հարաբերությունները հետևանք են տարվա ընթացքում իրականացված հզորությունների բաշխման:

Հզորությունների բաշխումը կախված է տարվա եղանակից, գնից և առաջնային էներգահզորությունների պատրաստականությունից: Ասումային էլեկտրակայանը և փոքր ՀԵԿ-երը աշխատում են որպես բազիսային հզորություններ: Որոտանի ՀԵԿ-երի կասկադը աշխատում է որպես պիկային հզորություններ ծածկող, իսկ ԶԵԿ-երը՝ միջանկյալ: Սևան-Հրազդան ՀԵԿ-երի կասկադի աշխատանքը սեզոնային է, այն աշխատում է որպես բազիսային միայն ոռոգման սեզոնին (ամառ-աշուն), և որպես պիկային՝ մնացած ժամանակ:

Ինչպես երևում է Նկ.2.5-ում պատկերված գրաֆիկներից՝ և ամառային և ձմեռային օրեկան էներգասպառման գրաֆիկները առանձնանում են որոշակի ժամերի տեղի ունեցող կտրուկ աճերով և կտրուկ անկումներով:



Նկ.2.5. ՀՀ էներգասպառման օրեկան գրաֆիկները տիպիկ ամառային և ձմեռային օրերի համար

ՀՀ համար, ինչպես բոլոր ԱՊՀ երկրների համար, պիկային բեռի ծածկման հարցը համեմատաբար նոր խնդիր է: Դա պայմանավորված է նրանով, որ մինչև 1980-85թթ էներգահամակարգերի բեռի գրաֆիկներն աչքի են ընկել բավական մեծ խտությամբ, իսկ խորհրդային միացյալ համակարգը կենտրոնացված կառավարմամբ հնարավոր է դարձրել փոխհոսքերի միջոցով հարթեցնել դա: Ընդ որում կայանների մեծամասնությունն աշխատել է շուրջօրյա առավելագույն հզորությանը մոտ բերնվածությամբ: Հազվադեպ էր առաջանում սարքավորման բերնաթափման անհրաժեշտություն:

Վերջին երկու տասնամյակների ընթացքում, էներգահամակարգերում էներգետիկական սարքավորումների, և արդյունաբերությունում արտադրական սարքավորումների պաշարների առաջացման, միացյալ համակարգի տրոհման,

աշխատանքային օրվա կրծատման հետևանքով ՀՀ էներգահամակարգի բեռի գրաֆիկների խտությունները նվազել են:

Օրեկան բեռի գրաֆիկի էական անհամաչափությունը միշտ ստեղծում է որոշակի բարդություններ էներգահամակարգերի և կայանների աշխատանքում: Մինչդեռ ԱՊՀ երկրների էներգահամակարգերում այս բարդություններն առավել էական են, քանի որ գործող կայանները պատրաստ չեն փոփոխական բեռնվածքով աշխատելուն:

Ուստի բնական է, որ ՀՀ էներգահամակարգը պատրաստ չէ այսօրվա պայմաններին: Նախկինում տեղակայված հզորությունները պատրաստ չեն փոփոխական բեռնվածքով աշխատելուն: Այսպես մի շարք կայաններում կաթսաների նվազագույն տեխնիկապես թույլատրելի բեռնվածքը էկրանային խողովակներում շրջանառության խոտորումների վտանգի պատճառով սահմանափակվում է դրվածքային հզորության 65-80 %-ով: Ծատ կայանների ջրամշակման սխեմաները նախատեսված չեն ագրեգատների ցածր բեռնվածությամբ և պարբերաբար կանգնեցումներով աշխատելու համար [73, 74]:

Բեռի գրաֆիկների անհամաչափության հետևանքով առաջացող բարդությունների վերացման աշխատանքների մեջ է մտնում նոր էլեկտրակայանների հարմարեցումը բեռի էական տատանումներով աշխատանքին:

Ըստ կանխատեսումների ԱՊՀ երկրների էներգահամակարգերի բեռի գրաֆիկների անհամաչափությունները ապագայում ոչ միայն կպահպանվեն այլև կավելանան, և դրանք պետք է պատրաստ լինեն նման պայմաններում հուսալի և շահավետ աշխատանքի:

ՀՀ էներգահամակարգի սպառնան գրաֆիկի խտությունը տատանվում է 0,787...0,793 կախված տարվա եղանակից, որը բավականին մեծ թիվ է: Օրեկան բեռնվածքի գործակիցը (անվանական բեռի հարաբերությունը առավելագույն բերին) ամառային օրերին կազմում է 0,55 իսկ ձմեռային օրերին՝ 0,58:

Այսպիսով ՀՀ էներգահամակարգի համար արդիական է բեռի գրաֆիկի պիկերի ծածկման խնդիրը: Այդ առումով առանձնակի տեղ են գրավում գազատուրբինային և շոգեգազատուրբինային տեղակայանքները, որոնք օժտված լինելով շատ բարձր մաներային հատկություններով, արագ գործարկվում են, նույնպիսի արագությամբ կանգնեցվում են և շատ արագ բեր են հավաքում: Նշված տեղակայանքները շատ հարմար են գազաթնային և կիսագազաթնային գոտում աշխատելու համար: Իհարկե այս գոտում հաջողությամբ կարող են աշխատել նաև ՀԵԿ-երը, եթե օրեկան կարգավորման ջրամբարների օգտակար ծավալը դա թույլ տա:

Գազատուրբինային տեղակայանքները, հետևաբար նաև դրանց հիման վրա աշխատող շոգեգազային տեղակայանքների հզորությունը նշանակալի ազդեցության տակ են ԳՏՏ կոմպրեսոր ներծծվող օդի ջերմաստիճանից: Ուստի, գազաթնային կամ կիսագազաթնային ռեժիմները դիտարկելիս անհրաժեշտ է հստակ նկատի առնել այդ կախվածությունը: Մյուս կողմից, կոմպրեսոր ներծծվող օդի հովացման համակարգերի կիրառությունը, հնարավորություն է տալիս կտրուկ ավելացնել հզորությունը և հատկապես հարմար է կիրառել բերի գրաֆիկի գազաթնային մասերը սահուն անցնելու համար:

## 2.2 ՀԳՏ-ների աշխատանքային ռեժիմները

Յաշվի առնելով նախորդ բաժնում նկարագրվածը, կարելի է ասել, որ ՀՀ էներգահամակարգում գազատուրբինային և շոգեգազային տեղակայանքները նպատակահարմար են օգտագործել գազաթնային և կիսագազաթնային գոտիներում: Այդ դեպքում նշված տեղակայանքներն աշխատում են փոփոխական բեռնվածքներով, ընդ որում հիմնականում անվանական բեռնվածքից բավականին ցածր: Նվազագույն հանձնարարվող բեռնվածքը համապատասխանում է թույլատրելի նվազագույն բեռնվածքին, որը ԳՏՏ-ների դեպքում շատ ավելի փոքր է շոգետուրբինային տեղակայանքների համեմատ: Ակընհայտ է, որ ոչ անվանական բեռնվածքով աշխատելիս, տեղակայանքների արդյունավետության և էներգետիկական ցուցանիշները ընկնում են: Այդ առումով առանձնանում են միայն այն շոգեգազային տեղակայանքները, որոնցում կաթսայական ագրեգատում նախատեսված է հավելյալ այրում, այդ դեպքում բերի գրաֆիկի փոփոխական հատվածները կարելի է կարգավորել գազատուրբինային տեղակայանքի միջոցով, իսկ կաթսայական ագրեգատում և շոգեուժային ցիկլում պահել անվանական բեռնվածքը, որը բերում է գոլորշային ցիկլի արդյունավետության պահպանման, որն էլ բերում է ամբողջ շոգեգազային ցիկլի արդյունավետության ավելի փոքր անկնան, քան օգտահանիչ կաթսայով սխեմայի դեպքում:

Օգտահանիչ կաթսաներով համակցված ցիկլերում շոգետուրբիններն առավել շահավետ աշխատում են օգտագործելով սահող պարամետրերի՝ սահող ճնշում, սահող ջերմաստիճան պրոցեսը, այսինքն դրանք աշխատում են “չկառավարվելով”: Ծոգու պարամետրերը պայմանավորված են միայն գազատուրբինից հեռացող ծխագագերի ջերմաստիճանով և ծախսով: Ի տարբերություն նշենք, որ ավանդական ԶԷԿ-երում շոգետուրբինային տեղակայանքները ցանկացած բերի դեպքում աշխատում են թարմ

գոլորշու ֆիքսված պարամետրերով: Դա հեշտացնում է մասնակի բեռնվածքի հաշվարկները, քանի որ կարելի է շոգետուրբինը և կաթսայական ագրեգատը իրարից անկախ դիտարկել՝ գոլորշու ճնշումը և ջերմաստիճանը նախապես հայտնի են: Գազատուրբինային տեղակայանքների դեպքում հարկ է լինում օգտվել ուղղիչ կորերից [75]:

Ժամանակակից, առանց հավելյալ այրման համակցված ցիկլերով աշխատող էլեկտրակայանի O44-ն հիմնականում կախված է ԳՏՏ-ի O44-ից:

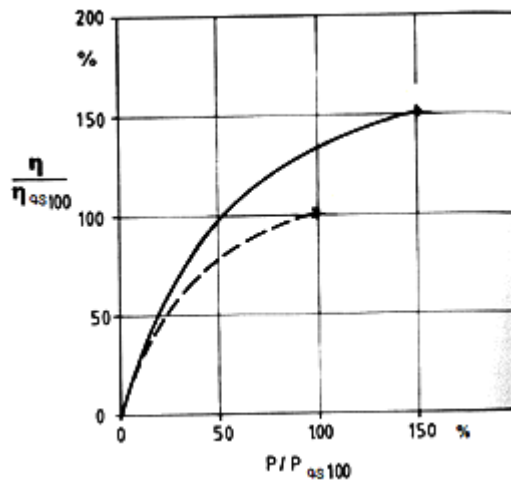
Նկ2.6-ում պատկերված է համակցված ցիկլով էլեկտրակայանի և դրա գազատուրբինային տեղակայանքի O44-ների կորերը ի համեմատություն ԳՏՏ-ի նոմինալ բեռնվածքի O44-ին: Այս գրաֆիկում պատկերված երկու կորերի նմանությունը փաստում է, որ համակցված ցիկլի O44-ն որևէ կետում մոտ 50%-ով բարձր է ԳՏՏ-ի O44-ից: Այսինքն, ԳՏՏ-ի և ՇՏ-ի արտադրանքների հարաբերակցությունը մնում է համեմատաբար հաստատուն բեռնվածքի ողջ տիրություն:

Եվ ԳՏՏ-ի և ամբողջ էներգաբլոկի O44-ները շատ արագ անկում են ապրում բեռնվածքի անկման հետ: Դա պայմանավորված է գազատուրբինի հզորության կարգավորման հետ (տուրբինից առաջ ջերմաստիճանի փոփոխմամբ): Մասնակի բեռնվածքների ժամանակ, միայիսեռ տեղակայանքների դեպքում, օդի ծախսը մնում է գրեթե հաստատուն, որը բերում է տուրբինից առաջ ջերմաստիճանի անկման բեռնվածքի իջեցմանը զուգահեռ: Սա բերում է ջերմության հաղորդման միջին ջերմաստիճանի անկման, և հետևաբար O44-ի անկման: Այս երևույթի դեմ կարելի է կիրառել հետևյալ միջոցառումները՝

- Նվազեցնել օդի ծախսը մասնակի բեռնվածքների դեպքում
- Մի քանի ԳՏՏ տեղակայել

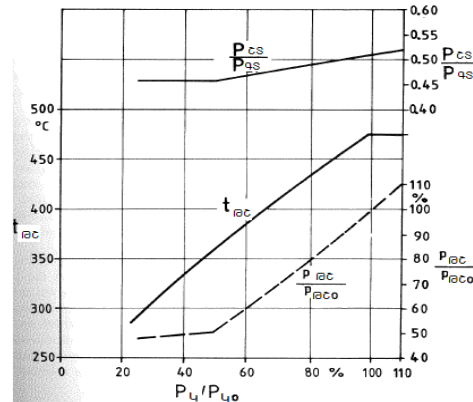
Օդի ծախսը կարելի է նվազեցնել հետևյալ միջոցառումներով

- Կոմպրեսորում տեղադրել մուտքի կարգավորվող թիակներ
- Նախատաքացնել մատուցվող օդը
- Օգտագործել երկառանցք տեղակայանքներ



Նկ.2.6. ԳՏՏ-ի և Դամակցված ցիկլով ԶԵԿ-ի ՕԳԳ-ի կախվածությունը բեռնվածքից, ----- ԳՏ, ——- Դամակցված ցիկլ,  $P/P_{as100}$  -հարաբերական արտադրանք,  $\eta/\eta_{as100}$  -հարաբերական ՕԳԳ [74]

Կոմպրեսորի մուտքի կարգավորվող թիակները հնարավորություն են տալիս իշեցնել ԳՏՏ-ի հզորությունը մինչև 80-85 % առանց տուրբինի մուտքում ջերմաստիճանի փոփոխության: Դրանից ցածր հզորությունների դեպքում ծխագագերի ջերմաստիճանը պետք է իշեցնել, տուրբինի վերջին թիակների գերտաքացումից խուսափելու համար: Նկ.2.7-ում պատկերված են արտադրված հզորությունների և թարմ գոլորշու պարամետրերի կորեղը:

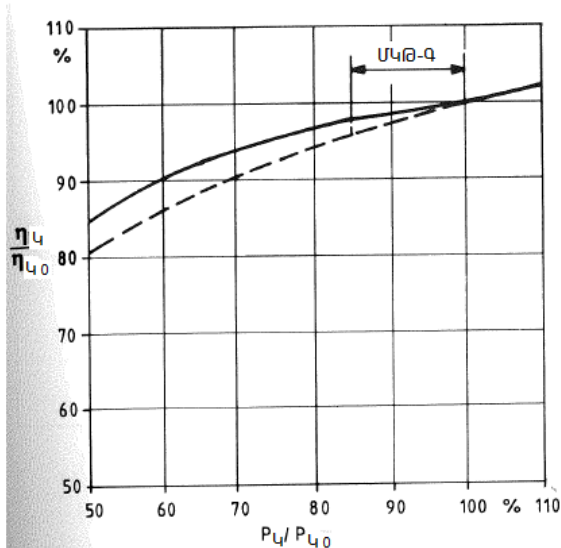


Նկ.2.7. Դամակցված ցիկլով աշխատող էլեկտրակայանի ԳՏ-ի և ՇՏ-ի հզորությունների և թարմ գոլորշու պարամետրերի կախվածությունը կայանի բեռնվածքից

$P_{\sqrt{P_{\text{u}}/P_{t40}}}$  -համակցված էլեկտրակայանի հարաբերական հզորությունը,  $P_{cs}/P_{as}$  - ՇՏ-ի և ԳՏ-ի հզորությունների հարաբերությունը,  $P_{\theta c}/P_{\theta co}$  - թարմ շոգու հարաբերական ճնշում,  $t_{\theta c}$ -թարմ շոգու ջերմաստիճան

50 % -ից ցածր բեռնվածքների ժամանակ թարմ շոգու ճնշումը պահպում է գորեք հաստատում շոգետուրբինի կարգավորող փականների միջոցով:

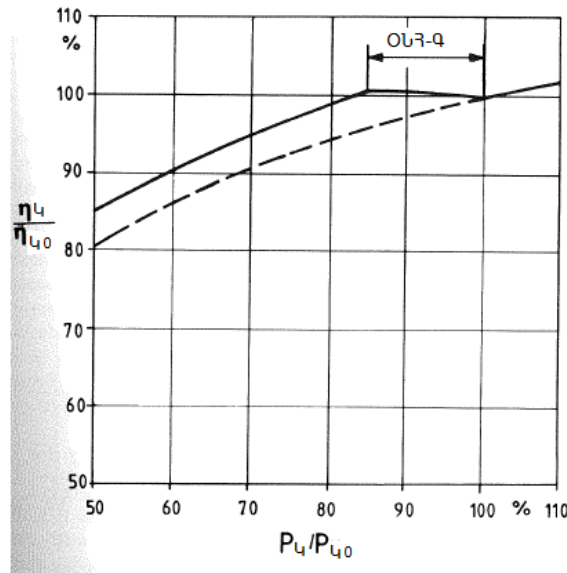
Նկ.2.8-ում պատկերված է համակցված էլեկտրակայանի մասնակի բեռնվածքի ՕԳԳ-ի կախվածությունը բեռնվածքից պատկերող կորը՝ ԳՏՏ-ի կոմպրեսորում մուտքի կարգավորվող թիակների տեղակայմամբ:



Նկ.2.8. համակցված էլեկտրակայանի մասնակի բեռնվածքի ՕԳԳ-ն ԳՏՏ-ի կոմպրեսորում մուտքի կարգավորվող թիակների տեղակայմամբ  
 ----- - առանց կոմպրեսորում մուտքի կարգավորվող թիակների ԳՏՏ-ով համակցված էլեկտրակայան, \_\_\_\_\_ - կոմպրեսորում մուտքի կարգավորվող թիակներով ԳՏՏ-ով համակցված էլեկտրակայան,  
 ՄԿԹ-Գ - կոմպրեսորում մուտքի կարգավորվող թիակների գոտի,  
 $P_{\sqrt{P}}/P_{U_0}$  - համակցված էլեկտրակայանի հարաբերական հզորությունը,  
 $\eta_{\sqrt{P}}/\eta_{U_0}$  - համակցված էլեկտրակայանի հարաբերական ՕԳԳ:

Գոյություն ունի ՕԳԳ-ի նկատելի մեծացում, բեռնվածքի գրաֆիկի ողջ երկայքով, ի տարբերություն այն տուրբինների, որոնք կարգավորվում են միայն մուտքի ջերմաստիճանի կարգավորմամբ: Օդի նախատաքացման առավելությունը կայանում է նրանում, որ այն իրականացնելու համար չկա որևէ առանձնահատուկ դժվարություն: Սակայն անհրաժեշտ է ջերմության աղբյուր:

Որպես օդի նախատաքացման ջերմաղբյուր կարող է հանդես գալ օգտահանիչ կաթսայից վերցվող ցածր ճնշման գոլորշին: Նկ.2.9-ը ցույց է տալիս օդի նախատաքացմամբ էլեկտրակայանի ՕԳԳ-ի կախվածությունը բեռնվածքից: Մեծ բեռնվածքների դեպքում օդի նախատաքացումը տալիս է ավելի մեծ օգուտ, քան կոմպրեսորում մուտքի կարգավորվող թիակների տեղակայումը, բայց այս համակարգը ունի թերություն, դրա արդյունավետությունը ընկնում է շրջակա միջավայրի օդի բարձր ջերմաստիճանների դեպքում: Օդը կարող է տաքացվել մինչև մոտ 50-55°C առանց կոմպրեսորի խզման սահմանի անցման:



Նկ.2.9. ԳՏՏ-ի կոմպրեսոր մատուցվող օդի նախատաքացման կիրառմամբ համակցված էլեկտրակայանի ՕԳԳ-ն մասնակի բեռնվածների դեպքում:  
 ----- - առանց կոմպրեսոր մատուցվող օդի նախատաքացման համակարգի ԳՏՏ-ով համակցված էլեկտրակայան, \_\_\_\_\_ - կոմպրեսոր մատուցվող օդի նախատաքացման համակարգով ԳՏՏ-ով համակցված էլեկտրակայան, ՕՆՀ-Գ - կոմպրեսոր մատուցվող օդի նախատաքացման համակարգի գործունեության գոտի,  $P_4/P_{40}$  -համակցված էլեկտրակայանի հարաբերական հզորությունը,  $\eta_4/\eta_{40}$  -համակցված էլեկտրակայանի հարաբերական ՕԳԳ:

Ցածր բեռնվածքների դեպքում կայանի ՕԳԳ-ի առավել մեծ բարելավման հասնելու համար պետք է կիրառել մի քանի ԳՏՏ-ներով համակցված ցիկլեր: Սա հնարավորություն է տալիս մասնակի բեռնվածքների դեպքում անջատել ԳՏՏ-ներից մեկը կամ մի քանիսը: Աշխատանքի մեջ մնացած ԳՏՏ-ները շարունակում են աշխատել նոմինալ կամ բարձր բեռնվածքներով, տուրբինի մուտքում բարձր ջերմաստիճաններով, որը և բերում է ընդհանուր ՕԳԳ-ի բարելավման: 4 ԳՏՏ և 1 ՇՏ ունեցող համակցված էլեկտրակայանի ՕԳԳ-ի կախվածությունը բեռնվածքից: Կայանի հզորությունը նվազեցվում է հետևյալ կերպ՝

- Մինչև 75 % բեռնվածք, բոլոր 4 ԳՏՏ-ներն ել հավասարաչափ բեռնաթափվում են,
- 75 % բեռնվածքի դեպքում ԳՏՏ-ներից մեկը կանգառվում է,
- Մինչև 50 % բեռնվածք, աշխատանքի մեջ մնացած 3 ԳՏՏ-ները հավասարապես բեռնաթափվում են,

- 50 % բեռնվածքի դեպքում երկրորդ ԳՏՏ-ն է կանգառվում, և այսպես շարունակ

Այս սխեմայի կիրառման դեպքում, կայանի ՕԳԳ-ները 50 %, 75 % և 25 % բեռնվածների դեպքերում պրակտիկորեն հավասար են նոմինալ բեռնվածքի ՕԳԳ-ին:

### **2.3 Երևանի ԶԵԿ-ի նոր կառուցված Էներգաբլոկի նկարագրությունը**

ՀՀ էներգահամակարգում գործող ջերմային էլեկտրակայանները մեծամասամբ սպառել են իրենց աշխատանքային ռեսուրսները, կամ գտնվում են դրա սպառման եզրին: Երևանի ԶԵԿ-ի առաջին՝ 50 ՄՎտ հզորությամբ ագրեգատը հանձնվել է շահագործման 1963 թվականի մարտի 31-ին: Ինչը վկայում է Երևանի ԶԵԿ-ում այսօր գոյություն ունեցող սարքավորումների և ֆիզիկական և բարոյական մաշվածության ծայրահեղ աստիճանի մասին:

XX դարի վերջին արդեն արդիական էր դարձել ԵրԶԵԿ-ի արդիականացման անհրաժեշտությունը: Աշխատանքային վիճակում գտնվող ԶԵԿ-ի ոչ բլոկային մասի միացքների արդյունավետության վրա անցանկալի ազդեցություն էին գործում ձեռնարկությունների արդյունաբերական հանգույցի (առաջին հերթին «Նախրիտ» ձեռնարկության) շոգու պահանջարկի անհամաչափ և երկարատև դադարները: Այդպիսի միացքի աշխատանքը համակարգի տեսակետից դառնում է աննպատակահարմար:

Դանրապետության մայրաքաղաքի միակ ԶԵԿ-ի վերակառուցումը և հանդերձումը ժամանակակից, բարձր արդյունավետության սարքավորումներով հնարավորություն է տալիս պահանջվող պարամետրերի էլեկտրական և ջերմային էներգիա մատակարարել սպառողներին ճկուն և արդյունավետ ռեժիմներով, միևնույն ժամանակ ապահովելով բնապահպանական առավել նպաստավոր պայմաններ մայրաքաղաքի համար:

Ուստի որոշում կայացվեց ԵրԶԵԿ-ը վերակառուցել էլեկտրաէներգիայի արտադրության և ջերմության վերականգնման բարձր արդյունավետ համակարգի ներդրման միջոցով՝ որպիսին հանդիսանում է համակցված շոգեգազային ցիկլով աշխատող համակարգը: ԵրԶԵԿ-ի և Յրազդանի 5-րդ էներգաբլոկի շահագործման հանձննամբ ՀՀ էներգահամակարգը դուրս եկավ նոր մակարդակի [76, 77, 78, 79]

Վերակառուցման ծրագրի շրջանակներում, գոյություն ունեցող ենթակառուցվածքների կիրառմամբ և ըստ անհրաժեշտության արդիականացմամբ, կառուցվել է հատկորոշված ջերմային էներգիայի առաքմամբ, առանց լրացուցիչ այրման տիպի համակցված շոգեգազային ցիկլով էլեկտրակայան:

Նոր էլեկտրակայանը համակցված ցիկլով բազմառանցք էլեկտրակայան է, բաղկացած թվով մեկ հատ առանց լրացուցիչ այրման ջերմաօգտագործիչ կաթսայից, մեկական շոգետուրբինից ու գազատուրբինից և նրանց գեներատորներից, թվով երկու գեներատորային բարձրացնող տրանսֆորմատորներից՝ լրացված անհրաժեշտ հարակից սարքավորումներով ու հարմարանքներով: Հագեցման ցիկլը ըստ առաջնային շոգու երկակի ճնման է, առանց միջանկյալ գերատաքացման: Այն օգտագործում է գոյություն ունեցող էլեկտրակայանի 110 կՎև 35 կՎ անջատիչային սարքվածքները:

Այն ունի 189.01 ՄՎտ նոմինալ էլեկտրական հզորություն 434.9 ԳԶ/Ժ ջերմային առաքմամբ մթնոլորտային օդի  $12^{\circ}\text{C}$ -ի դեպքում և 222.87 ՄՎտ էլեկտրական հզորություն առանց ջերմային առաքման  $0^{\circ}\text{C}$ -ի դեպքում:

Նոր էլեկտրակայանում որպես վառելիք օգտագործվում է միայն բնական գազը, որն առաքվում է Երևանի ջերմակելեկտրակայանի՝ (գոյություն ունեցող էլեկտրակայան) տարածքում գտնվող սահմանազատման կետից՝ 0,8-1,2 ՄՊա ճնշմամբ:

Շոգետուրբինից հնարավոր է իրականացնել ջերմային էներգիայի առաքում՝ 2,5 ՄՊա և 1,3 ՄՊա ճնշմամբ շոգու տեսքով՝ արդյունաբերության, իսկ 0,18 ՄՊա ճնշմամբ ջերմամատակարարման համար նախատեսված շոգին վերցվում է հագեցման ցիկլի ցածր ճնշման կոնտուրից:

Էներգաբլոկի կառավարումը իրականացվում է գլխավոր մասնաշենքում տեղակայված ԿԿԿ-ից (Կենտրոնական Կառավարման Կետ): ԶԷԿ-երի դեկավարման վահանակների համար արդեն ավանդական դարձած մնեմոսխեմաները փոխարինված են ժամանակակից վիդեոգրամմաներով: ԶԷԿ-ի շահագործման պայմանները կառավարվում են օպերատորի դիմաց գտնվող համակարգչի միջոցով, իսկ ամբողջ շահագործման ընթացքին կարելի է հետևել ԿԿԿ-ում սարքավորված պլազմային արտապատկերման տեսակի 80" լայնեկրանի վրա:

Շոգետուրբինի կոնդենսատորի և էներգաբլոկի օժանդակ սարքավորումների հովացումը իրականացվում է միևնույն տեխնիկական ջրամատակարարման համակարգի միջոցով: Այն իրենից ներկայացնում է շրջանառու համակարգ և կահավորված է ստիպողական քարշով թաց աշտարակահովացուցիչներով: Համակարգի լրասնուցման նպատակով օգտագործվում է քիմիապես աղաղրկված ջուր:

Էներգաբլոկի գլխավոր մասնաշենքում տեղակայված են գազատուրբինային տեղակայանքն ու իր գեներատորը, շոգետուրբինն ու իր գեներատորը՝ իրենց հարակից օժանդակ մեխանիկական և էլեկտրական սարքավորումներով, կառավարման սենյակը, էլեկտրական բաշխիչ սարքվածքի սենյակը, կուտակիչների սենյակը և այլն:

Էներգաբլոկի հիմնական սարքավորումների նկարագրությունը՝

### **Գազատուրիմային տեղակայանք**

տիպ- GT13E2 MXL Ալստոն ֆիրմայի, արդյունաբերական, Ե դասի,  
նախագծային հզորություն – 172ՄՎտ MXL ռեժիմում և 179.9 ՄՎտ MCL ռեժիմում,  
պտուտաթվեր – 3000 պտ/ր,  
հաճախություն – 50 Հց,  
Կոմպրեսորի աստիճանների թիվ – 21,  
տուրբինի աստիճանների թիվ – 5,  
տուրբինի հովացվող թիակների թիվ – 3,  
տուրբինի հովցվող փողոակների թիվ – 2,  
այրման խցի թիվ – 1,  
այրիչների թիվ – 72:

### **Գազատուրիմի գեներատոր**

տիպ – օդա-ջրային հովացման 50WY21Z-095,  
արտադրող - Ալստոն,  
հաճախություն – 50 Հց,  
հզորության գործակից – 0,85,  
լարում – 15+/-5% կՎ,  
հոսանքի ուժ – 7890 Ա,  
պտուտաթվեր – 3000 պտ/ր,  
քսեռների թիվ – 2,  
ՕԳԳ - 98.81%:

### **Շոգետուրիմային տեղակայանք**

տիպ – շոգու առումներով, ներթողմամբ և կոնդենսատորով,  
արտադրող – ՖՈՒԶԻ,  
բարձր ճնշման գոլորշու պարամետրեր՝  
ջերմաստիճան – 493,7 °C,  
ճնշում – 7,02 ՄՊա,  
բարձր ճնշման գոլորշու ծախս – 56,79 կգ/վ,  
առումներ՝

կարգավորվող – 290,1 °C, 1,46 ՄՊա,  
չկարգավորվող – 396,6 °C, 3,46 ՄՊա,  
ներթողվող շոգի՝  
ճնշում – 0,45 ՄՊա,

ջերմաստիճան –  $264,4^{\circ}C$ ,

ծախս –  $7,46 \text{ կգ/վ}$ ,

ճնշումը կոնդենսատորում –  $0,0058 \text{ UՊա}$ ,

հզորություն –  $38600 \text{ կՎտ}$ :

#### **Ծոգետուրքինի գեներատոր**

տիպ - Եռաֆազ, սինքրոն, ստատիկ գրգռիչով,

արտադրող –  $\Phi 01\text{F2}$ ,

լարում –  $13,8+/-5\% \text{ կՎ}$ ,

հզորության գործակից –  $0,85$ ,

բևեռների թիվ –  $2$ ,

հաճախություն –  $50 \text{ Դգ}$ ,

պտուտաթվեր –  $3000 \text{ այտ/ր}$ ,

հովացնող ջրի ջերմաստիճան –  $35^{\circ}C$ ,

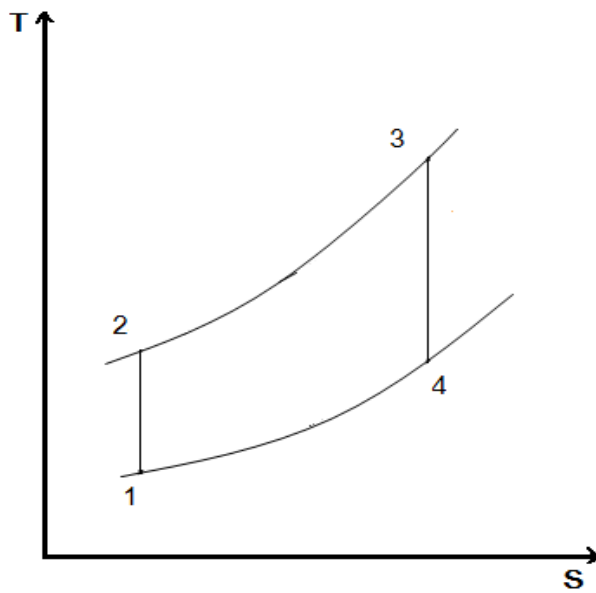
միացում - աստղաձև:

#### **2.4 ԳՏՏ ջերմային հաշվարկի մեթոդների ուսումնասիրություն**

Ինչպես և մյուս բոլոր գազատուրբինային և համակցված տեղակայանքները, Երևանի համակցված էներգաբլոկը նույնպես տուժում է տարվա ընթացքում ԳՏՏ կոմպրեսոր մատուցվող մթնոլորտային օդի ջերմաստիճանի բարձրացումներից: Աշխատանքի նպատակն է պարզել տարեկան կտրվածքով այդ ազդեցությունը Երևան քաղաքի պայմաններում, ինչպես նաև հաշվարկել հովացման խոնավ համակարգի կիրառման ազդեցությունը տնտեսական շահավետութան տեսանկյունից:

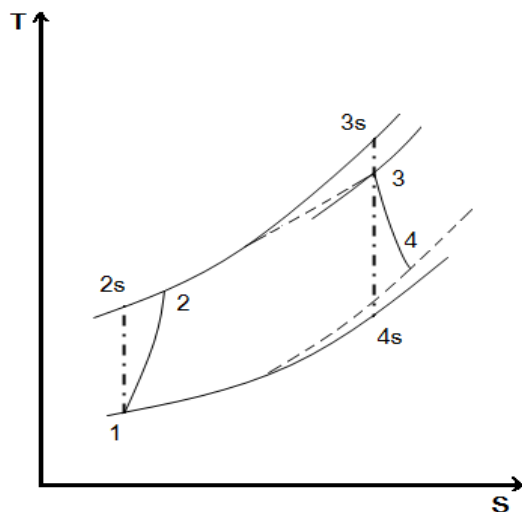
Խնդրի լուծման համար անհրաժեշտ է ԳՏՏ ջերմային հաշվարկի այնպիսի մեթոդ, որը հնարավորություն կտա հաշվի առնել հովացման համակարգի կիրառման հետ կապված բոլոր փոփոխությունները: Այդպիսի հաշվարկային մեթոդիկա գտնելու համար այս պարագրաֆում կատարվել է գրականությունում բերված ԳՏՏ ջերմային հաշվարկի մեթոդների ուսումնասիրություն:

ԳՏՏ ջերմային հաշվարկի վերաբերյալ առկա բոլոր գրականություննում նախ և առաջ նկարագրվում են ԳՏՏ տեսական և իրական ցիկլեր, և դրանց բնութագրիչ մեծությունները [80-85]:



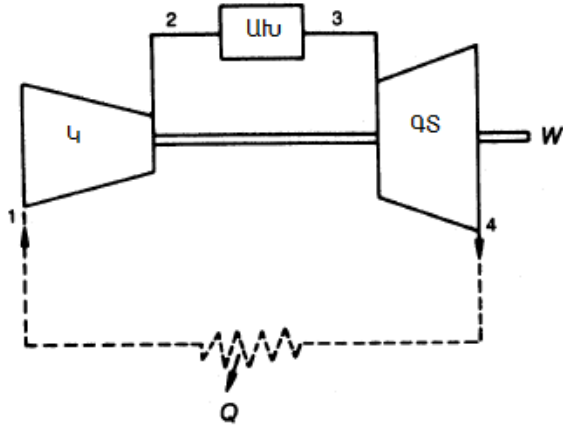
Նկ.2.10. Պարզ ԳՏՏ իդեալական ցիկլ

Այսպես, նկ.2.10-ում բերված է ԳՏՏ տեսական ցիկլը  $T$ - $s$  դիագրամում, իսկ նկ.2.11-ում իրական ցիկլը, որը հաշվի է առնում տուրբինում և կոմպրեսորում ընթացող պրոցեսների անհակաղարձելիությունը և հիդրավլիկական կորուստները գազատարներում և այրման խցում:



Նկ.2.11. Պարզ ԳՏՏ ցիկլի հաշվի առած շփնան և այլ անհակաղարձելի կորուստները

Այսպիսի ցիկլով աշխատող ԳՏՏ սխեման բերված է նկ.2.12-ում:



Նկ.2.12. QSS պարզ սխեմա

Պարզ QSS ցիկլի համար կոմպրեսորում ծախսվող և տուրբինում ստեղծվող աշխատանքները համապատասխանաբար ներկայացվում են հետևյալ բանաձևերով՝

$$W_U = m_{o\eta}(h_2 - h_1)/\eta_U, \quad (2.1)$$

$$W_S = (m_{o\eta} + m_\psi)(h_{3S} - h_4)\eta_S: \quad (2.2)$$

Հետևյաբար ստեղծված օգտակար աշխատանքը հավասար կլինի՝

$$W = W_S - W_U: \quad (2.3)$$

Աշխատող մարմնի ջերմաստիճանը  $2_s$  կետից  $3_s$  բարձրացնելու համար պահանջվող վառելիքի ծախսը հավասար է՝  $m_\psi = \frac{h_{3S} - h_{4S}}{\eta_{U/\eta} Q_U^F}$ . (2.4)

Ուստի ցիկլի աղիաբատ ջերմային OQQ-Q ներկայացվում է հետևյալ բանաձևի միջոցով՝  $\eta_{QSS} = \frac{W}{m_f Q_U^F}$ : (2.5)

Կոմպրեսորի և տուրբինի OQQ-Q ներկայացվում են համեմատության մեջ իզոէնտրոպ պրոցեսի նկատմամբ՝

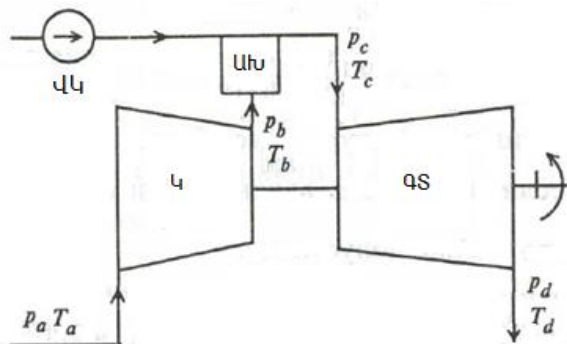
$$\eta_U = \frac{h_{2S} - h_1}{h_2 - h_1}, \quad (2.6)$$

$$\eta_S = \frac{h_{3S} - h_{4S}}{h_{3S} - h_{4S}}: \quad (2.7)$$

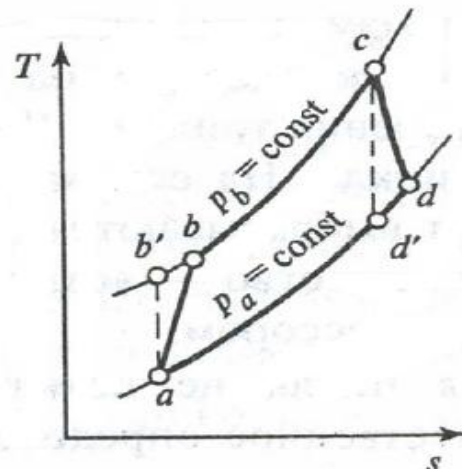
Այժմ դիտարկենք QSS հաշվարկի մանրամասն մեթոդները բերված գրականության մեջ։ Առաջին դիտարկվող մեթոդը “Трухний А. Д., Газотурбинные установки”-ում բերված մեթոդն է [84]:

Այստեղ դիտարկված է QSS ցիկլ T-s դիագրամում, որը բերված է նկ.2.14-ում, առանց հաշվի առնելու ճնշման կորուստները օդային և գազային տրակտերում, որոնք

սակայն հաշվի են առնված հաշվարկներում: ա կետը որոշում է օդի սկզբնական պարամետրերը կոմպրեսորի մուտքում ( $P_a$ ,  $T_a$ ): աբ-ն համապատասխանում է կոմպրեսորում օդի սեղմնան պրոցեսին մինչև  $P_b$  և  $T_b$  պարամետրերը, իսկ աբ' հատվածը համապատասխանում է մինչև նույն վերջնական ճնշում իզոենթրոպ սեղմնանը և  $T_{bt}$  ջերմաստիճանին: Եթե հատվածը համապատասխանում է այրման խցում ջերմության իզոբար մատուցմանը, որի ժամանակ օդի ջերմաստիճանը աճում է  $T_c$ -ից մինչև  $T_c$ :



Նկ.2.13. Պարզ ԳՏՏ սխեմա



Նկ.2.14. Պարզ ԳՏՏցիկլ T-S դիագրամում

Իրականում այրման խցում տեղի է ունենում ճնշման անկում հիդրավլիկական կորուստների հետևանքով, այդ պատճառով  $P_c < P_b$ : Կարելի է գրել՝

$$P_c = \lambda_1 P_b, \quad (2.8)$$

որտեղ  $\lambda_1$ -ը գործակից է, որը հաշվի է առնում կոմպրեսորի և այրման խցի միջև օդային տրակտի և այրման խցի հիդրավլիկական կորուստները՝  $\lambda_1 = 0,97 \dots 0,98$ :

cd հատվածը ցույց է տալիս տուրբինում գազերի ընդարձակման պրոցեսը մինչև Rd ճնշում: Տուրբինից հետո տրակտում ճնշման կորուստների հետևանքով  $P_d > P_a$ :

$$P_a = \lambda_2 P_d, \quad (2.9)$$

որտեղ  $\lambda_2$ -ը գործակից է, որը հաշվի է առնում կոմպրեսոր օդի մատուցման համակարգի և տուրբինի ելքային տրակտի հիդրավլիկական կորուստները՝  $\lambda_2 = 0,96 \dots 0,98$ :

Կոմպրեսորում և տուրբինում ճնշումների հարաբերությունների համար համապատասխանաբար կարող ենք գրել՝

$$\varepsilon = P_b / P_a, \quad (2.10)$$

$$\delta = P_c / P_d: \quad (2.11)$$

Եթե գրենք  $\lambda = \lambda_1 \lambda_2$ , ապա կստանանք՝

$$\delta = \lambda \varepsilon: \quad (2.12)$$

ԳՏՏ օգտակար տեսակարար աշխատանքը կլինի՝

$$H = H_u - H_d, \quad (2.13)$$

որտեղ  $H_u$ -ն տուրբինում 1 կգ գազի ընդարձակման աշխատանքն է, իսկ  $H_d$ -ն կոմպրեսորում 1 կգ օդի սեղման վրա ծախսվող աշխատանքը՝

$$H_u = c_{pq}(T_c - T_d), \quad (2.14)$$

$$H_d = c_{p\eta}(T_b - T_a), \quad (2.15)$$

որտեղ  $c_{pq}$ -ն և  $c_{p\eta}$ -ն համապատասխանաբար գազի և օդի միջին իզոբար ջերմունակություններն են, վերցվում են համապատասխան այսուսակներից:

Վերջին երկուսը կարելի է ներկայացնել կոմպրեսորի և տուրբինի իզոէնտրոպ ՕԳԳ-ների միջոցով՝

$$\eta_S = \frac{h_c - h_d}{h_c - h_{dt}} = \frac{c_{pq}(T_c - T_d)}{c_{pq}(T_c - T_{dt})} = \frac{T_c - T_d}{T_c - T_{dt}}, \quad (2.16)$$

$$\eta_Q = \frac{h_{bt} - h_a}{h_b - h_a} = \frac{c_{p\eta}(T_{bt} - T_a)}{c_{p\eta}(T_b - T_a)} = \frac{T_{bt} - T_a}{T_b - T_a}. \quad (2.17)$$

Իզոէնտրոպի հավասարումները տուրբինի և կոմպրեսորի պրոցեսների համար՝

$$\frac{T_{bt}}{T_a} = \varepsilon^{m\eta}, \quad \frac{T_c}{T_{dt}} = \varepsilon^{mq}, \quad (2.18)$$

$$m_{\eta} = \frac{k_{\eta}-1}{k_{\eta}}, \quad m_q = \frac{k_q-1}{k_q}; \quad (2.19)$$

Օգտվելով (2.16)-ից, (2.17)-ից և (2.18)-ից կստանանք՝

$$T_d = T_c (1 - (1 - \delta^{-m_q}) \eta_S), \quad (2.20)$$

$$T_b = T_a (1 + \frac{\varepsilon^{m_{\alpha}} - 1}{\eta_u}); \quad (2.21)$$

(2.20)-ը և (2.21)-ը հաշվի առնելով, (2.14)-ը և (2.15)-ը կարելի է գրել՝

$$H_u = \eta_S c_p T_c (1 - \delta^{-m_q}), \quad (2.22)$$

$$H_u = \frac{1}{\eta_u} c_{p\alpha} T_a (\varepsilon^{m_{\alpha}} - 1); \quad (2.23)$$

Այրման խցում մատուցված տեսակարար ջերմությունը որոշվում է և ե կետերում էնթալփիաների տարբերությամբ՝

$$q_1 = \frac{1}{\eta_{w/u}} c_p (T_c - T_b), \quad (2.24)$$

$\eta_{w/u}$ -ն հաշվի է առնում վառելիքի ոչ լոիկ այնան և դեպի շրջակա միջավայր տեղի ունեցող ջերմության կորուստները,  $\eta_{w/u} = 0,97 \dots 0,99$ :

Ցիկլի O44-ն արտահայտվում է՝

$$\eta = (H_S - H_u) / q_1 = H / q_1; \quad (2.25)$$

Նկարագրված մեթոդը ավելի լավ պատկերացնելու համար ստորև դիտարկենք դրանով որևէ 4SS հաշվարկի օրինակ, որը բերված է ուսումնասիրվող գրականության մեջ:

Որպես ելակետային տվյալներ հանդես են գալիս՝

- 4SS էլ. հզորությունը,
- տուրբինից առաջ ծխագագերի ջերմաստիճանը,
- կոմպրեսորի մուտքում օդի ջերմաստիճանը,
- կոմպրեսորում ճնշման բարձրացման աստիճանը,
- ճնշման կորուստի աստիճանը,
- այրման խցում ջերմության օգտագործման գործակիցը,
- տուրբինի մեխանիկական O44-ն
- գեներատորի էլ. O44-ն
- կոմպրեսորի իզոէնթրոպ Օ44-ն
- տուրբինի իզոէնթրոպ Օ44-ն
- արտահոսքերի գործակիցը

- Վառելիքի այրման ստորին բանվորական ջերմությունը Ելակետային ներմուծվող տվյալ է համարվում նաև մեկ կը գազի այրման համար անհրաժեշտ օդի նվազագույն քանակը՝ 15,5 կը:

Հաշվարկի կատարման հերթականությունը հետևյալն է՝

1. հաշվարկվում է օդի ջերմունակությունը՝  $c_p=R/m$  բանաձևով, որտեղ

$$R=0,287 \text{ կՋ/կգԿ}, \text{ իսկ } m=0,28, c_p=1,025:$$

Հաշվարկվում է կոմպրեսորի ելքում օդի ջերմաստիճանը՝

$$T_{b_1}=T_d(1+(\varepsilon^m-1)/\eta_q):$$

$$\text{Դիտարկվող օրինակի դեպքում՝ } T_{b_1}=407,98 \text{ } ^\circ C:$$

Կոմպրեսորի մուտքում և ելքում օդի էնթալփիաների համար օգտվում ենք չոր օդի և տրված վառելիքի համար բերված առյուսակից, որում տրված են օդի և վառելիքի իզոբար ջերմունակությունները և էնթալփիաները տարբեր ջերմաստիճանների դեպքում: Տվյալ օրինակի դեպքում՝

$$h_d = -10,03 \text{ կՋ/կգ},$$

$$h_{b_1}=394,7 \text{ կՋ/կգ}:$$

Հաշվարկվում է սեղմման պրոցեսի ընթացքում օդի իզոբար ջերմունակության միջին արժեքը՝  $C_{pd}=(h_{b_1}-h_d)/(t_{b_1}-t_d)=1,0299$  :

ճշգրտվում է  $m$ -ը՝  $m=R/C_{pd}=0,2787$  և  $T_{b_1}$ -ը՝  $T_{b_1}=405,36 \text{ } ^\circ C$ :

ճշգրտվում է  $h_{b_1}$ -ը՝  $h_{b_1}=h_{b_1}(405,36)-h_{b_1}(25)=416,98-25,08=391,9 \text{ կՋ/կգ}$  :

2. Հաշվարկվում է օդի ավելցուկի գործակիցը՝  $\alpha$ , որի համար նախապես հաշվարկվում է՝

$$h_{o\eta}=h_{o\eta}(1200)-h_{o\eta}(25)=1305 \text{ կՋ/կգ},$$

$$h_{\delta\eta}=h_{\delta\eta}(1200)-h_{\delta\eta}(25)=1452,78 \text{ կՋ/կգ},$$

$$\alpha=\frac{Q_u^F \eta_{\omega\eta} + L_0 h_{o\eta} + h_d - (1+L_0)h_{\delta\eta}}{L_0 (h_{o\eta} - h_{b_1})},$$

ընդունելով, որ  $h_d=0$ , կստանանք՝  $\alpha=2,9503$  :

3. Տուրբինից առաջ ծխագագերի էնթալփիան հաշվարկվում է հետևյալ բանաձևով՝

$$h_{\omega\omega}=\frac{1+L_0}{1+\alpha L_0} h_{\delta\eta} + \frac{(\alpha-1)L_0}{1+\alpha L_0} h_{o\eta}=1357,25 \text{ կՋ/կգ}:$$

4. Տուրբինում ընդարձակման պրոցեսի պարամետրերի որոշումը:

Տուրբինի ելքում գազերի ջերմաստիճանը որոշվում է՝

$$T_d=T_c(1-(1-\delta^{-m\alpha})\eta_{\omega})=560,24 \text{ } ^\circ C:$$

Տուրբինի ելքում ծխագագերի էնթալպիան հաշվարկելու համար, որոշվում են ըստ այսուսակի ծխագագերի և օդի էնթալպիաները ելքի ջերմաստիճանում՝

$$h_{o\eta} = h_{o\eta}(560,24) - h_{o\eta}(25) = 560,37 \text{ kJ/kg},$$

$$h_{\delta\eta} = h_{\delta\eta}(560,24) - h_{\delta\eta}(25) = 614,0,6 \text{ kJ/kg} :$$

Ծխագագերի էնթալպիան այս երկուսից հաշվարկվում է նույն բանաձևով, որով, որ հաշվարկվում է տուրբինի մուտքում էնթալպիան՝

$$h_d = 0,35355 h_{\delta\eta} + 0,64645,$$

$$h_{o\eta} = 579,35 :$$

Հաշվարկվում է տուրբինում ընդարձակման պրոցեսում ծխագագերի միջին իզոբար ջերմունակությունը՝

$$C_{pq} = (h_c - h_d) / (t_c - t_d) = 1,2159 \text{ kJ/(kg K)} :$$

Այրման արգասիքների մեջ օդի ծավալային պարունակությունը որոշվում է հետևյալ բանաձևով՝

$$r_{o\eta} = \frac{q(\alpha-1)}{1+q(\alpha-1)},$$

$$\text{որտեղ՝ } q = \frac{\mu_{\delta\eta}}{\mu_{o\eta}} \frac{L_o}{1+L_o} = 0,92747, \quad r_{o\eta} = 0,64398 :$$

Այրման արգասիքների մոլեկուլյար մասսան և գազային հաստատումը՝

$$\mu_q = \mu_{o\eta} r_{o\eta} + \mu_{\delta\eta} (1 - r_{o\eta}) = 28,69,$$

$$R_q = 8,314 / 28,69 = 0,2898 \text{ kJ/(kg K)},$$

$m_q$ -ի ճշգրտված արժեքը կլինի՝

$$m_q = R_q / C_{pq} = 0,2383 :$$

Ջերմաստիճանը տուրբինից հետո՝

$$T_d = 1473(1 - (1 - 15,2^{-0,2383})0,88) = 581,48 {}^{\circ}\text{C} :$$

Այդ ջերմաստիճանը կիրառում ենք որպես վերջնական և դրանով որոշում՝

$$h_{o\eta} = h_{o\eta}(581,48) - h_{o\eta}(25) = 583,95 \text{ kJ/kg},$$

$$h_{\delta\eta} = h_{\delta\eta}(581,48) - h_{\delta\eta}(25) = 640,29 \text{ kJ/kg} :$$

Այնուհետև ճշգրտվում է  $h_d$ -ի արժեքը՝

$$h_d = 0,35355 * 640,29 + 0,64645 * 583,95 = 603,87 \text{ կմ/կգ:}$$

5. 1 կգ գազի ընդարձակման աշխատանքը տուրբինում՝

$$H_t = h_c - h_d = 753,38 \text{ կմ/կգ:}$$

6. Կոմպրեսորում 1 կգ օդի սեղմնան վրա ծախսվող աշխատանքը՝

$$H_k = h_b - h_a = 401,93 \text{ կմ/կգ:}$$

7. ԳՏՏ աշխատանքը լիսերի վրա՝

$$H_t = H_u \eta_d - b H_k = 354,60 \text{ կմ/կգ,}$$

$$\text{որտեղ } b = \frac{\alpha L_0(1+\alpha_y)}{1+\alpha L_0} = 0,98279:$$

8. ԳՏ-ով ծխագագերի ծախսը՝  $G_{ut} = N_t / (H_u \eta_d) = 287,18 \text{ կգ/վ:}$

9. ԳՏՏ կոմպրեսորով սեղմնան օդի ծախսը՝  $G_k = b G_{ut} = 282,23 \text{ կգ/վ:}$

10. Վառելիքի ծախսը՝  $B = \frac{G_{ut}}{1+\alpha L_0} = 6,346 \text{ կգ/վ:}$

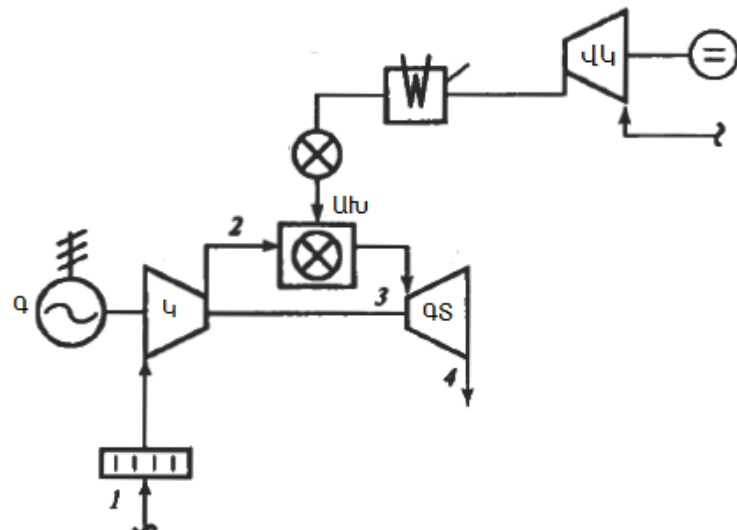
Նկարագրված մեթոդը կիրառելի չէ մեր առջև դրված խնդրի լուծման համար, քանի որ՝

- ԳՏՏ էլ. հզորությունը հանդիսանում է ելակետային տվյալ: Մեր առջև դրված խնդրի դեպքում ԳՏՏ հզորությունը անհայտ է, ուստի այն պետք է լինի հաշվարկային տվյալ, այլ ոչ ելակետային:
- ԳՏՏ մատուցվող օդի էնթալփիայի հաշվարկում հաշվի չի առնվում օդի մեջ պարունակվող խոնավությունը, որը մատուցվող օդի հովացման խոնավ համակարգի դեպքում խիստ անհրաժեշտ է, քանի որ երբ հաշվարկվում է հովացման համար պահանջվող ջրի քանակությունը անհրաժեշտ է իմանալ օդում մինչև խոնավացումը պարունակվող ջրի քանակությունը: Ինչպես նաև դա բերում է էնթալփիայի հաշվարկի սխալանքի: Երբ գործում է ԳՏՏ կոմպրեսոր մատուցվող օդի հովացման համակարգը, կոմպրեսորի մուտքում օդի հարաբերական խոնավությունը լինում է հավասար 100%-ի և խոնավության էնթալփիայի հաշվի չառնելը բերում է սխալանքի մեծացման:
- Օդի և ծխագագերի էնթալփիայի հաշվման այլուսակային տարրերակը բերում է որոշակի սխալանքի:
- 1 կգ գազի այրման համար անհրաժեշտ օդի նվազագույն քանակի այլուսակային արժեքը ևս բերում է որոշակի սխալանքի:

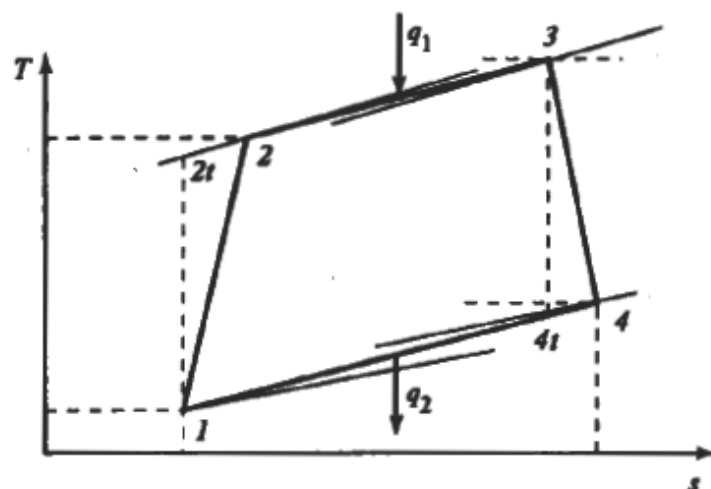
- Վառելիքի էնթալպիան ընդունվում է հավասար 0-ի, որը նույնականացնելու համար:

Գրականությունում բերված դիտարկվող հաջորդ հաշվարկի մեթոդիկայում առաջարկվում է ԳՏՏ տուրբինում գազերի ընդարձակման պրոցեսը բաժանել հատվածների, ըստ աստիճանների, որը բերում է հաշվարկի ճշտության մեծացման[84]: Սակայն այս մեթոդում ևս առկա են նախորդ երկու մեթոդներին հատուկ բերությունները: Նաև ժամանակակից ԳՏՏ արտադրողներից ոչ մեկը չի բացահայտում իր տեղակայանքի աստիճանների ճնշումները և հարաբերական ՕԳԳ-ները, և հայտնի են միայն նախնական և վերջնական պարամետրերը:

Դիտարկենք մեկ այլ մեթոդ, բերված գրականության մեջ [85]: Դիտարկենք Ակ.2.15-ում բերված ԳՏՏ աշխատանքային սխեմայի և T-s դիագրամում դրա թերմոդինամիկական ցիկլի, Աերկայաված Ակ.2.16-ում, բնութագրերը և դրանց վերլուծությունը:



2.15 Պարզ ԳՏՏ աշխատանքային սխեմա



## 2.16. Պարզ ԳՏՏ թերմոդինամիկական ցիկլ T-S դիագրամում

Կոմպրեսորում օդի ճնշման բարձրացման աստիճանը և տուրբինում ծխագագերի ճնշման իջեցման աստիճանները համապատասխանաբար նշանակվում են՝

$$\pi_k = P_{k_h}/P_{k_w}, \quad (2.26)$$

$$\pi_{qS} = P_{q_w}/P_{q_h}, \quad (2.27)$$

որտեղ համապատասխանաբար  $P_{k_h}$ -ն և  $P_{k_w}$ -ն կոմպրեսորից հետո և առաջ օդի ճնշումներն են, իսկ  $P_{q_w}$ -ն և  $P_{q_h}$ -ն՝ տուրբինից առաջ և հետո գագերի ճնշումները:

Այրման կամերայում օդի ճնշման փոքր անկումը պայմանվորված “կոմպրեսորգագային տուրբին” տրակտի աէրոդինամիկական կորուստներով գնահատվում է հետևյալ գործակցով՝

$$\lambda_1 = P_{q_w}/P_{k_h}; \quad (2.28)$$

Իսկ  $\lambda_2$  գործակցով գնահատվում են կոմպրեսոր օդի մատուցման համակարգի և տուրբինի ելքում տեղի ունեցող հիդրավլիկական կորուստները:

Տուրբինում աշխատող մարմնի ընդարձակման տեսակարար աշխատանքը հաշվարկվում է հետևյալ բանաձևով՝

$$H_{qS} = C_{pq}(T_{q_w} - T_{q_h}), \quad (2.29)$$

որտեղ  $T_{q_w}$ -ն և  $T_{q_h}$  -ն համապատասխանաբար տուրբինից առաջ և հետո գագերի ջերմաստիճաններն են: Յետևաբար, տուրբինի ՕԳԳ-ի համար կարելի է գրել՝

$$\eta_{qS} = H_{qS}/H_{qS0}, \quad (2.30)$$

որտեղ  $H_{qS0}$ -ն ծխագագերի ընդարձակման տեսական աշխատանքն է տուրբինում:

Նմանապես հաշվարկվում է նաև կոմպրեսորում օդի սեղմնան տեսակարար աշխատանքը, հաշվի առնելով դրա ՕԳԳ-ը՝

$$H_k = C_{pq}(T_{k_h} - T_{k_w}), \quad (2.31)$$

$$\eta_k = H_{k0}/H_k, \quad (2.32)$$

որտեղ  $T_{k_h}$  -ն և  $T_{k_w}$ -ն համապատասխանաբար կոմպրեսորից հետո և առաջ օդի ջերմաստիճաններն են, իսկ  $H_{k0}$ -ն կոմպրեսորում օդի սեղմնան տեսական աշխատանքն է:

Եներգետիկական ԳՏՏ-ում գեներատորի պտտման համար օգտագործվող տեսական օգտակար աշխատանքը տրվում է հետևյալ բանաձևով՝

$$H_{qSS} = \frac{G_q H_{qS} - G_u H_u}{G_u} = (1+g_u) H_{qS} - H_u \frac{\eta q}{q}, \quad (2.33)$$

որտեղ  $G_u$ -ն օդի զանգվածն է կոմպրեսորի մուտքում,  $G_q$ -ն գազերի զանգվածն է տուրբինի մուտքում, իսկ  $g_u = B_{qS}/G_u$ -ն վառելիքի հարաբերական ծախսն է  $\eta q/\eta q$ :

ԳՏՏ տուրբինի և կոմպրեսորի ներքին հզորությունները հաշվարկվում են հետևյալ բանաձևերով՝

$$N_{qS} = G_q H_{qS}, \quad (2.34)$$

$$N_u = G_u H_u, \quad (2.35)$$

Յաշվարկմերի համար կոմպրեսորում սեղմնան աշխատանքի համար օգտագործվում է հետևյալ բանաձևը՝

$$H_u = T_{on} C_p (\pi_u^{R_{on}/C_{pm}} - 1), \quad (2.36)$$

որտեղ  $T_{on}$ -ն կոմպրեսորի մուտքում օդի ջերմաստիճանն է,  $C_p$ -ն և  $C_{pm}$ -ն օդի ջերմունակությունը և  $T_{on}$ -ից  $T_{uh}$  միջակայքում միջին լոգարիթմական ջերմունակությունների միջին թվաբանական արժեքներն են համապատասխանաբար,  $\pi_u$ -ն կոմպրեսորում ճնշման բարձրացման աստիճանն է,  $R_{on}$ -ն օդի գազային հաստատունն է:

Սեղմումից հետո օդի ջերմաստիճանի հաշվարկման համար օգտագործվում է հետևյալ բանաձևը՝

$$T_{uh} = T_{uw} \left( 1 + \frac{\pi_u^{R_{on}/C_{pm}} - 1}{\eta_u} \right); \quad (2.37)$$

Կոմպրեսորից հետո օդի ճնշումը կարելի է հաշվել օգտագործելով կոմպրեսորում ճնշման բարձրացման աստիճանը՝

$$P_{uh} = P_{uw} \pi_u; \quad (2.38)$$

Այրման խցիկով օդի ծախսը հավասար է կոմպրեսորում օդի ծախսից հանած ԳՏՏ հովացման համար օգտագործվող օդի առումների ծախսերը և կոմպրեսորի արտաքին քիչացումներով օդի արտահոսքերի ծախսը՝

$$G_{uh} = G_u - (G_{wru} + G_{hru}); \quad (2.39)$$

Քիչացումներով տեղի ունեցող արտահոսքը՝  $G_{wru}$  կազմում է  $(0,003-0,005)G_u$ :

Կոմպրեսորից հետո սեղմված օդի էնթալպիան հաշվարկվում է օդի և գազերի ջերմաֆիզիկական հատկությունների աղյուսակի միջոցով, վերցնելով գազի կազմը ամբողջությամբ հավասար օդի և 28,97 մոլեկուլյար մասայով: Յաջորդ քայլով

կատարվում է այրման խցիկի ջերմային հաշվարկ, որի նպատակն է հաշվարկել վառելիքի ծախսը, տուրբինից առաջ գազերի էնթալփիան և օդի ավելցուկի գործակիցը:

$$G_{\text{ան}}h_{\text{կ}}+B_{\text{ԳՏ}}(Q_u^F\eta_{\text{ան}}+h_{\text{պ}})=G_{\text{տա}}h_{\text{տա}}, \quad (2.40)$$

որտեղ  $G_{\text{ան}}$  և  $G_{\text{տա}}$ -ն համապատասխանաբար կոմպրեսորից հետո օդի և տուրբին մատուցվող գազերի ծախսերն են,  $\eta_{\text{պ}}$ ,  $B_{\text{ԳՏ}}$  -ն վառելիքի ծախսն է,  $\eta_{\text{պ}}$ ,  $-n$  այրման խցիկի ջերմության օգտագործման գործակիցն է,  $h_{\text{կ}}$ ,  $h_{\text{պ}}$ ,  $h_{\text{տա}}$ -ն համապատասխանաբար սեղմված օդի, վառելիքի և տուրբինի մուտքում գազերի էնթալփիաներն են,  $\eta_{\text{ան}}$ -ն վառելիքի այրման ամբողջականության գործակիցն է:

1 Կզ վառելիքի նկատմամբ ջերմային հաշվեկշիռը կլինի՝

$$\alpha_{\text{ան}}L_0h_{\text{կ}}+1(Q_u^F\eta_{\text{ան}}+h_{\text{պ}})=(1+\alpha_{\text{ան}}L_0)h_{\text{տա}}: \quad (2.41)$$

Այս հավասարումը լուծվում է հաջորդական մոտեցումների մեթոդով, դրա համար այսուսակներով հաշվարկվում է տուրբինից առաջ գազերի էնթալփիան և օդի ավելցուկի գործակիցը: Վառելիքի ծախսի համար օգտագործվում է՝

$$B_{\text{ԳՏ}}=\frac{G_{\text{ան}}(h_{\text{տա}}-h_{\text{կ}})}{Q_u^F\eta_{\text{ան}}+h_{\text{պ}}-h_{\text{տա}}}: \quad (2.42)$$

Յաշվարկի հաջորդ էտապում հաշվարկվում է տուրբին մտնող գազերի ճնշումը՝

$$P_{\text{տա}}=P_{\text{օդ}}\pi_k(1-\zeta_{\text{ելք}})(1-\zeta_{\text{ս-Տ}})=P_{\text{կ}}(1-\zeta_{\text{ս-ԳՏ}}), \quad (2.43)$$

որտեղ  $\zeta_{\text{ելք}}$ -ը ԳՏՏ ելքային տրակտի հիդրավլիկական կորուստների գործակիցն է  $\zeta_{\text{ս-Տ}}$ -ն՝ “կոմպրեսոր-այրման խուց-տուրբինի մուտք” հատվածի:

Այս մեթոդով ԳՏՏ-ի հզորությունը գեներատորի ելքում հզորության տեսքով հաշվարկվում է հետևյալ բանաձևով՝

$$N_g^E=(N_{\text{ս-ԳՏ}}\eta_{\text{ս-ԳՏ}}-N_i/\eta_{\text{ս-Տ}})\eta_{\text{ելք}}, \quad (2.44)$$

որտեղ  $\eta_{\text{ս-ԳՏ}}$ -ն,  $\eta_{\text{ս-Տ}}$ -ն և  $\eta_{\text{ելք}}$ -ն համապատասխանաբար տուրբինի և կոմպրեսորի մեխանիկական և գեներատորի էլեկտրական ՕԳԳ-ներն են:

Այս մեթոդի հիմնական թերություններն են՝

- աշխատող մարմինների էնթալփիաների այսուսակային հաշվարկ, որը բերում է սխալանքի
- օդի ավելցուկի գործակցի հաշվարկի այսուսակային մեթոդ
- այրման խցիկի ջերմային հաշվեկշիռի բանաձևում հաշվի չեն առնված դեպի շրջակա միջավայր տեղի ունեցող ջերմային կորուստները:

- ԳՏՏ մատուցվող օդի էնթալփիայի հաշվարկում հաշվի չի առնվում օդի մեջ պարունակվող խոնավությունը

Գրականության մեջ նաև մանրամասն քննարկվում է ԳՏՏ ոչ հաշվարկային ռեժիմների հաշվարկի մեթոդիկան [83-85]: Սակայն մեր խնդրի դրվածքի դեպքում տեղի է ունենում նախնական պարամետրերի փոփոխություն ԳՏՏ բազային ռեժիմի դեպքում:

Վերոնշյալ թերությունների պատճառով նկարագրված մեթոդները ցանկալի չեն կիրառել մեր առջև դրված խնդրի լուծման համար: Այդ մեթոդներից որևէ մեկի կիրառությունը կհանգեցնի հովացման համակարգի արդյունավետության թերագնահատման կամ գերազահատման: Ուստի նպատակահարմար է մշակել մի մեթոդ, որը գերծ կլինի նշված թերություններից: Այդ մեթոդով պետք է հնարավոր լինի հաշվարկել այրման խցիկի ջերմային հաշվարկը ելնելով միայն մեկ հաստատում պարամետրից՝ այրման ջերմաստիճանից, քանի որ դա ցանկացած տուրբինի դեպքում ունի իրեն հատուկ հաստատում արժեք, որը ամենաօպտիմալ է, և ԳՏՏ-ն կարգավորվում է այնպես, որ այդ արժեքը չփոփոխվի: Այդ կարգավորումը տեղի է ունենում օդի և վառելիքի հարաբերակցության կարգավորմամբ:

Ստորև բերված աղյուսակում ընդհանրացված ձևով ներկայացված է ուսումնասիրված գրականության դրական և բացասական կողմերը:

### Աղյուսակ 2.3

ԳՏՏ ջերմային հաշվարկի ուսումնասիրված մեթոդների առավելություններ և թերություններ

Գրականության անվանում	Դրական կողմեր	Բացասական կողմեր
Gas Turbine Handbook - Principles and Practices 3rd edition (Tony Giampaolo)		
Gas Turbine Engineering Handbook (Meherwan P. Boyce)	Տրված է ԳՏՏ տեսական և իրական ցիկլերի բնութագրից պարամետրերի և ցուցանիշների համապարփակ նկարագրություն և հաշվարկային բանաձևեր	Չեն պարունակում ԳՏՏ ջերմային ցիկլի իրական հաշվարկի կետ առ կետ նկարագրված մեթոդներ
ADVANCED GAS TURBINE CYCLES (J. H. Horlock)		

### Այլուսակ 2.3-ի շարունակություն

Գրականության անվանում	Դրական կողմեր	Բացասական կողմեր
Պаровые и газовые турбины (Шляхин П.Н.)	Առաջարկվում է ԳՏՏ տուրբինում գազերի ընդարձակման պրոցեսի ավելի ճշգրիտ հաշվարկ, բաժանելով պրոցեսըստուրբինի աստիճանների	ԳՏՏ արտադրողները չեն բացայտում տուրբինի աստիճանների ճնշումները
Газотурбинные установки (Трухний А.Д.)	Հանդիսանում է ԳՏՏ ջերմային հաշվարկի քայլ առ քայլ նկարագրված մերոդ	<ul style="list-style-type: none"> <li>• ԳՏՏ աշխատող մարմինների էնթալպիաները հաշվարկվում են այլուսակային մեթոդով</li> <li>• ԳՏՏ կոմպրեսոր մերձծվող օդի խոնավապարունակությունը նը հաշվի չի առնվազն</li> <li>• ԳՏՏ այրման խցիկում հաշվի չեն առնվազն դեպի շրջակա միջավայր տեղի ունեցող ջերմային կորուստները</li> <li>• Անդրադարձ չկա ԳՏՏ կոմպրեսորի ճնշման բարձրացման աստիճանի մերձծվող օդի ջերմաստիճանից կախվածությանը</li> </ul>
Газотурбинные и парогазовые установки тепловых электростанций (ЦаневС.В.)	<ul style="list-style-type: none"> <li>• Մանրամասն նկարագրված է ԳՏՏ այրման խցիկի ջերմային հաշվարկը</li> <li>• Նշված է այրման ջերմաստիճանի հաստատում լինելու փաստը</li> </ul>	

Ընդհանուր առմամբ այն մերոդը, որը մշակվել է հաջորդ գլխի շրջանակներում, իրենից ներկայացնում է նկարագրված մերոդների մի ամբողջություն, որում սակայն կատարվել են շտկումներ վերացնելու համար վերևում նշված թերությունները:

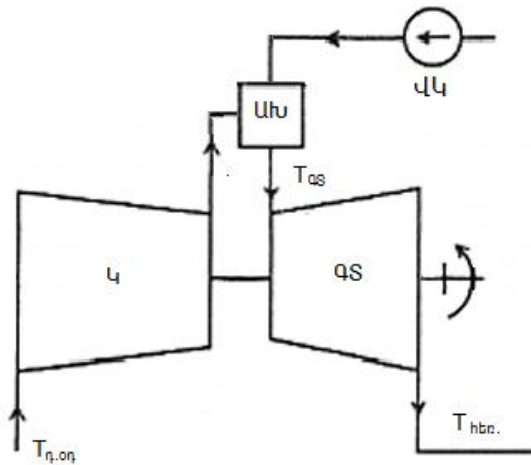
Նաև հարկ է նշել, որ ԳՏՏ կոմպրեսոր մերձծվող օդի ջերմաստիճանը ազդեցություն է բողնում կոմպրեսորում ճնշման բարձրացման աստիճանի վրա, որը դիտարկված չէ ուսումնասիրված մերոդների և կամ գրականության մեջ, ուստի այս խնդրին նույնական տրվել է լիարժեք լուծում հաջորդ գլուխներում: Այդ ազդեցությունը

ավելի ակնառու դարձնելու և ուսումնասիրելու համար, հաջորդ գլխում կատարվել են հաշվարկմեր՝ կոմպրեսորում ճնշման բարձրացման աստիճանի տարրեր արժեքների դեպքում:

### **3. ԳԱԶԱՏՈՒՐԲԻՆԱՅԻՆ ՏԵՂԱԿԱՅԱՎԱԾԱՔՆԵՐԻ ԷՆԵՐԳԵՏԻԿԱԿԱՍ ՑՈՒՑԱՆԿԱՅԻ ՄԻՋԱՎԱՅՐԻ ՊԱՅՄԱՆՆԵՐԻՑ**

#### **3.1 ԳՏՏ-ի ԷՆԵՐԳԵՏԻԿԱԿԱՅԱՆ ցուցանիշների հաշվարկի մեթոդովիկայի մշակում**

ԳՏՏ-ի ջերմային հաշվարկը կատարելու համար մշակվել է համապատասխան մեթոդիկա, որի արդյունքում հաշվարկվում են ԳՏՏ աշխատանքը բնութագրող այնպիսի էներգետիկական ցուցանիշներ, որոնց միջոցով հնարավոր է հաշվի առնել շրջակա միջավայրի պայմանների փոփոխությունները ԳՏՏ-ի աշխատանքային ցուցանիշների վրա հաշվարկայինների համեմատ: Մեթոդը հնարավորություն է տալիս վերլուծել ԳՏՏ-ի աշխատանքային ռեժիմները կախված ԳՏՏ տեղակայման վայրի եղանակային պայմաններից: Մշակված մեթոդի հիման վրա հաշվարկային ալգորիթմը իրականացվել է VisualBasic 10.0 միջավայրում [Հավելված 1]: Այն հնարավորություն է տալիս ընտրել ԳՏՏ-ի հիմնական սարքավորումները բնութագրող ցուցանիշները և այրման ջերմաստիճանը այրման խցում: Հաշվարկների ճշտությունը մեծացնելու նպատակով ցիկլի աշխատող մարմնի էնթալպիաները և էնտրոպիաները կամ դրանց հայտնի լինելու դեպքում հակադարձ ֆունկցիների միջոցով ճնշումը և ջերմաստիճանը հաշվարկվում են OKAWSP.dll ֆունկցիաների գրադարանի միջոցով: Հաշվարկների հիմքում ընկած է նկ.3.1.-ում բերված ԳՏՏ պարզ ցիկլը:



Նկ. 3.1. Պարզ ԳՏՏ-ի սխեմա

Հաշվարկների արդյունք են հանդիսանում ԳՏՏ-ի հետևյալ էներգետիկական ցուցանիշները՝

- կոմպրեսորի ներքին հզորությունը բերված 1 կգ/վ վառելիքի ծախսի,
- գազատուրբինի ներքին հզորությունը բերված 1 կգ/վ վառելիքի ծախսի,
- վառելիքային կոմպրեսորի ներքին հզորությունը բերված 1 կգ/վ վառելիքի ծախսի,
- ԳՏՏ-ի ներին օգտակար հզորությունը բերված 1 կգ/վ վառելիքի ծախսի, որը հաշվի չի առնում մեխանիկական կորուստները,
- ԳՏՏ-ի ՕԳԳ-ն,
- ԳՏՏ-ի հզորությունը բերված կոմպրեսորում 1 կգ/վ օդի ծախսի:

Հաշվարկի ելակետային պարամետրերն են՝

- դրսի օդի ջերմաստիճան՝  $t_{ηօ}$   $^{\circ}C$ ,
- դրսի օդի ճնշում՝  $P_{ηօ}$  մթ՛,
- դրսի օդի հարաբերական խոնավություն՝  $\varphi_{ηօ}$ , %,
- վառելիքի այրման ստորին բանվորական ջերմություն՝  $Q_u^p$ , կՋ/կգ,
- մատուցվող վառելիքի ճնշում՝  $P_{վառ}$ , ՄՊա,
- մատուցվող վառելիքի ջերմաստիճան՝  $t_{վառ}$ ,  $^{\circ}C$ ,
- վառելիքի ավելցուկային ճնշում այրման խցից առաջ՝  $\Delta P_{ա/հ}$ , ՄՊա,
- կոմպրեսորում ճնշման բարձրացման աստիճան՝  $\pi_k$ ,

- տուրբինից առաջ ծխագագերի ջերմաստիճան՝  $t_{qs_w}$ , °C,
- կոմպրեսորի իզոէնտրոպ ՕԳԳ՝  $\eta_{\text{q}}$ , %,
- գազատուրբինի ներքին հարաբերական ՕԳԳ՝  $\eta_{qs}$ , %,
- վառելիքային կոմպրեսորի իզոէնտրոպ ՕԳԳ՝  $\eta_{q4}$ , %,
- այրման խցի ՕԳԳ՝  $\eta_{sh}$ , %,
- ճնշման անկում այրման խցում՝  $\delta P_{w_h}$ , %,
- ճնշման անկում գազային տուրբինում՝  $\delta P_{q_u}$ , %:

Տվյալների ներմուծումից հետո մեթոդիկայի հաշվարկների հերթականությունը հետևյալն է՝

1. շրջակա միջավայրի օդի հատկությունների հաշվարկ
2. այրման արգասիքների պարամետրերի որոշում
3. կոմպրեսորի հաշվարկ
4. վառելիքային կոմպրեսորի հաշվարկ
5. այրման խցիկի հաշվարկ
6. հաշվեկշռի ստուգում
7. ԳՏ-ի հաշվարկ
8. ԳՏՏ-ի էներգետիկական ցուցանիշների հաշվարկ

Հաշվարկների արդյունքում հնարավոր է կառուցել ԳՏՏ իրական ցիկլը I-S և T-S դիագրամների վրա:

### **1. Շրջակա միջավայրի օդի հատկությունների հաշվարկ**

Այս հաշվարկը նպատակ ունի գտնել ԳՏՏ աշխատանքային ցիկլի առաջին կետի պարամետրերը:

1.1 Նախ հաշվարկվում է նբնուրատային օդում գտնվող ջրային գոլորշիների սահմանային ճնշումը՝  $P_{u_{np}}$ , *Պա.* Եթե շրջակա միջավայրի ջերմաստիճանը բարձր է 273,15 Կից, ապա ջրի սահմանային ճնշումը հավասար է այդ ջերմաստիճանի դեպքում հագեցման ճնշմանը: Քանի որ մեր առջև դրված խնդրի շրջանակներում ուսումնասիրվում են միայն 273,15 Կից ավել ջերմաստիճաններ, ուստի մյուս դեպքը չի քննարկվում:

1.2 Հաշվարկվում է օդի զանգվածային խոնավապարունակությունը,  $\dot{q}/\dot{q}'$

$$d_{\eta o} = \frac{M_{H_2O}}{M_{o\eta}} \cdot \frac{\varphi_{\eta o} P_{u,\eta o}}{P_{\eta o} - \varphi_{\eta o} P_{u,\eta o}}, \quad (3.1)$$

որտեղ  $M_{H_2O}$ -ն և  $M_{o\eta}$ -ը համապատասխանաբար ջրի և չոր օդի մոլյար զանգվածներն են,  $\varphi_{\eta o}$ -ն օդի հարաբերական խոնավությունն է ( $M_{H_2O}=18,0152 \text{ g/mol}$ ,  $M_{o\eta}=28,159 \text{ g/mol}$ ):

Օդի զանգվածային խոնավապարունակությունը, ինչպես նշվել է առաջին գլխում կիրառվում է խոնավ հովացման համակարգի կիրառմամբ կոմպրեսոր մատուցվող օդի հովացման համար անհրաժեշտ ջրի քանակությունը հաշվարկելու համար, որն էլ իր հերթին օգտագործվում է հովացման պոմագերի հզորության հաշվարկի մեջ:

1.3 Հաշվարկվում է խոնավության զանգվածային և մոլային պարունակությունները օդում համապատասխանաբար, %-ով՝

$$X_{1,\eta o} = \frac{d_{\eta o}}{1+d_{\eta o}}, \quad (3.2)$$

$$X_{\eta o} = \frac{M_{o\eta}}{M_{H_2O}} d_{\eta o}, \quad (3.3)$$

որտեղ  $M_{\eta o}$ -ն կոմպրեսոր մատուցվող օդի մոլյար զանգվածն է:

1.4 Այս հաշվարկի վերջում հաշվարկվում է խոնավ օդի էնթալփիան և էնտրոպիան ( $h_{\eta o\eta}$ ,  $S_{\eta o\eta}$ ), ըստ կազմի: Շրջակա միջավայրի օդի կազմը ըստ ծավալի կազմված է մեկ ամբողջ մաս չոր օդից և դրան ավելացրած  $X_{\eta o}$  % ջրային գոլորշի:

## 2. Այրման արգասիքների պարամետրերի որոշում

Այս հաշվարկի նպատակը 1կգ վառելիքի այրման համար տեսականորեն անհրաժեշտ օդի զանգվածի և այրման արգասիքների էնթալփիայի և էնտրոպիայի որոշումն է:

2.1 Իրականացվում է նորմալ պայմաններում 1  $\text{m}^3$  վառելիքի լոիվ այրման համար տեսականորեն անհրաժեշտ չոր օդի քանակության հաշվարկը,  $\text{m}^3/\text{kg}$ :

$$V_{o,w} = \frac{1}{X_{O_2,o} - 0.5 X_{H_2,o}} 2X_{CH_4}, \quad (3.4)$$

որտեղ  $X_{O_2,o}$ -ն և  $X_{H_2,o}$ -ն թթվածնի և ջրածնի բաժիններն են չոր օդում և հավասար են՝

$$X_{O_2,o} = 20,99\%, X_{H_2,o} = 0,01\%,$$

$X_{CH_4}$ -ը  $CH_4$ -ի բաժինն է վառելիքում, որը հաշվարկների պարզության համար ընդունվում է հավասար մեկի ( $X_{CH_4}=1$ )

Սակայն վառելիքի ստորին բանվորական ջերմությունը վերցվում է ոչ թե մեթանի համար, այլ տվյալ ԳՏՏ-ում այրվող գազի ստորին բանվորական ջերմությունը:

2.2 Յաջորդ քայլով հաշվարկվում է 1  $\text{m}^3$  վառելիքի այրման հետևանքով առաջացած գազերի քանակությունները ըստ բաղադրիչների՝

ազոտի համար՝

$$V_{o\_N2\_w} = X_{N2\_o} V_{o\_w}, \text{ } \text{m}^3/\text{m}^3, \quad (3.5)$$

որտեղ  $X_{N2\_o}$ -ը ազոտի պարունակությունն է չոր օդում՝ 78,03 %,

ջրային գոլորշիների համար՝

$$V_{o\_H2O\_w} = X_{H2\_o} V_{o\_w} + 2X_{CH_4}, \text{ } \text{m}^3/\text{m}^3, \quad (3.6)$$

որտեղ  $X_{H2\_o}$ -ը  $H_2O$ -ի պարունակությունն է չոր օդում՝ 0,01 %,

ածխաթթու գազի համար՝

$$V_{o\_CO2\_w} = X_{CO2\_o} V_{o\_w} + X_{CH_4}, \text{ } \text{m}^3/\text{m}^3, \quad (3.7)$$

որտեղ  $X_{CO2\_o}$ -ը  $CO_2$ -ի պարունակությունն է չոր օդում՝ 0,003 %,

արգոն գազի համար՝

$$V_{o\_Ar\_w} = X_{Ar\_o} V_{o\_w}, \text{ } \text{m}^3/\text{m}^3, \quad (3.8)$$

որտեղ  $X_{Ar\_o}$ -ն արգոնի պարունակությունն է չոր օդում՝ 0,94 %:

2.3 Յաշվարկվում է 1 կգ վառելիքի այրման համար տեսականորեն անհրաժեշտ օդի զանգվածը՝

$$L_o = V_{o\_w} \frac{M_{o\eta}}{M_{\eta w}}, \text{ } \text{կգ/կգ}, \quad (3.9)$$

որտեղ  $M_{o\eta}$ -ն և  $M_{\eta w}$ -ն օդի և վառելիքի մոլյար զանգվածներն են և համապատասխանաբար հավասար են՝ 28,964  $\text{g}/\text{մոլ}$  և 16,0426  $\text{g}/\text{մոլ}$ :

2.4 Յաշվարկվում է այրման արգասիքների գումարային էնթալպիան ( $h_{o\_ww}$ ) ԳՏ-ից առաջ նշված ջերմաստիճանի դեպքում: Այրման արգասիքների կազմը՝

### 3.Կոմպրեսորի հաշվարկ

Կոմպրեսորի հաշվարկի նպատակը կոմպրեսորում իրական ջերմանկման և կոմպրեսորի ելքում աշխատող մարմնի պարամետրերի որոշումն է:

3.1 Նախ հաշվարկվում է կոմպրեսորից առաջ օդի էնտրոպիան, ըստ առաջին կետում որոշված կազմի՝

$$S_{\text{լա}}, \text{կԶ}/(\text{կգ}^{\circ}\text{C}):$$

3.2 Օդի ճնշումը կոմպրեսորից հետո հավասար է կոմպրեսորից առաջ օդի ճնշման և նրանում ճնշման բարձրացման աստիճանի արտադրյալին՝

$$P_{\text{լհ}} = P_{\text{լա}} * \pi_{\text{լ}}, \text{ՄՊա:} \quad (3.10)$$

3.3 Հաշվարկվում է օդի ջերմաստիճանը և էնթալպիան իզոէնտրոպ սեղմումից հետո՝  $t_{\text{լհ}}^0, {}^{\circ}\text{C}, h_{\text{լհ}}^0, \text{կԶ}/\text{կգ}$ :

3.4 Ունենալով կոմպրեսորից առաջ և հետո օդի էնթալպիաները հաշվարկվում է կոմպրեսորում իզոէնտրոպ սեղմնան դեպքում ջերմանկումը՝

$$\Delta h_{\text{լ}}^0 = h_{\text{լհ}}^0 - h_{\text{րօ}}, \text{կԶ}/\text{կգ:} \quad (3.11)$$

3.5 Կոմպրեսորում իրական սեղմնան ջերմանկումը հավասար է իզոէնտրոպ սեղմնան ջերմանկման և կոմպրեսորի իզոէնտրոպ ՕԳԳ-ի հարաբերությանը՝

$$\Delta h_{\text{լ}} = \frac{\Delta h_{\text{լ}}^0}{\eta_{\text{լ}}}, \text{կԶ}/\text{կգ:} \quad (3.12)$$

3.6 Սեղմված օդի իրական էնթալպիան հավասար է կոմպրեսորի մուտքում օդի էնթալպիայի կոմպրեսորում իրական ջերմանկման գումարին՝

$$h_{\text{լհ}} = h_{\text{րօ}} + \Delta h_{\text{լ}}, \text{կԶ}/\text{կգ:} \quad (3.13)$$

3.7 Օգտագործելով տրված էնթալպիայի և էնտրոպիայի դեպքում OKAWSP.dll ֆունկցիաների գրադարանի հակադարձ ֆունկցիաները հաշվարկվում է օդի ջերմաստիճանը և էնտրոպիան իրական սեղմումից հետո՝  $t_{\text{լհ}}^0, {}^{\circ}\text{C}, S_{\text{լհ}}, \text{կԶ}/(\text{կգ}^{\circ}\text{C})$ :

#### 4. Վառելիքային կոմպրեսորի հաշվարկ

Վառելիքային կոմպրեսորի հաշվարկի նպատակը դրանում վառելիքի իրական ջերմանկման և ելքում վառելիքի պարամետրորի որոշումն է։ Այս հաշվարկը նման է օդի կոմպրեսորի հաշվարկին։

4.1 Նախ հաշվարկվում է վառելիքի էնթալպիան և էնտրոպիան կոմպրեսորից առաջ ըստ մատուցվող վառելիքի ճնշման և ջերմաստիճանի ( $P_{\text{լա}}, t_{\text{լա}}$ )՝

$$h_{\text{լլա}}, \text{կԶ}/\text{կգ}, S_{\text{լլա}}, \text{կԶ}/(\text{կգ}^{\circ}\text{C}):$$

Մեթանի էնթալպիայի և էնտրոպիայի ջերմաստիճանից և ճնշումից կախվածության հաշվարկման բանաձևերի ելակետային տվյալներն են՝ Յաշվարկների բազային ճնշում և ջերմաստիճան՝

$$P_{0\_CH_4}=101325 \text{ Pa}, \quad (3.14)$$

$$T_{0\_CH_4}=100 K, \quad (3.15)$$

$$M_{CH_4}=M_{\text{պար}}=16,0426 \text{ g/mol}: \quad (3.16)$$

Տեսակարար գազային հաստատումը հավասար կլինի՝

$$R_{CH_4}=\frac{8.31451}{M_{CH_4}}=518,277 \text{ J/(kgK)}: \quad (3.17)$$

Բազային ջերմաստիճանի դեպքում տեսակարար էնտրոպիան և էնթալպիան համապատասխանաբար հավասար են՝

$$S_{0\_CH_4}=17.9779 * R_{CH_4}=9317,531 \text{ J/(kgK)}, \quad (3.18)$$

$$H_{0\_CH_4}=3,9823 * R_{CH_4} * T_{0\_CH_4}=206,393 * 10^3 \text{ J/(kgK)}: \quad (3.19)$$

Յավասարումների գործակիցներն են՝

$$B_{CH_4}=\begin{pmatrix} 0 \\ -209,233731 \\ 206,925203 \\ -135,704831 \\ 56,4368924 \\ -13,4496111 \\ 1,39664152 \end{pmatrix} \quad (3.20)$$

$$a_{CH_4}=\begin{pmatrix} 146,696186 * 10^0 \\ -65,6744186 * 10^0 \\ 20,2698132 * 10^0 \\ -4,20931845 * 10^0 \\ 0,606743008 * 10^0 \\ -0,612623969 * 10^{-1} \\ 0,430969226 * 10^{-2} \\ -0,206597572 * 10^{-3} \\ 0,642615810 * 10^{-5} \\ -0,116805630 * 10^{-6} \\ 0,94095893 * 10^{-9} \end{pmatrix} \quad (3.21)$$

Յաշվարկային բանաձևերն են՝

տեսակարար իզոբար ջերմունակության համար՝

$$c_{p_0 \text{CH}_4 t}(T) = R_{\text{CH}_4}^* R_{\text{CH}_4}, \quad (3.22)$$

որտեղ՝

$$R_{\text{CH}_4} = \sum_{i=0}^{10} (a_{\text{CH}_4 i} * T R^i) + \sum_{i=1}^6 (b_{\text{CH}_4 i-1} * \left(\frac{1}{TR}\right)^i), \quad (3.23)$$

որտեղ՝

$$TR = \frac{T}{T_{0 \text{CH}_4}}, \quad (3.24)$$

տեսակարար էնթալպիայի համար՝

$$h_{0 \text{CH}_4 t}(T) = \int_{T_{0 \text{CH}_4}}^T c_{p_0 \text{CH}_4 t}(t) dt + h_{0 \text{CH}_4}, \quad (3.25)$$

տեսակարար էնտրոպիայի համար՝

$$s_{0 \text{CH}_4 t}(T) = \int_{T_{0 \text{CH}_4}}^T \frac{c_{p_0 \text{CH}_4 t}(t)}{t} dt + s_{0 \text{CH}_4}, \quad (3.26)$$

$$s_{0 \text{CH}_4 t}(P, T) = s_{0 \text{CH}_4 t}(T) - R_{\text{CH}_4} * \ln\left(\frac{P}{P_{0 \text{CH}_4}}\right); \quad (3.27)$$

Յակադարձ ֆունկցիաներն են՝

Զերմաստիճանը, որպես ֆունկցիա տեսակարար էնթալպիայից՝

$$t_{\text{CH}_4 h0}(h0) = \begin{cases} t \leftarrow 298,15 \text{ կ} \\ root(h_{0 \text{CH}_4 t}(t) - h0, t) \end{cases} \quad (3.28)$$

Զերմաստիճանը, որպես ֆունկցիա տեսակարար էնտրոպիայից՝

$$t_{\text{CH}_4 s0}(s0) = \begin{cases} t \leftarrow 298,15 \text{ կ} \\ root(s_{0 \text{CH}_4 t}(t) - s0, t) \end{cases} \quad (3.29)$$

$$t_{\text{CH}_4 h0}(h0) = \begin{cases} t \leftarrow 298,15 \text{ կ} \\ root(s_{0 \text{CH}_4 p_t}(p, t) - s0, t) \end{cases} \quad (3.30)$$

Այստեղ օգտագործված root ֆունկցիան օգտագործում է փակագծի վերևում նշված արժեքը, որպես կոահիում առաջին մոտեցմանը, և հատող գծերի մեթոդի, կամ Մյուլլերի մեթոդով գտնում է իրական որոնվող արժեքը: Այս բոլոր ֆունկցիաները օգտագործվում են նաև MathCad մաթեմատիկական ծրագրի միջոցով, որի աշխատանքային էջը բերված է հավելված 2-ում [86,87]:

4.2 Վառելիքային կոմպրեսորից հետո վառելիքի ճնշումը և զերմաստիճանը համապատասխանաբար հավասար են՝

$$P_{\text{լայ}}^0 = P_{\text{լայ}} + \Delta P_{\text{ալայ}}, \text{ՄՊա}, \quad (3.31)$$

$$t_{\text{լայ}}^0, {}^{\circ}\text{C}.$$

Ձերմաստիճանը հաշվարկվում է նախորդ կետում բերված ֆունկցիաների միջոցով:

4.3 Կաջորդ քայլում հաշվարկվում է վառելիքային կոմպրեսորում իզոէնտրոպ սեղմումից հետո վառելիքի էնթալփիան՝  $h_{\text{լայ}}^0$ , կՋ/կգ:

4.4 Վառելիքային կոմպրեսորում իզոէնտրոպ սեղմման ջերմանկումը հավասար է կոմպրեսորից հետո վառելիքի էնթալփիայի և կոմպրեսոր մատուցվող վառելիքի նախնական էնթալփիայի տարրերությանը՝

$$\Delta h_{\text{լայ}}^0 = h_{\text{լայ}}^0 - h_{\text{լայ}}, \text{ կՋ/կգ:} \quad (3.32)$$

4.5 Վառելիքային կոմպրեսորում իրական սեղմման ջերմանկումը հավասար է իզոէնտրոպ սեղմման ջերմանկման և վառելիքային կոմպրեսորի իզոէնտրոպ ՕԳԳ-ի հարաբերությանը՝

$$\Delta h_{\text{լայ}} = \frac{\Delta h_{\text{լայ}}^0}{\eta_{\text{լայ}}}, \text{ կՋ/կգ:} \quad (3.33)$$

4.6 Վառելիքի էնթալփիան իրական սեղմումից հետո կլինի՝

$$h_{\text{լայ}} = h_{\text{լայ}} + \Delta h_{\text{լայ}}, \text{ կՋ/կգ:} \quad (3.34)$$

4.7 Վերևում նկարագրված հակադարձ ֆունկցիաների միջոցով հաշվարկվում է վառելիքի ջերմաստիճանը իրական սեղմումից հետո՝  $t_{\text{լայ}}^0$ ,  ${}^{\circ}\text{C}$ :

## 5. Այրման խցի հաշվարկ

Այրման խցի հաշվարկը նպատակ ունի որոշել օդի ավելցուկի գործակիցը և գազատուրբինից առաջ աշխատող մարմնի էնթալփիան: Գազատուրբինում աշխատող մարմինը իրենից ներկայացնում է մատուցվող օդի և այրման արգասիքների խառնուրդ:

Գազատուրբին մտնելու պահին աշխատող մարմնի ջերմաստիճանը հանդիսանում է նախապես տրվող պարամետր՝  $t_{\text{գՏա}}$ ,  ${}^{\circ}\text{C}$ .

5.1 Հաշվարկվում է  $t_{\text{գՏա}}$  ջերմաստիճանի դեպքում օդի էնթալփիան՝

$$h_{\text{ոդ_գՏա}}, \text{ կՋ/կգ:}$$

5.2 1կգ վառելիքի հաշվով օդի ավելցուկային ծախսի հաշվարկման համար բոլոր նախորդ կետերում հաշվարկված տեսակարար էնթալպիաները բերվում են վառելիքի ստորին բանվորական ջերմաստիճանի որոշման ջերմաստիճանին, այն է  $0^{\circ}\text{C}$ -ի: Դրանք են՝

$$h_{\text{լի}}^{Q_u^F}, \text{կ} \mathcal{J}/\text{կգ},$$

$$h_{0\_աս}^{Q_u^F}, \text{կ} \mathcal{J}/\text{կգ},$$

$$h_{\text{վկհ}}^{Q_u^F}, \text{կ} \mathcal{J}/\text{կգ},$$

$$h_{\eta\sigma\_գՏա}^{Q_u^F}, \text{կ} \mathcal{J}/\text{կգ}:$$

1կգ-ի հաշվով օդի ավելցուկային ծախսը կլինի՝

$$g_{օդ\_ազ} = \frac{h_{\text{լի}}^{Q_u^F} * L_0 - (L_0 - 1) h_{\text{վկհ}}^{Q_u^F} + h_{\text{վկհ}}^{Q_u^F} + Q_u^F * \eta_{այ}}{h_{\eta\sigma\_գՏա}^{Q_u^F} - h_{\text{լի}}^{Q_u^F}}: \quad (3.35)$$

5.3 Օդի ավելցուկի գործակիցը հավասար է ավելցուկ և տեսականորեն անհրաժեշտ օդի քանակների գումարի և տեսականորեն պահանջվող օդի քանակի հարաբերությանը՝

$$\alpha_{այ} = \frac{g_{օդ\_ազ} + L_0}{L_0}: \quad (3.36)$$

Այրման խցից հետո ծխագագեց ունենում են հետևյալ կազմը՝

$g_{օդ\_ազ}$  - դրսի խոնավ օդ,

$(L_o + 1)$  – այրման արգասիքներ:

5.4 Հաշվարկվում է ԳՏ-ից առաջ աշխատող մարմնի էնթալպիան՝  $h_{գՏա}$ , կ} \mathcal{J}/\text{կգ}:

## 6. Հաշվեկշռի ստուգում

Հաշվարկի այս կետում կատարվում է հաշվեկշռի ստուգում: Հաշվեկշռի ստուգումը կատարվում է այրման խցի համար, հաշվի առնելով դրա ՕԳԳ-ն, որը հանդիսանում է ելակետային տվյալ: Ստուգման համար հարկավոր է ծխագագերի էնթալպիան ևս բերել վառելիքի ստորին բանվորական ջերմաստիճանի որոշման ջերմաստիճանին, այն է  $0^{\circ}\text{C}$ -ի:

Դաշվեկշռի ստուգման բանաձևը ունի հետևյալ տեսքը՝

$$\frac{(g_{\sigma\eta\omega} + L_o)h_{\psi h}^{Q_U^F} + h_{\psi h}^{Q_U^F} + Q_U^F)\eta_{U\bar{U}} - (g_{\sigma\eta\omega} + L_o + 1)h_{qSw}^{Q_U^F}}{(g_{\sigma\eta\omega} + L_o + 1)h_{qSw}^{Q_U^F}}. \quad (3.37)$$

Այս բանաձևով հաշվարկի արդյունքը պետք է հավասար լինի 0-ի:

## 7. ԳՏ-ի հաշվարկ

Այս հաշվարկը նպատակ ունի ԳՏ-ում կատարվող ցիկլը կառուցել i-S և t-S դիագրամների վրա, ինչի համար մեզ անհրաժեշտ է որոշել ԳՏ-ից առաջ և հետո աշխատող մարմնի ջերմաքիմիական պարամետրերը:

7.1 Դաշվարկվում է ԳՏ-ից առաջ աշխատող մարմնի ճնշումը՝

$$P_{qSw} = P_{\psi h}(1 - \delta P_{\omega}), \text{ՄՊա.} \quad (3.38)$$

Որտեղ  $\delta P_{\omega}$ -ն ճնշման անկումն է այրման խցում:

7.2 Ըստ վերոնշյալ ճնշման և ջերմաստիճանի հաշվարկվում է այրման արգասիքների էնտրոպիան՝  $S_{qSw}$ ,  $ԿԶ/Կգ °C$ :

7.3 ԳՏ-ից հետո ծխագագերի ճնշումը կլինի՝

$$P_{qSh} = P_{\rho\rho}(1 + \delta P_{qS}), \text{ՄՊա,} \quad (3.39)$$

Որտեղ  $\delta P_{qS}$ -ն ճնշման անկումն է գազային տուրբինում:

7.4 Անհրաժեշտ է հաշվարկել իզոէնտրոպ ընդարձակման հետևանքով ԳՏ-ից հետո այրման արգասիքների ջերմաստիճանը և էնթալպիան համապատասխանաբար՝

$$t_{qSh}^0, °C,$$

$$h_{qSh}^0, \text{ԿԶ/Կգ:}$$

7.5 Իզոէնտրոպ ջերմանկումը ԳՏ-ում կլինի՝

$$h_{qS}^0 = h_{qSw} - h_{qSh}^0, \text{ԿԶ/Կգ:} \quad (3.40)$$

7.6 Իրական ընդարձակման դեպքում ջերմանկումը գազատուրբինում հավասար է իզոէնտրոպ ընդարձակման ջերմանկման և ԳՏ-ի ներքին հարաբերական ՕԳԳ-ի արտադրյալին՝

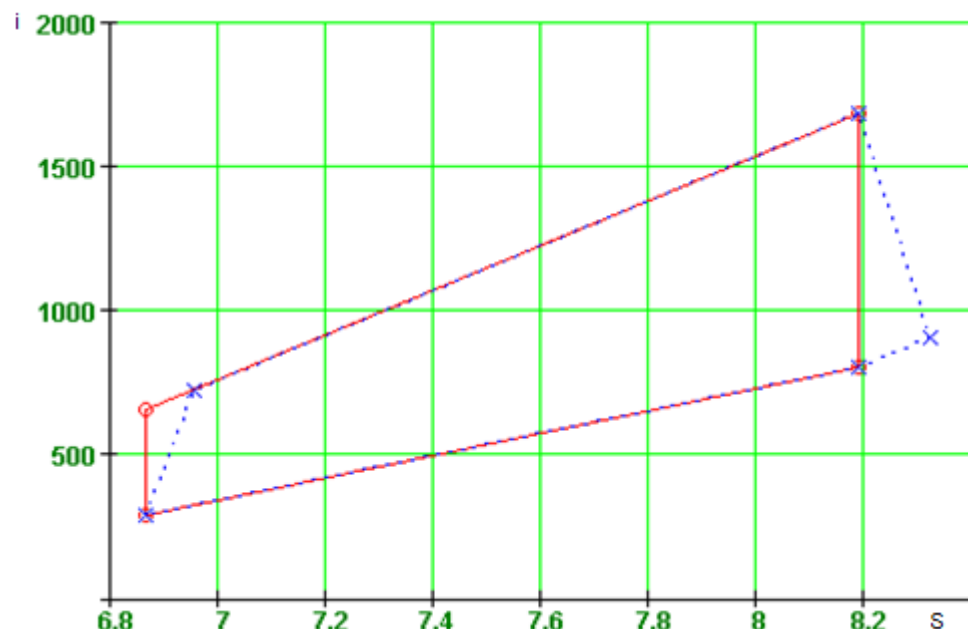
$$\Delta h_{qS} = \Delta h_{qS}^0 n_{qS}, \text{ԿԶ/Կգ:} \quad (3.41)$$

7.7 Իրական ընդարձակումից հետո այրման արգասիքների էնթալփիան համապատասխանաբար կլինի՝

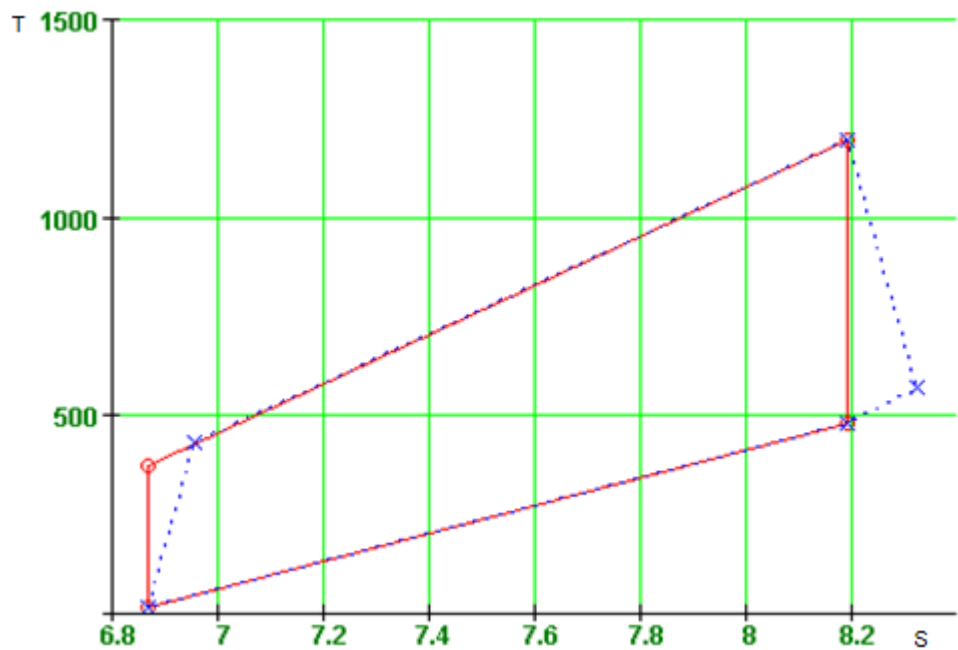
$$h_{qSh} = h_{qSw} - \Delta h_{qS}, \text{կՋ/կգ:} \quad (3.42)$$

7.8 Վերջում հաշվարկվում է իրական ընդարձակումից հետո այրման արգասիքների ջերմաստիճանն ու էնտրոպիան՝  $t_{qSh}$ ,  $^{\circ}\text{C}$ ,  $S_{qSh}$ ,  $\text{կՋ}/(\text{կգ}^{\circ}\text{C})$ :

Հաշվարկների արդյունքում հնարավոր է կառուցել ԳՏՏ աշխատանքային ցիկլը i-s և t-s դիագրամների վրա՝



Նկ.3.2. ԳՏՏ ցիկլը i-S դիագրամի վրա



Նկ.3.3. QSS ցիկլը T-S դիագրամի վրա

### 8. QSS-ի էներգետիկական ցուցանիշների հաշվարկ

Այս հաշվարկի նպատակը QSS-ի OQQ-ի, կոմպրեսորի, տուրբինի և վառելիքային կոմպրեսորի ներքին հզորությունների որոշումն է: Դրա արդյունքում հնարավոր է լինում որոշել QSS-ի ներքին օգտակար հզորությունը:

8.1 1/կգ վառելիքի հաշվով կոմպրեսորի ներքին հզորությունը կլինի՝

$$N_{i\_q} = \Delta h_{q} (g_{o\eta\_wq} + L_0), \text{ՄՎտ}/(\text{կգ}/\text{վ}): \quad (3.43)$$

8.2 ԳՏ-ի ներքին հզորությունը 1/կգ վառելիքի հաշվով հավասար է՝

$$N_{i\_qs} = \Delta h_{qs} (g_{o\eta\_wq} + L_0 + 1), \text{ՄՎտ}/(\text{կգ}/\text{վ}): \quad (3.44)$$

8.3 Վառելիքային կոմպրեսորի ներքին հզորությունը 1/կգ վառելիքի հաշվով՝

$$N_{i\_qll} = \Delta h_{qll} * 1, \text{ՄՎտ}/(\text{կգ}/\text{վ}): \quad (3.45)$$

8.4 Մեխանիկական կորուստները հաշվի չառած ներքին օգտակար հզորությունը 1/կգ վառելիքի հաշվով հավասար է ԳՏ-ի ներքին օգտակար հզորությունից հանած վառելիքային կոմպրեսորի և օդի կոմպրեսորի ներքին հզորությունները՝

$$N_i = N_{i\_qs} - N_{i\_q} \frac{N_{i\_qll}}{0.96}, \text{ՄՎտ}/(\text{կգ}/\text{վ}), \quad (3.46)$$

որտեղ, 0,96-ը հաշվի է առնում այն փաստը, որ վառելիքային կոմպրեսորի շարժաբերը, ի տարրերություն ԳՏՏ-ի կոմպրեսորի չի հանդիսանում գազատուրինը: Ժամանակակից գազատուրինային տեղակայանքներում որպես վառելիքային կոմպրեսոր օգտագործվում են էլեկտրական շարժաբերներով հզոր կոմպրեսորային տեղակայանքներ: Ուստի մտցված 0,96 գործակիցը հաշվի է առնում ԳՏՏ գեներատորի և վառելիքային կոմպրեսորի շարժիչի կորուստները:

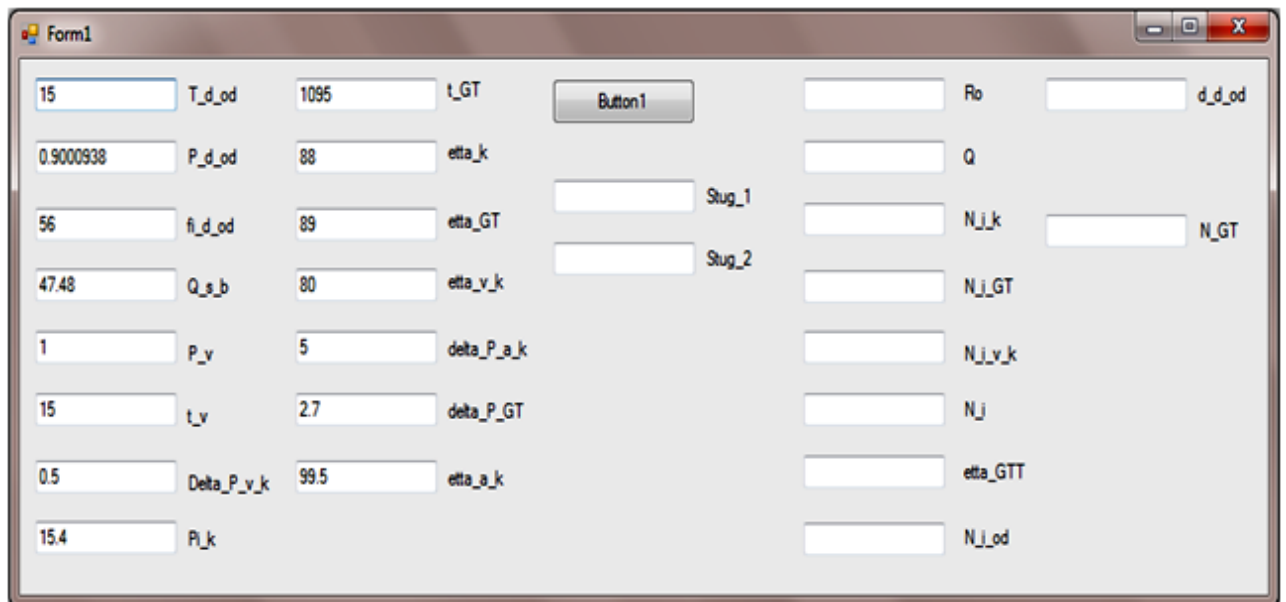
8.5 ԳՏՏ-ի ՕԳԳ-ն հավասար է ներքին օգտակար հզորության և վառելիքի ստորին բանվորական ջերմության հարաբերությանը՝

$$\eta_{GT} = \frac{N_i}{Q_u^F}, \% : \quad (3.47)$$

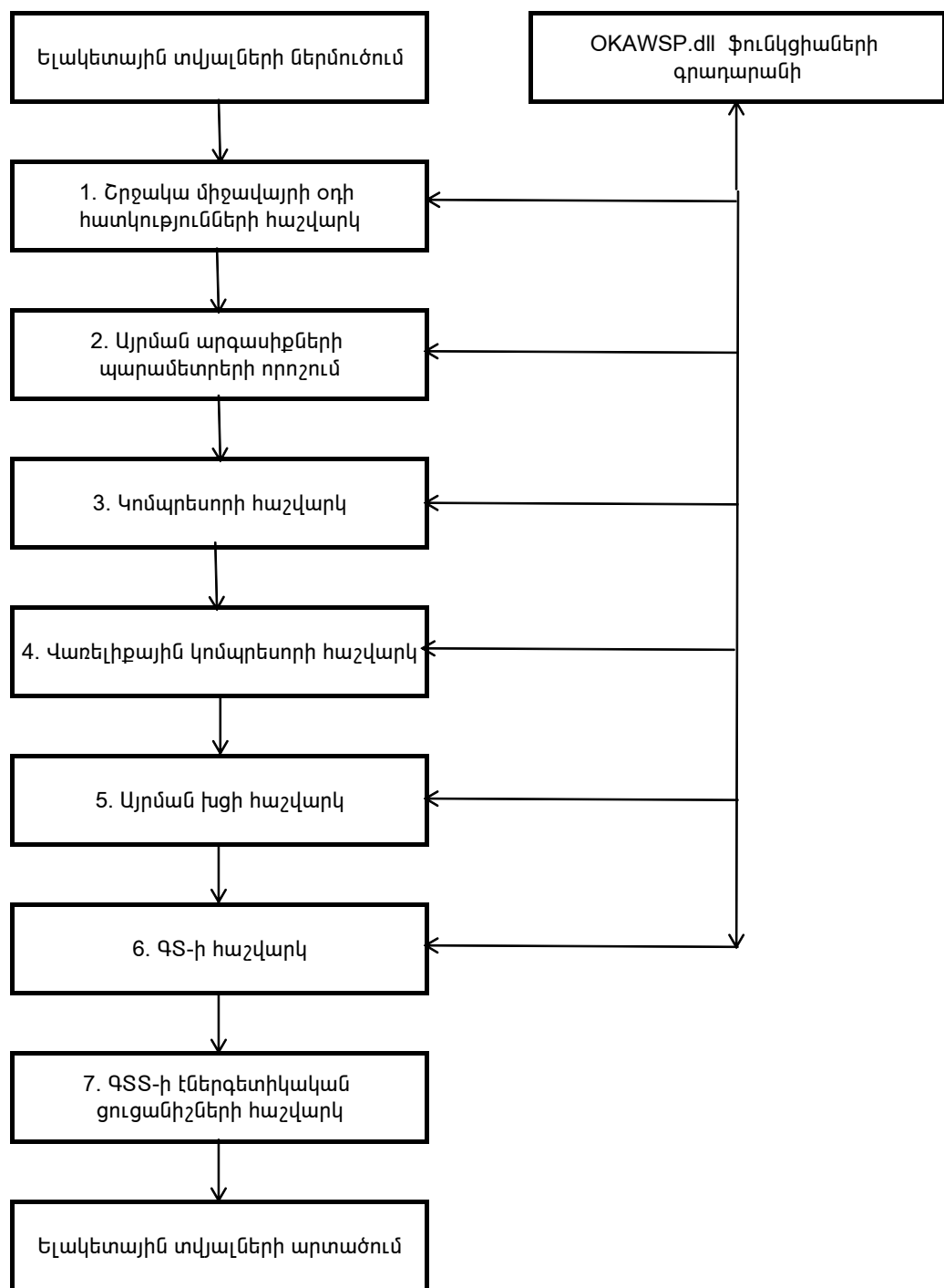
8.6 ԳՏՏ-ի հզորությունը կոմպրեսորում 1 կգ օդի հաշվով հաշվարկվում է հետևյալ բանաձևով՝

$$N_{i\_o\eta} = \frac{N_i}{g_{o\eta\_u\eta} + L_o}, \text{ՄՎտ/(կգ/վ)}: \quad (3.48)$$

Նկարագրված մեթոդով հաշվարկներ կատարող ծրագրի ինտերֆեյսը և բլոկ-սխեման ունեն նկ.3.4. և նկ.3.5. պատկերված տեսքերը՝



Նկ.3.4 ԳՏՏ-ի էներգետիկական ցուցանիշների հաշվարկման ծրագրի ինտերֆեյս



Նկ.3.5 ԳՏՏ-ի էներգետիկական ցուցանիշների հաշվարկման ծրագրի բլոկ-սխեման

Դիտարկենք ստորև բերված ելակետային պարամետրեր ունեցող ԳՏՏ ջերմային հաշվարկի արդյունքները՝

- Վառելիքի այրման ստորին բանվորական ջերմություն՝  $Q_U^P = 50046 \text{ կՋ/կգ}$ ,
- մատուցվող վառելիքի ճնշում՝  $P_{վառ} = 0,6 \text{ ՄՊա}$ ,
- մատուցվող վառելիքի ջերմաստիճան՝  $t_{վառ} = 15 \text{ } ^\circ\text{C}$ ,
- վառելիքի ավելցուկային ճնշումը այրման խցից առաջ՝  $\Delta P_{այն} = 0,5 \text{ ՄՊա}$ ,
- կոմպրեսորում ճնշման բարձրացման աստիճան՝  $\pi_k = 18$ ,
- տուրբինից առաջ ծխագագերի ջերմաստիճան՝  $t_{օՏՏա} = 1200 \text{ } ^\circ\text{C}$ ,
- կոմպրեսորի իզոէնտրոպ ՕԳԳ՝  $\eta_{լ} = 86 \%$ ,
- գազատուրբինի ներքին հարաբերական ՕԳԳ՝  $\eta_{օՏՏ} = 88 \%$ ,
- վառելիքային կոմպրեսորի իզոէնտրոպ ՕԳԳ՝  $\eta_{լակ} = 80 \%$ ,
- այրման խցի ՕԳԳ՝  $\eta_{ԱԿ} = 99,5 \%$ ,
- ճնշման անկումը այրման խցում,  $\delta P_{ակ} = 5 \%$ ,
- ճնշման անկումը գազային տուրբինում,  $\delta P_{զտ} = 5 \%$ :

Կոմպրեսոր մատուցվող օդի ISO պարամետրերի դեպքում՝ 1 մթն. ճնշում,  $15 \text{ } ^\circ\text{C}$  ջերմաստիճան և  $60\%$  հարաբերական խոնավություն, դիտարկվող ԳՏՏ-ի ներգետիկական ցուցանիշների հաշվարկի արդյունքներն են՝

- Կոմպրեսորի ներքին իզորությունը բերված  $1 \text{ կգ/վ}$  վառելիքի ծախսի՝  

$$N_{i_{լ}} = 21,965 \text{ ՄՎտ/(կգ/վ)}$$
,
- գազատուրբինի ներքին իզորությունը բերված  $1 \text{ կգ/վ}$  վառելիքի ծախսի՝  

$$N_{i_{օՏՏ}} = 40,291 \text{ ՄՎտ/(կգ/վ)}$$
,
- վառելիքային կոմպրեսորի ներքին իզորությունը բերված  $1 \text{ կգ/վ}$  վառելիքի ծախսի՝  

$$N_{i_{ԱԿ}} = 0,295 \text{ ՄՎտ/(կգ/վ)}$$
,
- ԳՏՏ-ի ներին օգտակար իզորությունը բերված  $1 \text{ կգ/վ}$  վառելիքի ծախսի, որը հաշվի չի առնում մեխանիկական կորուստները՝  

$$N_i = 18,018 \text{ ՄՎտ/(կգ/վ)}$$
,

- ԳՏՏ-ի Օգգ-ն՝

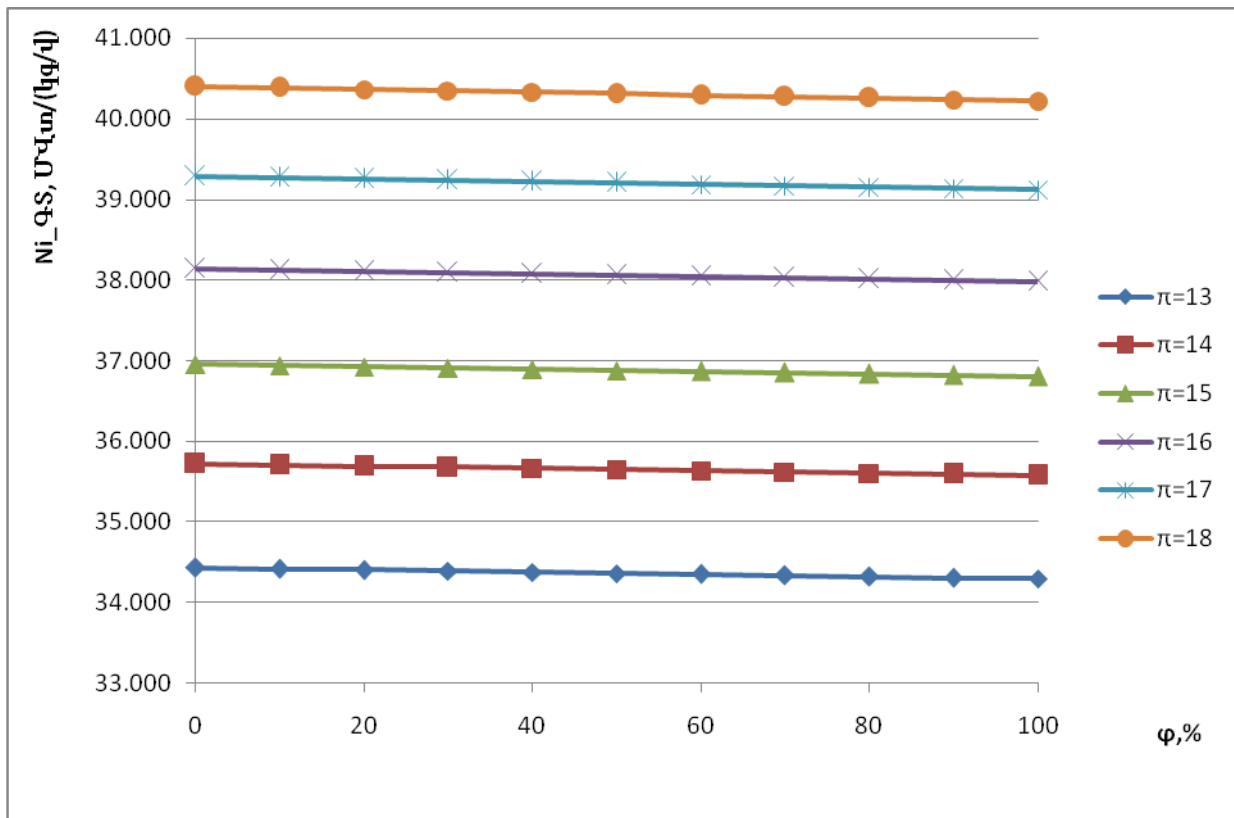
$$\eta_{\text{ԳՏՏ}} = 36,003 \%,$$

- ԳՏՏ-ի հզորությունը բերված կոմպրեսորում  $1 \text{կգ}/\text{վ}$  օդի ծախսի՝

$$N_{i_{\text{օդ}}} = 0,353 \text{ ՄՎտ}/(\text{կգ}/\text{վ}):$$

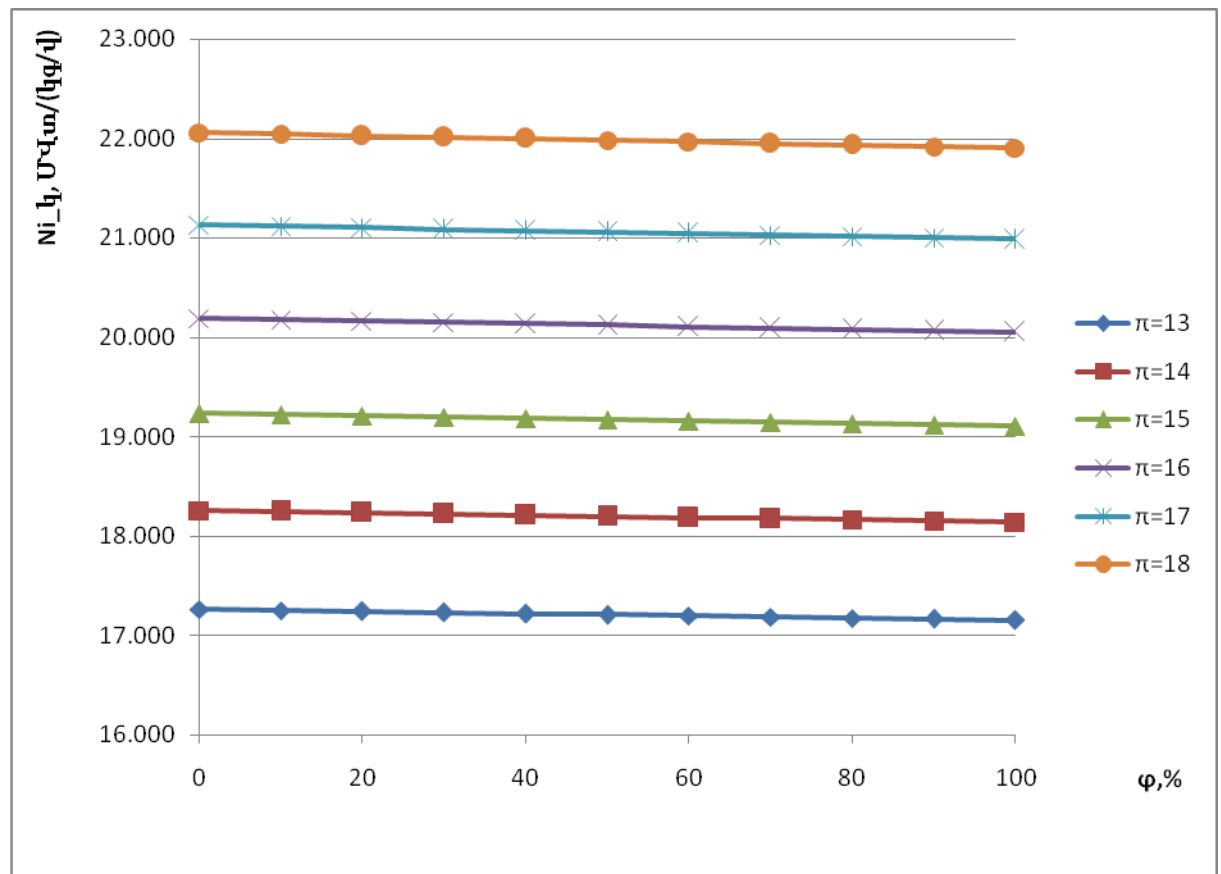
### 3.2 ԳՏՏ-ի էներգետիկական ցուցանիշների կախվածությունը կոմպրեսոր ներծծվող օդի հարաբերական խոնավությունից

ԳՏՏ էներգետիկական ցուցանիշների վրա կոմպրեսոր ներծծվող մթնոլորտային օդի հարաբերական խոնավության ազդեցության գնահատումը հատկանշական է մատուցվող օդի հովացման ջրային մշուշապատման համակարգերի կիրառելիության տեսանկյունից, քանի որ այդ դեպքում ԳՏՏ կոմպրեսորի մուտքում օդի հարաբերական խոնավությունը հասնում է 100%-ի: Յասկանալու համար այդ ազդեցությունը դիտարկենք 3.1-ում նկարագրված պարամետրերով ԳՏՏ-ի էներգետիկական ցուցանիշները, երբ դրսի օդի հարաբերական խոնավությունը փոփոխվում է 0-ից 100% սահմաններում, իսկ ջերմաստիճանը հավասար է  $15^{\circ}\text{C}$ -ի, և դրա կոմպրեսորում ճնշման բարձրացման աստիճանը փոփոխվում է  $13\dots18$  միջակայքում, իսկ մնացած բոլոր ելակետային պարամետրերը մնում են հաստատում: Այդ հաշվարկների արդյունքները գրաֆիկական ձևով ներկայացված են ստորև, իսկ հաշվարկների արդյունքները ամփոփող աղյուսակները բերված են հավելված 3-ում:



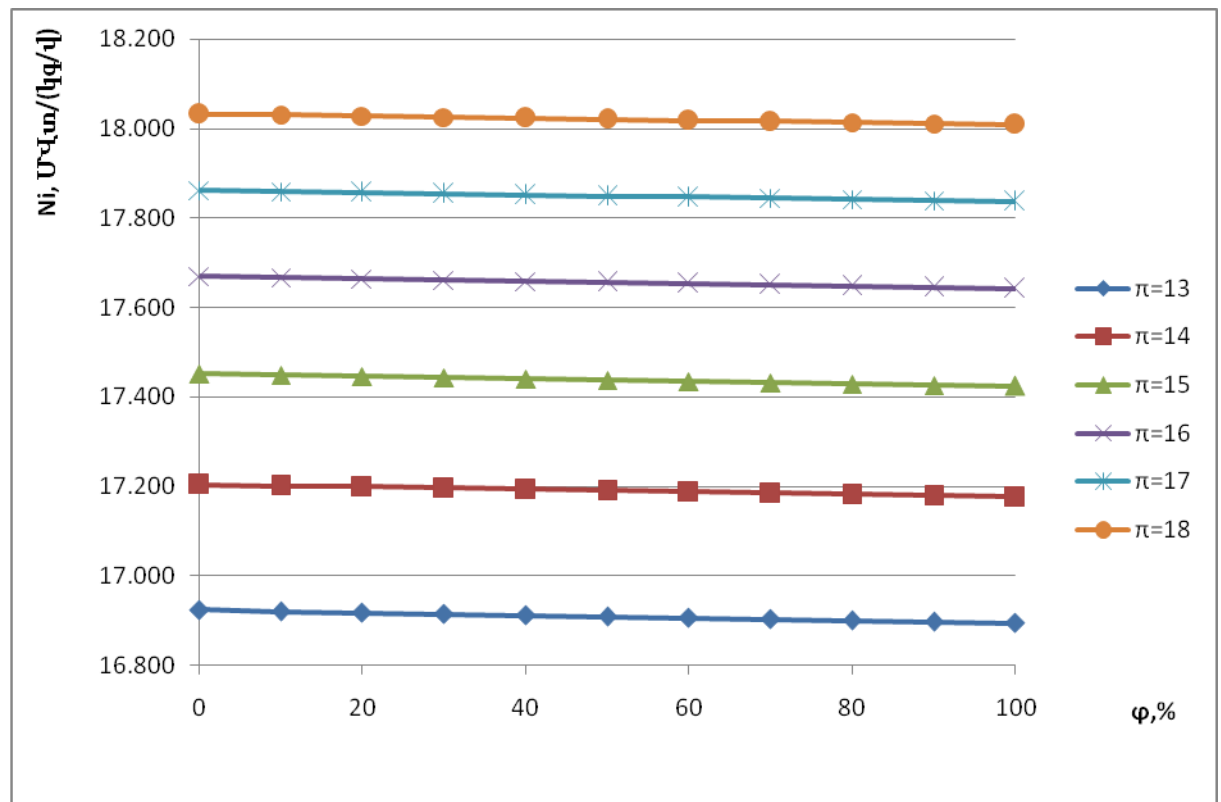
Ակ.3.6 ԳՏ 1կգ/վ վառելիքի ծախսի բերված ներքին հզորության կախվածությունը կոմպրեսոր մատուցվող օդի հարաբերական խոնավությունից կոմպրեսորում ճնշման բարձրացման տարբեր աստիճանների դեպքում

Ինչպես երևում է Ակ.3.6-ից, ԳՏՏ կոմպրեսոր մատուցվող օդի հարաբերական խոնավության աճը ԳՏՏ 1կգ/վ վառելիքի ծախսի բերված ներքին հզորության ( $N_{i,QS}$ ) վրա ունենում է փոքր ազդեցություն: Այսպես օրինակ կոմպրեսորում ճնշման բարձրացման աստիճանի 13 արժեքի դեպքում ներծծվող օդի հարաբերական խոնավության 0-ից 100% փոփոխությունը հանգեցնում է  $N_{i,QS}$ -ի 0,138 ՄՎտ/(կգ/վ) փոփոխության: Իսկ երբ կոմպրեսորում ճնշման բարձրացման աստիճանը հավասար է 18-ի այդ փոփոխությունը հասնում է 0,18-ի: Այսինքն, կոմպրեսոր ներծծվող օդի խոնավության ազդեցությունը ԳՏՏ 1կգ/վ վառելիքի ծախսի բերված ներքին հզորության վրա այնքան ավելի մեծ է, որքան մեծ է կոմպրեսորում ճնշման բարձրացման աստիճանը:



Նկ.3.7. 1կգ/վ վառելիքի ծախսի բերված ԳՏՏ կոմպրեսորի ներքին հզորության կախվածությունը կոմպրեսոր մատուցվող օդի հարաբերական խոնավությունից կոմպրեսորում ճնշման բարձրացման տարբեր աստիճանների դեպքում

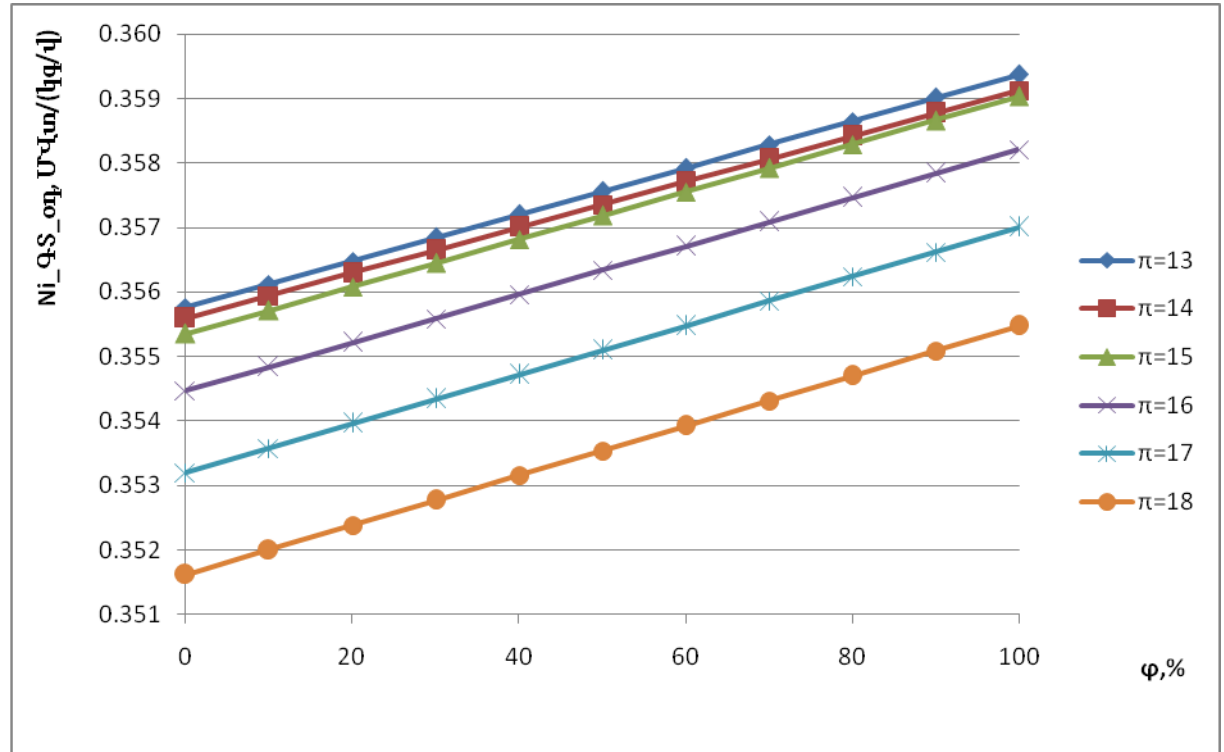
Նկ.3.7.-ից երևում է, որ 1կգ/վ վառելիքի ծախսի բերված կոմպրեսորի ներքին հզորությունը ( $N_{i,4}$ ) մատուցվող օդի հարաբերական խոնավության 0-ից 100% փոփոխման և կոմպրեսորում ճնշման բարձրացման աստիճանի 13 արժեքի դեպքում փոփոխվում է 0,109 ՄՎտ/(կգ/վ)-ով: Իսկ երբ կոմպրեսորում ճնշման բարձրացման աստիճանը հավասար է 18-ի այդ փոփոխությունը հասնում է 0,157 ՄՎտ/(կգ/վ)-ի: Այսինքն, կոմպրեսոր ներծծվող օդի հարաբերական խոնավության աճը  $N_{i,4}$ -ի վրա նույնպես ունի այնքան ավելի մեծ ազդեցություն, որքան մեծ է կոմպրեսորում ճնշման բարձրացման աստիճանը:



Նկ.3.8.ԳՏՏ-ի 1/գ/վ վառելիքի ծախսիբերված ներքին օգտակար հզորության կախվածությունը, կոմպրեսոր մատուցվող օդի հարաբերական խոնավությունից կոմպրեսորում ճնշման բարձրացման տարրեր աստիճանների դեպքում

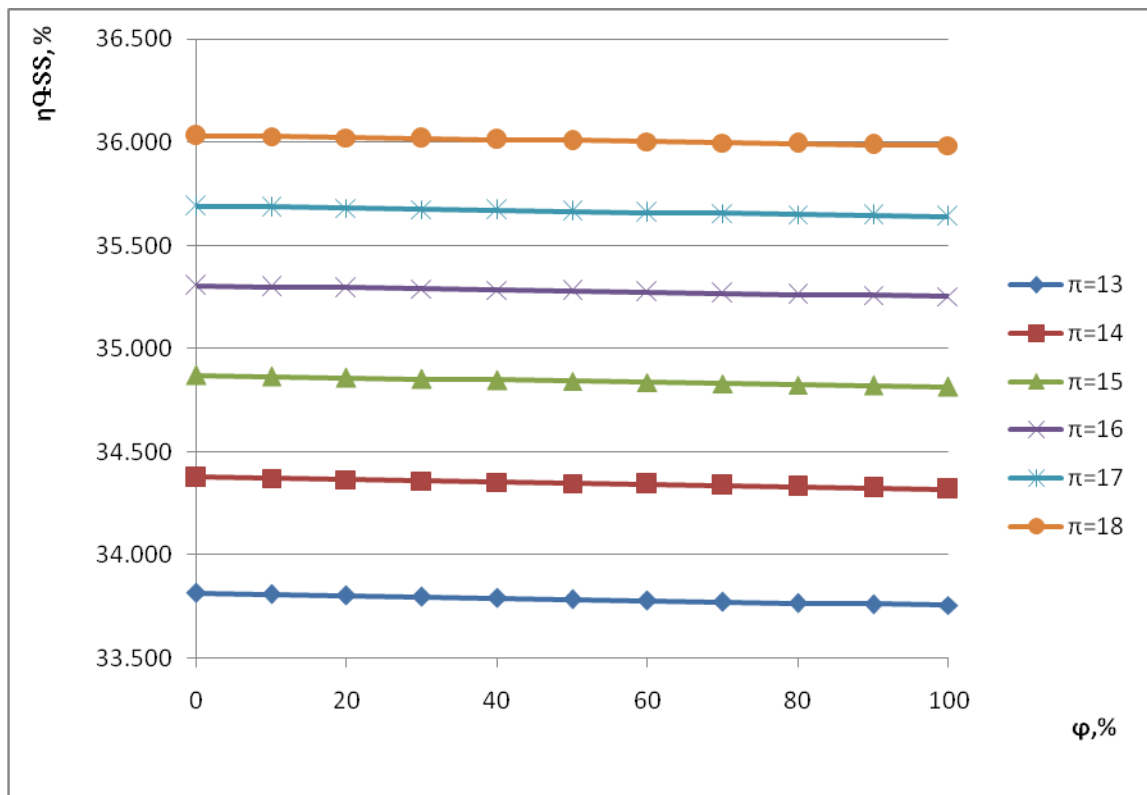
Նկ.3.8-ը ցույց է տալիս, որ ԳՏՏ-ի ներքին հզորությունը բերված կ/գ/վ վառելիքի ծախսի ( $N_i$ ) կոմպրեսոր մատուցվող օդի ջերմաստիճանի բարձրացմանը զուգընթաց մեծանում է, ընդ որում, եթե կոմպրեսորում ճնշման բարձրացման աստիճանը հավասար է 13-ի այդ փոփոխությունը ներծծվող օդի հարաբերական խոնավության 0...100% աճելու դեպքում ունի 0,029 ՄՎտ/(կ/գ/վ) արժեք, իսկ կոմպրեսորում ճնշման բարձրացման աստիճանի 18 արժեքի դեպքում՝ 0,024 ՄՎտ/(կ/գ/վ): Այսինքն, որքան ավելի մեծ է կոպրեսորում ճնշման բարձրացման աստիճանը, այնքան ավելի փոքր է ներծծվող օդի խոնավության բարձրացման բացասական ազդեցությունը ԳՏՏ-ի ներքին հզորության վրա: Սա պայմանավորված է այն փաստով, որ չնայած որ կոմպրեսորում ճնշման բարձրացման որևէ տվյալ արժեքի դեպքում ներծծվող օդի հարաբերական խոնավության բարձրացման դեպքում նվազում է 1 կ/գ/վ վառելիքի ծախսի բերված և ԳՏՏ ներքին հզորությունը և կոմպրեսորի ներքին հզորությունը, սակայն կոմպրեսորի ճնշման բարձրացման աստիճանի մեծացմանը զուգընթաց մատուցվող օդի հարաբերական խոնավության մեծացման հետ կապված կոմպրեսորի ներքին

հզորության անկումը ավելի արագ է մեծանում քան 1 կգ/վ վառելիքի ծախսի բերված ԳՏՏ ներքին հզորության անկումը:



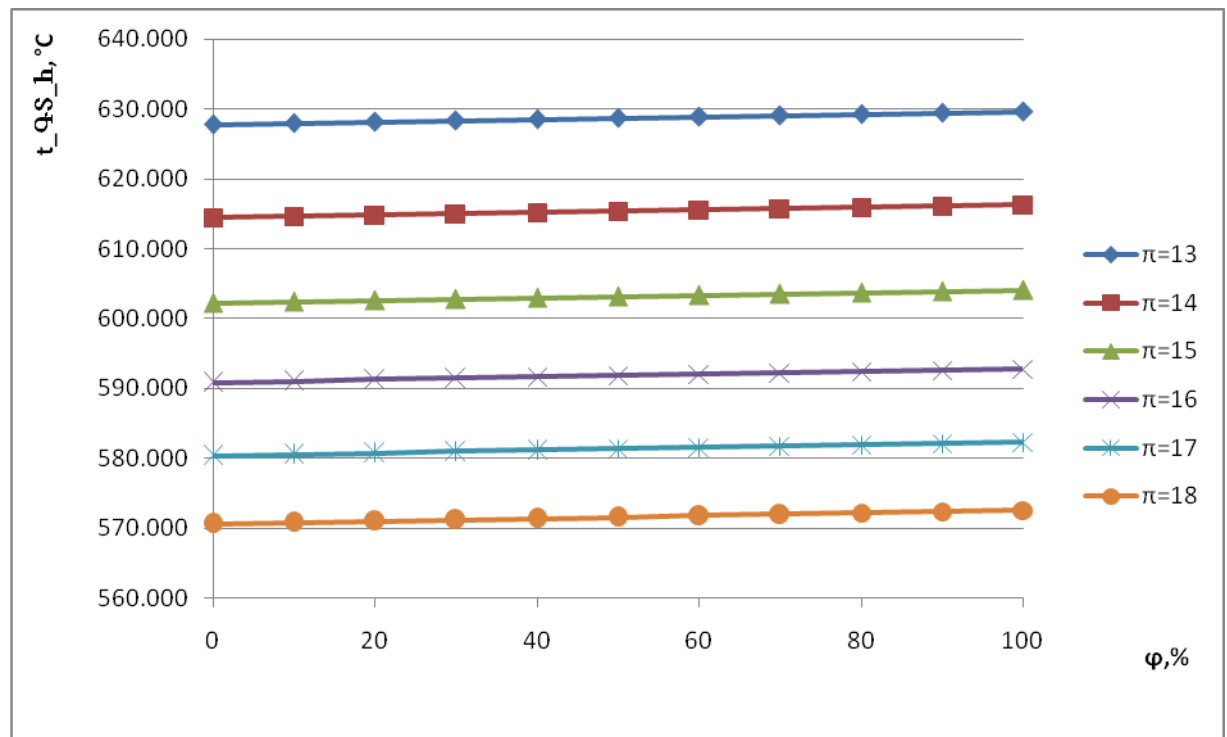
Նկ.3.9 ԳՏՏ-ի կոմպրեսորում 1 կգ/վ օդի ծախսի բերված ԳՏՏ հզորության կախվածությունը կոմպրեսոր մատուցվող օդի հարաբերական խոնավությունից կոմպրեսորում ճնշման բարձրացման տարբեր աստիճանների դեպքում

Նկ.3.9-ում բերված է ԳՏՏ-ի կոմպրեսորում 1 կգ/վ օդի ծախսի բերված ԳՏՏ-ի հզորության ( $N_{i_{\text{օդ}}}$ ) փոփոխությունը ներծծվող օդի հարաբերական խոնավությունից կախված և կոմպրեսորում ճնշման բարձրացման տարբեր աստիճանների դեպքում: Կոմպրեսորում ճնշման բարձրացման ցանկացած աստիճանի դեպքում  $N_{i_{\text{օդ}}}$ -ը մատուցվող օդի հարաբերական խոնավության բարձրացման հետ զուգընթաց մեծանում է: Մատուցվող օդի հարաբերական խոնավության 0...100 % բարձրացման հետ պայմանավորված  $N_{i_{\text{օդ}}}$ -ի մեծացման արժեքը կոմպրեսորում ճնշման բարձրացման աստիճանից գրեթե կախված չէ, և դրա 13...18 արժեքների դեպքում ընդունում է 0,0035...0,0038 արժեքներ:



Նկ.3.10. QSS-ի O44-ի կախվածությունը կոմպրեսոր մատուցվող օդի հարաբերական խոնավությունից կոմպրեսորում ճնշման բարձրացման տարրեր աստիճանների դեպքում

QSS-ի O44-ի կոմպրեսոր մատուցվող օդի հարաբերական խոնավությունից կախվածությունը կոմպրեսորում ճնշման բարձրացման տարրեր աստիճանների դեպքում պատկերված է Նկ.3.10-ում բերված գրաֆիկում: Ինչպես տեսնում ենք, QSS-ի O44-ն կոմպրեսոր մատուցվող օդի հարաբերական խոնավության մեջացման հետ նվազում է, ընդ որում կոմպրեսորում ճնշման բարձրացման աստիճանի 13 արժեքի դեպքում հարաբերական խոնավության 0...100% բարձրացումը հանգեցնում է O44-ի 0,059% անկման, իսկ ճնշման բարձրացման աստիճանի 18 արժեքի դեպքում՝ 0,048%: Այսինքն, ինչքան ավելի մեծ է կոմպրեսորում ճնշման բարձրացման աստիճանը այնքան ավելի փոքր է QSS-ի O44-ի վրա մատուցվող օդի խոնավության բարձրացման բացասական ազդեցությունը:



Նկ.3.11.ԳՏՏ-ից հեռացող ծխագագերի ջերմաստիճանի կախվածությունը կոմպրեսոր մատուցվող օդի հարաբերական խոնավությունից կոմպրեսորում ճնշման բարձրացման տարրեր աստիճանների դեպքում

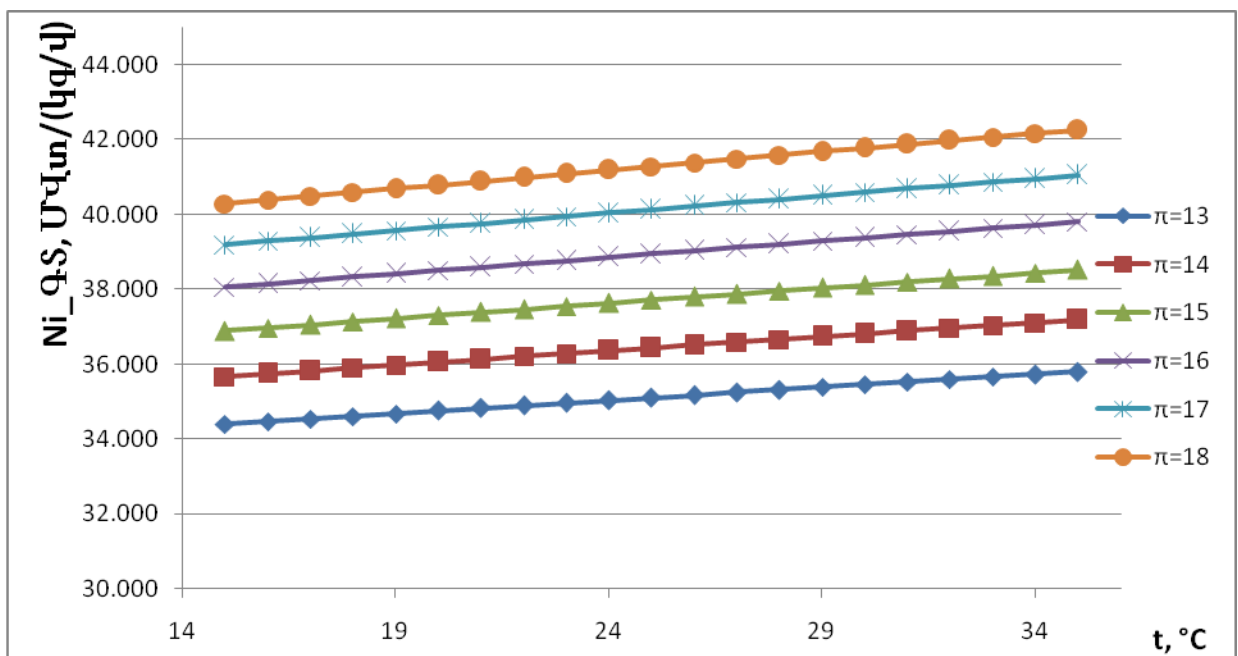
ԳՏՏ-ից հեռացող ծխագագերի ջերմաստիճանի վրա կոմպրեսորում ճնշման բարձրացման տարրեր աստիճանների դեպքում ներծծվող օդի հարաբերական խոնավության ազդեցությունը պատկերող գրաֆիկը բերված է Ակ.3.11-ում: Ընդհանուր առմամբ ԳՏՏ կոմպրեսոր մատուցվող օդի հարաբերական խոնավության բարձրացումը հանգեցնում է ԳՏՏ-ից հեռացող ծխագագերի ջերմաստիճանի բարձրացման: Այդ բարձրացման արժեքը կոմպրեսորում ճնշման բարձրացման աստիճանի 13 արժեքի դեպքում հավասար է  $1,847 \text{ } ^\circ\text{C}$  0...100% հարաբերական խոնավության բարձրացման դեպքում, իսկ կոմպրեսորում ճնշման բարձրացման 18 արժեքի դեպքում՝  $1,937 \text{ } ^\circ\text{C}$ : Այսինքն, ԳՏՏ-ի կոմպրեսոր ներծծվող օդի հարաբերական խոնավության մեծացումը ԳՏՏ-ից հեռացող ծխագագերի ջերմաստիճանի վրա ունի այնքան ավելի մեծ ազդեցություն, որքան ավելի մեծ է ԳՏՏ-ի կոմպրեսորում ճնշման բարձրացման աստիճանը:

Քաշվի առնելով վերը նկարագրվածը կարելի է ասել, որ ԳՏՏ-ի կոմպրեսոր ներծծվող օդի հարաբերական խոնավության բարձրացումը ԳՏՏ էներգետիկական և արդյունավետության ցուցանիշների վրա ունենում է բացասական, բայց փոքր

ազդեցություն, ուստի կարելի է ասել, որ ԳՏՏ-ի աշխատանքային ռեժիմների լավարկման համար կոմպրեսոր մատուցվող օդի հովացման բարձր ճնշումային հովացման համակարգի կիրառությունը, որը հանգեցնում է կոմպրեսոր մատուցվող օդի հարաբերական խոնավության աճի մինչև 100 %, լիովին նպատակահարմար է:

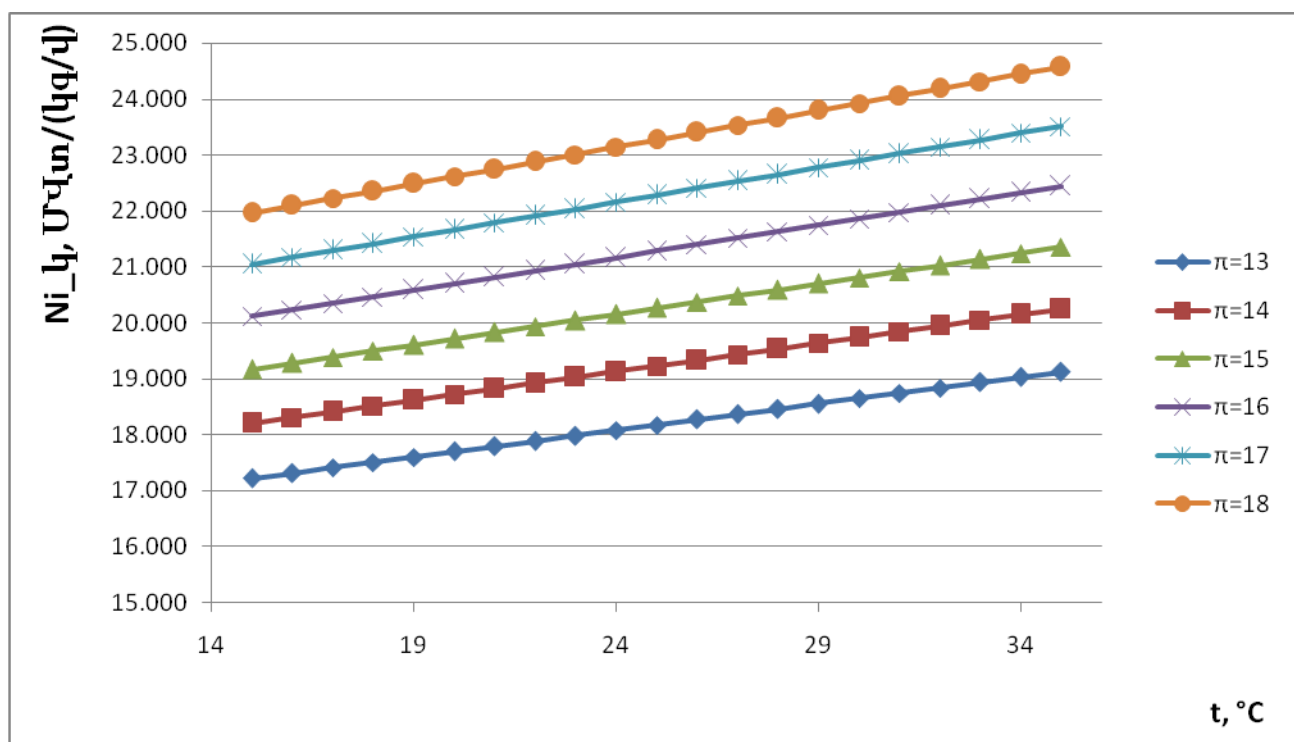
### 3.3 ԳՏՏ-ի էներգետիկական ցուցանիշների կախվածությունը մթնոլորտային օդի ջերմաստիճանից

Եթե ԳՏՏ-ի կոմպրեսոր մատուցվող օդի ջերմաստիճանը փոփոխվում է հաշվարկային արժեքից, փոխվում են նաև ԳՏՏ-ի էներգետիկական և արդյունավետության ցուցանիշները: §3.1-ում նկարագրված պարամետրերով ԳՏՏ-ի ջերմային հաշվարկի արդյունքները, եթե դրսի օդի ջերմաստիճանը փոփոխվում է 15-ից 35 °C, իսկ հարաբերական խոնավությունը հավասար է 60 %-ի, դրա կոմպրեսորում ճնշման բարձրացման աստիճանը փոփոխվում է 13...18 միջակայքում, իսկ մնացած բոլոր ելակետային պարամետրերը մնում են հաստատում, գրաֆիկական ձևով ներկայացված են ստորև: Յաշվարկների արդյունքները ամփոփված են հավելված 3-ում բերված աղյուսակներում:



Նկ.3.12 ԳՏ 1կգ/վ վառելիքի ծախսի բերված ներքին հզորության կախվածությունը կոմպրեսոր մատուցվող օդի ջերմաստիճանից կոմպրեսորում ճնշման բարձրացման տարբեր աստիճանների դեպքում

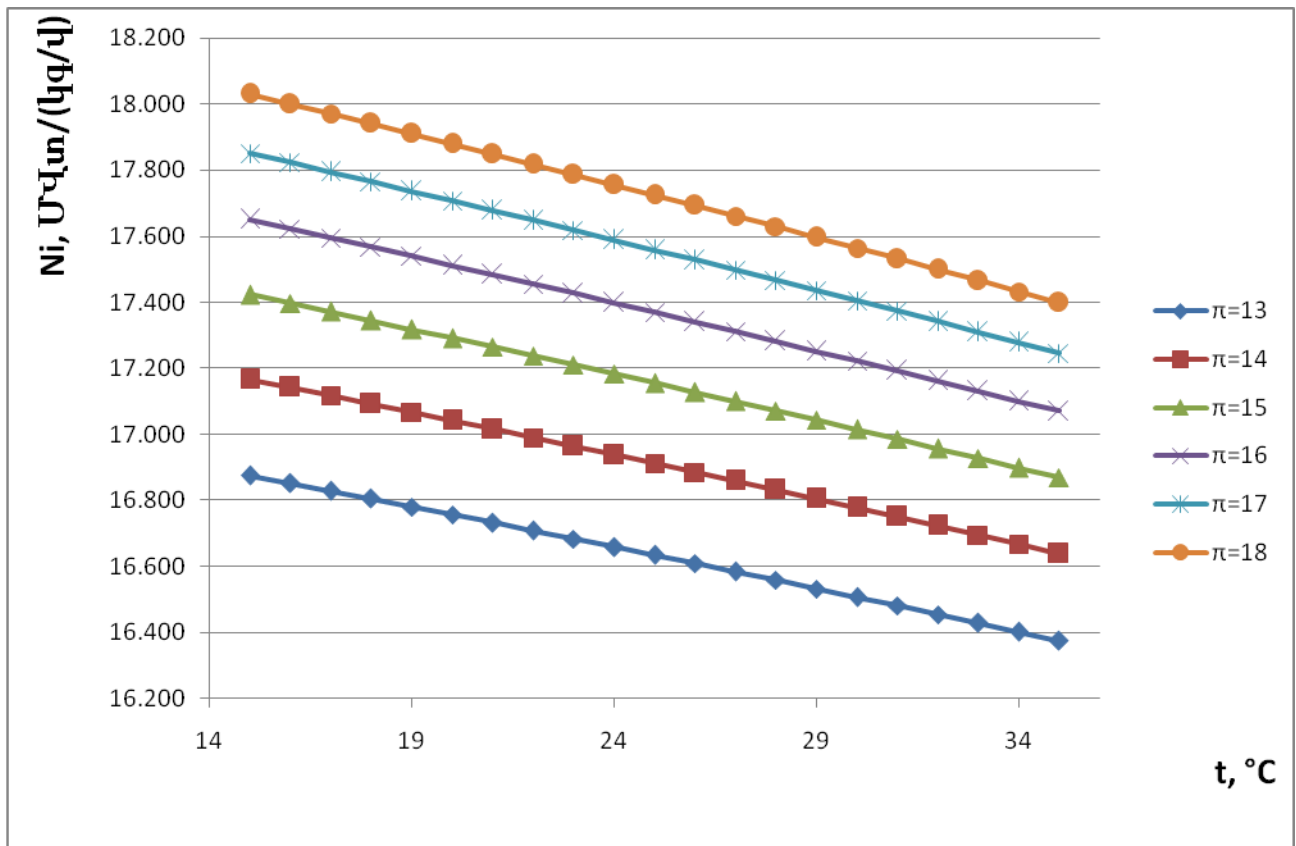
Նկ.3.12-ում բերված է 1 կգ վառելիքի հաշվով ԳՏ-ի ներքին հզորության կախվածությունը կոմպրեսոր ներծծվող օդի ջերմաստիճանից պատկերող գրաֆիկը՝ կոմպրեսորում ճնշման բարձրացման աստիճանի 13...18 արժեքների համար: ԳՏՏ կոմպրեսոր մատուցվող օդի ջերմաստիճանի 15-ից 35 °C աճելու դեպքում և կոմպրեսորում ճնշման բարձրացման աստիճանի 13 արժեքի դեպքում ԳՏ-ի 1 կգ/վ վառելիքի ծախսի բերված ներքին օգտակար հզորությունը աճում է 1,398 ՄՎտ/(կգ/վ)-ով: Իսկ երբ կոմպրեսորում ճնշման բարձրացման աստիճանը հավասար է 18-ի այդ փոփոխությունը կազմում է 1,974 ՄՎտ/(կգ/վ): Այսինքն ԳՏՏ-ի կոմպրեսոր մատուցվող օդի ջերմաստիճանի փոփոխման ազդեցությունը ԳՏ-ի 1 կգ/վ վառելիքի ծախսի բերված ներքին օգտակար հզորության վրա այնքան ավելի մեծ է, որքան մեծ է կոմպրեսորում ճնշման բարձրացման աստիճանի արժեքը: Ընդ որում ջերմաստիճանի բարձրացումը ունի դրական ազդեցություն ԳՏ-ի ներքին հզորության վրա:



Նկ.3.13. 1 կգ/վ վառելիքի ծախսի բերված ԳՏՏ կոմպրեսորի ներքին հզորության կախվածությունը կոմպրեսոր մատուցվող օդի ջերմաստիճանից կոմպրեսորում ճնշման բարձրացման տարբեր աստիճանների դեպքում

1 կգ/վ վառելիքի ծախսի բերված ԳՏՏ-ի կոմպրեսորի ներքին հզորությունը ներծծվող օդի ջերմաստիճանի բարձրացման հետ նույնպես մեծանում է (նկ.3.13): Ընդ որում, որքան ավելի մեծ է կոմպրեսորում ճնշման բարձրացման աստիճանի արժեքը,

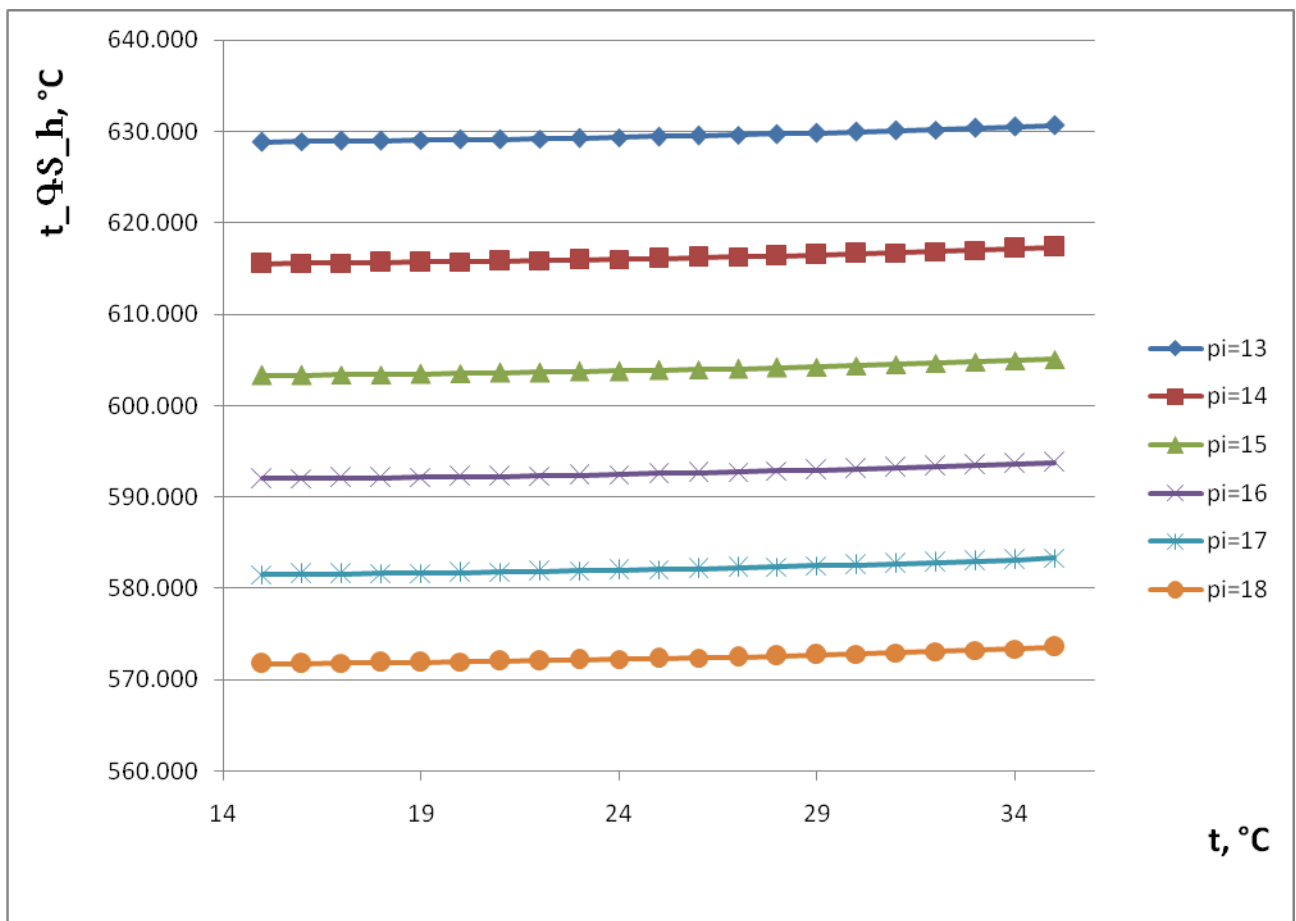
այնքան ավելի մեծ է այդ ազդեցությունը: Այսպես, ներծծվող օդի ջերմաստիճանի 15-ից 35 °C բարձրանալու դեպքում, երբ կոմպրեսորում ճնշման բարձրացման աստիճանը հավասար է 13-ի կոմպրեսորի ներքին հզորությունը մեծանում է 1,898 ՄՎտ/(կգ/վ)-ով, իսկ երբ ճնշման բարձրացման աստիճանը հավասար է 18-ի՝ 2,606 ՄՎտ/(կգ/վ)-ով:



Նկ.3.14 ԳՏՏ-ի 1կգ/վ վառելիքի ծախսիբերված ներքին օգտակար հզորության կախվածությունը, կոմպրեսոր մատուցվող օդի ջերմաստիճանից կոմպրեսորում ճնշման բարձրացման տարբեր աստիճանների դեպքում

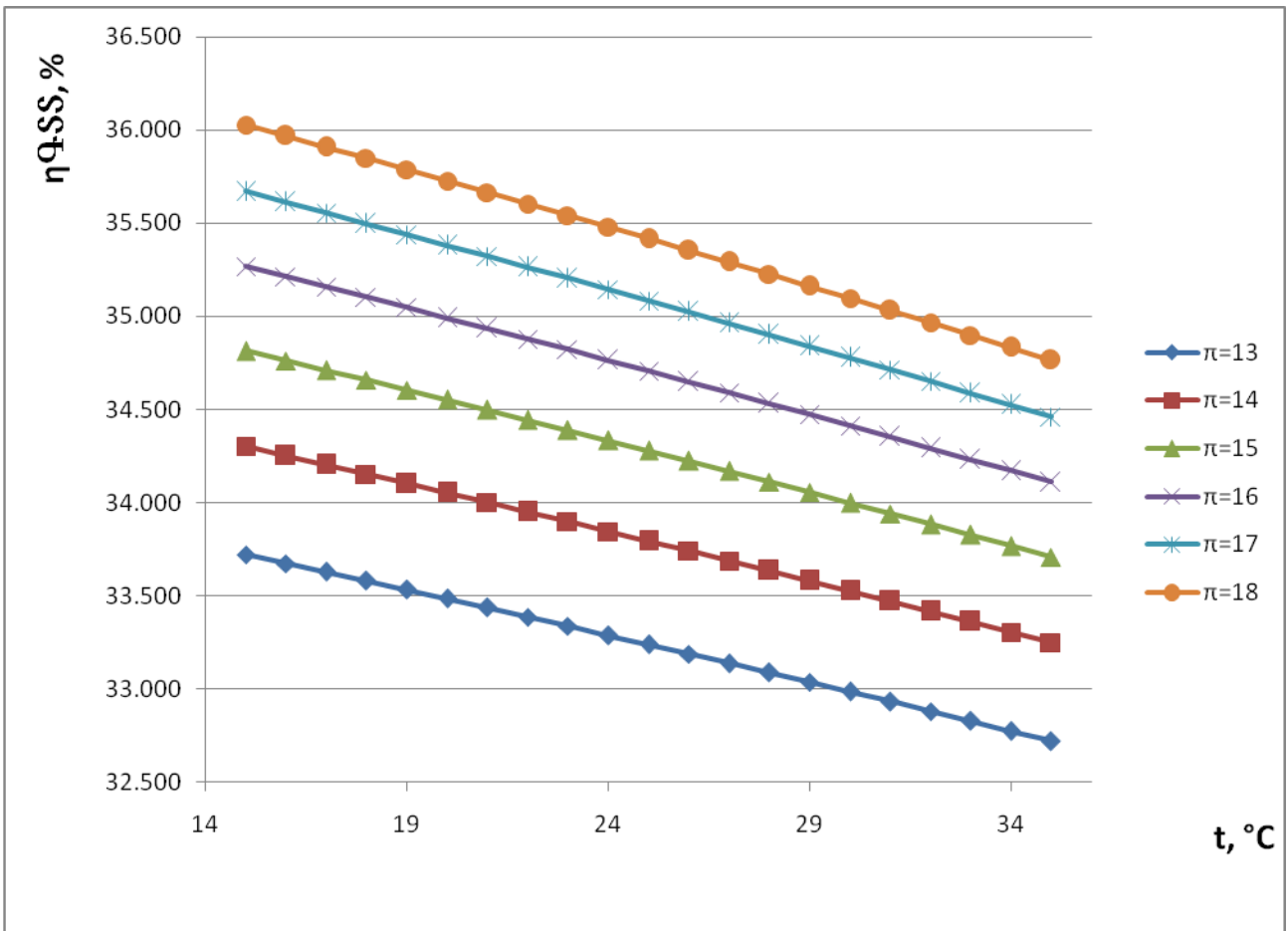
Ինչպես տեսնում ենք, կոմպրեսոր ներծծվող օդի ջերմաստիճանի բարձրացման հետևանքով մեծանում է ԳՏ-ի ներքին օգտակար հզորությունը, բայց և միևնույն ժամանակ մեծանում է կոմպրեսորի ներքին հզորությունը, ընդ որում ճնշման բարձրացման ցանկացած աստիճանի դեպքում ջերմաստիճանի միևնույն փոփոխության դեպքում կոմպրեսորի ներքին հզորությունը ավելի մեծ արժեքով է մեծանում, ինչով էլ պայմանավորված է, որ ներծծվող օդի ջերմաստիճանի բարձրացումը ընդհանուր առմամբ բերում է ԳՏՏ օգտակար հզորության նվազման(Նկ.3.14): Այդ նվազումը 15-ից 35 °C ջերմաստիճանի բարձրացման դեպքում,

Երբ կոմպրեսորում ճնշման բարձրացման աստիճանը ունի 13 արժեք կազմում է 0,5 ՄՎտ/(կգ/վ), իսկ 18 արժեքի դեպքում՝ 0,632:



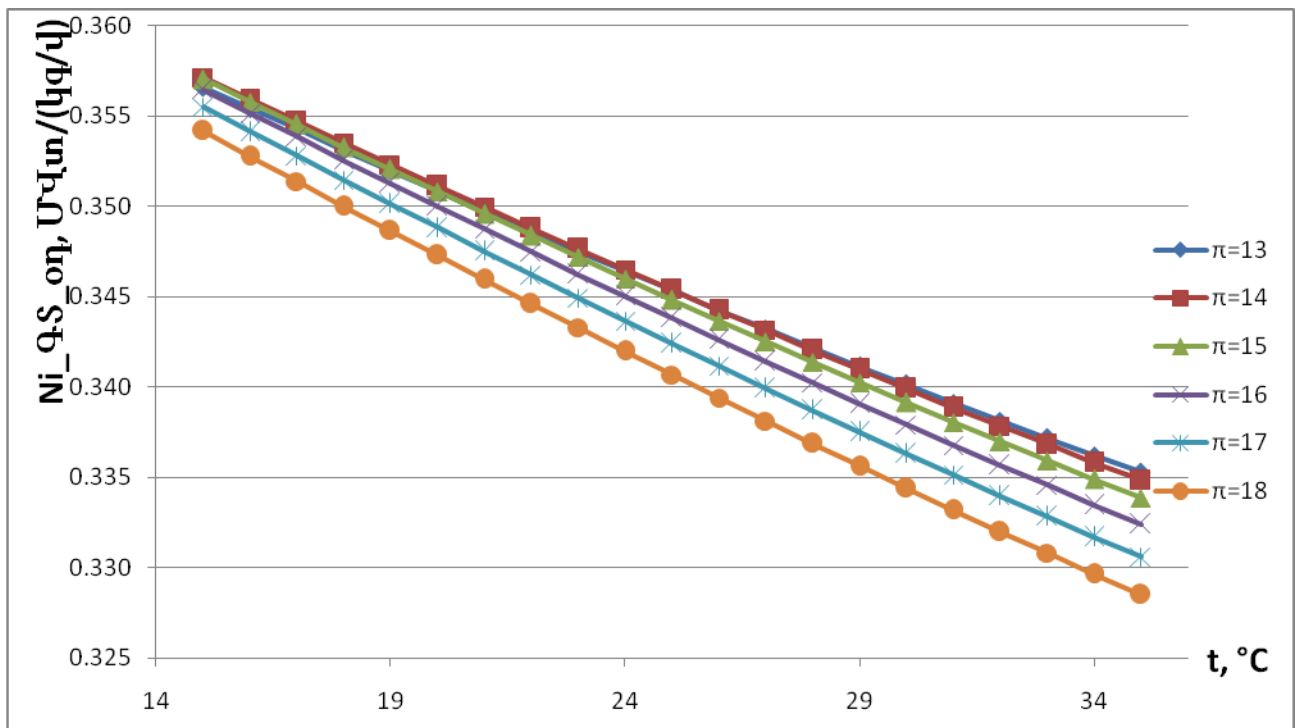
Նկ.3.15 ԳՏՏ-ից հեռացող ծխագագերի ջերմաստիճանի կախվածությունը կոմպրեսոր մատուցվող օդի ջերմաստիճանից կոմպրեսորում ճնշման բարձրացման տարբեր աստիճանների դեպքում

Նկ.3.15-ում պատկերված է ԳՏՏ-ից հեռացող ծխագագերի ջերմաստիճանի կախվածությունը ԳՏՏ-ի կոմպրեսոր մատուցվող օդի ջերմաստիճանից, դրանում ճնշման բարձրացման տարբեր աստիճանների դեպքում: Հեռացող ծխագագերի ջերմաստիճանը մյուս ելակետային պայմանների հաստատում մնալու պարագայում, ներծծվող օդի ջերմաստիճանի բարձրացմանը զուգընթաց նույնական բարձրանում է: Երբ, ճնշման բարձրացման աստիճանի արժեքը կոմպրեսորում հավասար է 13-ի ներծծվող օդի ջերմաստիճանի 15-ից 35 °C բարձրացումը հանգեցնում է ԳՏՏ-ից հեռացող ծխագագերի ջերմաստիճանի 1,782 °C-ով բարձրացման, իսկ ճնշման բարձրացման աստիճանի 18 արժեքի դեպքում՝ 1,793 °C-ով:



Նկ.3.16 ԳՏՏ-ի ՕԳԳ-ի կախվածությունը կոմպրեսոր մատուցվող օդի ջերմաստիճանից կոմպրեսորում ճնշման բարձրացման տարրեր աստիճանների դեպքում

ԳՏՏ-ի ՕԳԳ-ի կախվածությունը կոմպրեսոր ներծծվող օդի ջերմաստիճանից դրանում ճնշման բարձրացման աստիճանի տարրեր արժեքների դեպքում բերված է Ակ.3.16-ում պատկերված գրաֆիկում: Ընդհանուր առմամբ ԳՏՏ-ի ՕԳԳ-ն կոմպրեսոր ներծծվող օդի ջերմաստիճանի բարձրացման հետևանքով նվազում է: Ներծծվող օդի  $15^{\circ}\text{C}$ -ից  $35^{\circ}\text{C}$  բարձրանալու դեպքում, երբ կոմպրեսորում ճնշման բարձրացման աստիճանը հավասար է 13-ի, ԳՏՏ-ի ՕԳԳ-ն նվազում է 0,999 %-ով, իսկ երբ ճնշման բարձրացման աստիճանը հավասար է 18-ի՝ 1,262 %-ով: Այսինքն, ներծծվող օդի ջերմաստիճանի բարձրացման բացասական ազդեցությունը ԳՏՏ-ի ՕԳԳ-ի վրա այնքան ավելի մեծ է, որքան մեծ է ԳՏՏ-ի կոմպրեսորում ճնշման բարձրացման աստիճանի արժեքը[88]:

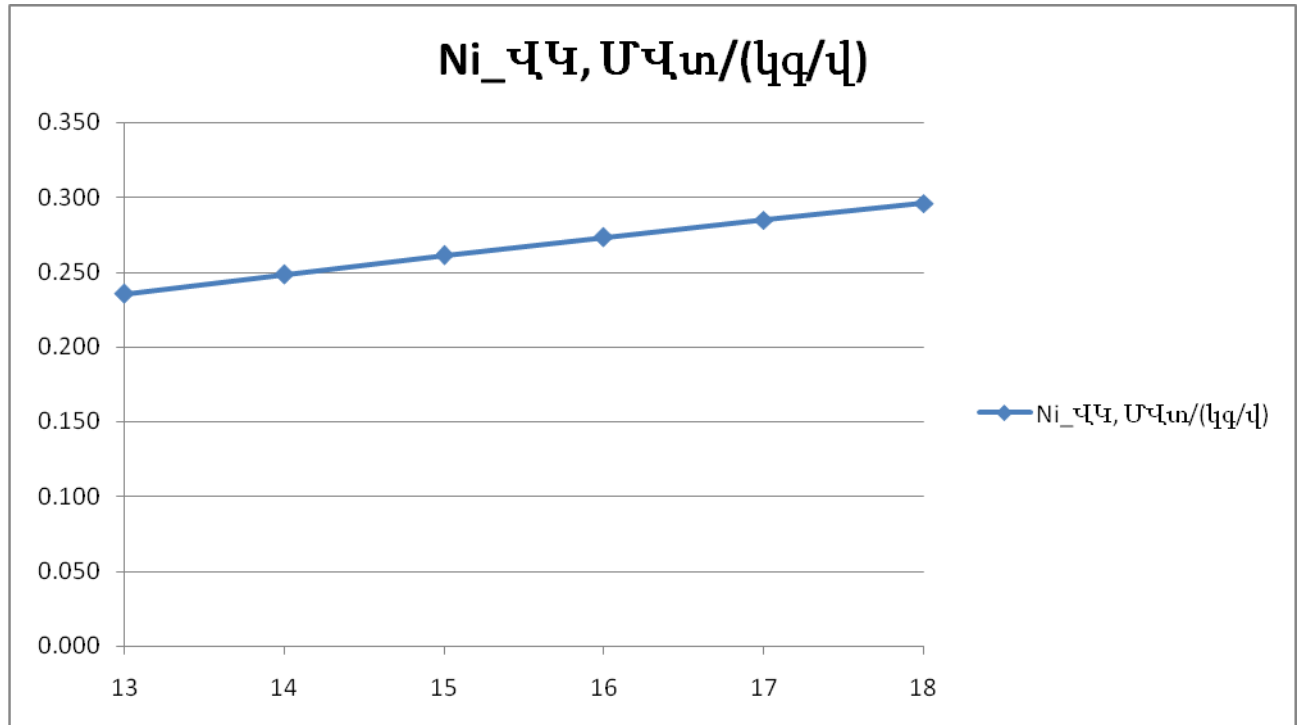


Նկ.3.17 ԳՏՏ-ի կոմպրեսորում  $1 \text{ kg}/\text{q}$  օդի ծախսի բերված ԳՏՏ հզորության կախվածությունը կոմպրեսոր մատուցվող օդի ջերմաստիճանից կոմպրեսորում ճնշման բարձրացման տարրեր աստիճանների դեպքում

ԳՏՏ-ի հզորությունը կոմպրեսորում  $1 \text{ kg}$  օդի հաշվով, ներծծվող օդի ջերմաստիճանի բարձրացման դեպքում նվազում է: Այդ կախվածությունը կոմպրեսորում ճնշման բարձրացման աստիճանի տարրեր արժեքների դեպքում բերված է Նկ.3.17-ում: Կոմպրեսորում օդի  $1 \text{ kg}/\text{q}$  ծախսի բերված ԳՏՏ հզորությունը ներծծվող օդի ջերմաստիճանի  $15$ -ից  $35 {}^{\circ}\text{C}$  բարձրանալուց նվազում է  $0,021 \text{ MPa}/(\text{kg}/\text{q})$ -ով, եթե կոմպրեսորում ճնշման բարձրացման աստիճանը կոմպրեսորում հավասար է  $13$ -ի և  $0,026 \text{ MPa}/(\text{kg}/\text{q})$ -ով, եթե ճնշման բարձրացման աստիճանը հավասար է  $18$ -ի:

ԳՏՏ-ի տուրբինի ներքին հզորության մյուս ամենամեծ սպառիչը կոմպրեսորից հետո հանդիսանում է վառելիքային կոմպրեսորը: Սակայն ժամանակակից ԳՏՏ-ների մոտ վառելիքային կոմպրեսորի շարժաբեր է հանդիսանում էլ. շարժիչը, ուստի վառելիքային կոմպրեսորը սպառում է, ոչ թե անմիջապես ԳՏ հզորությունը, այլ ԳՏՏ գեներատորի հզորության մի մասը: ԳՏՏ վառելիքային կոմպրեսորի հզորությունը կախված չէ կոմպրեսոր ներծծվող օդ ջերմաստիճանից: Եթե, համարենք, որ վառելիքային կոմպրեսոր ներծծվող վառելիքի ջերմաստիճանը մնում է հաստատուն, ապա վառելիքային կոմպրեսորի հզորությունը կախված է ԳՏՏ կոմպրեսորում ճնշման

բարձրացման աստիճանի արժեքից: Այդ կախվածությունը կոնպրեսորում ճնշման բարձրացման աստիճանի 13-ից 18 արժեքների դեպքում բերված է նկ.3.18-ում:



Նկ.3.18 ԳՏՏ-ի վառելիքային կոնպրեսորի 1կգ վառելիքի հաշվով ներքին հզորության կախվածությունը կոնպրեսորի ճնշման բարձրացման աստիճանի տարրեր արժեքներից

### 3.4 ԳՏՏ էներգետիկական ցուցանիշների հաշվարկի մշակված մեթոդի ստուգում՝ “Հրազդան-5” էներգաբլոկի ԳՏՏ-ի օրինակի վրա

“Հրազդան-5” էներգաբլոկում տեղակայված է 142,855 ՄՎտ հզորությամբ Ալստոն ընկերության արտադրած գազատուրբինային տեղակայանք: Էներգաբլոկի կարգաբերման աշխատանքների ավարտից հետո ԳՏՏ արտադրող ընկերության կողմից իրականացվել է նախագծային երաշխիքային ցուցանիշների ամփոփիչ ստուգում՝ փորձարկման միջոցով: Այդ փորձարկման արդյունքում հայտնի են դարձել տեղակայված ԳՏՏ-ի հետևյալ հիմնական ցուցանիշները՝

- ջերմության տեսակարար ծախսը ԳՏՏ-ում՝ 9750 կՋ/կՎտժ,
- ԳՏՏ հզորությունը՝ 142,855 ՄՎտ:

Նշված մեծությունները հաշվարկվել են մթնոլորտային պայմանների հետևյալ արժեքների համար՝

- ջերմաստիճան՝  $15^{\circ}\text{C}$ ,

- ճնշում՝ 0,822 Բար,
- հարաբերական խոնավություն՝ 60 % :

Փորձարկման ընթացքում ԳՏՏ մատուցվող վառելիքի ստորին բանվորական ջերմությունը ունեցել է 46910,7 կՋ/կգ արժեքը, իսկ օդի ծախսը կոմպրեսորում կազմել է 429,6 կգ/վ:

Քանի որ, 1 կՎտժ=3600 կՋ, ուստի ջերմության տեսակարար ծախսից կարելի է հաշվել ԳՏՏ ՕԳԳ-ը՝

$$\eta_{\text{ԳՏՏ}} = \frac{3600}{9750} \cdot 100\% = 36,92 \% : \quad (3.49)$$

Իրականացնենք “Յրազդան-5” էներգաբլոկի ԳՏՏ-ի ջերմային հաշվարկ մշակված մեթոդի միջոցով։ Դրա համար ելակետային պայմանները կունենան հետևյալ արժեքները՝

- Դրսի օդի ջերմաստիճան՝  $t_{\eta_0}=15 {}^{\circ}\text{C}$ ,
- դրսի օդի ճնշում՝  $P_{\eta_0}=0,81 \text{ մթն}$ ,
- դրսի օդի հարաբերական խոնավություն՝  $\varphi_{\eta_0}=60 \%$ ,
- վառելիքի այրման ստորին բանվորական ջերմություն՝  $Q_u^F=46910,7 \text{ կՋ/կգ}$ ,
- մատուցվող վառելիքի ճնշում՝  $P_{վառ}=1 \text{ ՄՊա}$ ,
- մատուցվող վառելիքի ջերմաստիճան՝  $t_{վառ}=15 {}^{\circ}\text{C}$ ,
- վառելիքի ավելցուկային ճնշումը այրման խցից առաջ՝  $\Delta P_{ան}=0,5 \text{ ՄՊա}$ ,
- կոմպրեսորում ճնշման բարձրացման աստիճան՝  $\pi_k=15,4$ ,
- տուրբինից առաջ ծխագագերի ջերմաստիճան՝  $t_{ԳՏՏw}=1111 {}^{\circ}\text{C}$ ,
- կոմպրեսորի իզոէնտրոպ ՕԳԳ՝  $\eta_d=88 \%$ ,
- գազատուրբինի ներքին հարաբերական ՕԳԳ՝  $\eta_{ԳՏՏ}=89 \%$ ,
- վառելիքային կոմպրեսորի իզոէնտրոպ ՕԳԳ՝  $\eta_{ՎԿ}=80 \%$ ,
- այրման խցի ՕԳԳ՝  $\eta_{ԱԽ}=99,5 \%$ ,
- ճնշման անկումը այրման խցում՝  $\delta P_{ան}=5 \%$ ,
- ճնշման անկումը գազային տուրբինում՝  $\delta P_{գտ}=2,1 \%$ :

Ներմուծելով նշված արժեքները հաշվարկային ծրագիր, կստանանք ԳՏՏ հետրյալ ցուցանիշները՝

- կոմպրեսորի ներքին իզորությունը բերված 1 կգ/վ վառելիքի ծախսի՝  $N_{i_d}=20,02 \text{ ՄՎտ}/(կգ/վ)$ ,

- գազատուրբինի ներքին հզորությունը բերված 1 կգ/վ վառելիքի ծախսի՝  $N_{i_{AS}} = 37,31 \text{ՄՎտ}/(\text{կգ/վ})$ ,
- վառելիքային կոմպրեսորի ներքին հզորությունը բերված 1 կգ/վ վառելիքի ծախսի՝  $N_{i_{AC}} = 0,115 \text{ՄՎտ}/(\text{կգ/վ})$ ,
- ԳՏՏ-ի ներին օգտակար հզորությունը բերված 1 կգ/վ վառելիքի ծախսի, որը հաշվի չի առնում մեխանիկական կորուստները  $N_i = 17,17 \text{ՄՎտ}/(\text{կգ/վ})$ ,
- ԳՏՏ-ի ՕԳԳ-ը՝  $\eta_{AS} = 36,6\%$ ,
- ԳՏՏ-ի հզորությունը բերված կոմպրեսորում 1 կգ/վ օդի ծախսի՝  $N_{i_{Og}} = 0,33 \text{ՄՎտ}/(\text{կգ/վ})$ ,

Հաշվարկենք ԳՏՏ հզորության և ՕԳԳ-ի առաջարկվող մեթոդի միջոցով հաշվարկի սխալների տոկոսները՝

$$\delta\eta = \frac{36,92 - 36,6}{36,92} \cdot 100\% = 0,87\% : \quad (3.50)$$

ԳՏՏ հզորությունը կարելի է հաշվել կոմպրեսորում 1 կգ/վ օդի ծախսի բերված ԳՏՏ-ի հզորության ( $N_{i_{Og}}$ ) արժեքը վառելիքի ծախսով բազմապատկելով՝

$$N = 0,33 \cdot 429,6 = 143,5 \text{ՄՎտ}:$$

ԳՏՏ հզորության հաշվարկի սխալի համար կստանանք՝

$$\delta N = \frac{143,5 - 142,855}{142,855} \cdot 100\% = 0,46\% : \quad (3.51)$$

Հաշվարկված սխալի տոկոսները գտնվում են ճարտարագիտական հաշվարկներում թույլատրելի սխալի սահմաններում, հետևաբար առաջարկվող մեթոդը կարելի է կիրառել հետագա ուսումնասիրությունների համար:

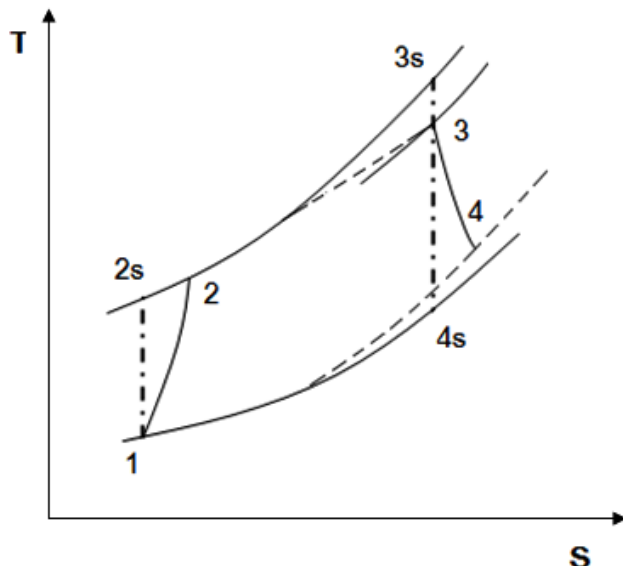
#### 4. ԳԱԶԱՏՈՒՐԲԻՆԱՅԻՆ ՏԵՂԱԿԱՅԱՆՔԻ ԿՈՄՊՐԵՍՈՐ ՆԵՐԾՎՈՂ ՕԴԻ ԶԵՐՄԱՍՏԻճԱՆԻ ՓՈՓՈԽՈՒԹՅԱՆ ԱԶԴԵՑՈՒԹՅՈՒՆԸ ՇՈԳԵԳԱԶԱՅԻՆ ՏԵՂԱԿԱՅԱՆՔԻ ԱՇԽԱՏԱՎԱՐԱՐՈՒԹՅՈՒՆ

##### 4.1 ԳՏՏ կոմպրեսոր ներծծվող օդի զերմաստիճանի ազդեցությունը օգտահանիչ կաթսայով ՇԳՏ աշխատանքի վրա

Պարզելու համար, թե ինչպիսի ազդեցություն է ունենում ԳՏՏ կոմպրեսոր ներծծվող օդի զերմաստիճանը գոլորշային ցիկլի աշխատանքի վրա, նախ դիտարկենք այդ ազդեցությունը ԳՏՏ կոմպրեսորի ծննդման բարձրացման աստիճանի վրա:

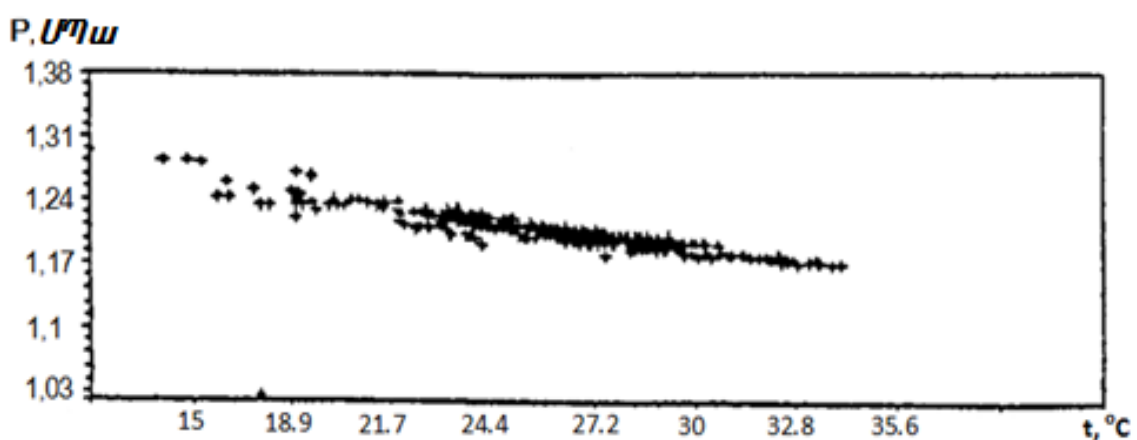
Գազատուրբինային տեղակայանքի (ԳՏՏ) իդեալական ցիկլը կազմված է կոմպրեսորում սեղմնան իզոէնտրոպ պրոցեսից (1-2s), այրման խցում զերմության

հաղորդման իզոբար պրոցեսից ( $2s$ - $3s$ ), տուրբինում իզոէնտրոպ ընդարձակումից( $3s$ - $4s$ ) և  $4s$ - $1$  պայմանական պրոցեսը փակում է ցիկլը (նկ.4.1): Իրական ԳՏՏ-ում, պայմանավորված շփման և այլ անհակադարձելի կորուստներով, պրոցեսն ընթանում է էնտրոպիայի աճով և ունի 1-2-3-4 տեսքը (նկ.4.1) [89]:



Նկ.4.1. Պարզ ԳՏՏ-ի աշխատանքային ցիկլը T-s դիագրամի վրա

Երբ բարձրանում է կոմպրեսոր ներծծվող օդի ջերմաստիճանը, 1 կետը նույն իզոբարով տեղաշարժվում է դեպի աջ ( $1-1'$ , նկ.4.3): Կոմպրեսորի ներքին հարաբերական ՕԳԳ-ի փոփոխությունը, կախված ներծծվող օդի ջերմաստիճանից, աննշան է և կարող է անտեսվել: Կոմպրեսորում ճնշման բարձրացման աստիճանի կախվածությունը ներծծվող օդի ջերմաստիճանից գնահատելու համար դիտարկենք նկ.4.2-ում պատկերված միջին իզորության “GE Frame 7F” ԳՏՏ-ի կոմպրեսոր մատուցվող օդի ջերմաստիճանից կախված դրա ելքում ճնշման արժեքների դիագրամը [90]:



Նկ.4.2. GT Frame 7F գազատուրբինի կոմպրեսորի ելքում ճնշման կախվածությունը դրսի օդի ջերմաստիճանից [90]

Քանի որ ԳՏՏ-ները որպես կոնոն նախագծվում են ներծծվող օդի  $15^{\circ}\text{C}$  ջերմաստիճանի համար, այդ ջերմաստիճանի դեպքում կոմպրեսորի ելքում օդի ճնշումը ունի իր անվանական արժեքը: Նկ.4.2-ում պատկերված դիագրամից վերցնելով ճնշման արժեքները և արտահայտելով դրանք տոկոսներով՝  $15^{\circ}\text{C}$  ջերմաստիճանի դեպքում անվանական ճնշման նկատմամբ կունենանք աղ.4.1-ում բերված տվյալները:

Աղյուսակ 4.1  
GT Frame 7F գազատուրբինի կոմպրեսորի ելքում ճնշման կախվածությունը  
կոմպրեսոր ներծծվող օդի ջերմաստիճանից

Կոմպրեսոր ներծծվող օդի ջերմաստիճան $t^{\circ}\text{C}$	Ճնշում կոմպրեսորի ելքում, $P\%$
15	100
18,9	99,2
21,7	96,5
24,4	95,5
27,2	93,9
30	92,8
32,8	91,7
35,6	90,1

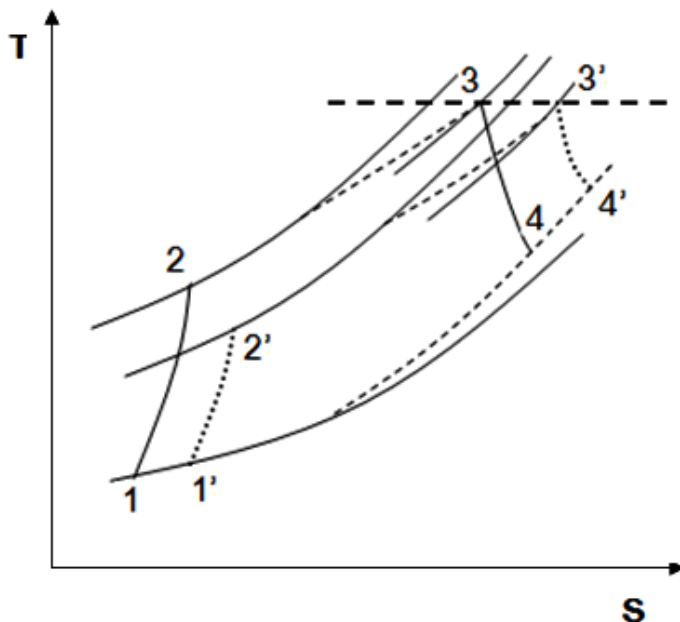
Աղ.4.1-ում ներկայացված տվյալների մոտարկման միջոցով ստանում ենք փորձնական բանաձև (4.1), որը բնութագրում է միջին հզորության գազտուրբինի կոմպրեսորի ելքային ճնշման փոփոխությունը ներծծվող օդի ջերմաստիճանի փոփոխման  $15\dots 35,5^{\circ}\text{C}$  տիրույթում՝ արտահայտված %-ով անվանական ճնշման նկատմամբ:

$$P\% = 0,363t - 6056,541/t^2 + 440,075/\ln(t) - 40,948, \quad (4.1)$$

որտեղ  $t$ -ն կոմպրեսոր ներծծվող օդի ջերմաստիճանն է  $^{\circ}\text{C}$ ,  $P\%$ -ը կոմպրեսորի ելքում ճնշումն է արտահայտված տոկոսներով ելակետային ճնշման նկատմամբ [91]:

Տուրբինի ներքին հարաբերական O44-ն պայմանավորված է գազային տուրբինի մուտքում ծխագագերի ջերմաստիճանով, որը ժամանակակից գազատուրբինային տեղակայանքներում բեռնվածքի՝ անվանականին մոտ տիրույթում մնում է հաստատուն, այսինքն՝ անկախ է կոմպրեսոր ներծծվող օդի ջերմաստիճանի արժեքից:

Փաստորեն, եթե կոմպրեսոր ներծծվող օդի  $15^{\circ}\text{C}$  ջերմաստիճանի պայմաններում ԳՏՏ-ի աշխատանքային ցիկլը ունի 1-2-3-4 տեսքը, ապա ներծծվող օդի  $15^{\circ}\text{C}$ -ից բարձր արժեքների դեպքում այն կունենա  $1'-2'-3'-4'$  տեսքը:



Նկ.4.3. ԳՏՏ-ի աշխատանքային ցիկլի փոփոխությունը դրսի օդի ջերմաստիճանի բարձրացման հետևանքով

Յաշվի առնելով վերը նկարագրվածը՝ ԳՏՏ ջերմային հաշվարկի մշակված մեթոդիկան կարելի է կիրառել կոմպրեսոր ներծծվող օդի բավարար ջերմաստիճանային տիրություն ԳՏՏ հզորությունը, ինչպես նաև ջրային մշուշապատման համակարգի կիրառման հետևանքով վերականգնվող հզորության մեծությունը գնահատելու համար:

ԳՏՏ ջերմային հաշվարկի գլուխ 3-ում առաջարկվող հաշվարկային ալգորիթմի միջոցով, մի շարք էներգետիկական ցուցանիշների շարքում հաշվարկվում է նաև տրված պայմանների դեպքում օդի խտությունը ( $\rho$ ),  $1$  կգ վառելիքի այրման համար տեսականորեն անհրաժեշտ օդի զանգվածը ( $Lo$ ),  $1$  կգ-ի հաշվով օդի ավելցուկային ծախսը (go<sub>t</sub>\_ավ), և ԳՏՏ-ի հզորությունը կոմպրեսորում  $1$  կգ օդի հաշվով ( $Ni\_o\eta$ ), որոնք կարևոր դեր են խաղում՝ ջերմաստիճանի փոփոխման ազդեցությունը շոգեուժային ցիկլի վրա գնահատելու համար: Եթե բարձրանում է ԳՏՏ կոմպրեսոր մատուցվող օդի ջերմաստիճանը, բարձրանում է նաև ԳՏՏ-ից հեռացող ծխագագերի ջերմաստիճանը, հետևաբար և՝ էնթալպիան: Սակայն քանի որ կոմպրեսորը հաստատում ծավալային մեքենա է, և օդի ջերմաստիճանի մեծացումը հանգեցնում է դրա խտության փոքրացման, ուստի ԳՏՏ կոմպրեսորով զանգվածային ծախսը ներծծվող օդի ջերմաստիճանի աճին զուգընթաց նվազում է: Ուստի, օդի

Չերմաստիճանի փոփոխության հետ կապված շղթեուժային տեղակայանքի հզորության փոփոխության գնահատման համար պետք է հաշվել ԳՏՏ-ից հեռացող ծխագագերի ջերմային էներգիայի փոփոխությունը:

Հեռացող ծխագագերի հետ տարվող ջերմության քանակությունը հավասար է հեռացող ծխագագերի էնթալպիայի և ծախսի արտադրյալին՝

$$Q = Gm^* h_{qs,h} \cdot \dot{V}/\rho, \quad (4.2)$$

որտեղ  $h_{qs,h}$ -ն ծխագագերի էնթալպիան է,  $Gm$ -ն հեռացող ծխագագերի ծախսն է կգ/վ-ով, որը յուրաքանչյուր տուրբինի համար հաշվարկվում է՝ Ելմելով նրա անվանական հզորությունից և ելակետային պայմանների դեպքում հաշվարկից, որի արդյունքներից օգտվելով՝ հաշվարկվում է ԳՏՏ-ի կոմպրեսորում օդի զանգվածային ծախսը ( $G_{km}$ ) և, հաշվի առնելով օդի խտությունը այդ պայմաններում, որոշվում է ԳՏՏ կոմպրեսորի ծավալային ծախսը ( $G_{kv}$ ), որը հաստատում է տրված ԳՏՏ-ի համար՝

$$G_{km} = N_{t_1} / N_{i\_o}, \quad \text{կգ/վ}, \quad (4.3)$$

որտեղ  $N_{t_1}$ -ը ելակետային պայմաններում ԳՏՏ-ի հզորությունն է:

$$G_{kv} = G_{km} / \rho, \quad \dot{V}^3 / \rho, \quad (4.4)$$

$$Gm = G_{kv} * \rho + G_{kv} * \rho / (\text{ցող\_ավ} + \text{Լօ}) \quad \text{կգ/վ}: \quad (4.5)$$

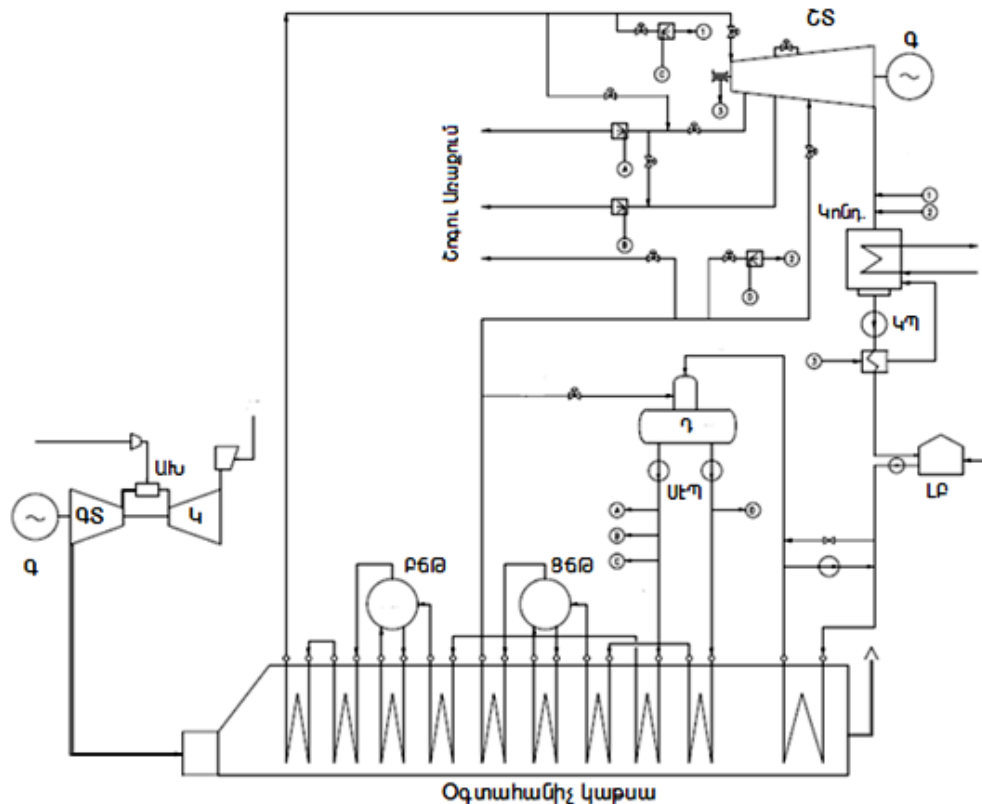
ՈՒՆԵՆԱԼՈՎ  $Q$  մեծությունը ելակետային պայմաններում և այդ դեպքում՝ ՇԳՏ-ի շղթետուրբինի հզորությունը, և հաշվարկելով դրսի օդի զանկացած ջերմաստիճանի դեպքում  $Q$  մեծության արժեքը, և այն համեմատելով ելակետային պայմանների իր արժեքի հետ, կարելի է գնահատել շղթետուրբինի զարգացվելիք հզորությունը տվյալ ջերմաստիճանի դեպքում [92]:

Առաջարկվող եղանակի միջոցով գնահատենք Երಡեկ-ի նոր էներգաբլոկի թերարտադրանքը տարվա ընթացքում ջերմաստիճանի նախագծայինից բարձր տիրություն:

#### 4.2 ԳՏՏ կոմպրեսոր ներծծվող օդի ջերմաստիճանով պայմանավորված ՇԳՏ հզորության թերարտադրությունը և դրա փոխհատուցումը ջրային մշուշապատման համակարգի կիրառմամբ (Երಡեկ-ի օրինակի վրա)

Երಡեկ-ի շղթեգազային տեղակայանքի սկզբունքային ջերմային սխեման ունի նկ.4.4-ում բերված տեսքը: Դաշվարկենք Երևանի պայմաններում տարվա ընթացքում կոմպրեսոր ներծծվող օդի բարձր ջերմաստիճանի հետ կապված էներգաբլոկի թերարտադրանքը: Էներգաբլոկը նախագծվել է տրված տարեկան միջին ջերմաստիճանի և հարաբերական խոնավության համար՝  $12^{\circ}\text{C}$  և  $56\%$

համապատասխանաբար, իսկ բարոմետրական ճնշումը Երևան քաղաքում կազմում է 91,202 կՊա. Օգտվելով §2.3-ում նշված ԳՏՏ հիմնական պարամետրերից հաշվարկենք ԳՏՏ հիմնական էներգետիկական ցուցանիշները կոմպրեսոր մատուցվող օդի նշված պայմանների համար:



Նկ.4.4 ԵրԶԷԿ-ի համակցված ցիկլով էներգաբլոկի ՍԶՍ, ԳՏ-գազային տուրբին, ՇՏ-շոգետուրբին, Գ-գեներատոր, Կ-կոմպրեսոր, Ախ-այրման խուց, Դ-դեաերատոր, Բնթ-բարձր ճնշման թմբուկ, Ցնթ-ցածր ճնշման թմբուկ, ԼԲ-լրասնուցման բաք, ՍԷՊ-սնող էլ.պոմպ, ԿՊ-կոնդենսատային պոմպ

Զերմային հաշվարկի ելակետային պայմանների համար կունենաք՝

- Դրսի օդի ջերմաստիճան՝  $t_{\eta_0}=12^{\circ}\text{C}$ ,
- Դրսի օդի ճնշում՝  $P_{\eta_0}=0,91 \text{ մթ}$ ,
- Դրսի օդի հարաբերական խոնավություն՝  $\phi_{\eta_0}=56\%$ ,
- Վառելիքի այրման ստորին բանվորական ջերմություն՝  $Q_U^F=47480 \text{ կՋ/կգ}$ ,
- մատուցվող վառելիքի ճնշում՝  $P_{վառ}=1 \text{ ՄՊա}$ ,
- մատուցվող վառելիքի ջերմաստիճան՝  $t_{վառ}=15^{\circ}\text{C}$ ,
- Վառելիքի ավելցուկային ճնշումը այրման խցից առաջ՝  $\Delta P_{ա/հ}=0,5 \text{ ՄՊա}$ ,
- կոմպրեսորում ճնշման բարձրացման աստիճան՝  $\pi_k=15,4$ ,

- տուրբինից առաջ ծխագագերի ջերմաստիճան՝  $t_{qsu}=1095^{\circ}C$ ,
- կոմպրեսորի հզունտրոպ ՕԳԳ՝  $\eta_{q1}=88\%$ ,
- գազատուրբինի ներքին հարաբերական ՕԳԳ՝  $\eta_{qs}=89\%$ ,
- վառելիքային կոմպրեսորի հզունտրոպ ՕԳԳ՝  $\eta_{q2}=80\%$ ,
- այրման խցի ՕԳԳ՝  $\eta_{sh}=99,5\%$ ,
- ճնշման անկումը այրման խցում՝  $\delta P_{sh}=5\%$ ,
- ճնշման անկումը գազային տուրբինում՝  $\delta P_{q3}=2,7\%$ :

Ճնշման անկումը գազային տուրբինում ստանում ենք օգտվելով օգտահանիչ կաթսայում ճնշման անկումից և դրանից հետո ճնշումից:

Նշված ելակետային պայմանների համար ԳՏՏ ջերմային հաշվարկի արդյունքներն են՝

- կոմպրեսորի ներքին հզորությունը բերված 1 կգ/վ վառելիքի ծախսի՝  $N_{i,q}=20,459 \text{ՄՎտ}/(\text{կգ/վ})$ ,
- գազատուրբինի ներքին հզորությունը բերված 1 կգ/վ վառելիքի ծախսի՝  $N_{i,qs}=37,91 \text{ՄՎտ}/(\text{կգ/վ})$ ,
- վառելիքային կոմպրեսորի ներքին հզորությունը բերված 1 կգ/վ վառելիքի ծախսի՝  $N_{i,q2}=0,129 \text{ՄՎտ}/(\text{կգ/վ})$ ,
- ԳՏՏ-ի ներին օգտակար հզորությունը բերված 1 կգ/վ վառելիքի ծախսի, որը հաշվի չի առնում մեխանիկական կորուստները  $N_i=17,319 \text{ՄՎտ}/(\text{կգ/վ})$ ,
- ԳՏՏ-ի ՕԳԳ-ը՝  $\eta_{qsu}=36,47\%$ ,
- ԳՏՏ-ի հզորությունը բերված կոմպրեսորում 1 կգ/վ օդի ծախսի՝  $N_{i,oq}=0,326 \text{ՄՎտ}/(\text{կգ/վ})$ :

Դիտարկվող գազատուրբինային տեղակայանքի կոմպրեսորում օդի ծավալային ծախսը  $15^{\circ}C$  ջերմաստիճանի և  $60\%$  հարաբերաման խոնավության պարագայում հավասար է  $523,08 \text{կգ/վ}$  [93]: Քանի որ այդ պայմաններում օդի խտությունը կազմում է  $1,22 \text{ կգ/մ}^3$ , ապա կոմպրեսորի ծավալային ծախսը կազմում է  $428,65 \text{ մ}^3/\text{վ}$ : Այս ծավալային ծախսը մնում է հաստատում:

Յետևաբար ԳՏՏ հզորությունը նշված նախագծային պայմաններում հավասար կլինի 155,2 ՄՎտ: Այս նույն պայմաններում Երಡիկ-ի համակցված ցիկլով աշխատող էլեկտրակայանում շոգետուրբինի հզորությունը հավասար է  $63,4 \text{ ՄՎտ}$ : Q մեծությունը այդ պայմաններում հավասար է  $410878,5 \text{ կԶ/վ}$ :

Գնահատենք էլ. էներգիայի թերարտադրությունը տարվա կտրվածքով օդի ջերմաստիճանի  $12^{\circ}\text{C}$  բարձր լինելու հետևանքով: Վերցնենք միջին հարաբերական խոնավությունը Երևան քաղաքի համար այն ամիսներին, որոնց ընթացքում միջին ջերմաստիճանը բարձր է  $15^{\circ}\text{C}$ , քանի որ դրանից ցածր ջերմաստիճանների դեպքում հովացման հետևանքով ԳՏՏ կոմպրեսորի մուտքում ստացվում են վտանգավոր ջերմաստիճաններ, կապված սառցակալման հնարավորության հետ: Դրանք մարտից նոյեմբեր ամիսներն են: Սակայն մարտ և նոյեմբեր ամիսներին  $15^{\circ}\text{C}$  բարձր ջերմաստիճանների միջին տևողականությունը հավասար է ընդամենը 6,72 ժամ, ուստի այդ ամիսները դուրս են գալիս դիտարկվող գոտուց: Միջին հարաբերական խոնավությունը մնացած դիտարկվող ամիսների ընթացքում լինում է 49,857 % [94]:

#### Աղյուսակ 4.2.

Միջին ամսեկան ջերմաստիճանների տևողականությունները ըստ ամիսների Երևան քաղաքի համար [95]

Ջերմաստիճան		Ամիսներ									
-ից	մինչև	3	4	5	6	7	8	9	10	11	
15,1	20	0,2	6,7	16,8	7,9	0,6	0,8	12	8,5	0,08	
20,1	25	0	0,3	7	17,4	12,9	13,9	14,1	0,5	0	
25,1	30	0	0	0	4,1	16,4	15,9	1,5	0	0	
30,1	35	0	0	0	0	1	0,4	0	0	0	

#### Աղյուսակ 4.3

Միջին ամսեկան ջերմաստիճանների տևողականությունները ըստ ժամերի Երևան քաղաքի համար

Միջին ջերմա ստիճան	Ժամեր									
	3-րդ ամիս	4-րդ ամիս	5-րդ ամիս	6-րդ ամիս	7-րդ ամիս	8-րդ ամիս	9-րդ ամիս	10-րդ ամիս	11-րդ ամիս	Գու- մար
17,5	-	160,8	403,2	189,6	14,4	19,2	288	204	-	1279,2
22,5	0	7,2	168	417,6	309,6	333,6	338,4	12	0	1586,4
27,5	0	0	0	98,4	393,6	381,6	36	0	0	909,6
32,5	0	0	0	0	24	9,6	0	0	0	33,6

Կորուստները գնահատվում են ըստ ջերմաստիճանային տիրույթների՝  $5^{\circ}\text{C}$  քայլով: Այսինքն, նախ հաշվարկվում է կորուստը պայմանավորված  $17,5^{\circ}\text{C}$  միջին ջերմաստիճանի տևողականության դեպքում, իետո՛  $22,5^{\circ}\text{C}$  միջին տևողականության հետ կապված և այլն: Բոլոր կորուստների գումարը կլինի միջին տարեկան կորուստը կապված ջերմաստիճանի բարձր լինելու հետ:  $17,5^{\circ}\text{C}$  միջին ջերմաստիճան նկատվում է տարեկան  $1279,2$  ժամ: Այդ ջերմաստիճանի դեպքում ԳՏՏ կոմպրեսորում ճնշման բարձրացման աստիճանը հաշվարկվում է (4.1) բանաձևով և հավասար է  $15^{\circ}\text{C}$ -ում իր

ունեցած արժեքի 99,4 %-ին՝ 15,3: Կառուցենք աղյուսակ, որում արտահայտված կլինեն աղ.4.3-ում նշված ջերմաստիճանների և տևողականությունների դեպքում դիտարկվող էներգաբլոկի գազատուրբինային և շոգենման տեղակայանքների հզորությունները գնահատված վերը նկարագրված մեթոդով, արտադրանքը և վառելիքի ծախսը (աղ.4.4):

Ինչպես ցույց են տալիս աղ.4.4-ում բերված հաշվարկների արդյունքները ԵրԶԵԿ-ի նոր էներգաբլոկը դիտարկվող ջերմաստիճանային տևողականությամբ տիրություն արտադրում է 783,7 մլն. կվտ.ժ էլ. Էներգիա: Սակայն եթե դրա հզորությունը լիներ հավասար իր նախագծայինին, այդ նույն տիրություն այն կարտադրեր 832,6 մլն. կվտ.ժ էլ. Էներգիա: Այսինքն դիտարկվող 3808,8 ժամերի ընթացքում կայանի թերարտադրությունը կազմում է 48,8 մլն. կվտ.ժամ:

Հզորության տեսանկյունից աղ.4.4-ում բերված տվյալները վկայում են, որ  $17,5^{\circ}\text{C}$  միջին ջերմաստիճանի նկատվող 1279,2 ժամերի ընթացքում ԳՏՏ հզորությունը կազմում է նախագծայինի 95,9 %-ը, իսկ շոգետուրբինինը՝ 98,2 %: Իսկ  $32,5^{\circ}\text{C}$  միջին ջերմաստիճանի դիտարկվող 33,6 ժամերի ընթացքում ԳՏՏ հզորությունը ընկնում է մինչև նախագծայինի 86,2 %-ին հավասար:

Այժմ, ենթադրենք, որ էներգաբլոկի ԳՏՏ-ի վրա տեղակայվել է կոմպրեսոր մատուցվող օդի ջրային մշուշապատման հովացման համակարգ: Այդ դեպքում ԳՏՏ մատուցվող օդը հովացվում է մինչև տվյալ մքնոլորտային ճնշմանը համապատասխան և դիտարկվող տևողականություններով միջին ջերմաստիճանների դեպքում հաստատվող խոնավ ջերմաչափի ջերմաստիճանին: Իսկ հարաբերական խոնավությունը հասնում է 100 %-ի: Այդ ջերմաստիճանները և դրանց դեպքում ԳՏՏ ջերմային հաշվարկի արդյունքները, ստեղծված հզորությունը և վառելիքի ծախսերը բերված են աղ.4.5-ում:

Աղյուսակ 4.4

Երջեկի գազատուրբինային և շոգեուժային տեղակայանքների հզորությունները և գումարային արտադրանքը դիտարկվող տևողականությամբ չերմաստիճանների դեպքում

$t, {}^{\circ}C$	17,5	22,5	27,5	32,5
$\pi$	15,3	14,9	14,4	14,1
Ni_օղ, $ՄՎտ/(կգ/վ)$	0,319	0,313	0,308	0,303
Ni_ցՏ, $ՄՎտ/(կգ/վ)$	38,35	38,28	38,17	38,12
Ni_կ, $ՄՎտ/(կգ/վ)$	21,06	21,21	21,33	21,50
Ni_վկ, $ՄՎտ/(կգ/վ)$	0,129	0,124	0,119	0,116
$\eta, \%$	36,14	35,67	35,19	34,75
Ni, $ՄՎտ/(կգ/վ)$	17,16	16,94	16,71	16,49
Q, $կԶ/վ$	403523,6	399460,2	395781,5	391986,7
N_ցՏ, $ՄՎտ$	148,8	143,6	138,6	133,9
N_ցՏ, $ՄՎտ$	62,3	61,6	61,07	60,5
T, $\sigma$	1279,2	1586,4	909,6	33,6
$W_{\Sigma}, կՎտ \sigma$	$270 \times 10^6$	$325,6 \times 10^6$	$181,6 \times 10^6$	$6,5 \times 10^6$
$G_{\Psi, \Sigma}, m$	$39,9 \times 10^3$	$48,4 \times 10^3$	$27,2 \times 10^3$	$0,98 \times 10^3$

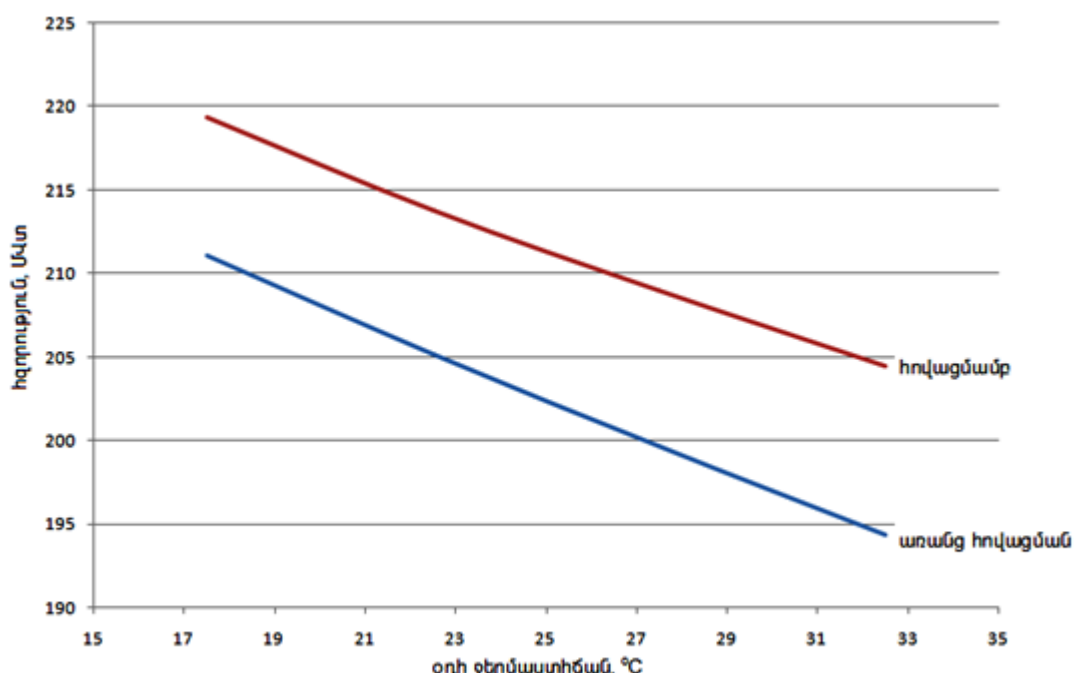
Աղյուսակ 4.5

Երջեկի գազատուրբինային և շոգեուժային տեղակայանքների հզորությունները և գումարային արտադրանքը դիտարկվող տևողականությամբ չերմաստիճանների պայմաններում հովացման համակարգի կիրառման դեպքում

$t, {}^{\circ}C$	17,5	22,5	27,5	32,5
$t_h, {}^{\circ}C$	11,54	15,65	19,77	23,92
$\pi$	15,4	15,4	15,1	14,7
Ni_օղ, $ՄՎտ/(կգ/վ)$	0,327	0,323	0,319	0,315
Ni_ցՏ, $ՄՎտ/(կգ/վ)$	37,82	38,20	38,21	38,08
Ni_կ, $ՄՎտ/(կգ/վ)$	20,36	20,85	21,04	21,10
Ni_վկ, $ՄՎտ/(կգ/վ)$	0,147	0,147	0,127	0,123
$\eta, \%$	36,46	36,23	35,89	35,48
Ni, $ՄՎտ/(կգ/վ)$	17,31	17,20	17,04	16,85
Q, $կԶ/վ$	412340	406686	403063	400341
N_ցՏ, $ՄՎտ$	155,8	151,07	146,8	142,7
N_ցՏ, $ՄՎտ$	63,6	62,7	62,2	61,8
T, $\sigma$	1279,2	1586,4	909,6	33,6
$W_{\Sigma}, կՎտ \sigma$	$280,7 \times 10^6$	$339,2 \times 10^6$	$190,1 \times 10^6$	$6,9 \times 10^6$
$G_{\Psi, \Sigma}, m$	$41,6 \times 10^3$	$50,2 \times 10^3$	$28,2 \times 10^3$	$1,02 \times 10^3$

Ինչպես տեսնում ենք աղ.4.5-ում բերված տվյալներից, ԳՏՏ կոմպրեսոր մատուցվող օդի հովացման ջրային մշուշապատման համակարգի կիրառության արդյունքում, դիտարկվող ժամանակահատվածում հնարավոր է արտադրել 816,9 մլ՛. կՎտ.Ժ էլ. Էներգիա: Այսինքն բլոկը հովացման համակարգի կիրառման արդյունքում արտադրում է իր նախագծային արտադրանքի 98,1 %-ը, մինչդեռ առանց հովացման համակարգի այն արտադրում է 94,1 %-ը: Վերականգնված արտադրանքը կազմում է 33,23 մլ՛. կՎտ.Ժամ, կամ թերարտադրված էլ. էներգիայի 68 %-ը և այդ փոխհատուցված արտադրանքի համար վառելիքի ծախսը կազմում է 131,2 գր.գագ/կՎտ.Ժ:

Կառուցենք գրաֆիկ, որում պատկերված կլինեն ԵրԶԵԿ-ի համակցված էներգաբլոկի գումարային հզորությունները առանց հովացման և հովացման համակարգի կիրառմանը՝ դիտարկվող միջին ջերմաստիճանների դեպքում(Նկ.4.5):



Նկ.4.5 ԵրԶԵԿ-ի համակցված էներգաբլոկի հզորության կախվածությունը կոմպրեսոր ներծծվող օդի ջերմաստիճանից:

Նկ.4.5-ում ներկայացված կախվածության հիման վրա կազմվել են ռեգուլյար բանաձևեր, որոնց միջոցով հնարավոր է գնահատել ԵրԶԵԿ-ի համակցված ցիկլով աշխատող էներգաբլոկի գումարային հզորությունները կախված դրսի օդի ջերմաստիճանից՝ հովացման համակարգի բացակայության և առկայության դեպքերի համար: Այսպես 4.6 բանաձևի միջոցով կարելի է հաշվել հզորությունը առանց

հովացման համակարգի, իսկ 4.7 բանաձևով՝ հովացման համակարգի աշխատանքի դեպքում:

$$N = -1,11*t + 230,4, \quad (4.6)$$

$$N_h = -0,98*t + 236,4: \quad (4.7)$$

#### 4.3 ԳՏՏ կոմպրեսորներծվող օդի ջրային մշուշապատման համակարգի կիրառման տեխնիկատնտեսական հաշվարկը (ԵրԶԵԿ-ի օրինակի վրա)

ԳՏՏ կոմպրեսոր ներծծվող օդի հովացման համակարգերի կիրառելության տեխնիկական և անվտանգության սահմանների մասին մանրամասն ներկայացվել է առաջին գլխում: Այժմ դիտարկենք դրանցից ջրային մշուշապատման համակարգի՝ կիրառելիության շահավետության սահմանները: Ջրային մշուշապատման համակարգի աշխատանքի ժամանակ ծախսվում է էլ. էներգիա և քիմիապես մաքրված ջուր, որը պատրաստվում է կայանի քիմիական արտարամասում, ինչպես նաև հավելյալ վառելիք: Համակարգի կիրառման օգուտը հանդիսանում է դրա բերած հզորության ավելացման հաշվին արտադրված էլ. էներգիան: Համակարգի տարեկան շահագործման ծախսերի համար կարելի է գրել՝

$$Z = \sigma * K + \Theta, \quad (4.8)$$

որտեղ 3-ն տարեկան ծախսերն են, σ-ն կապիտալ ներդրումների ետգնման գործակիցն է, K-ն կապիտալ ներդրումները, Θ-ն տարեկան շահագործման ծախսերը:

Հովացման համակարգի ստեղծած հավելյալ եկամուտը (Π) կլինի դրա աշխատանքով պայմանավորված ավել արտադրված էլ. էներգիայի վաճառքից գոյացած եկամուտը:

Հովացման ջրային մշուշապատման համակարգի տեղակայման արժեքը հաշվարկվում է ըստ էքսպերտային գնահատման արժեքի, որը կազմում է 4 ֆ/կվտ տեղակայված հզորության ըստ նախագծային հզորության [96]: Այսինքն, ԵրԶԵԿ-ի դեպքում այդ հզորությունը կազմում է 172000 կվտ, որը հանդիսանում է միայն ԳՏՏ-ի հզորությունը, քանի որ հովացման համակարգի ծեզ կախված չէ ԳՏՏ-ի համակցված կամ պարզ ցիկլով աշխատելու փաստից: Քետևաբար հովացման համակարգի տեղակայման արժեքը կլինի 330,24 մլն. դր:

$$K = 330240000 \text{ դր:}$$

Տարեկան շահագործման ծախսերի և հավելյալ եկամուտների համար կարող ենք գրել՝

$$\Theta = \Theta_{tL} + \Theta_{\varrho} + \Theta_{\psi}, \quad (4.9)$$

$$\Theta_{tL} = W_{in} * c_{tL} * T, \quad (4.10)$$

$$\Theta_{\varrho} = G_{\varrho} * c_{\varrho} * T, \quad (4.11)$$

$$\Theta_{\psi} = G_{h.\psi} * c_{\psi} * T, \quad (4.12)$$

$$\Pi = \Pi_{tL}, \quad (4.13)$$

$$\Pi_{tL} = \Delta N * c_{tL} * T, \quad (4.14)$$

որտեղ  $\tau$ -ն հովացման համակարգի կիրառման տևողությունն է,  $\Delta N$ -ը հովացման համակարգի կիրառման հետևանքով ավելացած հզորության չափն է (կվտ),  $c_{tL}$ -ն էլ. էներգիայի ինքնարժեքը (դր),  $c_{\varrho}$ -ն քիմիապես մաքրված ջրի ինքնարժեքն է (դր),  $c_{\psi}$ -ն վառելիքի գինն է (դր),  $W_{in}$ -ն հովացման տեղակայանքի հզորությունն է (կվտ),  $G_{\varrho}$ -ն հովացման համար ծախսվող ջրի քանակությունն է,  $G_{h.\psi}$ -ն հավելյալ ծախսվող վառելիքի քանակն է:

Քիմիապես աղազրկված ջրի ինքնարժեքը հաշվարկվել է Յրազդանի 5-րդ էներգաբլոկում տեղակայված քիմական արտադրամասի աղազրկման տեղակայանքի տվյալների հիման վրա: Քանի որ կայանի սակագնի մեջ արդեն իսկ ներառված է արտադրվող քիմիապես աղազրկված ջրի ինքնարժեքը, և, որի մեջ իր հերթին մտնում են քիմիական արտադրամասում տեղակայված սարքավորումների կապիտալ ներդրումները, ամորտիզացիոն ծախսերը և այլն, ուստի խոնավ հովացման համակարգի համար օգտագործվող ջրի ինքնարժեքը պարզելու նպատակով անհրաժեշտ է հաշվարկել միայն պահանջվող հավելյալ ջրի արտադրության վրա ծախսվող նյութերի և հում ջրի գների հետ կապված ծախսերը:

Այսպիսով, ըստ Յրազդանի 5-րդ էներգաբլոկում տեղակայված ջրի աղազրկման տեղակայանքի անձնագրային տվյալների 1000  $m^3$  քիմիապես աղազրկված ջուր ստանալու համար անհրաժեշտ է 1650  $m^3$  հում ջուր: Որպես հում ջուր Երևանի ԶԵԿ-ը օգտագործում է խմելու ջուր, որի արժեքը ըստ ԵրևանՁուր ընկերության կողմից սահմանված սակագնի կազմում է 170,256 դր/ $m^3$ : Պահանջվող նյութ բաղադրիչների քանակները և արժեքները ներկայացված են աղ.4.6 –ում:

#### Աղյուսակ 4.6.

Քիմիապես աղագրկված (ՔԱ) ջրի պատրաստման համար անհրաժեշտ ռեգենտների անվանումները, պահանջվող քանակությունները և գները:

	ՔԱ ջրի արտադրության համար պահանջվող ռեգենտի անվանում	Քանակություն		Ռեգենտի միավորի գինը		Ռեգենտի գինը 1մ³ ՔԱ ջրի արտադրության համար	
		չափ. միավ որ	մեծութ.	չափ. միավ որ	մեծութ.	չափ. միա վոր	մեծութ.
1	Յիառքլորիդ ԳОСТ 11086-76	գր/մ³	9,720	\$ / կգ	0,660	դր/մ³	3,1
2	Լիմոնաբբու ԳОСՏ 908-79	գր/մ³	23,600	\$ / կգ	3,240	դր/մ³	36,7
3	Նատրիումի հիդրօքսիդ, պինդ ԳОСՏ 2263-79	գր/մ³	21,400	\$ / կգ	1,800	դր/մ³	18,5
4	Նատրիումի մետաքսուլֆիտ ԳОСՏ 11683-76	գր/մ³	1,530	\$ / կգ	3,600	դր/մ³	2,6
5	Կոագույանտ՝ այումինի առլիոքսիդորիդ	գր/մ³	58,200	\$ / կգ	2,700	դր/մ³	75,4
6	Կայունացուցիչ Purotech R0107	գր/մ³	2,920	€ / կգ	3,444	դր/մ³	5,3
7	Քարտրիջ 2.5" x 40" 5 մկմ	հատ/ մ³	0,00067	\$ / հատ	48,00	դր/մ³	15,4

Աղ.4.6-ում բերված տվյալների և հում ջրի գնի հիման վրա հաշվարկների արդյունքում 1 մ³ քիմիապես աղագրկված ջրի համար ստանում ենք 438 դր/մ³ արժեքը:

Հովացման տեղակայանքի հզորության ( $W_{\text{ա}}$ ) համար կարելի է գրել՝

$$W_{\text{ա}} = k_2 \frac{\rho G_p}{\eta_w \eta_z}, \quad (4.15)$$

որտեղ  $P$ -ն ջուրը մղող պոմահի զարգացրած ճնշումն է,  $\rho$ ՝ աղ,  $G_p$ -ն ջրի ծախսն է,  $m^3/\text{կով}$ ,  $k_2$ -ն շարժիչի պաշարի գործակիցն է,  $\eta_w$ -ն և  $\eta_z$ -ն համապատասխանաբար պոմահի և շարժիչի ՕԳԳ-ներն են:

Երբ միջին ջերմաստիճանը հավասար է  $17,5^{\circ}\text{C}$ , տևողականությունը՝  $T=1279,2$  ժամ. Պոմահի զարգացրած ճնշումը այնքան է, ինչքան, որ պահանջվում է հովացման համակարգի աշխատանքի համար՝  $P=20 \text{ U}^{\text{Պա}}$ .  $k_w$ -ն ընդունում ենք հավասար 1,2-ի:  $\eta_w=85\%$ ,  $\eta_z=86\%$ : Ըստ 91,202 կՊա բարոմետրական ճնշման և 49,857 % հարաբերական խոնավության,  $17,5^{\circ}\text{C}$  ջերմաստիճանին համապատասխան խոնավ

Չերմաչափի ջերմաստիճանը հավասար է  $11,54^{\circ}C$ :  $G_p$ -ն հաշվարկելու համար, օգտվում ենք ԳՏՏ ջերմային հաշվարկի ալգորիթմից, որում հաշվարկվում է տվյալ մթնոլորտային պայմանների դեպքում օդի զանգվածային խոնավապարունակությունը՝  $d_{\eta_0}$ -ն: Նախ հաշվարկելով առանց հովացման դեպքի համար  $d_{\eta_0}$ -ն և այն բազմապատկելով այդ դեպքում ԳՏՏ կոմպրեսորում օդի զանգվածային ծախսով ստանում ենք՝ 3,21 կգ/վ: Հովացման համակարգի աշխատանքի դեպքում կոմպրեսորի մուտքում օդի հարաբերական խոնավությունը հասնում է 100 %-ի, և արդեն հովացած օդի դեպքում հաշվարկելով  $d_{\eta_0}$ -ն և բազմապատկելով այն այդ դեպքում օդի մասսայական ծախսով ստանում ենք 4,49 կգ/վ: Այսինքն հովացման համակարգի աշխատանքի համար անհրաժեշտ է 1,27 կգ/վ ջրի ծախս ապահովել: Որի դեպքում պոմադի հզորության համար կստանանք 41,9 կՎտ: Հզորության և գազի ծախսի ավելացումը բերված են աղ.4.1.4 – ում: Երಡեկ-ի համար գազի գինը՝  $132,95 \text{ դր/մ}^3$  է, իսկ առաքվող էլ. էներգիայի ինքնարժեքը  $15,111 \text{ դր/կՎտժ}$  Այս բոլորը հաշվի առնելով, կազմենք աղյուսակ, որում պատկերված կլիմեն աղ.4.2.2-ում բերված դիտարկվող միջին ջերմաստիճանների դեպքում, վերը նկարագրված հաշվարկների արդյունքները (Աղ.4.7) [97]:

#### Աղյուսակ 4.7

Զրային մշուշապատմամբ հովացման համակարգի կիրառման տնտեսական ցուցանիշները Երಡեկ-ի համակցված ցիկլով էներգաբլոկի համար

Առանց հովացման		հովացմամբ		$\tau, \text{ժամ}$	$G_{\text{ջուր}}, \text{կգ/վ}$	$N_{\text{պոմա}}, \text{կՎտ}$	$\Delta N, \text{կՎտ}$	$\Theta, \text{դր}$	$\Pi, \text{դր}$
$t, {}^{\circ}C$	$\varphi, \%$	$t, {}^{\circ}C$	$\varphi, \%$						
17,5	49,9	11,5	100	1279,2	1,27	41,9	8374,5	3641876	161869108
22,5	49,9	15,6	100	1586,4	4,66	153,6	8610	15650453	206383598
27,5	49,9	19,7	100	909,6	1,67	55,9	9362	3391554	128672064
32,5	49,9	23,9	100	33,6	1,94	63,9	10150	142864	5152966

Ինչպես երևում է աղ.4.7-ից, ամբողջ տարվա ընթացքում հովացման համակարգի 3808,8 ժամ աշխատանքի ընթացքում ծախսվում է 22,8 մլն. դր հավելյալ վառելիքի, աղազրկված ջրի և պոմած ծախսած էլ. էներգիայի համար, իսկ ավելացած հզորության հաշվին արտադրվում է 502,1 մլն. դր արժողությամբ էլ.էներգիա: Ուստի տարեկան հավելյալ եկամուտի և ծախսերի տարբերությունը կազմում է 479,2 մլն. դր:

Կատարենք տարեկան շահագործման ծախսերի և հավելյալ եկամուտի տարբերության հաշվարկ երկու տարբերակով՝ առաջինում ընդունելով օ-ն հավասար 0,121-ի, որը համապատասխանում է 8,3 ետգնման տարիներին, որը ընդունված գործակից է էներգետիկական օբյեկտների համար: Երկրորդ դեպքում հաշվարկենք

տարեկան եկամուտը, և գտնենք օ-ի նվազագույն արժեքը, այսինքն կապիտալ ներդրումների ետգնման նվազագույն ժամկետը: օ-ի 0,121 արժեքի համար՝

$$3=0,121*330240000+22826748=62785788 \text{ դր, իսկ}$$

$\Pi=502077738 \text{ դր:}$

$\Pi_{\text{ւստի}} \Pi-3=439291950 \text{ դր:}$

Այսինքն, տարեկան մաքուր հավելյալ եկամուտը կկազմի 439,3 մլն. դր:

Երկրորդ դեպքի համար հաշվարկենք 3-ն առանց կապիտալ ներդրումների ետգնման մասնաբաժնի, այն հավասար կլինի 22,8 մլն. դր, իսկ  $\Pi-3$  կրկին հավասար կլինի՝ 502,1 մլն. դր: Եվ  $\Pi-3=479,2$  մլն. դր: Եթե  $K-3$  բաժանենք ( $\Pi-3$ )-ի վրա կստանանք կապիտալ ներդրումների ետգնման նվազագույն ժամկետը՝ 0,689 տարի, կամ  $s=1,45$ -ի:

## ԵԶՐԱԿԱՑՈՒԹՅՈՒՆՆԵՐ

- Առաջարկվում է ԵրԶԵԿ-ի համակցված էներգաբլոկի QSS կոմպրեսոր ներծծվող օդի հովացում՝ բարձր ճնշումային մշուշապատման համակարգի միջոցով, նթենոլորտային օդի բարձր ջերմաստիճանների դեպքում հզորության թերարտադրման փոխհատուցման նպատակով:
- Մշակվել է QSS ջերմային հաշվարկի մեթոդ, որը հնարավորություն է տալիս հաշվարկել ցանկացած QSS-ի էներգետիկական և արդյունավետության ցուցանիշները կախված կոմպրեսոր ներծծվող օդի պարամետրերից:
- Առաջարկված QSS էներգետիկական և արդյունավետության ցուցանիշների հաշվարկի մեթոդի սխալանքը կազմում է 0,87% QSS ՕԳԳ-ի համար և 0,46%- հզորության համար:
- Առաջարկվել է QSS կոմպրեսոր ներծծվող օդի ջերմաստիճանի փոփոխության ազդեցությունը QSS կոմպրեսորի ճնշման բարձրացման աստիճանի վրա գնահատող փորձնական բանաձև:
- Առաջարկվել է QSS կոմպրեսոր ներծծվող օդի ջերմաստիճանի փոփոխության ազդեցությունը օգտահանիչ կաթսայով շոգետուրբինի զարգացրած հզորության գնահատման մեթոդիկա:
- Առաջարկվող հովացման համակարգի կիրառման դեպքում ԵրԶԵԿ-ի համակցված էներգաբլոկում հնարավոր է փոխհատուցել տարվա 3808 ժամերի ընթացքում դիտարկվող բարձր ջերմաստիճանով պայմանավորված թերարտադրված 48,8 մլն. կվտ.ժամ էլ. էներգիայի 68%-ը:

7. Ապացուցվել է ԳՏՏ կոմպրեսոր մատուցվող օդի հովացման համակարգի տեղադրման տեխնիկուտնտեսական շահավետությունը Երևան քաղաքի համար, ԵրԶԷԿ-ի օրինակի վրա: Հաշվարկված կապիտալ ներդրումների ետզման ժամկետը կազմել է 0,69 տարի:

### ՕԳՏԱԳՈՐԾՎԱԾ ԳՐԱԿԱՆՈՒԹՅԱՆ ՑԱՆԿ

1. **Будаков И.В., Рабенко В.С.** Оптимизация температуры воздуха охлаждения проточной части ГТД-110 // Вестник ИГЭУ.- 2009.- Вып.2.- С. 10-15.
2. Chaker M., Meher-Homji C. B., Mee T. Inlet Fogging Of Gas Turbine Engines.- Part A: Fog Droplet Thermodynamics, Heat Transfer And Practical Considerations // ASME paper GT-30562.- 2002.- P. 413-428.
3. Desideri U. Performance Analysis Of Gas Turbines Operating At Different Atmospheric Conditions // IGTI ASME COGEN TURBO.- 1994.vol.9.- P. 485-492.
4. Brooks F. GE Gas Turbine Performance Characteristics / GE GER-3567H.-2000.- 9 p.
5. Рудаченко А.В., Чухарева Н.В. Газотурбинные установки для транспорта природного газа. - Томск: НИТПУ, 2011.- 217 с.
6. Chaker M., Meher-Homji C. B., Mee T. Inlet Fogging Of Gas Turbine Engines. Part A: Theory, Psychometrics and fog generation / ASME Paper 2000-GT-307.- 2000.-13 p.
7. Bacigalupo E., Tasso L. and Zinnari R.G Power Augmentation Using An Inlet Air Chilling System In A Cogenerative Power Plant Equipped With A Heavy Duty Gas Turbine // ASME Cogen –Turbo.- 1993.-P. 1-10.
8. De Lucia M., Bronconi R., Carnevale E. Performance and Economic Enhancement of Cogeneration Gas Turbines Through Compressor inlet Air Cooling / ASME Paper No: 93-GT-71.- 1993.-7 p.
9. De Lucia M., Lanfranchi C., Boggio V. Benefits Of Compressor Inlet Air Cooling For Gas Turbine Cogeneration Plants / ASME Paper No: 95-GT-311.-1995.-7 p.
10. De Piolene, M. Refrigerated Inlet Cooling For New And Retrofit Installations // Gas Turbine World.- 1993.- P. 216-222.

11. **Giourof A.** Gas-Turbine Inlet Air Cooling: You Can Almost Pick Up Your Pay Back // Power.- 1995.-P. 56-58.
12. **Pankaj K. Patel** Better Power Generation From Gas Turbine Alongwith Improved Heat Rate / Powergen Intl 2000.-Florida, 2000.-6 p.
13. **Ուժյան Ռ.Ա.** Գազատուրբինային տեղակայանք տրվող օդի հովացման համակարգեր // ՀՃԱ Լրաբեր.-2010.- Հասոր 7, №1.-էջ 72-73:
14. **Jolly S., Nitzken J. and Shepherd D.** Evaluation Of Combustion Turbine Inlet Air System // Power-Gen Asia.- 1998.-P. 1-12.
15. **Tawney R., Pearson C., Brown M.** Options To Maximize Power Output For Merchant Plants In Combined Cycle Applications / ASME Paper No.2001-GT-0409.- 2001.-8 p.
16. **Chaker M., Meher-Homji C. B., Mee T. and Nicolson A.** Inlet Fogging Of Gas Turbine Engines- Detailed Climatic Analysis Of Gas Turbine Evaporative Cooling Potential // Gas Turbine Power.-2002.-P. 300-309.
17. **De Pascale A., Morini M.** Analysis of Inlet Air Cooling for IGCC Power Augmentation // Energy Procedia.-2014.- 45.-P. 1265-1274.
18. **Ingistov S.** Interstage Injection System For Heavy Duty Industrial Gas Turbine Model 7EA / ASME Paper No. 2001-GT-0407.- 2001.-10 p.
19. **Ingistov S.** Fog System Performance In Power Augmentation Of Heavy Duty Power Generating Gas Turbines GE Frame 7EA // ASME Paper No: 2000-GT-0305.- 2000.-11 p.
20. **Gareta R., Gil A., Romeo L.** The Effect Of Inlet Air Cooling System In Combined Cycle Performance / Centre of Research for Power Plants Efficiency (CIRCE).-2001.-14 p.
21. **Gareta R., Gil A., Romeo L.** Economic Optimization Of Gas Turbine Inlet Air - Cooling System In Combined Cycle Application / Centre of Research for Power Plants Efficiency (CIRCE).-2002.-7 p.
22. **Loud R., Slaterpryce A.** Gas Turbine Inlet Air Treatment / GE GER-3419A. -1991.- 26 p.
23. **Jolly S., Nitzken J., Shepherd D., Eberlein D.** Peaking Capacity Enhancement Of Abb 11n1 With Thermal Energy Storage // Power Generation International.- 1999.-P. 99-107.
24. **McNeilly J.** Application Of Evaporative Coolers For Gas Turbine Power Plants / ASME Paper No. 2000-GT-0303.-2000.-9 p.
25. **Шахши Н., Акул Х.** Системы охлаждения воздуха на входе в газотурбинные установки // Турбины и дизели.- 2011, март-апрель.- С. 8-11.

26. **Jones C. and Jacobs J.** Economics and Technical Considerations for Combined-Cycle Performance Enhancement Options / GE Publication GER-4200.- 2000.-30 p.
27. **Lefebvre A. H.** Atomization and Sprays.- Taylor & Francis Press, 1989.-423 p.
28. **Chaker M., Meher-Homji C.B.** Evaporative Cooling Of Gas Turbine Engines / ASME Paper No. GTP-13-1019.- 2013.-12 p.
29. **Chaker M., Meher-Homji C.B.** Selection of Climatic Design Points for Gas Turbine Power Augmentation // Gas Turbine Power.-2012.-134(4).-P. 37-50.
30. **Hoffmann J.** Inlet Air Cooling Performance and Operation // CEPSI, Paper No. T1-A-39.- 2002.-P. 222-227.
31. **Meher-Homji C. B., Mee T.** Inlet Fogging of Gas Turbine Engines. - Part B: Practical Considerations, Control and O&M Aspect / ASME Paper No.2000-GT-308.-2000.-8 p.
32. **Chaker M., Meher-Homji C.B., Mee T.** Inlet Fogging of Gas Turbine Engines.-Part C: Fog Behavior in Inlet Ducts, CFD Analysis and Wind Tunnel Experiments / ASME Paper N: 2002-GT- 30564.-2002.-13 p.
33. **Bhargava R.K., Meher-Homji C.B.** Gas Turbine Fogging Technology: A State-of-the-Art Review.-Part II: Overspray Fogging—Analytical and Experimental Aspects // Gas Turbine Power.-2006.-129(2).-P. 454-460.
34. **Wilcox E.C. and Trout A.M.** Analysis of Thrust Augmentation of Turbojet Engines by Water Injection at Compressor Inlet Including Charts for Calculating Compression Processes with Water Injection / NACA Report No. 1006.- 1951.-20 p.
35. **Beede W.L., Hamrick J.T. and Withee J.R.** Evaluation of Centrifugal Compressor Performance with Water Injection / NACA RM-E51E21.-1951.-14 p.
36. **Hill P.G.** Aerodynamic and Thermodynamic Effects of Coolant Ingestion on Axial Flow Compressor // Aeronautical Quarterly.- 1963.- P. 333-348.
37. **Zheng Q., Sun Y., Li S. and Wang Y.** The Effects of Wet Compression on the Separated Flow in a Compressor Stage // ASME Paper No. GT2008-50920.- 2008.-P. 219-236.
38. **Utamura M., Kuwahara T., Murata H. and Horii N.** Effects Of Intensive Evaporative Cooling On Performance Characteristics Of Land-Based Gas Turbines // Joint Power Generation Conference, PWR.-1999.-Vol. 34.-P. 321-328.

39. **Horlock J.H.** Compressor Performance with Water Injection / ASME Paper No.2001-GT-0343.-2001.-9 p.
40. **Hartel C. and Pfeiffer P** Model Analysis of High-Fogging effects on the work of Compression / ASME Paper No. GT2003-38117.-2003.-10 p.
41. **White A.J. and Meacock A.J.** An Evaluation of the Effects of Water Injection on Compressor Performance / ASME Paper No. GT2003-38237.-2003.-7 p.
42. **Sexton W.R. and Sexton M.R.** The effects of Wet Compression on Gas Turbine Engine Operating Performance // ASME Paper No. GT2003-38045.-2003.-P. 673-679.
43. **Zheng Q., Li M. and Sun Y.** Thermodynamic Performance of Wet Compression and Regenerative (WCR) Gas Turbine // ASME Paper No. GT2003-38517.-2003.-P. 813-820.
44. **Yan J., Ji X. and Jonsson M.** Thermodynamic Property Models for the Simulation of Advanced Wet Cycles // ASME Paper No. GT2003-38298.-2003.-P. 211-219.
45. **Trewin R.R.** Inlet Temperature Suppression of Inlet Air for Gas Turbine Compressors by Evaporative Cooling of Water Spray // ASME Paper No. GT-2002-30658.- 2002.-P. 519-523.
46. **Jolly S.** Performance Enhancement of GT 24 With Wet Compression // Power Gen International.-2003.-P. 9-20.
47. **Gajjar H., Chaker M., Dighe A. and Meher-Homji C.B.** Inlet Fogging for a 655 MW Combined Cycle Power Plant—Design, Implementation and Operating Experience // ASME Paper No. GT2003-38757.-2003.-P. 853-861.
48. **Utamura M., Takehara I., Horii N. and Kuwahara T.** A New Gas Turbine Cycle for Economical Power Boosting / ASME Paper No. 97-AA-142.- 1997.-10 p.
49. **Li M. and Zheng Q.** Wet Compression System Stability Analysis.- Part I: Compression // ASME Paper No.GT2004-54018.- 2004.-P. 703-712.
50. **Arsen'ev L.V. and Berkovich A.L.** The Parameters of Gas- Turbine Units with Water Injected into the Compressor // Thermal Engineering.-1996.-Vol. 43.- P. 461-465.
51. **Ingistov S.** Interstage Injection System for Heavy Duty Industrial Gas Turbine Model 7EA / ASME Paper No. 2001-GT-407.-2001.-9 p.
52. **Bagnoli M., Bianch M., Melino F., et al** Parametric Study of Interstage Injection on GE Frame 7EA Gas Turbine // ASME Paper No. GT2004-53042.-2004.-P. 489-499.

53. **Williams D.E. and Ritland P.D.** A Pragmatic approach to Evaluation of Inlet Fogging System Effectiveness // International Joint Power Generation Conference.-2003.- Paper No. IJPGC2003-40075.-P. 71-76.
54. **Van Liere J. and Laagland G.H.M.** The TOPHAT Project – Swirl Flash Technology to Reduce Maintenance Costs // KEMA Report No. 00376-KPG/SUP.-1998.-P.114-122.
55. **Van Liere J., Meijer C.G.** Power Augmentation and Nox Reduction of gas turbines by SwirlFlash overspray injection // VGB Powertech.-2002.-82.-P. 51-54.
56. **Van Liere J., Laagland, G.H.M., and Meijer, C.G.** Retrofit of Gas Turbines by Swirlflash Over-Spray / Arnhem, The Netherlands: Alpha Power Systems and KEMA.-2001.-9 p.
57. **Schurmann P., Forsyth J., Padruett R., Heiniger K.C.** Spray Characterisation downstream of the Swirl Pressure Nozzles in Gas Turbine Fogging and High Fogging Applications / Power Gen International Conference December 9-11.-2003.-14 p.
58. **Lecheler S., Hoffmann J.** The Power of Water in Gas Turbines. ALSTOM's Experience with Air Inlet Cooling // Power-Gen Latin America.-2003.-P. 117-124.
59. **Meher-Homji C.B.** Blading Vibration and Failures in Gas Turbines.-Part A: Blading Dynamics and the Operating Environment / ASME Paper No. 95-GT-418.-1995.-11 p.
60. **Kurz R., Brun K.** Fouling Mechanisms in Axial Compressors // Gas Turbines Power.-2011.-134(3).-P. 24-32.
61. **Meher-Homji C.B., Chaker M., Motiwala H.** Gas Turbine Performance Deterioration // Proceedings of the 30th Turbomachinery Symposium, Turbomachinery Laboratory, Texas A&M University, Houston.-2001.-P. 139-175
62. **Jolly S.** Wet Compression - A powerful Means of Enhancing Combustion Turbine Capacity // Power-Gen International.-2002.-P. 10-12
63. **Haskell R.W.** Gas Turbine Compressor Operating Environment and Material Evaluation / ASME Paper No: 89-GT-42.-1989.-13 p.
64. **Cataldi G, Guntner H, Matz C, McKay T, Hoffmann J.** Influence of High Fogging Systems on Gas Turbine Engine Operation and Performance // Gas Turbines Power.-2004.-128(1).-P. 135-143.
65. **Nolan J.P. and Twombly V.J.** Gas Turbine Performance Improvement Direct Mixing Evaporative Cooling System / ASME Paper No: 90-GT-368.-1990.-7 p.

66. Sargsyan G., Balabanyan A., Hankinson D. From Crisis to Stability in the Armenian Power Sector, Lessons Learned from Armenia's Energy Reform Experience / World Bank Working Paper No.74.: Washington D.C.- 2006.-105p.
67. Energy Sector Development Strategies in the Context of Economic Development in Armenia.- August 2005, Adopted by the Government of Armenia at June 23, 2005 session No.1 resolution of No.24 protocol.- 2005.-60p.
68. Карапетян К.В. Новое качество энергетической экспортной политики Армении // Проблемы современной экономик.-2009.-N2(30).-С. 73-78.
69. Charged Decisions: Difficult Choices in Armenia's Energy Sector / A. Balabanyan, A. Kochnakyan, G. Sargsyan et al; World Bank Working Paper.- 2011.-118p.
70. Gellings C.W., Barron W.L. Demand Forecasting in the Electric Utility Industry.- PennWell Pub.,1996.- 324p.
71. Armenia Power Sector 2006 Least Cost Generation Plan / prepared by the Ministry of Energy of Republic of Armenia.-2006.-90 p.
72. «Հանրային Ծառայությունները Կարգավորող Հանձնաժողով»-ի կայքի տվյալներ:-2015թ.
73. Иванов В.А. Проблемы покрытия переменной части графиков энергопотребления // Теплоэнергетика.-1983.-N6.-С. 2-7.
74. Мадоян А.А., Аракелян Э.К., Минасян С.А. Расчет нестационарных характеристик и показателей графиков нагрузки и агрегатов ТЭС.-Ер.: Айастан, 1989.-134 с.
75. Kehrlofer R. Combined-cycle gas and steam turbine power plants.-PennWell, 1997.- 388 p.
76. Հայաստանի էներգետիկայի 100 տարին / Լ.Վ. Եղիազարյանի և ուր. խմբագրությամբ.-Եր.: Մերիա Մոդել, 2003.-191 էջ:
77. Карапетян К.В Перспективы энергетической безопасности Республики Армения.– Ер.: Эдит Принт, 2008. – 380 с.
78. Карапетян К.В. Проблемы регионального сотрудничества и энергетической безопасности в Южно-Кавказском регионе.– Ер.: Эдит Принт, 2008. – 185 с.
79. Energy Indicators for Sustainable Development: Guidelines and Methodologies.- Vienna:IAEA Publishing, 2005.-171p.
80. Giampaolo T. Gas Turbine Handbook - Principles and Practices 3rd edition.- Fairmonth Press, 2005.-451 p.

81. Boyce M.P. Gas Turbine Engineering Handbook.-GP Pub., 2002.-816 p.
82. Horlock J. H. Advanced Gas Turbine Cycles.-Elsevier Science, 2003.-230 p.
83. Шляхин П.Н. Паровые и газовые турбины.-М.: Энергия, 1974.-224 с.
84. Трухний А.Д. Расчет тепловых схем парогазовых установок утилизационного типа.-М.: МЭИ, 2001.-24 с.
85. Газотурбинные и парогазовые установки тепловых электростанций. Цанев С.В..-М.: МЭИ, 2002-584 с.
86. Козлов А.Д. Таблицы стандартных справочных данных. Метан жидкий и газообразный, термодинамические свойства, коэффициенты динамической вязкости и теплопроводности при температурах 91...700К и давлениях 0.1...100 МПа.-М.: ГСССД, 2000.-43 с.
87. Ոաֆյան Ռ.Ա. Մաթեմատիկական գումարությունը ԳՏՏ-ի վառելիքային կոմպլեքսորի ջերմային հաշվարկում մեթանի ջերմաքիմիական պարամետրերի որոշման համար // ՀՃԱ Լրաբեր.-2015.-Հատոր 12, №2.-էջ 277-280:
88. Ոաֆյան Ռ.Ա. Շրջակա միջավայրի պայմանների ազդեցությունը գազատուրբինային տեղակայանքի արդյունավետության ցուցանիշների վրա // ՀՊՃՀ(Պոլիտեխնիկ) Լրաբեր.-2011.-Հատոր 3, №1.-էջ 385-388:
89. Պուլյան Լ.Տ., Բուրուշան Մ.Բ. Ընդհանուր ջերմատեխնիկա. Երևորդ մաս.-Եր.: Լուս, 1978.-312 էջ:
90. Meher-Homji C.B., Lakshminarasimha A.N., Mani G. Durability surveillance of advanced gas turbines-Performance and mechanical baseline establishment for GE Frame 7F / ASME Paper No: 93-GT-276.-1993.-11 p.
- 91 Մարուխյան Ռ.Զ., Ոաֆյան Ռ.Ա. Գազատուրբինային տեղակայանքի կոմպլեքսոր ներծծվող օդի ջերմաստիճանի բարձրացման ազդեցությունը շոգեգազային տեղակայանքի աշխատանքի վրա // Հայաստանի Գիտությունների Ազգային Ակադեմիայի և ՀՊՃՀ Տեղեկագիր.-2011.-Հատոր 64, №3.-էջ 243-249:
92. Մարուխյան Ռ.Զ., Ոաֆյան Ռ.Ա Բնակլինայական պայմանների ազդեցությունը Երևանի ՁԵԿ-ի համակցված էներգաբլոկի աշխատանքի վրա // Հայաստանի Գիտությունների Ազգային Ակադեմիայի և ՀՊՃՀ Տեղեկագիր.-2013.-Հատոր 66, №2.-էջ 120-126:

93. **Barks D.** GT13E2M Dataset D1.1-Status 14.6.02 TN02/1153 / Alstom Power.-2002.-8  
р.
94. Справочник по климату СССР. Вып. 16. Армянская ССР. Часть 4.-Л., 1969.-195с.
95. Справочник по климату СССР. Вып.16. Армянская ССР. Часть 2.-Л.,1966.-222с.
96. **Dharam V., Pasteris V.** GT inlet-air cooling boosts output on warm days to increase revenue // Combyned Cycle Journal.-2003.- Р. 1-3.
97. **Ոաֆյան Ռ.Ա., Մարուխյան Ռ.Զ., Խաչատրյան Ռ.Գ.** ԳՏՏ կոմպրեսոր ներծծվող օդի ջրային մշուշապատմանք հովացման համակարգի կիրառման տեխնիկատեսական հաշվարկ (ԵրԶԷԿ-ի օրինակով) // Հայաստանի Գիտությունների Ազգային Ակադեմիայի և ՀԱՊՀ Տեղեկագիր.-2015.-Հատոր 68, №2.-Էջ 163-168:

## ՀԱՎԵԼՎԱԾ

Հավելված 1. QSS-ի էներգետիկական ցուցանիշների հաշվարկի ծրագիր

```
Public Class Form1
    Declare Function wspPST Lib "OKAWSP6.dll" (ByVal t As Double) As
Double
    Declare Function wspPSUBT Lib "OKAWSP6.dll" (ByVal t As Double) As
Double
    Declare Function wspgNEWID Lib "OKAWSP6.dll" () As Integer
    Declare Function wspghIDT Lib "OKAWSP6.dll" (ByVal id As Integer,
ByVal t As Double) As Double
    Declare Function wspgADDGASV Lib "OKAWSP6.dll" (ByVal id As Integer,
ByVal id As Integer, ByVal v As Double) As Double
    Declare Function wspgADDGASM Lib "OKAWSP6.dll" (ByVal id As Integer,
ByVal id As Integer, ByVal m As Double) As Double
    Declare Function wspgSIDT Lib "OKAWSP6.dll" (ByVal id As Integer,
ByVal t As Double) As Double
    Declare Function wspgVFIDID Lib "OKAWSP6.dll" (ByVal id As Integer,
ByVal id As Integer) As Double
    Declare Function wspgMMID Lib "OKAWSP6.dll" (ByVal id As Integer) As
Double
    Declare Function wspgTIDPS Lib "OKAWSP6.dll" (ByVal id As Integer,
ByVal p As Double, ByVal t As Double) As Double
    Declare Function wspgTIDH Lib "OKAWSP6.dll" (ByVal id As Integer,
ByVal h As Double) As Double
    Declare Function wspgSIDPT Lib "OKAWSP6.dll" (ByVal id As Integer,
ByVal p As Double, ByVal t As Double) As Double
    Declare Function wspgVIDT Lib "OKAWSP6.dll" (ByVal id As Integer,
ByVal t As Double) As Double
    Declare Function wspgVIDPT Lib "OKAWSP6.dll" (ByVal id As Integer,
ByVal p As Double, ByVal t As Double) As Double

    Dim aCH4() As Double = {146.696186 * 10 ^ 0, -65.6744186 * 10 ^ 0,
20.2698132 * 10 ^ 0, -4.20931854 * 10 ^ 0, 0.606743008 * 10 ^ 0, -
0.0612623969 * 10 ^ 0, 4.30969226 * 10 ^ -3, -2.06597572 * 10 ^ -4,
6.4262581 * 10 ^ -6, -1.1680563 * 10 ^ -7, 9.4095893 * 10 ^ -10}
    Dim bCH4() As Double = {-209.233731 * 10 ^ 0, 206.925203 * 10 ^ 0, -
135.704831 * 10 ^ 0, 56.4368924 * 10 ^ 0, -13.4496111 * 10 ^ 0,
1.39664152 * 10 ^ 0}
    Dim P0CH4 As Double = 101325 'Pa
    Dim T0CH4 As Double = 100 'K'
```

```

Dim MMCH4 As Double = 16.0426
Dim Rg As Double = 8.31451
Dim RCH4 As Double = Rg / MMCH4
Dim S0_CH4 As Double = 17.9779 * RCH4
Dim h0_CH4 As Double = 3.9823 * RCH4 * T0CH4
Dim delta As Double = 0.001

Public Function Cp0_CH4_t(ByVal T As Double) As Double
    Dim aSum As Double = 0
    Dim bSum As Double = 0
    Dim TR As Double = T / T0CH4
    For i = 0 To 10
        aSum += aCH4(i) * (TR ^ i)
    Next
    bSum = 0
    For i = 1 To 6
        bSum += bCH4(i - 1) * ((1 / TR) ^ i)
    Next
    Return (aSum + bSum) * RCH4
End Function

Public Function h0_CH4_t(ByVal T As Double) As Double
    Dim integral As Double = 0
    For i = T0CH4 To T Step delta
        integral += Cp0_CH4_t(i) * delta
    Next
    Return (integral + h0_CH4)
End Function

Public Function S0_CH4_t(ByVal T As Double) As Double
    Dim integral As Double = 0
    For i = T0CH4 To T Step delta
        integral += Cp0_CH4_t(i) / i * delta
    Next
    Return (integral + S0_CH4)
End Function

Public Function S0_CH4_p_t(ByVal T As Double, ByVal P As Double) As Double
    Return (S0_CH4_t(T) - RCH4 * Math.Log(P / P0CH4))
End Function

Public Function Secant(ByVal P As Double, ByVal T As Double, ByVal S0 As Double)
    Dim x(7) As Double
    x(1) = 100
    x(2) = 700
    'Dim S0 As Double = S0_CH4_p_t(T, P)

```

```

    For n = 2 To 6
        'x(n + 1) = x(n) - (x(n) ^ 7 - 1000) / ((x(n) ^ 7 - x(n - 1)
        ^ 7) / (x(n) - x(n - 1)))
        x(n + 1) = x(n) - (S0_CH4_p_t(x(n), P) - S0) /
        ((S0_CH4_p_t(x(n), P) - S0_CH4_p_t(x(n - 1), P)) / (x(n) - x(n - 1)))

    Next
    Return x(7)
End Function

Private Sub Form1_Load(sender As Object, e As EventArgs) Handles MyBase.Load
End Sub

Private Sub Button1_Click(sender As Object, e As EventArgs) Handles Button1.Click

    Dim inp_T_d_od As Double = TextBox_T_d_od.Text
    Dim inp_P_d_od As Double = TextBox_P_d_od.Text
    Dim inp_fi_d_od As Double = Textbox_fi_d_od.Text
    Dim inp_Q_s_b As Double = Textbox_Q_s_b.Text
    Dim inp_P_v As Double = Textbox_P_v.Text
    Dim inp_t_v As Double = Textbox_t_v.Text
    Dim inp_Delta_P_v_k As Double = Textbox_Delta_P_v_k.Text
    Dim inp_Pi_k As Double = Textbox_Pi_k.Text
    Dim inp_t_GT As Double = Textbox_t_GT.Text
    Dim inp_etta_k As Double = Textbox_eta_k.Text
    Dim inp_etta_GT As Double = Textbox_eta_GT.Text
    Dim inp_eta_v_k As Double = Textbox_eta_v_k.Text
    Dim inp_delta_P_a_k As Double = Textbox_delta_P_a_k.Text
    Dim inp_delta_P_GT As Double = Textbox_delta_P_GT.Text
    Dim inp_eta_a_k As Double = Textbox_eta_a_k.Text

    Dim P_s_d_od As Double = wspPST(inp_T_d_od + 273.15)
    Dim d_d_od As Double = (wspgMMID(4) / wspgMMID(13)) * inp_fi_d_od
    * P_s_d_od / (inp_P_d_od * 101325 - inp_fi_d_od * P_s_d_od / 100) / 100
    Dim x1_d_od As Double = d_d_od / (1 + d_d_od) * 100
    Dim x_d_od As Double = wspgMMID(13) / wspgMMID(4) * d_d_od * 100

    Dim id_d_od As Integer = wspgNEWID()
    Dim xx As Double = wspgADDGASV(id_d_od, 13, 1)
    Dim yy As Double = wspgADDGASV(id_d_od, 4, x_d_od / 100)
    Dim h_d_od As Double = wspgHIDT(id_d_od, inp_T_d_od + 273.15) /
    1000
    Dim s_d_od As Double = wspgSIDPT(id_d_od, inp_P_d_od * 101325,
    inp_T_d_od + 273.15) / 1000
    Dim ro_od As Double = 1 / wspgVIDPT(id_d_od, inp_P_d_od * 101325,
    inp_T_d_od + 273.15)
    Dim x02v As Double = wspgVFIDID(13, 1) * 100

```

```

Dim xH2v As Double = wsgpVFIDID(13, 12) * 100
Dim V0n As Double = 2 / (x02v - 0.5 * xH2v) * 100
Dim V0N2n As Double = wsgpVFIDID(13, 0) * V0n
Dim V0CO2n As Double = wsgpVFIDID(13, 3) * V0n + 1
Dim V0H2On As Double = V0n * xH2v / 100 + 2
Dim V0Arn As Double = wsgpVFIDID(13, 10) * V0n
Dim MMtopl As Double = MMCH4 'gm/mol'
'Dim rotopl As Double = MMtopl * P0 / Rm / T0 * 1000
Dim L0 As Double = V0n * wsgpMMID(13) / MMtopl * 1000
Dim id0ps As Double = wsgpNEWID()
Dim N2add As Double = wsgpADDGASV(id0ps, 0, V0N2n)
Dim CO2add As Double = wsgpADDGASV(id0ps, 3, V0CO2n)
Dim H2Oadd As Double = wsgpADDGASV(id0ps, 4, V0H2On + V0n *
x_d_od / 100)
Dim Aradd As Double = wsgpADDGASV(id0ps, 10, V0Arn)

Dim h0psngt As Double = wsgpHIDT(id0ps, inp_t_GT + 273.15) / 1000

Dim pnk As Double = inp_P_d_od * 0.101325
Dim snk As Double = wsgpSIDPT(id_d_od, pnk * 1000000, inp_T_d_od
+ 273.15) / 1000
Dim Pkk As Double = inp_Pi_k * pnk
Dim tkk0 As Double = wsgpTIDPS(id_d_od, Pkk * 1000000, snk *
1000) - 273.15
Dim hkk0 As Double = wsgpHIDT(id_d_od, tkk0 + 273.15) / 1000
Dim deltahk0 As Double = hkk0 - h_d_od
Dim deltahk As Double = deltahk0 / (inp_etta_k / 100)
Dim hkk As Double = h_d_od + deltahk
Dim tkk As Double = wsgpTIDH(id_d_od, hkk * 1000) - 273.15
Dim skk As Double = wsgpSIDPT(id_d_od, Pkk * 1000000, tkk +
273.15) / 1000

'vareliqayin kompresori hashvark'

Dim hvar As Double = h0_CH4_t(inp_t_v + 273.15)
Dim svar As Double = S0_CH4_p_t(inp_t_v + 273.15, inp_P_v *
1000000)
Dim ptopl_ks As Double = Pkk + inp_Delta_P_v_k

Dim tktk0 As Double = Secant(ptopl_ks * 1000000, inp_t_v +
273.15, svar)
Dim hktk0 As Double = h0_CH4_t(tktk0)
Dim deltahtk0 As Double = hktk0 - hvar
Dim deltahtk As Double = deltahtk0 / (inp_etta_v_k / 100)
Dim hktk As Double = hvar + deltahtk

'Ayrman kamerayi hashvark'
Dim hnvg_ngt As Double = wsgpHIDT(id_d_od, inp_t_GT + 273.15) /
1000

```

```

    '1 kg vareliqi bervac odi avelcuki gorcakic@
    'bolor entalpianer@ berenq Qsb-i voroshman jermastichanin, ayn e
0 °C'
        Dim h0_CH4_qsb As Double = h0_CH4_t(273.15)
        Dim hkk_qsb As Double = hkk - wspgHIDT(id_d_od, 273.15) / 1000
        'kJ/kg'
        Dim h0_ps_ngt_qsb As Double = h0psngt - wspgHIDT(id0ps, 273.15) /
1000 'kJ/kg'
        Dim hktk_qsb As Double = hktk - h0_CH4_qsb 'kJ/kg'
        Dim hnv_ngt_qsb As Double = hnv_ngt - wspgHIDT(id_d_od, 273.15) /
1000 'kJ/kg'
        Dim gv_izb As Double = (hkk_qsb * L0 - (L0 + 1) * h0_ps_ngt_qsb +
hktk_qsb + inp_Q_s_b * 1000 * inp_etta_a_k / 100) / (hnv_ngt_qsb -
hkk_qsb)

        Dim alfaks As Double = (gv_izb + L0) / L0

        Dim idr As Integer = wspgNEWID()
        Dim vv As Double = wspgADDGASM(idr, id_d_od, gv_izb)
        Dim ccc As Double = wspgADDGASM(idr, id0ps, (L0 + 1))
        Dim hnqt As Double = wspgHIDT(idr, inp_t_GT + 273.15) / 1000
        'kJ/kg'

        'balansi stugum'

        Dim hnt_qsb As Double = hnqt - wspgHIDT(idr, 273.15) / 1000

        Dim stug1 As Double = (((gv_izb + L0) * hkk_qsb + hktk_qsb +
inp_Q_s_b * 1000) * inp_etta_a_k / 100 - (gv_izb + L0 + 1) * hnt_qsb) /
(gv_izb + L0 + 1) / hnt_qsb
        Dim stug2 As Double = ((1 + alfaks * L0) * hnt_qsb - (alfaks * L0
* hkk_qsb + 1 * (inp_Q_s_b * 1000 + hktk_qsb)) * inp_etta_a_k / 100) /
(alfaks * L0 * hkk_qsb + 1 * (inp_Q_s_b * 1000 * inp_etta_a_k / 100 +
hktk_qsb))

        'Gazaturbini hashvark'

        Dim pngt As Double = Pkk * (1 - inp_delta_P_a_k / 100) 'MPa'
        Dim sngt As Double = wspgSIDPT(idr, pngt * 1000000, inp_t_GT +
273.15) / 1000 'KJ/(kg°C)'
        Dim pkgt As Double = inp_P_d_od * 0.101325 * (1 + inp_delta_P_GT
/ 100) 'MPa'
        Dim tkgt0 As Double = wspgTIDPS(idr, pkgt * 1000000, sngt * 1000)
- 273.15 '°C'
        Dim hkgt0 As Double = wspgHIDT(idr, tkgt0 + 273.15) / 1000
        'Kj/kg'
        Dim deltahgt0 As Double = hnqt - hkgt0 'Kj/kg'
        Dim deltahgt As Double = deltahgt0 * inp_etta_GT / 100 'Kj/kg'

```

```

        Dim hkgt As Double = hngt - deltahgt 'Kj/kg'
        Dim tkgt As Double = wsgpTIDH(idr, hkgt * 1000) - 273.15 '°C'
        Dim skgt As Double = wsgpSIDPT(idr, pkgt * 1000000, tkgt +
273.15) / 1000 'KJ/(kg°C)'
        Dim X02_yx As Double = wsgpVFIDID(idr, 1) * 100 '%'  
  

        'GTT-i energetikakan cucanishneri hashvark'  
  

        Dim Ni_k As Double = deltahak * (gv_izb + L0) / 1000 ' MVt/(kg/v)'
        Dim Ni_gt As Double = deltahgt * (gv_izb + L0 + 1) / 1000 '  
MVt/(kg/v)'
        Dim Ni_vk As Double = deltahtk * 1 / 1000      ' MVt/(kg/v)'
        Dim Ni As Double = Ni_gt - Ni_k - Ni_vk / 0.96
        Dim etta_gtt As Double = Ni / inp_Q_s_b * 100
        Dim Ni_od As Double = Ni / (L0 + gv_izb)
        Dim Q As Double = hkgt * (428.652016738557 * ro_od +
428.652016738557 * ro_od / (L0 + gv_izb))  
  

        TextBox_Ro.Text = ro_od
        TextBox_Q.Text = Q
        TextBox_N_i_k.Text = Ni_k
        TextBox_N_i_GT.Text = Ni_gt
        TextBox_N_i_vk.Text = Ni_vk
        TextBox_N_i.Text = Ni
        TextBox_eta_GTT.Text = etta_gtt
        TextBox_Ni_od.Text = Ni_od
        TextBox_Stug_1.Text = stug1
        TextBox_Stug_2.Text = stug2
        TextBox_d_d_od.Text = d_d_od
        TextBox_N_GT.Text = 428.652016738557 * ro_od * Ni_od
    End Sub
End Class

```

Ելակետային տվյալներ

բազային ճնշում

$$P_{0\_CH_4} := 101325 \text{ Pa}$$

բազային ջերմաստիճան

$$T_{0\_CH_4} := 100 \text{ K}$$

մոլեկուլյար կշիռ

$$MM_{CH_4} := 16.0426 \frac{\text{gm}}{\text{mole}}$$

տեսակարար գազային հաստատում

$$R_{CH_4} := \frac{8.31451 \frac{\text{joule}}{\text{mole K}}}{MM_{CH_4}}$$

$$R_{CH_4} = 518.2769625871118 \frac{\text{joule}}{\text{kg} \cdot \text{K}}$$

Հավելված 2. Մեթանի

տեսակարար էնտրոպիա բազային ջերմաստիճանի դեպքում

$$s_{0\_CH_4} := 17.9779 R_{CH_4}$$

$$s_{0\_CH_4} = 9317.5314056948394 \frac{\text{joule}}{\text{kg} \cdot \text{K}}$$

տեսակարար էնթալփիա բազային ջերմաստիճանի դեպքում

$$h_{0\_CH_4} := 3.9823 R_{CH_4} T_{0\_CH_4}$$

$$h_{0\_CH_4} = 206.3934348110655 \frac{10^3 \cdot \text{joule}}{\text{kg}}$$

ջերմաֆիզիկական պարամետրերի հաշվարկի  
ծրագիր

հավասարման գործակիցներ

$$a_{CH_4} := \begin{pmatrix} 146.69618610^0 \\ -65.674418810^0 \\ 20.269813210^0 \\ -4.2093184810^0 \\ 0.60674300810^0 \\ -0.061262396910^0 \\ 4.3096922810^{-3} \\ -2.0659757210^{-4} \\ 6.426158110^{-6} \\ -1.168056310^{-7} \\ 9.409589310^{-10} \end{pmatrix}$$

$$b_{CH_4} := \begin{pmatrix} -209.23373110^0 \\ 206.92520310^0 \\ -135.70483110^0 \\ 56.436892410^0 \\ -13.449611110^0 \\ 1.3966415210^0 \end{pmatrix}$$

Ֆունկցիաների տեսքը

տեսակարար իզոբար ջերմունակություն

$$c_{p\_0\_{CH4}\_t}(T) := \begin{cases} TR \leftarrow \frac{T}{T_{0\_{CH4}}} \\ Res \leftarrow \sum_{i=0}^{10} \left( a_{CH4\_i} \cdot TR^i \right) + \sum_{i=1}^{6} \left[ b_{CH4\_{i-1}} \cdot \left( \frac{1}{TR} \right)^i \right] \\ Res \cdot R_{CH4} \end{cases}$$

տեսակարար էնթալպիա

$$h_{0\_{CH4}\_t}(T) := \int_{T_{0\_{CH4}}}^T c_{p\_0\_{CH4}\_t}(t) dt + h_{0\_{CH4}}$$

տեսակարար էնտրոպիա

$$s_{0\_{CH4}\_t}(T) := \int_{T_{0\_{CH4}}}^T \frac{c_{p\_0\_{CH4}\_t}(t)}{t} dt + s_{0\_{CH4}}$$

$$s_{CH4\_pt}(P, T) := s_{0\_{CH4}\_t}(T) - R_{CH4} \cdot \ln \left( \frac{P}{P_{0\_{CH4}}} \right)$$

Հակադարձ ֆունկցիաներ

ջերմաստիճանը, որպես ֆունկցիա տեսակարար էնթալպիայից

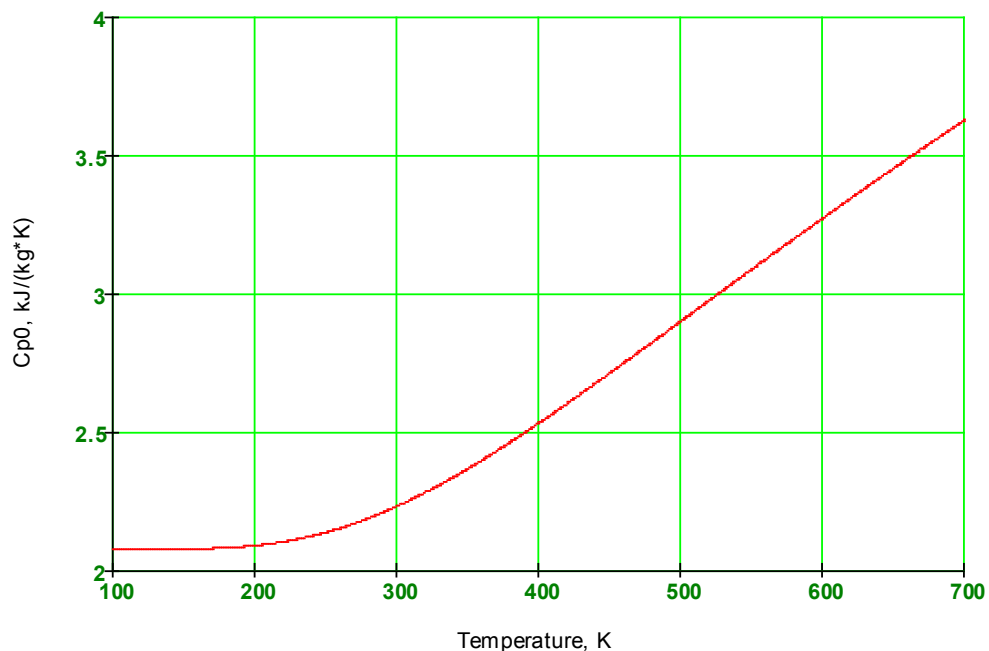
$$t_{CH4\_h0}(h0) := \begin{cases} t \leftarrow 298.15K \\ \text{root}(h_{0\_{CH4}\_t}(t) - h0, t) \end{cases}$$

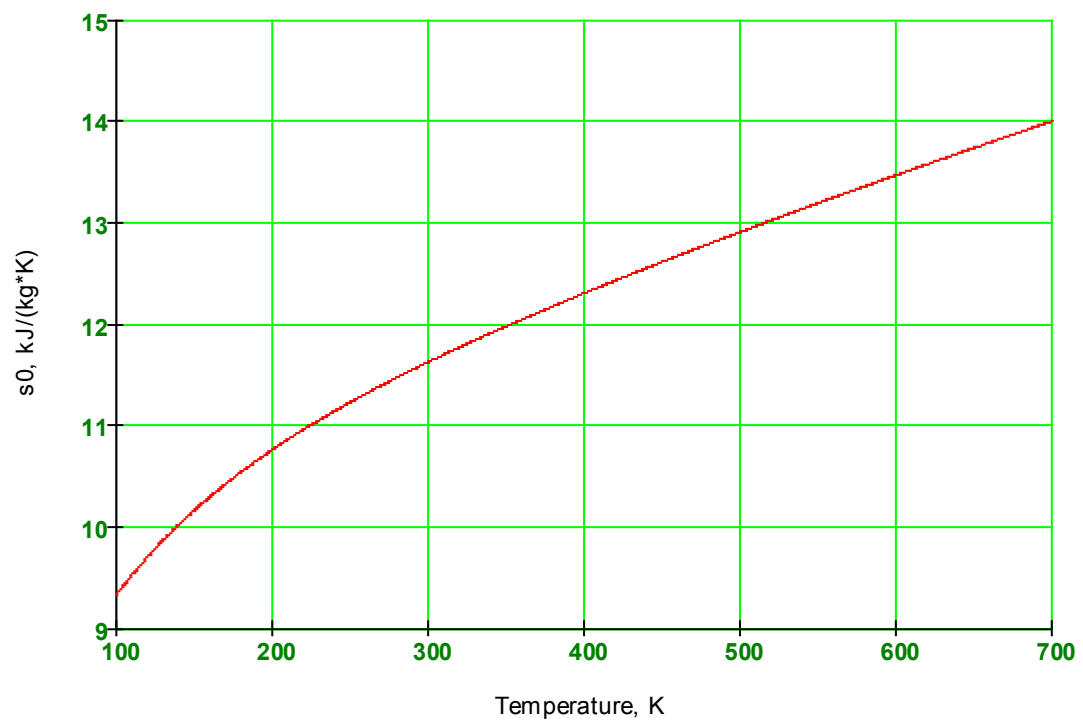
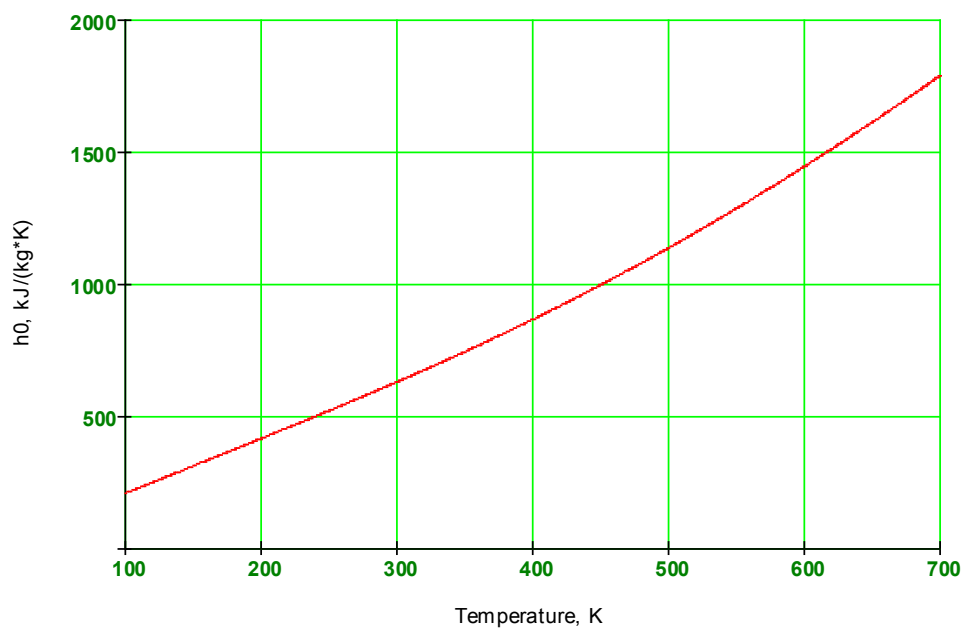
Չերմաստիճանը, որպես ֆունկցիա տեսակարար էնտրոպիայից

$$t_{CH_4\_s0}(s0) := \begin{cases} t \leftarrow 298.15K \\ \text{root}(s_{0\_CH_4\_t}(t) - s0, t) \end{cases}$$

$$t_{CH_4\_ps}(p, s0) := \begin{cases} t \leftarrow 298.15K \\ \text{root}(s_{CH_4\_pt}(p, t) - s0, t) \end{cases}$$

Գրաֆիկական կախումներ





### Հավելված 3

Աղյուսակ 1.

Պարզ ԳSS-ի էներգետիկական ցուցանիշների կախվածությունը ԳSS կոմպրեսոր ներծծվող օդի հարաբերական խոնավությունից, կոմպրեսորում ձնշման բարձրացման աստիճանի տարրեր արժեքների դեպքում

πկ	t, °C	ϕ, %	Ni_կ, ՄՎտ/(կգ/վ)	Ni_ԳS, ՄՎտ/(կգ/վ)	Ni_ՎԿ, ՄՎտ/(կգ/վ)	Ni, ՄՎտ/(կգ/վ)	Ni_ԳS_oդ, ՄՎտ/(կգ/վ)	ηԳSS, %	t_ԳS_h, °C
13	15	0	17.263	34.432	0.235	16.924	0.356	33.816	627.780
13	15	10	17.252	34.418	0.235	16.921	0.356	33.810	627.966
13	15	20	17.241	34.404	0.235	16.918	0.356	33.804	628.151
13	15	30	17.231	34.390	0.235	16.915	0.357	33.798	628.336
13	15	40	17.220	34.377	0.235	16.912	0.357	33.793	628.521
13	15	50	17.209	34.363	0.235	16.909	0.357	33.787	628.706
13	15	60	17.198	34.349	0.235	16.906	0.358	33.781	628.890
13	15	70	17.187	34.335	0.235	16.903	0.358	33.775	629.075
13	15	80	17.176	34.321	0.235	16.900	0.358	33.769	629.259
13	15	90	17.165	34.307	0.235	16.897	0.359	33.763	629.443
13	15	100	17.154	34.294	0.235	16.894	0.359	33.757	629.627

πկ	t, °C	φ, %	Ni_լ, UՎԱԾ/(կգ/վ)	Ni_ԳՏ, UՎԱԾ/(կգ/վ)	Ni_ՎԿ, UՎԱԾ/(կգ/վ)	Ni, UՎԱԾ/(կգ/վ)	Ni_ԳՏօղ, UՎԱԾ/(կգ/վ)	ηԳՏՏ, %	t_ԳՏ_h, °C
14	15	0	18.259	35.722	0.248	17.204	0.356	34.377	614.426
14	15	10	18.247	35.707	0.248	17.202	0.356	34.371	614.614
14	15	20	18.235	35.692	0.248	17.199	0.356	34.366	614.801
14	15	30	18.223	35.678	0.248	17.196	0.357	34.360	614.989
14	15	40	18.211	35.663	0.248	17.193	0.357	34.354	615.176
14	15	50	18.199	35.648	0.248	17.190	0.358	34.349	615.363
14	15	60	18.187	35.633	0.248	17.187	0.358	34.343	615.550
14	15	70	18.175	35.619	0.248	17.184	0.358	34.337	615.736
14	15	80	18.164	35.604	0.248	17.182	0.359	34.332	615.923
14	15	90	18.152	35.589	0.248	17.179	0.359	34.326	616.110
14	15	100	18.140	35.575	0.248	17.176	0.359	34.320	616.296

πկ	t, °C	φ, %	Ni_լ, UՎԱԾ/(կգ/վ)	Ni_ԳՏ, UՎԱԾ/(կգ/վ)	Ni_ՎԿ, UՎԱԾ/(կգ/վ)	Ni, UՎԱԾ/(կգ/վ)	Ni_ԳՏօղ, UՎԱԾ/(կգ/վ)	ηԳՏՏ, %	t_ԳՏ_h, °C
15	15	0	19.233	36.957	0.261	17.451	0.355	34.870	602.171
15	15	10	19.221	36.941	0.261	17.448	0.356	34.865	602.360
15	15	20	19.208	36.925	0.261	17.446	0.356	34.859	602.550
15	15	30	19.195	36.910	0.261	17.443	0.356	34.854	602.739
15	15	40	19.182	36.894	0.261	17.440	0.357	34.848	602.928
15	15	50	19.169	36.879	0.261	17.437	0.357	34.843	603.117
15	15	60	19.156	36.863	0.261	17.435	0.358	34.837	603.306
15	15	70	19.144	36.848	0.261	17.432	0.358	34.832	603.495
15	15	80	19.131	36.832	0.261	17.429	0.358	34.826	603.683
15	15	90	19.118	36.817	0.261	17.426	0.359	34.821	603.872
15	15	100	19.105	36.801	0.261	17.424	0.359	34.815	604.060
πկ	t, °C	φ, %	Ni_լ, UՎԱԾ/(կգ/վ)	Ni_ԳՏ, UՎԱԾ/(կգ/վ)	Ni_ՎԿ, UՎԱԾ/(կգ/վ)	Ni, UՎԱԾ/(կգ/վ)	Ni_ԳՏօղ, UՎԱԾ/(կգ/վ)	ηԳՏՏ, %	t_ԳՏ_h, °C

16	15	0	20.190	38.144	0.273	17.669	0.354	35.306	590.859
16	15	10	20.177	38.127	0.273	17.666	0.355	35.300	591.050
16	15	20	20.163	38.111	0.273	17.664	0.355	35.295	591.241
16	15	30	20.149	38.095	0.273	17.661	0.356	35.290	591.432
16	15	40	20.135	38.078	0.273	17.658	0.356	35.284	591.623
16	15	50	20.121	38.062	0.273	17.656	0.356	35.279	591.814
16	15	60	20.108	38.045	0.273	17.653	0.357	35.274	592.005
16	15	70	20.094	38.029	0.273	17.651	0.357	35.269	592.195
16	15	80	20.080	38.013	0.273	17.648	0.357	35.263	592.386
16	15	90	20.067	37.996	0.273	17.645	0.358	35.258	592.576
16	15	100	20.053	37.980	0.273	17.643	0.358	35.253	592.766

πկ	t, °C	φ, %	Ni_լ, ՄՎտ/(կգ/վ)	Ni_ԳՏ, ՄՎտ/(կգ/վ)	Ni_ՎԿ, ՄՎտ/(կգ/վ)	Ni, ՄՎտ/(կգ/վ)	Ni_ԳՏ_օղ, ՄՎտ/(կգ/վ)	ηԳՏՏ, %	t_ԳՏ_h, °C
17	15	0	21.132	39.290	0.285	17.862	0.353	35.691	580.367
17	15	10	21.117	39.273	0.285	17.859	0.354	35.686	580.559
17	15	20	21.102	39.256	0.285	17.857	0.354	35.681	580.752
17	15	30	21.088	39.238	0.285	17.854	0.354	35.676	580.945
17	15	40	21.073	39.221	0.285	17.852	0.355	35.671	581.137
17	15	50	21.058	39.204	0.285	17.849	0.355	35.665	581.330
17	15	60	21.043	39.187	0.285	17.847	0.355	35.660	581.522
17	15	70	21.029	39.169	0.285	17.844	0.356	35.655	581.714
17	15	80	21.014	39.152	0.285	17.842	0.356	35.650	581.906
17	15	90	20.999	39.135	0.285	17.839	0.357	35.645	582.098
17	15	100	20.985	39.118	0.285	17.836	0.357	35.640	582.290
πկ	t, °C	φ, %	Ni_լ, ՄՎտ/(կգ/վ)	Ni_ԳՏ, ՄՎտ/(կգ/վ)	Ni_ՎԿ, ՄՎտ/(կգ/վ)	Ni, ՄՎտ/(կգ/վ)	Ni_ԳՏ_օղ, ՄՎտ/(կգ/վ)	ηԳՏՏ, %	t_ԳՏ_h, °C
18	15	0	22.060	40.400	0.296	18.033	0.352	36.032	570.591
18	15	10	22.044	40.382	0.296	18.030	0.352	36.027	570.785

18	15	20	22.028	40.364	0.296	18.028	0.352	36.022	570.980
18	15	30	22.012	40.346	0.296	18.025	0.353	36.018	571.174
18	15	40	21.997	40.328	0.296	18.023	0.353	36.013	571.368
18	15	50	21.981	40.310	0.296	18.021	0.354	36.008	571.561
18	15	60	21.965	40.292	0.296	18.018	0.354	36.003	571.755
18	15	70	21.950	40.274	0.296	18.016	0.354	35.998	571.949
18	15	80	21.934	40.256	0.296	18.013	0.355	35.994	572.142
18	15	90	21.918	40.238	0.296	18.011	0.355	35.989	572.335
18	15	100	21.903	40.220	0.296	18.008	0.355	35.984	572.528

## Աղյուսակ 2.

Պարզ ԳSS-ի էներգետիկական ցուցանիշների կախվածությունը կոմպրեսոր ներծծվող օդի ջերմաստիճանից, կոմպրեսորում ձևավագն բարձրացման տարրեր աստիճանների դեպքում

πկ	tη, °C	φ,%	Ni_կ, ՄՎտ/(կգ/վ)	Ni_ԳS, ՄՎտ/(կգ/վ)	Ni_ՎԿ, ՄՎտ/(կգ/վ)	Ni, ՄՎտ/(կգ/վ)	Ni_ԳS_oղ, ՄՎտ/(կգ/վ)	ηԳSS, %	t_ԳS_h, °C
13	15	60	17.198	34.349	0.235	16.906	0.358	33.781	628.890

13	16	60	17.293	34.420	0.235	16.883	0.357	33.734	628.925
13	17	60	17.388	34.492	0.235	16.859	0.355	33.687	628.964
13	18	60	17.483	34.563	0.235	16.835	0.354	33.640	629.008
13	19	60	17.578	34.634	0.235	16.811	0.353	33.592	629.056
13	20	60	17.673	34.706	0.235	16.787	0.352	33.544	629.109
13	21	60	17.768	34.777	0.235	16.763	0.351	33.495	629.167
13	22	60	17.864	34.848	0.235	16.739	0.350	33.447	629.231
13	23	60	17.959	34.918	0.235	16.714	0.349	33.398	629.300
13	24	60	18.054	34.989	0.235	16.690	0.348	33.348	629.375
13	25	60	18.150	35.060	0.235	16.665	0.346	33.299	629.456
13	26	60	18.245	35.130	0.235	16.640	0.345	33.249	629.544
13	27	60	18.340	35.200	0.235	16.614	0.344	33.198	629.639
13	28	60	18.435	35.270	0.235	16.589	0.343	33.148	629.740
13	29	60	18.530	35.339	0.235	16.563	0.342	33.096	629.849
13	30	60	18.625	35.408	0.235	16.538	0.341	33.045	629.965
13	31	60	18.720	35.477	0.235	16.512	0.340	32.993	630.089
13	32	60	18.814	35.545	0.235	16.486	0.339	32.941	630.222
13	33	60	18.908	35.613	0.235	16.459	0.338	32.888	630.363
13	34	60	19.002	35.680	0.235	16.433	0.337	32.835	630.513
13	35	60	19.096	35.747	0.235	16.406	0.336	32.782	630.673
πկ	tη, °C	φ, %	Ni_լq, ՄՎկտ/(կգ/վ)	Ni_ՊS, ՄՎկտ/(կգ/վ)	Ni_ՎԿ, ՄՎկտ/(կգ/վ)	Ni, ՄՎկտ/(կգ/վ)	Ni_ՊS_օդ, ՄՎկտ/(կգ/վ)	ηՊSS, %	t_ՊS_h, °C
14	15	60	18.187	35.633	0.248	17.187	0.358	34.343	615.550
14	16	60	18.289	35.710	0.248	17.163	0.357	34.294	615.584
14	17	60	18.391	35.788	0.248	17.138	0.355	34.244	615.623
14	18	60	18.493	35.865	0.248	17.113	0.354	34.194	615.666
14	19	60	18.595	35.941	0.248	17.088	0.353	34.144	615.714
14	20	60	18.697	36.018	0.248	17.062	0.352	34.093	615.767

14	21	60	18.800	36.095	0.248	17.037	0.351	34.042	615.825
14	22	60	18.902	36.172	0.248	17.011	0.350	33.991	615.888
14	23	60	19.004	36.248	0.248	16.985	0.348	33.939	615.958
14	24	60	19.107	36.325	0.248	16.959	0.347	33.887	616.033
14	25	60	19.209	36.401	0.248	16.933	0.346	33.835	616.114
14	26	60	19.311	36.477	0.248	16.907	0.345	33.782	616.202
14	27	60	19.414	36.553	0.248	16.880	0.344	33.729	616.297
14	28	60	19.516	36.628	0.248	16.853	0.343	33.676	616.399
14	29	60	19.618	36.703	0.248	16.826	0.342	33.622	616.508
14	30	60	19.720	36.778	0.248	16.799	0.341	33.568	616.625
14	31	60	19.822	36.852	0.248	16.772	0.340	33.513	616.750
14	32	60	19.923	36.926	0.248	16.744	0.339	33.458	616.884
14	33	60	20.024	37.000	0.248	16.717	0.338	33.403	617.026
14	34	60	20.125	37.073	0.248	16.689	0.337	33.347	617.177
14	35	60	20.226	37.145	0.248	16.661	0.336	33.291	617.337

πկ	tη, °C	φ,%	Ni_կ, ՄՎԱն/(կգ/վ)	Ni_QS, ՄՎԱն/(կգ/վ)	Ni_ՎԿ, ՄՎԱն/(կգ/վ)	Ni, ՄՎԱն/(կգ/վ)	Ni_QS_oղ, ՄՎԱն/(կգ/վ)	ηԳՏՏ, %	t_QS_h, °C
15	15	60	19.156	36.863	0.261	17.435	0.358	34.837	603.306
15	16	60	19.265	36.946	0.261	17.409	0.356	34.786	603.340
15	17	60	19.374	37.028	0.261	17.383	0.355	34.733	603.378
15	18	60	19.483	37.111	0.261	17.356	0.354	34.681	603.421
15	19	60	19.592	37.194	0.261	17.330	0.353	34.628	603.469
15	20	60	19.701	37.276	0.261	17.303	0.351	34.575	603.521
15	21	60	19.811	37.359	0.261	17.276	0.350	34.521	603.579

15	22	60	19.920	37.441	0.261	17.249	0.349	34.467	603.643
15	23	60	20.029	37.524	0.261	17.222	0.348	34.413	603.712
15	24	60	20.139	37.606	0.261	17.195	0.347	34.358	603.787
15	25	60	20.248	37.688	0.261	17.167	0.345	34.303	603.869
15	26	60	20.358	37.769	0.261	17.140	0.344	34.248	603.957
15	27	60	20.467	37.851	0.261	17.112	0.343	34.192	604.052
15	28	60	20.576	37.932	0.261	17.084	0.342	34.136	604.154
15	29	60	20.685	38.013	0.261	17.056	0.341	34.080	604.264
15	30	60	20.794	38.093	0.261	17.027	0.340	34.023	604.381
15	31	60	20.903	38.173	0.261	16.998	0.339	33.966	604.507
15	32	60	21.012	38.253	0.261	16.970	0.337	33.908	604.641
15	33	60	21.120	38.332	0.261	16.940	0.336	33.850	604.783
15	34	60	21.228	38.411	0.261	16.911	0.335	33.791	604.935
15	35	60	21.336	38.489	0.261	16.882	0.334	33.732	605.097

πկ	tη, °C	φ,%	Ni_լ, UՎար/(կգ/վ)	Ni_ԳS, UՎար/(կգ/վ)	Ni_ՎԿ, UՎար/(կգ/վ)	Ni, UՎար/(կգ/վ)	Ni_ԳS_oη, UՎար/(կգ/վ)	ηԳSS, %	t_ԳS_h, °C
16	15	60	20.108	38.045	0.273	17.653	0.357	35.274	592.005
16	16	60	20.223	38.134	0.273	17.626	0.355	35.220	592.038
16	17	60	20.339	38.222	0.273	17.599	0.354	35.165	592.076
16	18	60	20.455	38.310	0.273	17.571	0.353	35.110	592.119
16	19	60	20.571	38.399	0.273	17.543	0.352	35.054	592.166
16	20	60	20.687	38.487	0.273	17.515	0.350	34.998	592.218
16	21	60	20.804	38.575	0.273	17.487	0.349	34.942	592.276
16	22	60	20.920	38.664	0.273	17.459	0.348	34.886	592.339

16	23	60	21.037	38.752	0.273	17.430	0.346	34.829	592.408
16	24	60	21.153	38.840	0.273	17.402	0.345	34.772	592.484
16	25	60	21.270	38.927	0.273	17.373	0.344	34.714	592.565
16	26	60	21.386	39.015	0.273	17.344	0.343	34.656	592.653
16	27	60	21.503	39.102	0.273	17.315	0.342	34.598	592.749
16	28	60	21.619	39.189	0.273	17.285	0.340	34.539	592.851
16	29	60	21.735	39.276	0.273	17.256	0.339	34.480	592.961
16	30	60	21.852	39.362	0.273	17.226	0.338	34.420	593.079
16	31	60	21.967	39.448	0.273	17.196	0.337	34.360	593.205
16	32	60	22.083	39.533	0.273	17.166	0.336	34.300	593.339
16	33	60	22.199	39.618	0.273	17.135	0.335	34.239	593.483
16	34	60	22.314	39.703	0.273	17.105	0.334	34.178	593.635
16	35	60	22.428	39.787	0.273	17.074	0.333	34.116	593.798

πկ	tη, °C	φ,%	Ni_լ, ՄՎտ/(կգ/վ)	Ni_գS, ՄՎտ/(կգ/վ)	Ni_ՎՎ, ՄՎտ/(կգ/վ)	Ni, ՄՎտ/(կգ/վ)	Ni_գS_oղ, ՄՎտ/(կգ/վ)	ηգSS, %	t_գS_h, °C
17	15	60	21.043	39.187	0.285	17.847	0.355	35.660	581.522
17	16	60	21.166	39.281	0.285	17.818	0.354	35.603	581.555
17	17	60	21.289	39.375	0.285	17.789	0.353	35.546	581.592
17	18	60	21.412	39.469	0.285	17.761	0.351	35.489	581.634
17	19	60	21.535	39.563	0.285	17.732	0.350	35.431	581.681
17	20	60	21.658	39.657	0.285	17.702	0.349	35.372	581.733
17	21	60	21.782	39.751	0.285	17.673	0.348	35.313	581.791
17	22	60	21.905	39.845	0.285	17.643	0.346	35.254	581.854
17	23	60	22.029	39.939	0.285	17.614	0.345	35.195	581.923

17	24	60	22.152	40.033	0.285	17.584	0.344	35.135	581.998
17	25	60	22.276	40.126	0.285	17.554	0.342	35.075	582.079
17	26	60	22.400	40.219	0.285	17.523	0.341	35.014	582.168
17	27	60	22.523	40.313	0.285	17.493	0.340	34.953	582.263
17	28	60	22.647	40.405	0.285	17.462	0.339	34.892	582.365
17	29	60	22.770	40.498	0.285	17.431	0.337	34.830	582.476
17	30	60	22.894	40.590	0.285	17.400	0.336	34.768	582.594
17	31	60	23.017	40.682	0.285	17.369	0.335	34.705	582.720
17	32	60	23.140	40.773	0.285	17.337	0.334	34.642	582.855
17	33	60	23.262	40.864	0.285	17.305	0.333	34.579	582.999
17	34	60	23.384	40.954	0.285	17.273	0.332	34.515	583.152
17	35	60	23.506	41.044	0.285	17.241	0.331	34.451	583.315

πψ	tη, °C	φ, %	Ni_կ, ՄՎտ/(կգ/վ)	Ni_գS, ՄՎտ/(կգ/վ)	Ni_ՎԿ, ՄՎտ/(կգ/վ)	Ni, ՄՎտ/(կգ/վ)	Ni_գS_oη, ՄՎտ/(կգ/վ)	ηգSS, %	t_գS_h, °C
18	15	60	21.965	40.292	0.296	18.018	0.354	36.003	571.755
18	16	60	22.095	40.391	0.296	17.988	0.353	35.944	571.788
18	17	60	22.225	40.491	0.296	17.958	0.351	35.884	571.824
18	18	60	22.355	40.591	0.296	17.928	0.350	35.824	571.866
18	19	60	22.485	40.691	0.296	17.898	0.348	35.763	571.913
18	20	60	22.615	40.791	0.296	17.868	0.347	35.702	571.965
18	21	60	22.746	40.891	0.296	17.837	0.346	35.641	572.022
18	22	60	22.876	40.991	0.296	17.806	0.344	35.579	572.085
18	23	60	23.007	41.090	0.296	17.775	0.343	35.517	572.153
18	24	60	23.138	41.190	0.296	17.744	0.342	35.455	572.228

18	25	60	23.269	41.289	0.296	17.712	0.340	35.392	572.310
18	26	60	23.400	41.389	0.296	17.681	0.339	35.329	572.398
18	27	60	23.531	41.488	0.296	17.649	0.338	35.265	572.493
18	28	60	23.661	41.586	0.296	17.617	0.337	35.201	572.596
18	29	60	23.792	41.685	0.296	17.584	0.335	35.137	572.706
18	30	60	23.923	41.783	0.296	17.552	0.334	35.072	572.824
18	31	60	24.053	41.881	0.296	17.519	0.333	35.006	572.951
18	32	60	24.183	41.978	0.296	17.486	0.332	34.941	573.086
18	33	60	24.313	42.074	0.296	17.453	0.331	34.875	573.230
18	34	60	24.442	42.171	0.296	17.420	0.329	34.808	573.384
18	35	60	24.571	42.266	0.296	17.387	0.328	34.741	573.548

